

Ing. Jaroslav Exner

ODUHLIČOVÁNÍ OCELOVÝCH ODLITKŮ

Kandidátská disertační práce

VŠST Liberec 1966.

VYSOKÁ ŠKOLA STROJNÍ A TEXTILNÍ V LIBERCI

Fakulta strojní

Katedra technologie a slévárenství

UNIVERZITNÍ KNIHOVNA
TECHNICKÉ UNIVERZITY V LIBERCI



3146114461

Ing. Jaroslav KÄFER :

ODUHLIČOVÁNÍ A OKYSLIČOVÁNÍ POVRCHU OCELOVÝCH ODMLÍTKŮ

PŘI PŘESNÉM LITÍ NA VYTAVITELNÝ MODEL.

/ Kandidátská disertační práce /

VYSOKÁ ŠKOLA STROJNÍ A TEXTILNÍ
Ústřední knihovna
LIBEREC 1, STUDENTSKÁ 5.

Autorské právo se mát směrnicemi MŠK pro státní
závěrečné práce z. j. 31.727/82.JII/2 ze dne
13. července 1982. Vlastník MŠK Xhrl, pořízené dle zákona
31. 6. 1962 § 19 autorského zákona č. 115/53 Sb.

u 265

Školitel : Prof.Ing. Bohumil GDSTRČIL , laureát státní ceny ,
vedoucí katedry technologie a slévárenství

Disertační práce byla vypracována na katedře technologie a slévárenství
Vysoké školy strojní a textilní v Liberci.

Datum ukončení práce : 30. června 1966.

O B S A H

	str.
<u>1. Úvod</u>	4
<u>2. Druhy reakcí taveniny a odlitku s keramickou formou</u>	8
<u>3. Současný stav výzkumu a praxe v oblasti oduhlíčování přesných ocelových odliteků</u>	12
3.1 Dosavadní literární názory na podstatu oduhlíčování a boj proti němu	12
.1 Vliv složení materiálu odlitku	12
.2 Vliv materiálu formy	15
.3 Vliv přípravy taveniny	16
.4 Příprava keramických forem	17
.5 Vliv způsobu odlévání forem	17
.6 Vliv způsobu ochlazování forem a atmosféry formy	17
.7 Konstrukce odlitku a formy	18
3.2 Dosavadní metody boje proti oduhlíčování a okysličování přesných ocelových odliteků	19
.1 Metody pasivního charakteru	19
.2 Metody aktivního charakteru	20
3.3 Dosavadní experimentální metody při výzkumu a kontrole oduhlíčení přesných ocelových odliteků	23
<u>4. Podstata oduhlíčování ocelových odliteků v keramických formách</u>	27
4.1 Rozbor fyzikálně-chemických reakcí probíhajících při oduhlíčování ocelových odliteků - dosavadní způsoby určení rovnovážných podmínek	28
4.2 Vlastní řešení rovnovážných poměrů reakcí odliteků	30
.1 Výchozí data pro konstrukci diagramu rovnovážných podmínek	31
.2 Konstrukce diagramu rovnovážných podmínek	31
4.3 Závěry vyplývající z termodynamického rozberu podle diagramu na obr. 4.1	48
.1 Vliv obsahu uhlíku	48
.2 Vliv slitinových a deprovozných prvků	50
.3 Vliv teploty reakce	53
.4 Vliv složení a tlaku atmosféry	53
.5 Vliv materiálu formy, nečistot a kovového rámu	56
<u>5. Metodika a výsledky vlastních zkoušek</u>	62
5.1 Metodika a výsledky informativních zkoušek	62
5.2 Metodika systematických zkoušek	77

5.3	Přehled studovaných parametrů ovlivňujících odůhličení přesných ocelových odlitků a výsledky vlastních zkoušek	82
.1	Vliv složení materiálu odlitku	84
.2	Vliv materiálu formy	95
.3	Vliv přípravy taveniny	110
.4	Příprava keramických forem k lití	110
.5	Vliv způsobu odlewání forem	113
.6	Vliv rychlosti ochlazování a atmosféry formy	113
.7	Konstrukce odlitků a formy	127
5.4	Vliv studovaných parametrů na výslednou strukturu odlitků a jejich tvrdost, sest. obrobiteľnost	131
.1	Rychlosť ochlazování zkoušebních vzorků	132
.2	Výsledná struktura zkoušebních odlitků ve stavu po odleti	144
<u>6.</u>	<u>Diskuse výsledků vlastních zkoušek a možnosti jejich praktického využití</u>	154
6.1	Základní principy reakcí a tendence vlivu jednotlivých faktorů	154
6.2	Metody boje proti odůhličování přesných ocelových odlitků	158
<u>7.</u>	<u>Závěry</u>	165
	Použitá literatura	168

1. ÚVOD

Světový rozvoj techniky za posledních několik desítek let, zejména po druhé světové válce, vyvolává stále vyšší a náročnější požadavky a úkoly ve všech vědních a průmyslových oborech. Také vývoj slévárenství zaznamenal značné pokroky - podstatně se zvýšila nejen výroba odlitků všeho druhu co do objemu, došlo však též ke značným změnám v názorech na kvalitu odlitků i změnám v orientaci jak výzkumu tak i praxe:

- a/ V širším měřítku se začaly provozně uplatňovat různé zvláštní způsoby lití, které zaručují nejen lepší technické parametry odlitků - vyšší hodnoty mechanických a ostatních fyzikálních vlastností, výhodnější strukturu, vyšší geometrickou přesnost a jakost povrchu odlitků - ale také výhodnější ekonomické ukazatele - snížení pracnosti a zvýšení produktivity práce, často lepší možnosti mechanizace a automatizace jednotlivých operací nebo celých procesů.
- b/ Ve výzkumu i vývoji se stále více uplatňují vědecké exaktní metody při studiu principů a mechanismů různých dějů a reakcí, což umožňuje postupně zpřesňovat a určovat technicky zdůvodněné technologické parametry a postupně více zobsoňovat výsledky výzkumu; týká se to zejména těch parametrů, které mají rozhodující vliv na získání zdravých odlitků s vysokými hodnotami mechanických, fyzikálních a chemických vlastností, s vysokou geometrickou přesností a jakostí povrchu, a to u všech způsobů lití, včetně klasických.

S prudkým rozvojem chemie, energetiky, jaderné techniky, letectví a kosmického výzkumu, které vyžadují výrobu odlitků z vysocelagovaných ocelí a slitin i ze slitin Zr, Ti, Nb, Mo a W, je nutno i ve slévárenství stále více uplatňovat nové principy a technologie, např. použití vakua a ochranných atmosfer při tavení, lití, tuhnutí a chladnutí odlitků, zavádět nové formovací materiály a technologie, nové měřící a skúsební metody a v neposlední řadě i nové metody výzkumné a vývojové práce. Rozšiřuje a prohlubuje se tak využití zákonů a teorií fyzikální chemie silikátů, sdílení tepla, hydrauliky, proudění plynů, pružnosti, plasticity a dalších oborů fyziky, chemie a nauky o kovech.

Právě při širším použití a výrobě odlitků z vysoko reaktivních výšetřitelných kovů se projevily výrazněji problémy reakce kovu s formou, zejména fyzikálně-chemické reakce kovu - taveniny i odlitku - s materiélem formy a její atmosférou.

Problematiku reakce kovu s formou však nelze sužovat pouze na tuto skupinu kovů a příslušných technologií, protože její dosah je mnohem obecnější a zahrnuje široký okruh otázek teoretických i praktických. Řada těchto problémů se vyskytuje zejména obecně, avšak řada jich je vázána na speciální podmínky a parametry různých technologií a je dána specifickými podmínkami materiálovými, ať už jde o materiál odlitku nebo materiál forem.

Při přesném lití do keramických forem metodou vytavitevního modelu, kde je kládán velký důraz nejen na dodržení požadovaných rozměrů a dobré kvality povrchu, ale také na dodržení požadovaných mechanických, fyzikálních a chemických vlastností v celém objemu odlitku, má hluboké poznání existujících reakcí velmi značnou důležitost. U této metody vzniká - ve srovnání s jinými slévárenskými metodami - i řada dalších specifických problémů, zvláště v oboru fyzikálně chemických reakcí s výrazným vlivem fyzikálně-chemických vlastností odlévaného materiálu.

Tyto otázky vystupují do popředí zvláště proto, že u této metody:

- a/ Soustava forma-odlitek zatravá vlivem vyšších předeřívacích teplot forem /600 až 900°C/ delší dobu při vysokých teplotách, což má za následek snadnější a intenzivnější průběh fyzikálně-chemických reakcí v keramických formách než ve formách pískových; v pískových formách je možno některé reakce buď zcela zanedbat nebo se neprojevit příliš výrazně.
- b/ Požadavky na jakost povrchu a povrchové vrstvy odlitek jsou zpravidla značně vyšší; kromě požadavku na dosažení předepsaného tvaru a rozměrů odlitků bývá nezbytně nutné též dosažení stejných fyzikálně-chemických vlastností odlitku bezprostředně na povrchu, v povrchové vrstvě i uvnitř odlitku, a to včetně předepsané drsnosti a čistoty povrchu bez třískového opracování.

Úkolem této práce je pokus o teoretické vysvětlení a experimentální důkaz podstaty jednoho z mnohých problémů fyzikálně-chemické reakce formy s kovem při přesném lití do předeřítých keramických forem metodou vytavitevního modelu - problému oduhlíčování přesných odlitek z uhlíkových, případně nískalegovaných ceclí. Tento problém je dnes nejen v tuzeznku, ale i v zahraničí závažný zejména proto, že ceclové odlitky tvoří největší podíl odlitek vyráběných touto metodou a vlivem vznikajícího eduhličení jsou v mnoha případech odlitky ve stavu po odlití pro některé účely prakticky nepoužitelné. Týká se to hlavně těch odlitek, které mají být tepelně zpracovány např. zušlechtěním, kalením, nebo povrchovým kalením bez předchozího nebo následujícího třískového obrábění, nebo odlitků, u nichž se obrábí pouze tenká

povrchová vrstva /např. broušením/.

Vznik odhličení u ocelových přesných odliteků nedovoluje dosud širší využití metod přesného lití např. při výrobě některých lisovacích a tvářecích nástrojů s jemným členitým reliefem, který se třískově neobrábí, ale pouze leští. Oduhličení povrchu odlitků je naopak méně závažné u odlitků z cementačních ocelí.

V dnešních slévárnách způsobuje vznik odhličování ocelových odlitků větší či menší ztráty ve výrobě a zvětšení pracnosti i výrobních nákladů v těch případech, kdy je tato vada dodatečně napravována, např. nápravným nauhličováním odlitků cementací v prášku nebo plynu.

Vyřešení tohoto úkolu, byť i jen částečně - t.j. vypracováním metody pro podstatné omezení odhličování, známená při poměrně velkém objemu výroby ocelových odlitků metodou přesného lití do keramických forem

- a/ zvýšení úrovně výroby co do kvality u odlitků určených k tepelnému zpracování
- b/ snížení výrobních nákladů o náklady na dodatečné nauhličování nebo na dodatečné obrábění technologických přídavků před tepelným zpracováním a případně i
- c/ další rozšíření výrobních slévárenských metod do oboru výroby nástrojů.

Problematika reakcí kovu s formou byla řešena na katedře slévárenství již od r. 1959, v rámci fakultního úkolu LPS 34 /ředitel Ing. J. Exner/ obecně v širším měřítku, zejména však se zaměřením na kvalitu odlitků vyráběných odléváním ve vakuum nebo v ochranných atmosférách. V souvislosti s postupně vzrůstajícími potřebami a zájmem tuzemských sléváren byla však v letech 1961 až 1965 tato problematika stále více zaměřována na ty problémny reakce kovu s formou, které se visejí s výrobou ocelových odlitků metodou přesného lití na vytavitevní model. Jako téma budoucí autorovy kandidátské práce bylo zařazeno řešení problému odhličování a okysličování ocelových odlitků jako jedna z etap do resortního úkolu 13.0.1 a posléze jako etapa 3 do státního úkolu F-6-2c-4/2, jehož zadovědným řešitelem je Prof. Ing. Bohumil Odstrčil, vedoucí katedry technologie a slévárenství VŠST Liberec.

Po prvních informativních zkouškách v letech 1961 - 1963 /viz.kap.5.1/, kdy značné část výsledků experimentálních prací byla získána v průběhu řešení několika diplomních prací [72 - 75], byl autorem prostudován širší okruh novějších literárních pramenů o odhličování a okysličování přesných

ocelových odliteků i tvářených ocelových polotovarů a výrobků /kap.3/ a samostatně vypracován vlastní způsob teoretického řešení problému využitím známých termodynamických zákonitostí v oboru reakcí kysličníků, karbidů a některých silikátů /kap.4/. Na základě závěrů z teoretického rozboru, literárních údajů a poznatků ze sléváren přesného lití u nás, v Polsku [36] a v Sovětském svazu [22] byl potom autorem vypracován program a metodika systematických zkoušek /kap. 5.2/, jejich účelem bylo posoudit v co možno nejširším komplexu mechanismus a kinetiku oduhlíčování přesných odliteků. Tento program experimentálních prací byl realizován jednak ve dvou diplomních prácích [77, 78] a jednak během zimního a letního semestru 1965/1966, z části ve spolupráci s posluchači V. ročníku [79, 80], kdy byly přímo ověřovány výsledky teoretických řešení. Na závěr byly pak provedeny hlavně některé zkoušky aplikačního charakteru, studium tepelných poměrů ve formě a výsledné struktury odliteků.

Některé části této práce /kap. 3 a část textu a obrázků kap. 5 a 6/ byly použity pro závěrečnou zprávu za etapu 3 úkolu P-6-2c-4/2 "Reakce taveniny a odlitku s keramickou formou", která obsahovala pouze část výsledků experimentálních prací provedených podle programu systematických zkoušek dokončených v roce 1965 /etapa 3 ukončena 30.12.1965, zpráva oponována 25.5.1966 - oponenti: Prof.Ing.Dr. Aleš Vetiška Dr.Sc., Doc.Ing.František Havlíček, C.Sc./.

Je milou povinností autora srdečně poděkovat při této příležitosti především svému školiteli vedoucímu katedry technologie a slévárenství Prof.Ing.Bohumilu Odstrčilovi, laureátu státní ceny, za dosavadní vedení a školitelskou práci nejen po dobu aspirantury, ale i v letech předcházejících, a za cenné rady a připomínky při vypracování této práce.

Autor dále děkuje zejména pracovníkům slévárny přesného lití ZŠR Uherský Brod - jmenovitě Ing. Josefu Stráňákoví, za nevšední ochotu a umožnění některých zkoušek při příležitosti diplomních prací.

Za přátelskou výpomoc při provádění zkoušek na VŠT Liberec a při přípravě zkoušek patří upřímný dík všem kolegům asistentům, řemeslníkům a laborantce katedry technologie a slévárenství. V neposlední řadě je nutno připomenout i zájem, pečlivou práci a vytrvalost diplomantů J. Kopice, F. Freimana, S. Hejslara, J. Šráma, M. Wilda, A. Holase a posluchačů 5.ročníku J.Svárovského a M. Wünschové, kteří se podíleli na spracování dílčích úkolů v letech 1961 - 1966. Sekretářce katedry V. Schreiberové děkuji za ochotu a pečlivé přepsání textu této práce.

2. DRUHY REAKCIÍ TAVENINY A ODLITKU S KERAMICKOU FORMOU.

Přestože současné slévárenství zasahuje svým rozsahem a možnostmi výrobu tvarových odliteků od váhy několika desítek až set tun až po odlitky o váze zlomku gramu z nejrůznějších kovů a slitin i nekovů, lze pozorovat, že však v některých speciálních případech plní vysoké požadavky strojírenství za cenu relativně vysokých nákladů; je to bezpečný proto, že globálně je sice převážná většina procesů, dějů a reakcí poznána, avšak v řadě detaillů je třeba ještě mnohé objasnit a vyřešit.

Rozdělime-li slévárenský výrobní postup v širším slova smyslu po technické stránce na tři stadia

- a/ určení vhodného složení a technologických parametrů k získání všech požadovaných materiálových vlastností odlitků
- b/ tavení a konečná příprava tekutého kovu s příslušným složením, přehrátím a strukturou taveniny pro dosažení optimálních slévárenských vlastností a struktury odlitku pro výrobu danou technologií
- c/ příprava, formy, její odlití a zajištění příslušného fyzikálně-chemického a tepelného režimu při tuhnutí a ohladiutí kovu

vidíme, že téměř bez rozdílu jednotlivých slévárenských technologií a odlívaných materiálů nejsou zvládnuta jednotlivá stadia vedeckými exaktními metodami do stejné hloubky a šíře. Pro různé technologie a materiály bývá nejvíce propracováno stadium materiálové /a/ a díle čisté metalurgické /b/. Poměrně nejméně bývají propracovány problémy ryze slévárenské /c/, přestože právě vlastní odlévání, tuhnutí a ohladiutí kovu v daných podmínkách slévárenské formy vytváří syntetu celého slévárenského procesu, t.j. výsledné vlastnosti odlitků, a to jak materiálu odlitku, jeho struktury a homogenity, tak i jeho povrchové jakosti, rozměrů a pod.

Skutečnost, že právě poslední - ryze slévárenské - stadium celé technologie je poměrně nejméně propracováno, tkví v tom, že zvládnutí všech problémů plnění forem, kryatalizace, odměšcování, smrštování, deformací a pnutí, vylučování a odvodu plymů, chemických reakcí na styku formy a kovem a řady dalších jevů, je složitým komplexním úkolem se specifickými podmínkami jednotlivých technologií a odlévaných kovů. Vlastní slévárenský proces je bezprostředně ovlivňován předcházejícím stadium metalurgickým a svou komplexní problematikou zasahuje do celé řady vědních oborů - buhužel často právě do jejich dosud méně prozkoumaných oblastí, rozhraní nebo dokonce dočasných hranic. Právě s ohledem na značnou složitost jevů, jejichž podstatu se dosud v některých případech ani nepodařilo detailně postihnout, řeší se zatím znač-

ná část úloh empiricky, poloempiricky nebo exaktně s použitím řady zjednodušujících předpokladů a podmínek, a to pro speciální případy. Výsledky současného výzkumu už v některých případech ukazují alespoň tendenci a způsoby využití přírodních zákonů v konkrétních slévárenských podmínkách pro poznání různých dějů a jejich cílevědomé řízení. Lze oprávněně předpokládat, že spolu s rozvojem a hlubším poznáním dalších přírodních zákonitostí a rozvojem strojně-početní techniky se bude i nadále zlepšovat a prohlubovat i výzkum slévárenských dějů a reakcí.

Od okamžiku počátku plnění formy taveninou až do vyjmutí zchladilého odlitku z formy probíhá mezi kovem a taveninou postupně a spojitě v daném časovém sledu řada různých reakcí mezi kovem a formou. Reakce probíhající v tomto časovém rozpětí je možno rozdělit dle GULJAJEVA [1] do čtyř vzájemně na sebe navazujících etap; podle reakčních podmínek probíhají postupně tyto čtyři etapy reakcí:

- a/ reakce formy s roztaveným kovem
- b/ reakce formy se stuhou kírou na povrchu odlitku
- c/ reakce formy s odlitkem, ve kterém končí tuhnutí
- d/ reakce formy se stuhlým odlitkem v období jeho chladnutí.

V každé etapě věk mají probíhající reakce trojí charakter a můžeme tudíž rozlišit podle jejich podstaty reakce mechanické, tepelné a fyzikálně-chemické. Tyto reakce působí při plnění formy, tuhnutí a chladnutí odlitku současně ve vzájemně vazbě avšak s rozdílnou intenzitou; vcelku reakce pak představují působení slévárenské formy. Spolu s projevem a působením slévárenských a fyzikálně-chemických vlastností odlévaného materiálu vytváří pak zmíněné reakce konečně vlastnosti a jakost povrchu odlitku.

Z uvedených druhů reakcí jsou do poměrně menší hloubky propracovány zákonitosti fyzikálně-chemických reakcí mezi formou a kovem. V tomto oboru experimentálně nejvíce ještě, kde shledáváme dosud méně pronikavou oporu přírodních věd, existuje zatím nejméně přesně vědecky doložených obecných zákonitostí. Jada těchto problémů je ve stavu polemik často zcela protichůdných názorů, byť i experimentálně ověřených, avšak v určitých konkrétních podmínkách bez dostatečného uvážení všech působících parametrů při vyjadřování obecných závěrů.

Přestože technologie přesného lití do keramických form metodou vytaviteleho modelu je v dnešním pojetí uspokojivě zvládnuta pro řadu kovů a slitin, jeví se i v tomto oboru nutnosť důkladněji studovat a usměřovat současnou

praxi nejen výzkumem a vývojem vhodných formovacích materiálů, ale též výzkumem reakcí taveniny a odlitku s keramickou formou, a to reakcí mechanických, tepelných i fysikálně-chemických.

S ohledem na studovaný problém oduhličování ocelových odlitků uvedeme zejména přehled fysikálně-chemických reakcí kovu s formou.

Obdobně jako u jiných typů slévárenských forem můžeme i v případě forem keramických uvažovat na rozhraní formy s kovem za přítomnosti plynné fysikálně-chemické reakce kovu /taveniny, stuhlé kůry nebo stuhlého odlitku/:

a/ s plyny uvolněnými stěnou keramické formy nebo výplňovou směsí /sypkou nebo kašovitou/

b/ s plyny atmosféry

c/ s komplexními sloučeninami nekovového charakteru, hlavně silikáty.

Všechny typy reakcí tohoto druhu působí opět současně každá více nebo méně intenzivně podle konkrétních podmínek a projeví se - jako u jiných typů slévárenských forem - stejnými druhy slévárenských vad, i když specifických pro tento druh forem:

a/ vadami povrchu odlitků /připečeniny, okujení/

b/ vadami povrchové vrstvy odlitků /bubliny, bodliny/

c/ chemicko-strukturální nehomogenitou v povrchové vrstvě odlitků /zejména oduhličení u ocelových odlitků, nasycení vodíkem u některých slitin neželezných kovů, nasycení kovem vyredukovaným z formovacího materiálu u velmi reaktivních kovů a pod./.

Rozborem principů a mechanismů různých fysikálně-chemických reakcí kovu s formou docházíme k názoru, že v případě připečenin, bodlin, okujení a oduhličování ocelových odlitků - bez ohledu na druh použité formy - je nejčastější primární příčinou průběhu reakcí a vzniku těchto vad vzdušný kyslík [2 - 4].

Vliv řady ostatních specifických parametrů - fysikálních i technologických - se projevuje buď zvyšováním nebo snižováním intenzity působení vzdušného kyslíku, nebo dokonce sekundárně.

Tyto výsledky a úvahy naznačují, že k poznání i výzkumu mechanismu uvedených reakcí a k vypracování vhodných metod k odstranění vznikajících slévárenských vad bude bezpochyby nejsprávnější ta cesta, která bude jednotlivé dílčí vlivy zkoumat a analyzovat právě na předpokladu současně

probíhajícího okysličování východních látek vstupujících do reakce. Již předem lze konstatovat, že nejdříve ji se budou projevovat vlivy takových opatření a parametrů, které budou podstatně snižovat nebo dokonce zabránovat oxidační povrchu odlítků vzdutným kyslíkem.

3. SOUČASNÝ STAV VÝZKUMU A PRAXE V OBLASTI ODULIČOVÁNÍ PŘESNÝCH OCELOVÝCH ODLITKŮ.

Oduhlíčování přesných ocelových odlitků vyráběných metodou vytavitele-
ného nebo spalitelného modelu je vedle řady obvyklých slévárenských povrchov-
vých vad - známých již z klasických metod lití - jedním ze značných problémů
výroby v celosvětovém měřítku. Podle druhu a složení oceli i podle použité
technologie dochází běžně k úplnému odulíčování do hloubky 0,05 až 0,1 mm
a k částečnému do hloubky 0,2 - 0,5 někdy až 0,8 mm. Tato vada se projevuje
velmi nepřijemně u středně a výše uhlíčených ocelí konstrukčních i nástrojovo-
vých, není však rozhodující u ocelí určených k cementování.

Na podstatu odulíčování a metody k jeho zabránění nebo odstranění
existuje jak u nás tak i v zahraničí řada názorů, avšak ani mechanismus
ani kinetika dějů probíhajících v keramické formě po odlití není dosud dosta-
tečně vyřešena. Je však nutno konstatovat, že některé doporučované metody
k zabránění odulíčení se často rozcházejí ve svých fyzikálně-chemických prin-
cipech, protože neuvažují v plné šíři komplex dějů a reakcí probíhajících ve
formě současně a vzájemně se podmínujících.

3.1. Dosavadní literární názory na podstatu odulíčování a její proti němu.

Snaha postřehnout mechanismus a kinetiku odulíčování ocelových přes-
ných odlitků se stala aktuální s postupným rychlým rozvojem přesného lití,
zejména za posledních 10 let. Celá řada pracovníků se ve svých konkrétních
podmínkách výzkumu i provozu zabývala studiem vlivu různých faktorů na hloubku
odulíčení, avšak ani výsledky těchto prací ani dnešní stav ve výrobě přesných
odlitků nám dosud nedávají vyčerpávající odpověď a směrnicí, jak vyrábět odlit-
ky spolehlivě bez této vady.

Pro lepší přehled, orientaci a naznačení souvislostí jednotlivých vlivů
a dějů byly základní myšlenky a názory literárních pramenů uspořádány podle
schematu v tab. 3.1. Jednotlivé vlivy a parametry jsou seřazeny podle své
fyzikální a technologické podstaty do několika skupin.

Uvedme charakteristiku jednotlivých vlivů a jejich sest. praktickou
aplikaci dle literárních pramenů.

3.1.1 Vliv složení materiálu odlitku.

Značný vliv na výsledné odulíčení má nesporně obsah uhlíku, a to v tom
smyslu, že se zvyšujícím se jeho obsahem se za jinak stejných podmínek hloubka
odulíčení vrstvy zvětšuje, což lze zdůvodnit zejména zrychlením difuze uhlíku
a rostoucím koncentračním spadem. Na přesných odlitcích tuto skutečnost potvrz-

Hlavní druhy různých faktorů ovlivňujících hloubku odhličení sestavových edlitků při přesném lití do keramických forem.

		Přibližně korespondující faktory z hlediska
	odlitku	formy
Materiál	Obsah uhliku	Materiál formy a jeho fyzikálně-chemické vlastnosti: a/ materiál keramické skořepiny b/ materiál výplňové směsi c/ materiál kovového rámu
	Obsah legujících prvků	Přítomnost nauhlíčujících látek ve formě
	Obsah doprovodných prvků a způsob desoxydace	Čistota keramické hmety a obsah příměsi
	Způsob krystalisace a průběh difuze	Struktura keramické skořepiny a její vlastnosti /hlavně prodyšnost/
Příprava pro lití, odlévání forem	Přehřátí a lici teplota kovu Působení plynné atmosféry ve formě	Vypálení a teplota předehřátí formy
Způsob ochlazování a atmosféra formy	Způsob a rychlosť chlazení ztuhlého odlitku Působení plynné atmosféry ve formě na materiál odlitku	Způsob a rychlosť chlazení formy /včetně odlitku/ Působení plynné atmosféry ve formě na materiály formy /skořepinu, výplňovou směs, kovový rám/
Konstrukce odlitku a formy	Prářez a tvar odlitku Pelcha odlitku ve formě /výškově i radiálně/	Velikost formy a stupeň jejího zaplnění odlevaným kovem

je KEIPER [5], u tvářených ocelí až do teplot 1200°C /při žihání/ např. PAŇKOV [6], GOLOVNĚV [7], MOSKVIČEV [8], avšak zcela opačný názor pro tvářené oceli vyslovuje ŽUK a JEREMENKO [9].

Velmi výrazně se projevuje též přítomnost ostatních prvků v oceli, jak doprovodných tak i slitinových. Obecně jednotlivé prvky působí podle svého vlivu na slitiny základní soustavy Fe-C buď ve směru zvětšování či zmenšování hloubky oduhlíčené vrstvy, a to s různou intensitou podle druhu legur a jejich koncentrace. V otázce vlivu různých prvků na oduhlíčovací reakce se různí autoři často rozcházejí, protože v řadě případů nevývají ostatní podmínky zkoušek stejné. VLASOV [10] dle svých zkoušek považuje vliv manganu /do 1,2 - 1,6 % Mn/ v oceli za příznivý k zabránění oduhlíčení, KEIPER [5] a KONOSOV [11] mluví o nevýrazném vlivu a [12] považuje přítomný mangan za "nepřítele přesného lití", zatímco přítomný křemík za "přítels".

Při výzkumu oduhlíčování tvářených ocelí /při žihání do 1200°C / PAŇKOV [6] souhlasně s VLASOVEM [10] uvádí kladný vliv mangantu pro osesení oduhlíčování a vysvětuje tuto skutečnost zpomalením difuze uhlíku. Tentýž vliv přichází i chromu, zatímco přítomnost křemíku považuje za nevhodnou, protože křemík naopak značně urychluje difuzi uhlíku v železe, což je známou skutečností [13].

Vliv ostatních prvků na poměry oduhlíčování není pravděpodobně tak výrazný v mezech, které přicházejí v praxi konstrukčních ocelí v úvahu. Platí to zejména o vlivu W a Mo, které působí obdobně jako chrom nebo mangan. K obdobným závěrům u přesných odlitek dochází též KEIPER [5]. Naopak zvětšení hloubky oduhlíčení lze očekávat zejména za přítomnosti kobaltu, event. niklu, které zrychlují difuzi uhlíku v γ - železe.

Na výsledné oduhlíčení může mít vliv též mechanismus samotné krystallisace ocelí vlivem peritektické reakce /hlavně u ocelí do 0,5 % C/, avšak pracovníci z oboru přesného lití tuto alternativu buď neuvažují nebo nepokládají za realní [14]. Naopak při krystallisaci ocelových odlitek v kovových formách nebo nepředehřátých pískových formách - tento jev byl pozorován VLASOVEM [10], který výslednou strukturu s výraznými feritickými dendrity považuje za primární protože difusními procesy se obsah uhlíku v celém objemu bezpochyby dobře nevynaloval. Další možný vliv spůsobu krystallisace u ocelí se může projevit při překrystallisaci tuhého roztoku γ na ferit a perlit u podsektoidních ocelí. HOUDREMONT [15] i JEŠNITZER [16] s odkazem na zkoušky dalších autorů popisují vznik čistě feritické vrstvy na povrchu chladnoucí oceli, která vzniká zejména v důsledku podstatně větší difusní rychlosti uhlíku v α - železu /ve srovnání s γ - železem/ za event. přítomnosti Si, Al, Cr, P a pod. v oceli.

3.1.2 Vlivy materiálu formy.

Pod pojmem materiál formy musíme při lití do keramických forem metodou vytavitevního modelu uvažovat podle druhu formy /bezobalový způsob, obalový způsob s kašovitou výplňovou směsí, obalový způsob se sypkou výplňovou směsí, samonosná skořepina/ vždy všechny použité materiály formy, protože každý z nich může za různých okolností různě ovlivnit probíhající děje a reakce /kvalitativně i kvantitativně/.

Vzhledem k tomu, že v současné praxi se zatím nejvíce využívá způsob obalový se sypkou výplňovou směsí v kovovém rámu /t.zv. "zasypaná skořepina"/, zaměříme se zejména na příslušné druhy materiálu.

Vliv materiálu keramické skořepiny se může projevit buď svými fysikálními vlastnostmi /tepelná vodivost, měrné teplo/ nebo svými fysikálně-chemickými vlastnostmi čili chemickou stabilitou. Přesto, že dřívější názory na vliv materiálu formy se shodovaly v tom, že odhličení vzniká jako produkt reakce kovu s formou - hlavně s formou na basi SiO_2 , výsledky prací v posledních letech primární působení tohoto vlivu neuvažují [5, 14, 17] a za hlavní příčinu reakce považují oxysličování vzdušným kyslíkem. Z hlediska fysikálních vlastností bude forma splňovat vhodné podmínky k zábraně odhličení při vysoké tepelné vodivosti a vysokém měrném teple skořepiny, čímž se zaručí zejména rychlejší chlazení odlitku krátce po odlítí [18, 19].

Opomíjen bývá v mnoha studiích i materiál sypké výplňové směsi, který může opět působit jak svými fysikálními vlastnostmi /zejména tepelnou vodivostí a měrným teplem/, tak také svou srnitostí, stavem, čistotou a pod.

Pokud se použije pro výplňovou směs čistého materiálu /např. křemenného písku/ budou zejména fysikální vlastnosti značně závislé na jeho srnitosti a počtu různých frakcí, t.j. bude záviset na dokonalosti zaplnění objemu výplňové směsi. Čím bude materiál obsahovat větší množství prachového podílu a velmi malých zrn, tím bude prostor více zaplněn a vlastnosti takovéto směsi se budou více blížit vlastnostem kompaktního materiálu. Naopak bude-li materiál obsahovat zrna hrubá, pokud možno jedné frakce, bude zaplnění prostoru zrn minimální.

Velmi častým důvodem odhličování je i čerstvá, dosud nepoužitá výplňová směs, nebo směs navlhčlá [10, 20], protože vodní pára i event. vodík působí jako intenzivní odhličovací prostředky. Obdobným způsobem se musí projevit i snaha o rychlé chlazení forem vzduchem, do kterého se rospřáhuje vodní mlha [21], čímž se sice rychleji snižuje teplota forem a odlitků, ale současně se do atmosféry vnáší i vlhkost.

Mnohonásobně použitá výplňová směs, která sice neobsahuje vlhkost, ale je značně znečištěna přítomnou okuji nebo zokujenými ocelovými zbytky /rozstříhaným

kovem, úlomky a pod./ je naopak ještě nebezpečnější při odhličování odlitků, protože je stálým zdrojem kyslíku přímo ve formě. Hloubka odhličení se s rostoucím množstvím okuje úmerně zvyšuje [20].

Ve stejném smyslu jako okuje se projevuje i vliv materiálu kovových formovacích rámů z uhlíkových nebo nízkolegovaných ocelí, které při vysokých teplotách žihání forem se pokrývají silnou vrstvou okuje. Ta se uvolňuje a sněžíkuje výplňovou směs. I ulpělá okuj na vnitřní stěně formovacího rámu působí obdobně jako okuj ve směsi - je trvalým zdrojem kyslíku ve formě [20]. K zamezení tohoto účinku se v tuzemsku i v zahraničí pracuje s rámy z tvářených nebo litých žáruvzdorných ocelí [22] nebo z slitovaných ocelí uhlíkových [20].

Na zamezení odhličení velmi příznivě působí přítomnost nauhličujících látek ve formě, a to jak v keramické skořepině, tak i ve výplňové směsi. Přídavky nauhličujících látek, zejména dřevěného uhlí nebo koksu, do výplňových směsí jsou dosti používané, s větším či menším úspěchem. Přidává se obvykle 3 - 15 % vah. nauhličující látky do směsi [20, 21, 23, 24]. Méně obvyklé jsou přídavky nauhličujících prostředků do keramické skořepiny - např. grafitu, sycení tvrdým voskem [11, 25], nebo prostředků schopných kyslik chemicky vázat a eventuálně uvolňovat uhlík - např. karbidy CaC_2 [26], SiC , B_4C [24, 27]. Ve funkci výplňové směsi s nauhličujícím prostředkem byly zkoušeny též třísky ze šedé litiny, nebylo však dosaženo příznivých výsledků [5].

Vzhledem k tomu, že hlavním zdrojem kyslíku pro reakce odhličování je kyslík z vnějšku keramické skořepiny, bude logicky záležet i na prodyšnosti keramické skořepiny, která je ve srovnání s prodyšností pískových forem několikanásobně menší [5]. Jak ukazují výsledky zkoušek na KSL, nelze však prodyšnost normální keramické skořepiny měnit při stávající technologii ve velmi širokých mezích [28], přestože KEIPER [5] vlivu rozdílné prodyšnosti přikládá poměrně větší váhu. Pro srovnání však využívá formu téměř zcela neprodyšnou - skořepina vytvořena v porcelánové trubce.

3.1.3 Vliv přípravy taveniny.

Vliv desoxydace na vznik odhličení je pravděpodobně zanedbatelný, jak uvádí KEIPER [5] i KAZENNOV [14]. KAZENNOV však současně upozorňuje na ne-příznivý vliv hliníku na vrubovou houševnatost při několikanásobném přestavování a doporučuje konečnou desoxydaci pomocí CaC_2 , čímž se vrubová houševnatost zvýší až 2,5 krát.

V otázce vlivu lící teploty taveniny jsou skutečné experimentálně získané závěry velmi nepřesné, spíše jde často o teoretickou dedukci. KEIPER [5]

i PELLER [29] konstatují pouze to, že výše lící teploty nemá na výslednou hloubku odůhličení vliv, GORJUNOV [20] naopak uvídí, že s rostoucí lící teplotou se hloubka odůhličení zvětšuje.

3.1.4 Přínosy keramických forem k lití.

Za předpokladu, že jsou formy dobré vypáleny, t.j. na $900 - 1000^{\circ}\text{C}$, má rozhodující vliv zejména předehřívací teplota forem pro lití. Vzhledem k výrazným objemovým změnám forem na basi SiO_2 při teplotách kolem 573°C se všeobecně doporučuje volit za minimální teploty cca $580 - 600^{\circ}\text{C}$, protože jinak dochází k popraskání a borcení skořepin, značným změnám výsledného smrštění odlitků a pod. Snížení předehřívací teploty působí hlavně na rychlosť ochlazování odlitku a projevuje se tedy příznivě ve smyslu omezení hloubky odůhličení [5, 20, 29]. Významný vliv změnění předehřívací teploty by se značněji uplatnil při použití forem z materiálů bez náhlých objemových změn, např. forem na basi Al_2O_3 včetně pojiva.

3.1.5 Vliv způsobu odlévání forem.

V dnešní průmyslové praxi se obvyklé oceli odlévají zpravidla za normálních atmosferických podmínek. Zkušebními tavbami se však prokázalo, že v případě odlévání a chlazení v redukční atmosféře lze prakticky odůhličení odstranit [5]. Tento postup je však poněkud nákladný a bylo by obtížné aplikovat jej v širokém měřítku.

Obdobný, nikoliv však zcela spolehlivý účinek, ukázalo vstříkování trichlorethylenu do žhavé formy těsně před litím [29]. Tento způsob není ale dosti vhodný z hlediska hygieny a bezpečnosti práce a technicky je ještě obtížně ovladatelný v provozu.

3.1.6 Vliv způsobu ochlazování a atmosféry foremy.

Těmito vlivům byla věnována značná část dosud provedených výzkumů a řada navržených opatření se ukázala poměrně výhodných. Způsob a rychlosť chlazení zhlubiny odlitku i formy nelze ve většině případů oddělit, pakliže chlazení probíhá současně, t.j. odlitek až do normálních nebo až do nižších teplot je uložen ve výplňové směsi. Řada opatření k zamezení odůhličování sleduje jako hlavní způsob zvýšení rychlosti ochlazování. Příznivý vliv tohoto faktoru byl přímo i nepřímo prokázán; např. PELLER [29] i ŠKLENNÍK [21] doporučují ke zrychlení chlazení forem ofukování odlitych forem stlačeným vzduchem, s event. rozprašováním vodní mlhy. KONOSOV [11] velmi propaguje z těchto důvodů odlévání do samonosných skořepin, v nichž odlitky tuhnou a chladnou značně

rychleji. Kada autorů dává přednost též brzkému vyjímání skořepin s odlitky z výplňové směsi a jejich volnému chlazení na vzduchu [14, 21, 29, 30], ve vodě [21] nebo v ochranných atmosférách [5, 10, 14, 17, 29]. PELLER [29] upozorňuje však současně i na vliv venkovní teploty na rychlosť chlazení a vlhkosti okolního vzduchu, protože při jinak stejně technologii může jejich vlivem docházet k dosti velkým rozdílům v hloubce oduhličení.

Vzhledem k tomu, že se při oduhličování předpokládá oxydace povrchu odlitku kyslíkem, má velký význam plynná atmosféra formy /jako celku/. K zábraně oxydačním reakcím by byla velmi výhodná redukční atmosféra vytvořená buď reakcemi ve formě nebo připravená vně formy [5, 12, 21, 29]. Řešení tohoto závažného problému je však pouze rámcově naznačeno tím, že je nutno zvýšit poměr CO/CO₂ bez konkrétních, byť jen řádových údajů [5, 11]. Ve formě se však atmosféra musí přizpůsobovat nejen soustavě atmosféra-oceslový odlitek, ale současně též soustavě atmosféra-rám, atmosféra-výplňová směs /s okujemi/ a atmosféra-skořepina. Právě z tohoto hlediska nabývá celý problém opět komplexnější podoby. Event. cílový rovnovážný stav mezi atmosférou, odlitkem a ostatními částmi formy bude určován všemi reagujícími složkami současně. Je přirozené, že tedy kromě zajištování redukční atmosféry ve formě je nutno v prvé řadě ostranit či kompensovat všechny vlivy, které by narušovaly dosažení vhodného složení redukční atmosféry pro zabránění oduhličování. Markantním příkladem rušivých vlivů tohoto druhu jsou např. zplodiny reakcí redukční atmosféry s vrstvou okuje rámu nebo okujemi výplňové směsi. Stanovení optimálních parametrů a charakteristiky atmosféry formy jeví se bezprochyby prvořadým problémem, protože obvykle dosahované parametry jsou schopny zajistit sice získání lesklého povrchu odlitku bez okují, nezabranují však oduhličení, jak plyne z KEPEROVÝCH zkoušek [5].

3.1.7 Konstrukce odlitku a formy

Přestože většina již uvedených prací tuzemských i zahraničních se shodně vyjadřuje k otáce vlivu průřezu odlitku v tom smyslu, že se zvětšujícím se průřezem vzniká hloubka oduhličení, nebyl tento vliv exaktněji vyjádřen. Současně je nutno konstatovat, že ani v pracích převážně teoretických se žádný z dostupných pramenů nepokusil o obecnější vyjádření "průřezu odlitku" s ohledem na jeho tvar - např. poměrnou tloušťkou odlitku a pod. Podobně se málo uvažuje i tvar odlitku - vliv dutin, děr, rohů, koutů, hran v relaci k vnějším plochám odlitků.

Dalším výrazným vlivem na hloubku oduhličení se projevuje konstrukce celé formy a umístění /poloha/ odlitku v prostoru formy. Tento vliv je výrazný

zejména proto, že tepelné pole stromečku s odlitky a jeho blízké okolí je velmi nehomogenní pro značně nerovnoměrné rozložení kovové hmoty ve žhavé formě. Při nejčastějším uspořádání vtokové soustavy do tvaru stromečku s mohutným vtokovým kůlem v ose formy je právě vtokový kůl velikým zásobníkem a zdrojem tepla, které zabírá rychlejšímu ochlazování odlitků. Význam poměru tepelného obsahu veškerého odlitého kovu ve formě ku tepelně-akumulační schopnosti celé formy /včetně výplňové směsi a rámu/ nebyl dosud sledován a pravděpodobně ani dostatečně doceněn.

Vliv polohy odlitku ve formě, a to jak ve směru radiálním, tak i axiálním /výškově při svislé poloze stromečku v rámu/ je vice méně znám z praxe zahraničních i tuzemských sléváren. Konkrétní naměřené hodnoty uvádí ŠLENNIK [21] dle provozních zkoušeností ZIL Moskva, avšak pouze pro krajní podmínky - horní etáž a spodní etáž, aniž by měřil hloubku odlehličení u všech etáž po výšce stromečku. Jeho výsledky neukazují příliš pronikavý rozdíl - ve spodní etáži je hloubka odlehličení cca 80 - 85 % hloubky odlehličení v horní etáži.

3.2. Dosavadní metody boje proti odlehličování a okysličování přesných ocelových odliteků.

Různost názorů na podstatu děje odlehličování se projevuje i ve značné různosti názorů na metody boje proti této vadě. V podstatě můžeme dosavadní způsoby omezování nebo zabránění vzniku odlehličení rozdělit na metody a/ pasivního charakteru, které vzniklou vadu často až dodatečně napravují /více nebo méně dokonale/

b/ aktivního charakteru, které na základě více nebo méně poznání podstaty působí úpravou některého parametru brzdícího odlehličovací reakce

3.2.1 K metodám pasivního charakteru můžeme zařadit prakticky všechny chody t.zv. nápravného nauhlíčování. Jedná se v podstatě o cementaci odlehličených odlitků v prášku, jehož složení a teplotu cementace je vhodné upravit podle obsahu uhlíku v základním materiálu odlitku. Velmi snadno se ověddají parametry cementace při nápravném nauhlíčování odlitků s hloubkou cca 3 mm úplného odlehličení. Této podmínce je třeba přizpůsobit parametry lití [21, 30 - 32].

V podmírkách moderní velkoseriové výroby ocelových přesných odliteků se nápravné nauhlíčování provádí cementací v plynu, která umožňuje důkladnější a přesnější automatickou regulaci a kontrolu teplot i složení atmosféry a tudíž optimální produktivitu procesu [33, 34]. Dle provozních zkoušeností moderní slévárny firmy Hitchiner Mfg. Co. /Milford - USA/ však BROAD [34] kon-

statuje, že i při automatickém řízení nauhličovacího procesu v plynni je nauhličování odlitků značně dražší než obvyklé pochody cementace součástí z tvářených cementačních ocelí.

3.2.2 Metody s aktivním charakterem jsou založeny na nejrůznějších principech, zejména na použití nauhličovacích prostředků, zvýšené rychlosti chlazení odlitků, úpravě parametrů lití a použití ochranných atmosfér.

a/ Použití nauhličujících prostředků /dřevěné uhlí, koks, cementační prášek/ jakožto přídavků do výplňové směsi se často používá pro svou technickou nenáročnost a poměrně dosti intensivní vliv. Podle množství přidaného nauhličujícího prostředku /obvykle v mezích 3 - 15 % vahy výplňové směsi/ a konstrukce formy se více nebo méně dokonale omezuje přístup vzdušného kyslíku do formy a k povrchu odlitku a vytváří se redukční atmosféra v okolí keramické skořepiny [20, 21, 23, 24]. Charakter této atmosféry, daný poměrem CO/CO₂, bude však bezpochyby v různých místech formy různý, protože kovový rám je otevřen a vzdušný kyslík má do formy volný přístup. Tímto opatřením se sice dá dosáhnout jistého omezení odhličení, neodstraňuje se však tato vada úplně. Také pro praktické použití ve větším provozu je výplňová směs s nauhličujícími prostředky méně přijemná než pro zvýšenou prázdnost a znečištění prostředí, ale též proto, že soustavná kontrola obsahu uhlíkatých látek a úprava nové výplňové směsi je poměrně obtížná.

Použití nauhličujících prostředků jako příslad do keramické skořepiny je méně obvyklé, avšak značně spolehlivější [11, 25]. Za jejich přiměřenosti vzniká přímo v pórech skořepiny a její dutině redukční atmosféra nedokonalým hořením uhlíku, který vznikl v průběhu vypalování skořepin. Při vypalování skořepin masyčných např. tvrdými vosky na basi ceresinu, kala funy, pryskyřic a smol, dochází ke zkoksování zbytků těchto látek. Značného prosycení skořepin se dosahuje vytavováním modelů z těchto tvrdých vosků v modelové směsi stejného složení a nikoliv vzduchem nebo ve vodě. Zvýšením zbytkového obsahu uhlíku ve skořepině na dvojnásobek - z cca 0,25 % C při vytavování vodou na 0,48 % C při vytavování ve vosku, vysvětluje KONOSOV [11] příznivé výsledky této metody.

b/ Význam zvýšení rychlosti chladnutí forem tkví především v tom, že ocelový odlitek se značně rychleji ochladí z teplot kolem 1500 - 1400°C na teploty 600 - 700°C a tím se podstatně skrátí doba intensivního okysličování a hlavně odhličování jeho povrchu. Praktikuje se řada metod, však všechny nelze považovat za optimální.

Tak např. ochlazováním ztuhlých odlitků ve vodě se nejen vnější do odlitku značná vnitřní pnutí, která mohou být příčinou prasklin, ale materiál se může v tenčích partiích i kalit, což představuje vedle dalších pnutí a praskání též omezení obrobitevnosti [21]. Odstranění těchto druhotných vad /pnutí a zakalení/ vyžaduje nový ohřev.

Mnohem účinější a praktičtější je ochlazování ztuhlých odlitků /včetně skořepiny/ volně na vzduchu. Odlitky se vyjmají z výplňové směsi krátce po odlití, přičemž se tato doba podle zkušeností různých autorů značně různí. Deba setrvání odlitků ve výplňové směsi bývá v rozmezí 3 až 30 min. po odlití [14, 21, 29 a 30, 35].

Podle KONOHOVA [11] vykazuje při lití do žhavých keramických forem /900°C/ nejrychlejší ochlazování samonosná skořepina. Toto KONOHOVOVO zjištění vyplývá bezpechy z podmínek jeho zkoušek, t.j. individuálního chlazení forem a odlitků, avšak nelze souhlasit s tím, že má širší obecnou platnost v podmírkách slévárenského provozu.

Podmínky chladnutí samonosných skořepin tak jak se často provádějí v provozech - skupina forem na žhavém pískovém loži nebo pecním vozíku - mohou někdy mít za následek, že chladnutí takovýchto forem může být pomalejší nežli u odlitků ve formách zasýpaných, které byly předtím vytopeny na nižší teploty.

Kada dalších metod je založena na zrychleném chlazení celé formy /odlitku, skořepiny, výplňové směsi, rámu/. Doporučuje se buď intenzivní ohukování forem stlačeným vzduchem [21, 29] nebo chlazení forem v tunelu v proudu vzduchu, do kterého se rozprášuje vodní mlha nebo pára [21]. V souhlase s PELLEREM [29] je však možno konstatovat, že použití vodní mlhy nebo páry je dosta problematické, protože vlhkost v atmosféře v okolí forem může naopak působit ve smyslu zvětšování oduhlíjení.

- c) Úpravy parametrů lití jsou v podstatě zvláštním způsobem zvýšení rychlosti ochlazování a spočívají zejména ve znižení teploty předchráti formy, event. až na normální teplotu při použití jiných keramických materiálů /např. Al_2O_3 /, a ve snížení teploty líci [5, 20, 29]. Přestože se jedná o prostředek dosta účinný, nelze tyto úpravy aplikovat stejně ve všech případech, protože oba parametry výrazně ovlivňují zaběhnutí. Nelze se tedy vždy vyhnout nebezpečí nezaběhnutí nebo vzniku jiných slévárenských vad, takže výsledný praktický význam nemí značný [36]. Tuto ohměnu normální technologie nelze také považovat za rozhodující v normálním velkoseriovém provozu, ale pouze jako doplněk metod jiných.

a/ Při použití ochranných atmosfer v období odlévání, tuhnutí a chladnutí odličků se setkáváme s nejrozmanitějšími metodami.

Jednou z aplikací ochranných atmosfer je zábrana okysličování při odlévání kovu. Praktikuje se vstřikování trichlorethylenu do dutiny formy těsně před litím, vhazování teflonových třísek [29], propláchnutí formy inertním plynem, světlypnum nebo ochrannou atmosférou [5]. Všechny tyto metody mají tan účel, že se sníží možnost okysličení taveniny a pokud je současně těmito prostředky odstraněn i vzdušný kyslík z okolí skořepiny a jejích pórů, je možno počítat se zmenšením okysličení odličku.

Poněkud složitější poměry nastávají při tuhnutí a chladnutí odličku. Obvyklými metodami aplikace ochranných atmosfer nebo inertních plynů se dá dosáhnout zejména lesklých neokysličených povrchů odliček, avšak nelze zcela zamezit odhličení. Různými obměnami zkoušek došel i tomuto závěru KEIPER [5], který tyto způsoby nazývá "lesklým litím" /"Blankgiessen"/. Přesto však tyto výsledky považuje za významné, při dosažení odliček s lesklým povrchem lze značně ušetřit na čištění odliček a také nápravné nauhličování se provádí anadněji.

Obdobný výsledek se projevuje i při použití sníženého tlaku vzduchu nebo inertních plynů nebo ochranných atmosfer, kdy je ovšem možno při vyšších teplotách očekávat i uhlíkovou reakci s kysličníky taveniny nebo formy.

V souvislosti s účinkem atmosfery v okolí formy i ve formě je nutno zdůraznit tu okolnost, že v současné době pro omezení odhličování se používají kovové rámy form z materiálů žáruvzdorných, které ve své okuji mnohem pevněji váží kyslík než samo železo u rámů z uhlíkových ocelí [20]. Přesto, že tato praxe je obvyklá v tuzemsku i v zahraničí [22], stěžejním důvodem pro toto opatření je spíše hledisko životnosti rámů, než zmíněný technický význam. Z téhož důvodu bezpochyby zůstává stále neřešen i problém přítomnosti zbytků okuji a kovu ve výplňové směsi.

Kromě uvedených způsobů provozní aplikace příznivého vlivu některých známých činitelů, které ovlivňují odhličování odliček, je možno upozornit na některé další vlivy, které zatím nadále zůstávají výzkumem i praxí opomenuty. Jedná se zejména o tyto činitele:

- a/ přísadové prvky, zejména Mn a Cr
- b/ srnitost výplňové směsi
- c/ čistotu výplňové směsi /okuje, zbytky kovu, silikáty a pod./
- d/ průdyšnost keramických form

e/ konstrukci vtokové soustavy

f/ zvýšení uhlíkového potenciálu ochranných atmosfer.

Za značný nedostatek dosavadního výzkumu a zejména praktických aplikací je možno považovat též tu skutečnost, že veškeré používané metody využívají vždy téměř výhradně ovlivnění pouze jednoho nebo dvou činitelů a nechávají buď nevhodně nebo živelně působit ostatní bez jejich úvahy. Lze tedy současněmu stavu vytknout hlavně nekompletní pohled na problém odhličení ocelových odlitek.

3.3. Dosavadní experimentální metody při výzkumu a kontrole odhličení přesných ocelových odlitek.

V oboru experimentální metodiky není jednotka ani ve tvaru zkoušebního těleska ani ve způsobu vyhodnocování hlebky odhličení.

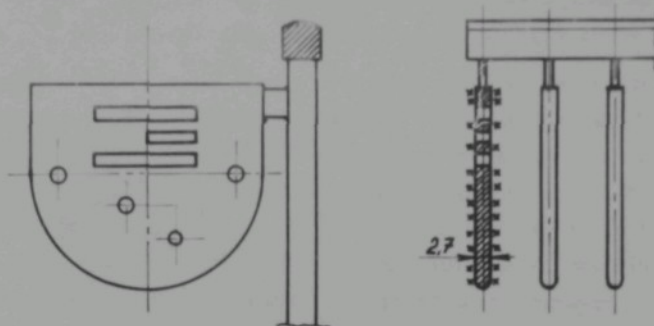
Celá řada dosavadních znalostí o vlivu různých činitelů na hlebku odhličení byla získána jejich měřením na provozních odlitech, jejichž tvar ani velikost nebyly uvedeny [17, 20, 21, 27, 29 - 32, 34, 35, 37]. Pouze některí autoři bud zvolili k systematickým zkouškám zvláštní těleska nebo upravili provozní odlitek [5, 11, 14, 24].

KELPER [5] zvolil pro své rozsáhlé zkoušky odlitek tvaru destičky s několika otvory kruhovými i podélnými /viz. obr. 3.1/. Rozměry odlitku neuvedl s výjimkou tloušťky - 2,7 mm. Odlitky byly odlévány ve svíslé poleze, vždy le kusů vedle sebe. Jedná se pravděpodobně o provozní odlitky. Odhličení bylo zjištěno metalograficky na řezu destiček.

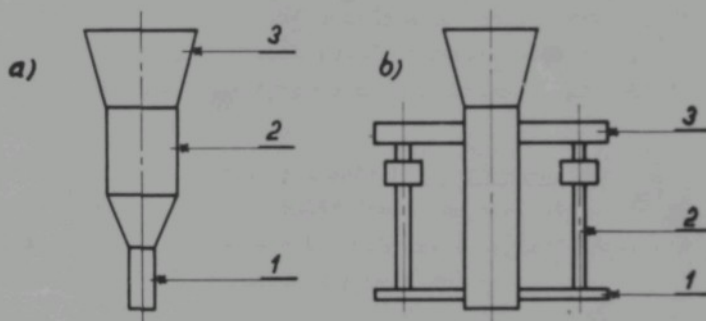
KAZENNOV [14] použil ke zkouškám též odlitků ve tvaru destiček, avšak připravených pouze pro tyto účely. Destičky měly čtvercový tvar 60x60 mm a tloušťku 3 a 5 mm. Blížší údaje o tvaru a celkovém uspořádání vtokové soustavy neuvedl.

KONOSOV [11] studoval odhličování na dvou typech tělesek: válcovém odstupňovaném odlitku, který však spíš respektuje vtokový kůl /obr. 3.2a/ a "bloku" lopatek, které jsou jistou obdobou zkoušebních destiček /obr. 3.2b/. Rozměry najdou uvedeny.

Zcela odlišný typ zkoušebního těleska použil IVANOV [24] /obr. 3.3/, a to zejména pro důkaz, že výsledné odhličení je především dánno možností přístupu vzdušného kyslíku k odlitku /místo A/ a nikoliv největším prohřátím formy /místo C/, pokud uvažujeme pouze samotné zkoušební tělesko. Průměr zkoušebního těleska, ani blížší údaje o rozměrech vtokové soustavy a kovového rámu neuvedl.

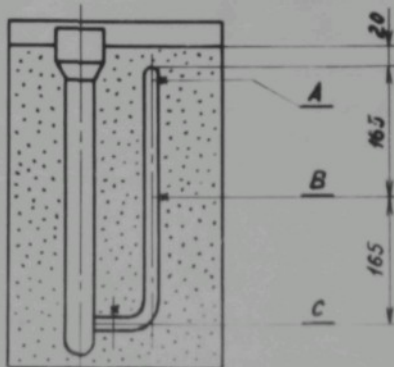


Obr. 3.1 Zkušební odlitek tvaru destičky podle KELPERA [5]



Obr. 3.2 Zkušební odlitky podle KONOSOVA [11]

a) válcový odstupňovaný odlitek b) "block" lopatek



Obr. 3.3 Zkušební odlitek podle IVANOVA [24]

Dále popsané dva typy zkoušek zasahují sice zcela odlišný obor výzkumu, uvedeme je však pouze proto, že při našich zkouškách jsme se pokusili použít obdobnou metodu i pro zkoušky oduhličení, a to nikoliv zcela beúspěšně.

V oboru studia reakce formy s kovem - zejména pro studium připečenin - se materiál, obklopený formovací hmotou, tavi přímo v dutině formy indukčně, podle povahy zkoušek zůstává delší nebo kratší dobu roztaven a posléze tuhne a chladne v téže formě. Tento typ zkoušek používá např. LJASS [38] nebo GULJAJEV a jeho spolupracovníci [39]. Vlastním zkoušbním těleskem bývá obvykle válec o průměru kolem 15 - 20 mm, obdobné výšky. Přestože touto metodou byla vypracována řada prací a získáno mnoho cenných výsledků, je při indukčním chřevu dosti problematické sledování teploty právě na rozhraní reagujících fází.

Principiálně, nikoliv příliš odlišnou metodou, prováděli MINOWA a KATO [40] své zkoušky počátečních podmínek reakce mezi uhlíkem a křemenem nebo korundem. Žíhali silisovaný prášek obou komponent při různých teplotách ve vakuum.

Velmi závažným problémem je i způsob vyhodnocování hloubky oduhličení vrstvy. Většina autorů nijak přesněji nedefinuje ani význam naměřených hodnot ani metodou měření. Z textu jednotlivých prací se nedá jasně poznat, zda hloubka oduhličení byla měřena metalograficky.

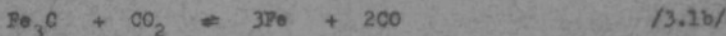
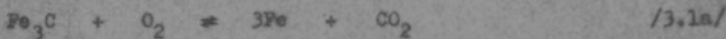
V tuzemských slévárnách se hloubka oduhličení definuje a zjišťuje podle normy ČSN 420496 [41], která rozděluje celou hloubku oduhličení na dvě části: s úplným a s částečným oduhličením. Nevhodou způsobu hodnocení hloubky oduhličení podle ČSN je to, že rozhraní mezi úplným a částečným oduhličením není dobře definovatelné při praktickém měření a bylo by tudiž nesprávné ukreslovat vezájemné poměry úplného a částečného oduhličení. Výhodnější je určovat hranici úplného a částečného oduhličení, jako vzdálenost od povrchu odlitku, t.j. ve smyslu normy celkovou hloubku oduhličení /úplné + částečné/ a hloubku úplného oduhličení.

4. Zhodnocení dosavadních výzkumů v oboru oduhličování přesných odlitek.

Přehled dosavadních poznatků v oboru oduhličování přesných ocelových odlitek ukazuje na značnou různost názorů na mechanismus celého děje a různost použitých prostředků k omezení nebo zabránění oduhličování. Celý dosavadní výzkum trpí bezpochyby tím, že je prováděn spíše empiricky na provozech až systematicky po hlubším teoretickém rozboru. Celou řadu dosavadních, asto velmi cenných výsledků, nelze vždy zobecnit, protože autoři opomíjejí řešenější definice podmínek experimentů, včetně definic tvaru vzorků.

Za více méně prokázanou skutečnost podle literárních pramenů je možno považovat to, že oduhlíkování ocelových odliteků vzniká téměř výhradně působením molekulárního kyslíku /ze vzduchu nebo atmosféry/ nebo působením atmosféry s nízkým uhlíkovým potenciálem. Právě na problému určení uhlíkového potenciálu pro dané poměry ztroskotává většina uvedených prací. Je vidět, že řada autorů posuzuje pojem "redukční atmosféry" podle obvyklých poměrů při tepelném zpracování ocelí při teplotách v oblasti $750 - 950^{\circ}\text{C}$ a nikoliv při teplotách blízkých solidu. Ze snahy vysvětlit děje oduhlíkování odlitků i v přítomnosti t.zv. redukčních atmosfér pak vyplývají často velmi složité teorie o reakci odlitku s materiélem keramické skořepiny za daných podmínek.

Celý dosavadní výzkum však dosud postrádá správné, teoreticky i experimentálně doložené vysvětlení průběhu reakce a vlivu hlavních určujících parametrů na její průběh, přestože se jedná v podstatě o velmi jednoduché reakce,



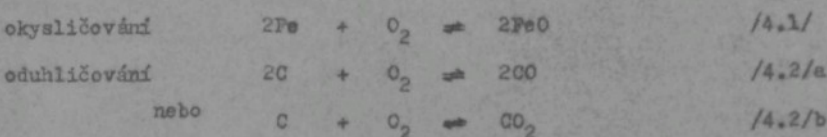
Žádná z uvedených prací se nezabývá např. vlivem tlaku, resp. parciálních tlaků CO a CO₂ v použitych atmosferách, kromě KELPERA [5], který ovšem z tohoto hlediska osvětluje podmínky průběhu reakce uhlíku s keramikou /SiO₂/ . Lze však oprávněně potvrdit, že právě řešení reakcí a b, složení a tlak atmosféry za teplotních podmínek chladnoucích odlitků jsou klíčovým problémem pro výzkum oduhlíkování. Všechny vlivy dalších činitelů pouze kladně či záporně ovlivňují průběh teploty reakcí.

Také přehled dosavadních experimentálních metod, včetně dosud nedefinované metody měření hlcubky oduhlícené vrstvy plně podporuje uvedené názory o převážně empirickém a provozním výzkumu problému oduhlíkování.

Zásadním problémem všech opatření směřujících k omezení oduhlíkování je též to, zda reakci zabranujeme pouze zevními vlivy v okolí formy nebo skořepiny, či přímo v místě průběhu reakce, t.j. na rozhraní skořepiny a odlitku. Náš dřívější názor o nutnosti zabránovat reakcím přímo y místě reakce [42] byl v poslední době ověřen prakticky pracemi KONOHOVA [11] a ŠAGEJEVA [25], kteří tak dosáhli velmi dobrých výsledků. Přesto však není možno považovat tento postup za plně vyčerpávající, protože poměry v místě reakce závisí i na vlivu okolí. Řešení celého problému oduhlíkování musí proto vycházet z komplexního posouzení reakcí a návrhu takového komplexního opatření, které by respektovalo optimální působení všech rozhodujících vlivů a parametrů v místě reakce i vně skořepiny za daných teplotních poměrů odlitku a formy.

4. PODSTATA ODUHLIČOVÁNÍ OCELOVÝCH ODLITKŮ V KERAMICKÝCH FORMÁCH.

Při chlazení odlité formy probíhají za normálních atmosférických podmínek na rozhraní keramické formy a ocelového odlitku současně dva děje - okysličování a oduhlíčování povrchu odlitku. Oba děje jsou svým charakterem ději difusními, z čehož plyne, že rychlosť okysličování i oduhlíčování se se vzrůstající teplotou zvyšuje a naopak. Oba procesy potřebují pro svůj průběh určité množství kyslíku, jak ukazují rovnice /4.1 a 4.2/ :



Tyto rovnice však vyjadřují jen princip a nikoliv skutečné fyzikálně-chemické děje na rozhraní forma-odlitek, nebo v povrchové vrstvě odlitku. Například uhlík nepřichází u oceli v úvahu v elementární formě, ale většinou jako vázaný. Zezadu zásadní otázkou je zejména zdroj kyslíku. Obecně může přicházet v úvahu buď vzdušný kyslik, kysličníkové sloučeniny /kysličníky odlévaného kovu, materiál formy, silikáty/, vodní pára nebo uhlovodíky, anebo okysličující atmosféry či atmosféry s nízkým uhlíkovým potenciálem (CO/CO_2) .

Výsledky dosavadního výzkumu a řady provozních zkoušek dávají téměř bez výhrady za pravdu tvrzení, že kyslik pro obě reakce pochází převážně ze vzduchu a atmosféry v bezprostředním okolí odlitku. Kyslik je do místa reakce nasáván pory formy a výplňovou směsí. Důkaz obdobného mechanismu nasávání kyslíku do místa reakce byl shledán i při odlévání do kokil, kdy se vzduch nasává do mezery po odlehnutí odlitku od formy v období jeho chladnutí a smrštování v tuhému stavu.

Výsledky dosud provedených prací v oboru oduhlíčování ocelových odlitků /viz.kap.3/ ukazují, že podle jejich základních principů můžeme prostředky k omezení nebo zamezení oduhlíčování shrnout do tří základních kategorií:

- Zkrátit dobu styku vzdušného kyslíku nebo nevhodných atmosfer s povrchem chladnoucího odlitku při vysokých teplotách na nejménší možnou míru.
- Zabránit zcela nebo částečně přístupu vzduchu, respektivě vzdušného kyslíku k formě a odlitku po dobu odlévání, tuhnutí a chlazení až do teplot minimálně $700 - 600^\circ\text{C}$.
- Vytvořit během odlévání a chlazení odlitku ve formě vhodnou redukční nebo nauhlíčující atmosferu, která by zabránila okysličování železa i vázaného uhlíku v celém rozsahu teplot od teploty licí až do $700 - 600^\circ\text{C}$.

Podstatným ztížením řešení celého problému pro odlistky je nestálá teplota odlistku, měnící se při jejich chladnutí v poměrně velmi širokých mezech - od teploty oca 1500°C až po normální - nejméně však až po 700°C . Naproti tomu u obvyklých zkoušek korozních, především studií kinetických, bývá právě teplota veličinou konstantní po celou dobu zkoušky.

Z uvedených důvodů jsou i podmínky zkoušek a studia mechanismu a kinetiky reakcí okysličování a oduhlíčování odlistků podstatně odlišné od podmínek obvyklých zkoušek korozních a navíc složitější pro nestálost jednoho z nejdůležitějších parametrů - teploty. V případě odlistků je třeba navíc uvažovat i ovlivnění průběhu a výsledku reakcí korozních fyzikálním stavem, vlastnostmi i chemickým složením povrchových korozních zplodin, které více či méně intenzivně reagují s přítomným formovacím materiálem i odlistkem.

Dosavadní známé výsledky řady korozních zkoušek laboratorního i provozního charakteru a z nich odvozené obecnější zákonitosti v oboru okysličování a oduhlíčování ocelí až do teplot $1200 - 1250^{\circ}\text{C}$ mohou být pouze velmi hrubým vodítkem, a to spíše metodickým.

Obecně můžeme při studiu rovnovážných poměrů při okysličování a oduhlíčování ocelí - analogicky ze zkoušeností korozních zkoušek - považovat pro průběh těchto reakcí za rozhodující tyto hlavní parametry:

- a/ obsah uhlíku v oceli
- b/ obsah ostatních prvků v oceli
- c/ teplota reakce
- d/ složení a tlak atmosféry — a pro odlistky navíc ještě
- e/ složení, vlastnosti a stav formovacího materiálu.

Pro obor koruze uhlíkových a níželegovaných ocelí - nám dnešní stav výzkumu dává již řadu možností stanovit pro dané teploty ohřevu vhodné podmínky složení ochranné atmosféry, event. i složení ocelí tak, aby k okysličování a oduhlíčování docházelo minimálně nebo k němu nedocházelo vůbec. K určení takových podmínek jsou sice vypracovány metody počtařské, např. [8, 9, 47], avšak mnohem přehlednější a výhodnější pro praxi jsou metody grafické [8, 9, 13, 48 a 50], a to až do teplot $1200 - 1250^{\circ}\text{C}$. Za velmi dokonalé lze považovat zejména diagramy CAMERONA a BARRATTA [48], SMITHA [49] a SCHEILA, SCHMIDTA, WÖNNINGA [50]. Tyto diagramy jsou konstruovány pro podmínky ohřevu ocelí pro tváření a tepelné spracování, t.j. respektují ~~je~~ zejména rovnováhu všech hlavních složek plynné atmosféry / CO_2 , CO , H_2 , H_2O , CH_4 / s ocelí daného složení; většinou bývají vypracovány pro jednotlivé

teploty ohřevu v oboru nižších teplot /maximálně do 1250°C /.

Za základ všech těchto grafických řešení nutno však považovat RICHARDSONŮV [51] diagram závislosti standartní volné energie slitin železa a uhlíku na teplotě, doplněný stupnicemi pro grafické určení aktivity uhlíku a_{C} a potenciálů $P_{\text{CO}_2}^2 / P_{\text{CO}_2}$ a $P_{\text{CH}_4} / P_{\text{H}_2}^3$.

4.2. Vlastní řešení rovnovážných poměrů reakcí odlitků.

Grafické metody uvedené v předcházející kapitole [48 - 50] nelze však pro stanovení obdobných podmínek u chladnoucích ocelových odlitků použít, protože v závislosti na čase se teplota odlitku mění. Kromě toho je nutno vhodným způsobem zahrnout i event. reakce s formovacím materiélem. Vzhledem k těmto okolnostem mohou řešení umožnit pouze vhodně velené zjednodušující podmínky.

V oboru přesného lití do keramických forem metodou vytavitevního modelu, kdy se oceli odlévají do žhavých nebo předehrátých forem - většinou přímo po jejich dokonalém vypálení /křemenné skořepiny na $900^{\circ}\text{C} - 1000^{\circ}\text{C}$ /, je možno oprávněně předpokládat, že při odlévání, tuhnutí a chladnutí odlitků se z keramické skořepiny ani z bezprostředního okolí skořepiny ve formě

- a/ nebude uvolňovat vodní pára /zdroj vodíku a kyslíku/
- b/ nebudou uvolňovat a rozkládat nespálené uhlíkovidiky /zdroj vodíku, kyslíku, CO_2 , CH_4 a dalších plynných podle druhu organické látky/.

Za těchto podmínek je možno při řešeních abstrahovat od vlivu vodíku a jeho sloučenin i vodní páry a uvažovat průběh reakcí okysličování a oduhlíčování pouze kyslíkem nebo CO_2 bez bližší specifikace jejich původu.

Potom můžeme všechny reakce probíhající na rozhraní formy s ocelovým odlitkem, t.j. všechny reakce za přítomnosti uhlíku /z oceli/, sledovat právě s ohledem na vzájemnou vazbu kyslíkových a uhlíkových potenciálů ve směsích CO a CO_2 . Je přirozené, že tímto způsobem lze určit i podmínky pro reakce s kyanidkovými formovacími materiály.

Ze známých interpretací grafického vyjádření termodynamických závislostí se nejvíce naznačenému schématu přibližuje diagram SCHEILA, SCHMIDTA a WENNINGA [50], který rovnovážné podmínky pro směsi $\text{CO} - \text{CO}_2$ s austenitem, cementitem a grafitem znázorňuje v rozmezí teplet $800 - 1230^{\circ}\text{C}$ v současných log $K = f / \frac{1}{T}$, kde K je rovnovážná konstanta reakcí, T absolutní teplota / $^{\circ}\text{K}$ /.

Tento diagram je z hlediska použití obecně výhodný pro uvedené nižší teploty; pro řešení poměrů okysličování a oduhlíčování odlitků je sice

metodicky velmi cenný, avšak včeně nedostatečný:

a/ Pro studium poměrů oduhlíčování je nutné určit rovnovážné podmínky pro teploty tuhnutí ocelí, svěnt. i pro taveniny.

b/ Rovnovážná konstanta K obecně zahrnuje veškeré vlivy složení i tlaku atmosféry a obsahu uhlíku i ostatních prvků v oceli, avšak vliv těchto činitelů na konstantu K bylo nutno řešit zvláště.

Veškeré zmíněné nedostatky Scheilova diagramu byly odstraněny diagramem vypracovaným autorem /viz. obr. 4.1/ a to tím způsobem, že rovnovážné poměry pro oceli s různým obsahem uhlíku % C/ a tedy i s různou aktivitou uhlíku a_C byly vysnaženy v souřadnicích

$$\log \left(p_{CO}^2 / p_{CO_2} \right) = f / \frac{1}{T}$$

4.2.1 Výchozí data pro konstrukci diagramu rovnovážných podmínek.

Pro výpočty základních rovnovážných parametrů jednotlivých reakcí a při konstrukci diagramu byla použita dosud nejprůsnejší data pro slitiny Fe-C podle RICHARDSONA [51] a SMITHA [49] pro teplotní rozsah od $600^\circ C$ do teploty tavení těchto slitin i pro taveniny. Také k výpočtům rovnovážných poměrů při tvorbě kysličníků a karbidů byly použity RICHARDSONOVY [52, 53] údaje, pořovnané nebo doplněné v některých případech zejména údaji KUBASCHEWSKÉHO a EVANSE [54], JESINKA [55], SAMARINA [56] a ELLIOTTA [57]. Přehled všech použitých výchozích dat podává tab. 4.1.

4.2.2 Konstrukce diagramu rovnovážných podmínek.

Diagram rovnovážných podmínek je určen pro studium okysličování a oduhlíčování ocelí za vyšších a velmi vysokých teplot, proto je jeho základem soustava čar, které představují rovnovážné poměry slitin $Fe-Fe_3C$ s různým obsahem uhlíku v atmosferách $/CO + CO_2/$. Poloha jednotlivých čar a určení souřadnic na osách diagramu vyplývají z následujících úvah a výpočtů.

4.2.2.1 Stabilita cementitu slitin $Fe-Fe_3C$ v atmosferách $/CO + CO_2/$ (obsah uhlíku určen valovým procentem).

Rovnovážné podmínky pro stabilitu cementitu slitin $Fe-Fe_3C$ stanovíme z rovnovážných podmínek chemických reakcí:

a/ $reakce \quad 3Fe \quad + \quad /O/ \Rightarrow Fe_3C \quad /4.3/$
 která určuje rozpouštění uhlíku v železe a vznik a rozklad cementitu jako chemické sloučeniny

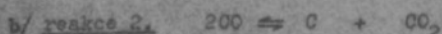
Výchozí data pro výpočet volných entalpií ΔG°

Tabulka 4.1

Druh reakce	Právnost +kcal/mol	$\Delta G_i^\circ = A + B_0 T \log T + C_0 T$ (cal/mol)			Teplotní rozeh. α_K	Literární pramen
		A	B	C		
<u>Vlastnosti \bar{Y}_θ, \bar{C} v záležitosti</u>						
	obsah uhliku % vah.					
$C = [C]_{\infty - Y_\theta}$	0,01	1	20000	-31,49	273 - 1071	
	0,001	1	20000	-25,98	273 - 1182	
	0,0001	1	20000	-30,55	273 - 1183	
$C = [C]_{T - Y_\theta}$	1,5	1	10800	-8,48	1267 - 1521	
	1,0	1	10300	-9,75	1073 - 1013	
	0,5	1	10200	-11,48	1035 - 1768	
	0,3	1	10200	-12,58	1073 - 1748	
	0,1	1	10200	-14,70	1135 - 1728	
	0,01	1	10200	-19,35	1183 - 1670	
	0,001	1	10200	-23,93	1183 - 1673	
	0,0001	1	10200	-28,50	1183 - 1673	
$C = [C]_{\delta - Y_\theta}$	0,1	1	15900	-16,83	1765	
	0,01	1	15900	-21,46	1623 - 1803	
	0,001	1	15900	-25,98	1673 - 1612	
$C = [C]_{\infty - k_0 Y_\theta}$	4,0	1	6400	-4,83	1438 - 2273	
	3,0	1	6400	-5,95	1548 - 2273	
	2,0	1	6400	-7,27	1633 - 2273	

$C = [C]_{\text{saturation}}$	4,0	2	6400	2	9,02
	3,0	1	6400	-	5,95
	2,0	1	6400	-	7,27
	1,5	1	6400	-	8,25
	1,0	1	6400	-	9,70
	0,75	1	6400	-	10,49
	0,5	1	6400	-	11,50
	0,3	1	6400	-	12,62
	0,1	1	6400	-	14,91
	0,01	1	6400	-	19,48
	0,001	1	6400	-	24,06
	0,0001	1	6400	-	28,63
<hr/>					
<u>Kartidge</u>					
$2\gamma e$	+	0	$=$	$\bar{\nu}_{e3}^0$	
	1		6770	-	54,57
	2		2730	-	54,57
			9454	+	54,57
				4,167	57
Si	+	C	$=$	SIC	
	3		1270	+	51, 54, 57
	4		24010	+	51, 54, 57
				8,33	51, 54, 57
$1/2Ca$	+	C	$=$	$1/2 CaC_2$	
	1		6850	-	51
			25690	+	51
				3,40	51
				6,98	51
				1765 + 2500	51
$23/6 Cr$	+	C	$=$	$1/6 Cr_2C_6$	
	1		16380	-	51, 54, 57
			44600	+	51, 54, 57
				3,16	51, 54, 57
				1155 - 1940	51, 54, 57
A_B	+	C	$=$	B_A^0	
	1		15313	+	57
				3,91	57
				1173 - 2300	57
<hr/>					
<u>Katalyse</u>					
(CO)	+	$1/2 (O_2)$	$=$	(CO_2)	
	1		26700	-	40, 52, 54
			47100	-	48, 52, 54
				0,1	48, 52, 54
(H_2)	+	$1/2 (O_2)$	$=$	$1/2 (H_2O_2)$	
	1		67500	+	48, 52, 54
				20,75	48, 52, 54
(H_2)	+	$1/2 (O_2)$	$=$	(H_2O_2)	
	1		298 - 2500	-	49, 54
			298 - 2500	-	48, 52, 54
				293 - 2500	48, 52, 54
				298 - 2500	49, 54

$\langle C \rangle$	\rightarrow	$\langle CO_2 \rangle$	\Rightarrow	$\tilde{2} \langle CO \rangle$	1	\rightarrow	40500		\rightarrow	$-41,25$	$298 \sim 2500$	$48, 54$
$\langle Fe \rangle$	\rightarrow	$1/2 \langle O_2 \rangle$	\Rightarrow	$\langle FeO \rangle$	3	\rightarrow	62050		\rightarrow	$+14,95$	$298 - 1642$	$48, 52, 54$
$\langle Fe \rangle$	\rightarrow	$1/2 \langle O_2 \rangle$	\Rightarrow	$\langle FeO \rangle$	3	\rightarrow	31970		\rightarrow	$+8,86$	$1642 - 1688$	52
$\langle Fe \rangle$	\rightarrow	$1/2 \langle O_2 \rangle$	\Rightarrow	$\langle FeO \rangle$	3	\rightarrow	25620		\rightarrow	$+16,03$	$1688 - 2000$	$52, 54$
$\langle FeO \rangle$	\rightarrow	$1/2 \langle O_2 \rangle$	\Rightarrow	$\langle Fe_3O_4 \rangle$	3	\rightarrow	74620		\rightarrow	$-29,9$	$298 - 1642$	$46, 54$
$1/2 \langle SiO \rangle$	\rightarrow	$1/2 \langle O_2 \rangle$	\Rightarrow	$\langle Fe_3O_4 \rangle$	3	\rightarrow	164150		\rightarrow	$+21,65$	$295 - 1760$	$52, 54$
$1/2 \langle Si \rangle$	\rightarrow	$1/2 \langle O_2 \rangle$	\Rightarrow	$\langle FeCl_2 \rangle$	7	\rightarrow	168705		\rightarrow	$+24,45$	$1760 - 2000$	$52, 54$
$\langle Mn \rangle$	\rightarrow	$1/2 \langle O_2 \rangle$	\Rightarrow	$\langle MnO \rangle$	3	\rightarrow	91950		\rightarrow	$+17,31$	$298 - 1500$	$52, 54$
$\langle Mn \rangle$	\rightarrow	$1/2 \langle O_2 \rangle$	\Rightarrow	$\langle MnO \rangle$	3	\rightarrow	55400		\rightarrow	$+19,62$	$1500 - 2051$	$52, 54$
$2/3 \langle Cr \rangle$	\rightarrow	$1/2 \langle O_2 \rangle$	\Rightarrow	$1/3 \langle Cr_2O_3 \rangle$	4	\rightarrow	89250		\rightarrow	$+20,7$	$298 - 2160$	$52, 54$
$2/3 \langle Al \rangle$	\rightarrow	$1/2 \langle O_2 \rangle$	\Rightarrow	$1/3 \langle Al_2O_3 \rangle$	8	\rightarrow	128750		\rightarrow	$+22,15$	$930 - 2360$	$52, 54$
$1/2 \langle TiO \rangle$	\rightarrow	$1/2 \langle O_2 \rangle$	\Rightarrow	$1/2 \langle TiO_2 \rangle$	6	\rightarrow	168750		\rightarrow	$+20,7$	$298 - 2160$	52
$\langle Ca \rangle$	\rightarrow	$1/2 \langle O_2 \rangle$	\Rightarrow	$\langle CaO \rangle$	10	\rightarrow	153550		\rightarrow	$+25,64$	$1124 - 1760$	$52, 54$
$\langle Ca \rangle$	\rightarrow	$1/2 \langle O_2 \rangle$	\Rightarrow	$\langle CaO \rangle$	10	\rightarrow	190125		\rightarrow	$+46, 62$	$1760 - 2500$	$52, 54$
<u>Obratování železa a manganu ke plitomosti</u>												
<u>Hloubka kyseliny</u>												
$\langle Fe \rangle$	\rightarrow	$1/2 \langle O_2 \rangle$	\Rightarrow	$1/2 \langle SiO \rangle$		\rightarrow	66340		\rightarrow	$+16,1$	$960 - 1470$	52
$\langle Fe \rangle$	\rightarrow	$1/2 \langle O_2 \rangle$	\Rightarrow	$1/2 \langle FeO, SiO_2 \rangle$		\rightarrow	60140		\rightarrow	$+12,1$	$1470 - 1503$	52
$\langle Fe \rangle$	\rightarrow	$1/2 \langle O_2 \rangle$	\Rightarrow	$\langle FeO, Al_2O_3 \rangle$		\rightarrow	75000		\rightarrow	$+20,9$	$1160 - 1460$	53
$\langle Mn \rangle$	\rightarrow	$1/2 \langle O_2 \rangle$	\Rightarrow	$\langle Cr_2O_3 \rangle$		\rightarrow	65800		\rightarrow	$+12,1$	$1173 - 1760$	53
$\langle Mn \rangle$	\rightarrow	$1/2 \langle O_2 \rangle$	\Rightarrow	$\langle SiO_2 \rangle$		\rightarrow	95200		\rightarrow	$+18,7$	$298 - 1500$	52
$\langle Mn \rangle$	\rightarrow	$1/2 \langle O_2 \rangle$	\Rightarrow	$\langle SiO_2 \rangle$		\rightarrow	96650		\rightarrow	$+21,0$	$1500 - 1547$	52



/4.4/

která určuje obecně podmínky okysličování uhlíku v atmosféře /CO + CO₂/.

Rovnovážné podmínky obou současně probíhajících reakcí můžeme vyjádřit rovnicemi pro volnou entalpii reakcí ΔG° , a vyjádřením rovnovážných konstant aktivitami u tuhých a kapalných látek a parciálními tlaky u plynů:

pro reakci 1.

$$\Delta G_1^\circ = -4,575 \cdot T \cdot \log K_1 = -4,575 \cdot T \cdot \log \frac{a_{\text{Fe}_3\text{C}}}{a_{\text{Fe}} \cdot a_{\text{C}}} \quad /4.5/$$

pro reakci 2.

$$\Delta G_2^\circ = -4,575 \cdot T \cdot \log K_2 = -4,575 \cdot T \cdot \log \frac{a_{\text{C}} \cdot p_{\text{CO}_2}}{p_{\text{CO}}} \quad /4.6/$$

Protože železo Fe i cementit Fe₃C můžeme považovat za čisté kondenzované fáze s aktivitami rovnými 1, bude mít výraz pro volnou entalpii reakce 1 /rovn.4.5/ tvar

$$\Delta G_1^\circ = -4,575 \cdot T \cdot \log \frac{1}{a_{\text{C}}} = +4,575 \cdot T \cdot \log a_{\text{C}} \quad /4.7/$$

ze kterého můžeme určit aktivitu uhlíku a_{C} pro libovolný obsah uhlíku /vhod. % C/ ve slitině Fe-Fe₃C /ze známého ΔG_1° - viz tab. 4.1/ při libovolné teplotě T /°K/.

Rovnice 4.6 pro reakci 2. určuje obecně rovnovážné podmínky pro okysličování uhlíku, a to při daném složení a tlaku atmosféry /CO + CO₂/ pouze v závislosti na aktivitě uhlíku a_{C} a na teplotě T /°K/. Pro čistý uhlík, který by představoval čistou kondenzovanou fázi, bude aktivita $a_{\text{C}} = 1$ a rovnovážné podmínky budou závislé pouze na teplotě. Avšak pro okysličování uhlíku ve slatinách Fe-Fe₃C je nutno uvažovat jeho aktivitu právě v těchto slatinách, vyjádřenou z rovnice 4.7 jako

$$\log a_{\text{C}} = \frac{\Delta G_1^\circ}{4,575 \cdot T} \quad /4.8/$$

Dosazením tohoto výrazu do rovnice pro ΔG_2° /rovn.4.6/

$$\Delta G_2^\circ = -4,575 \cdot T \cdot \left(\frac{\Delta G_1^\circ}{4,575 \cdot T} + \log \frac{p_{\text{CO}_2}}{p_{\text{CO}}} \right) \quad /4.9/$$

s úpravou na tvar

$$\log \frac{p_{\text{CO}}^2}{p_{\text{CO}_2}} = \frac{\Delta G_1^\circ + \Delta G_2^\circ}{4,575 \cdot T} \quad /4.10/$$

získáváme rovnici pro určení rovnovážných podmínek stability cementitu slitin Fe-Fe₃C v atmosférech /CO + CO₂/. Z této rovnice lze přímo určit

složení atmosféry /CO + CO₂/ za celkového tlaku 1 atm pro slitinu Fe-Fe₃C s libovolným obsahem uhlíku ve vahových procentech /určeno ΔG°₁ - viz.tab.4.1/ při teplotě T /°K/.

Pro vyjádření teplotní závislosti volné entalpie ΔG° bývá běžně užíván vztah

$$\Delta G^{\circ} = A + B \cdot T + C \cdot T \quad /4.11/$$

dle kterého se dosazují pro každou konkrétní reakci tabelované hodnoty konstant A,B a C /viz. tab. 4.1/. Pro volnou entalpii slitin Fe-Fe₃C i pro volnou entalpii většiny kysličníků a karbidů bývá však zpravidla konstanta B = 0, čímž rovnice 4.11 přechází v jednodušší přímkový tvar /viz.např. Ellinghamovy diagramy pro kysličníky/:

$$\Delta G^{\circ} = A + C \cdot T \quad /4.12/$$

Toto zjednodušení umožňuje i výhodnou úpravu rovnice 4.10 na tvar

$$\log \frac{P_{CO}}{P_{CO_2}^2} = \frac{A_1 + C_1 T + A_2 + C_2 T}{4,575 \cdot T} = \frac{A_1 + A_2 + C_1 + C_2 \cdot T}{4,575 \cdot T} \quad /4.13/$$

a dále na jednodušší tvar

$$\log \frac{P_{CO}}{P_{CO_2}^2} = \frac{A'}{T} + C' \quad /4.14/$$

ve kterém A' a C' jsou konstanty určené z rovnice

$$A' = \frac{A_1 + A_2}{4,575} \quad a \quad C' = \frac{C_1 + C_2}{4,575} \quad /4.15/a,b$$

A₁, C₁ a A₂, C₂ jsou konstanty pro určení ΔG°₁ a ΔG°₂ z rovnice 4.12 /viz.tab. 4.1/.

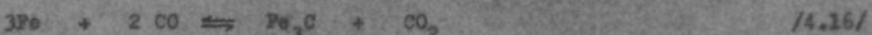
Konstanta A₂ platí pro reakci 2. /rovn. 4.4/ v širokém teplotním rozsahu /298 až 2500 K/, ale konstanta A₁ pro reakci 1. /rovn. 4.3/ vždy jen pro určité oblasti stability jednotlivých tuhých roztoků uhlíku v železe /viz.tab. 4.1/; proto bude i výsledná konstanta A'/dle rovn.4.15/ platit vždy jen v příslušné oblasti stability každého druhu tuhého roztoku. Se změnou obsahu uhlíku ve slitinách Fe-Fe₃C bude v oblasti stability určitého tuhého roztoku konstanta A' stálá, bude se však měnit konstanta C'/vlivem změny C₁/.

Pro každou oblast stability tuhého roztoku uhlíku v železe /oblast α, T a δ/ i pro oblast taveniny představuje tedy rovnice 4.14 v souřadnicích log $\frac{P_{CO}}{P_{CO_2}^2}$ - $\frac{1}{T}$ vždy soustavu rovnoběžných přímek odstupňovaných podle obsahu

uhliku ve slitině /viz. obr. 4.1./. Tento způsob vyjádření rovnovážných podmínek současně probíhajících reakcí 1. a 2. umožňuje dále stanovit i podmínky oduhličování i nauhličování slitin Fe-Fe₃C a teplotní závislosti uhlíkového potenciálu - vyjádřeného poměrem p_{CO}^2 / p_{CO_2} - těchto reakcí, t.j.

i složení vhodné atmosféry /CO + CO₂/ . Grafické vyjádření této závislosti sestavou rovnoběžných přímek dovoluje dále i snadnou interpolaci, event. extrapolaci, v jednotlivých oblastech stability tuhých roztoků podle konkrétního složení slitin a teploty reakce.

Závislost uhlíkového potenciálu p_{CO}^2 / p_{CO_2} na teplotě, vyjádřená jako $\log p_{CO}^2 / p_{CO_2} = f \left(\frac{1}{T} \right)$ - ~~za podmínky celkového tlaku $p_{CO} + p_{CO_2} = 1 \text{ atm}$ a slitin Fe-Fe₃C bez přítomnosti slitinových nebo doprovodných prvků~~ - je současně též rovnici teplotní závislosti rovnovážné konstanty K_{12} výsledná reakce /z reakci 1. a 2. dle rovnic 4.3 a 4.4/ .



Za uvedených podmínek lze rovnovážné poměry této výsledné reakce vyjádřit volnou entalpií ΔG_{12}^0

$$\Delta G_{12}^0 = -4,575 \cdot T \cdot \log K_{12} = +4,575 \cdot T \cdot \log \frac{p_{CO}^2}{p_{CO_2}} \quad /4.17/$$

Právě v tomto rozdílném pojetí se výjedná odlišuje diagram SCHEILŮV [50], který jako základ uvádí závislost $\log K_{12} = f / \frac{1}{T}$, od diagramu sestaveného autorem v souřadnicích $\log \frac{p_{CO}}{p_{CO_2}} = f / \frac{1}{T}$ /pro každý obsah uhlíku

ve slitině Fe-Fe₃C určený aktivitou a_C /event. vahovým procentem/. Mimo to je SCHEILŮV diagram [50] vykonstruován pouze pro teplotní rozsah 700 až 1230°C /973 až 1503 K/ .

Vypočtené hodnoty $\frac{p_{CO}^2}{p_{CO_2}}$ a p_{CO} / p_{CO_2} pro slitinu Fe-Fe₃C s různým obsahem uhlíku /0,001; 0,01; 0,1; 0,3; 0,5; 1,0; % C/ pro celkový tlak $/p_{CO} + p_{CO_2}/ = 1 \text{ atm}$ jsou pro různé teploty uvedeny v tab. 4.2 a graficky znázorněny ve smyslu rovnice 4.14 v diagramu na obr. 4.1. Průměry vyjadrující rovnovážné poměry u jiných obsahů uhlíku ve slitinách Fe-Fe₃C byly zakresleny po interpolaci nebo extrapolaci podle hodnot vypočtených.

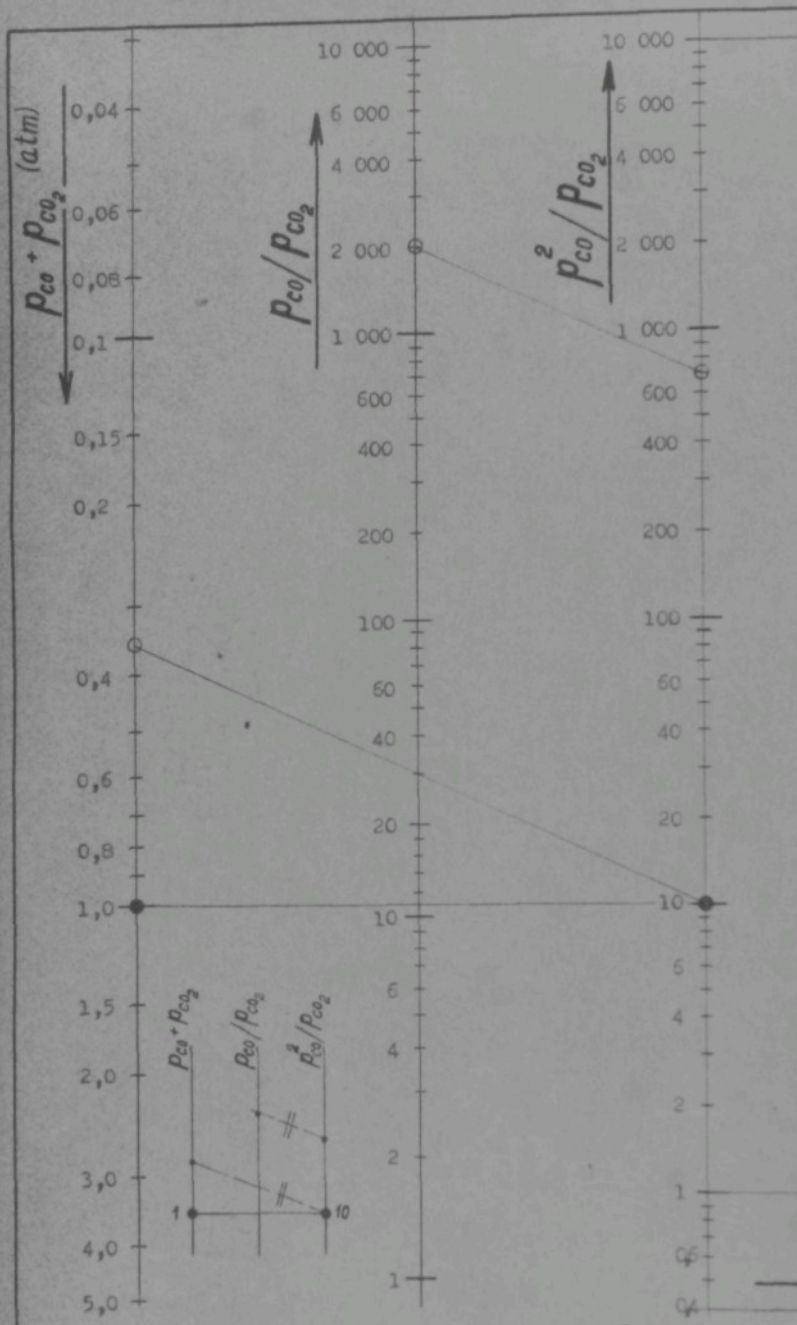
4.2.2.2 Stabilita cementitu slitin Fe-Fe₃C v atmosférách /CO + CO₂/ /obsah uhlíku určen aktivitou uhlíku/ .

K určení rovnovážných podmínek pro oduhlíčování reálných slitin Fe-Fe₃C -

Vypočtené hodnoty uhlikových potenciálů pro slitiny Fe - Fe₃C

Obsah uhliku % vah.	$\Delta G_{\overline{12}} = (A_1 + A_2) + (C_1 + C_2) \cdot T$	$\log \left(\frac{P_{CO}^2}{P_{CO_2}} \right) = - \frac{\Delta'}{T} + C'$
0,01	<u>Oblast tuhého roztoku γ</u> $\Delta G_{\overline{12}} = - 29\ 700 + 21,90 \cdot T$	$\log () = - \frac{6492}{T} + 4,7858$
0,1	$\Delta G_{\overline{12}} = - 29\ 700 + 26,47 \cdot T$	$\log () = - \frac{6492}{T} + 5,7858$
0,3	$\Delta G_{\overline{12}} = - 29\ 700 + 28,67 \cdot T$	$\log () = - \frac{6492}{T} + 6,2667$
0,5	$\Delta G_{\overline{12}} = - 29\ 700 + 29,77 \cdot T$	$\log () = - \frac{6492}{T} + 6,5071$
1,0	$\Delta G_{\overline{12}} = - 29\ 700 + 31,50 \cdot T$	$\log () = - \frac{6492}{T} + 6,8853$
	<u>Oblast tuhého roztoku α</u>	
0,001	$\Delta G_{\overline{12}} = - 20\ 500 + 15,27 \cdot T$	$\log () = - \frac{4480,7}{T} + 3,3377$
0,01	$\Delta G_{\overline{12}} = - 20\ 500 + 19,85 \cdot T$	$\log () = - \frac{4480,7}{T} + 4,3377$
	<u>Oblast tuhého roztoku δ</u>	
0,01	$\Delta G_{\overline{12}} = - 24\ 600 + 19,85 \cdot T$	$\log () = - \frac{5377,1}{T} + 4,3377$
0,1	$\Delta G_{\overline{12}} = - 24\ 600 + 24,42 \cdot T$	$\log () = - \frac{5377,1}{T} + 5,3377$

P_{CO_2}	P_{CO}/P_{CO_2}	pro teploty:				
862	910	1340	1397	1435	1455	1475
1135	1183	1613	1670	1708	1728	1748
8,82	8,46	6,20	5,98	5,85	5,78	5,72
	0,1985 0,5560		7,913 8,811			
1,164 1,807					106,6 107,1	
						357,3 357,8
				508,4 508,9		
		725,3 725,8				
	1410	1492	1535			
	1683	1765	1808			
	5,94	5,67	5,53			
		*				
		13,89 14,87		23,10 24,05		
			195,5 196,25			

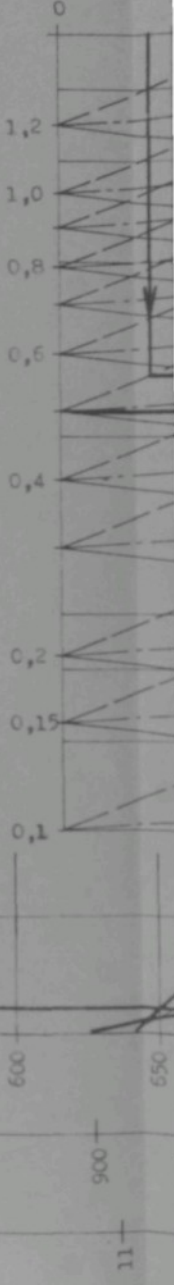


Obr. 4.1 Diagram rovnovážných podmínek stability slitin Fe - Fe₃C, karbidů a kysličníků v atmosférách CO + CO₂

Vliv přísadových

obsah

obsah uhliku (% vah.)





t.j. oceli, je nutno zahrnout do výpočtu i vliv případových a doprovodných praviků. Jejich vliv na odůhličovací reakce a příslušné rovnováhy se bude projevovat zejména ve změnách aktivity uhlíku a_C . Aby bylo možno sledovat tyto vlivy v konkrétních podmínkách uhlíkových a nízkolegovaných ocelí, je nutno doplnit v diagramu na obr. 4.1 soustavu rovnoběžných přímek, odstupňovaných podle obsahu uhlíku ve vahových procentech, ještě soustavou křivek podle aktivity uhlíku.

Upravení rovnice 4.6 dostaneme výraz

$$\Delta G_2^{\circ} = + 4,575 \cdot T + / \log \frac{P_{CO}}{P_{CO_2}} - \log a_C / \quad /4.18/$$

odkud

$$\log \frac{P_{CO}}{P_{CO_2}} = \frac{\Delta G_2^{\circ}}{4,575 \cdot T} + \log a_C \quad /4.19/$$

Po dosazení za $\Delta G_2^{\circ} / \Delta G_2^{\circ} = -40500 + 41,25 T$ cal/mol, platnost v rozmezí 298 až 2500°K - viz.tab.4.1/.

$$\log \frac{P_{CO}}{P_{CO_2}} = \frac{-40500 + 41,25 T}{4,575 \cdot T} + \log a_C \quad /4.20/$$

a po úpravě na tvar

$$\log \frac{P_{CO}}{P_{CO_2}} = - \frac{8852,6}{T} + 9,01641 + \log a_C \quad /4.21/$$

dostáváme rovnici pro soustavu rovnoběžných přímek v souřadnicích

$$\log \frac{P_{CO}}{P_{CO_2}} = \frac{1}{T} \cdot V této rovnici je "konstanta" pomocná $/9,01640 + \log a_C/$$$

a určuje odstupňování přímek podle aktivity uhlíku a_C .

Na rozdíl od soustavy přímek podle obsahu vyjádřenho vahovým procentem /kap. 4.2.2.1/ není soustava přímek podle aktivit uhlíku omezena oblastí stability jednotlivých tuhých roztoků uhlíku v železe a má tedy universální použití. Vypočtené hodnoty $\log \frac{P_{CO}}{P_{CO_2}}$ pro dvě teploty $/1173 \text{ a } 1900^{\circ}\text{K}/$ a vybrané hodnoty a_C jsou uvedeny v tabulce 4.3. Polohy přímek pro ostatní hodnoty aktivit uhlíku byly graficky interpolovány v diagramu na obr. 4.1.

Tabulka 4.3

Vypočtené hodnoty uhlíkových potenciálů pro vybrané hodnoty aktivit a_C

Aktivita uhlíku a_C	$T = 1173 \text{ } ^\circ\text{K} / 900 \text{ } ^\circ\text{C}$ $10^4/T = 8,53$		$T = 1900 \text{ } ^\circ\text{K} / 1627 \text{ } ^\circ\text{C}$ $10^4/T = 5,26$	
	$\log \frac{p_{CO}}{p_{CO_2}^2} = 1,46307 + \log a_C$		$\log \frac{p_{CO}}{p_{CO_2}^2} = 4,35710 + \log a_C$	
	$\log \frac{p_{CO}}{p_{CO_2}^2}$	$\frac{p_{CO}}{p_{CO_2}}$	$\log \frac{p_{CO}}{p_{CO_2}^2}$	$\frac{p_{CO}}{p_{CO_2}}$
1,0	1,46307	29,05	4,35710	22,751
0,1	0,46307	2,905	3,35710	2,275
0,01	0,46307 -1	0,29	2,35710	227,5
0,001	0,46307 -2	0,029	1,35710	22,75

4.2.2.3 Vliv celkového tlaku na rovnovážné podmínky plynných reakcí.

Vzhledem k tomu, že v chemické rovnici 4.4. /reakce 2./ pro okysličování uhlíku v atmosféře $/CO + CO_2/$ není počet molek plynnych složek na obou stranách rovnice stejný, bude zlepšení atmosféry CO/CO_2 za rovnovážných podmínek této reakce a všechn reakci s ní souvisejících /t.j. např. reakce 1./ značně závislé nejen na uhlíkovém potenciálu $p_{CO}^2/p_{CO_2}^2$, ale i na celkovém tlaku $CO + CO_2$ /v atmosferách $CO + CO_2/$, resp. na součtu parciálních tlaků $p_{CO} + p_{CO_2}$ /ve směsích s jinými plyny.

Jestliže označíme uhlíkový potenciál daný poměrem $p_{CO}^2/p_{CO_2}^2 = K$ a součet parciálních tlaků $p_{CO} + p_{CO_2} = P$, pak řešením těchto dvou rovnic dostavíme kvadratickou rovnici

$$\left(\frac{p_{CO}}{p_{CO_2}} \right)^2 - \frac{K}{P} \left(\frac{p_{CO}}{p_{CO_2}} \right) - \frac{K}{P} = 0 \quad /4.22/$$

z níž pro daný uhlíkový potenciál a daný tlak P určíme poměr p_{CO}/p_{CO_2}

$$\left(\frac{p_{CO}}{p_{CO_2}} \right) = \frac{K}{2P} \pm \sqrt{\frac{K^2}{4P^2} + \frac{K}{P}} \quad /4.23/$$

Tepřve ze znalosti poměru p_{CO}/p_{CO_2} a součtu parciálních tlaků $p_{CO} + p_{CO_2} = P$ můžeme určit složení atmosféry, která je za daných teplotních a tlakových podmínek rovnovážná.

Vypočtené hodnoty p_{CO}/p_{CO_2} pro tlak $P = 1$ atm jsou uvedeny na tab. 4.4 a vyznačeny v diagramu na obr. 4.1.

Pro tlaky $p_{CO} + p_{CO_2} = P$ různé od 1 atm je možno příslušné poměry p_{CO}/p_{CO_2} určit též graficky z průsečíkového nomogramu, který je připojen k diagramu na obr. 4.1. Z kvadratické rovnice 4.22 vyjádříme poměr $\frac{K}{P}$ výrazem

$$\frac{K}{P} = \frac{\left(\frac{p_{CO}}{p_{CO_2}} \right)^2}{\frac{p_{CO}}{p_{CO_2}} + 1} \quad /4.24/$$

ktý se po zlogaritmování a døízení za K a P

$$\log \left(\frac{K}{P} \right) = \log \left(\frac{Z}{\frac{p_{CO}}{p_{CO_2}}} \right) - \log \left(p_{CO} + p_{CO_2} \right) = \log \left[\frac{\left(\frac{p_{CO}}{p_{CO_2}} \right)^2}{\frac{p_{CO}}{p_{CO_2}} + 1} \right] \quad /4.25/$$

dá výhodně použít pro konstrukci zmíněného diagramu v přímé návaznosti na pořadnice $\log \frac{p_{CO}}{p_{CO_2}}$ a pořadnicu $\log \frac{p_{CO}}{p_{CO_2}}$ vynesenou pro $p_{CO} + p_{CO_2} = 1$

4.2.2.4 Stabilita karbidů v atmosferách /CO + CO₂/.

Pro posouzení vlivu karbidotvorných prvků v ocelích a zejména pro posouzení toho, zda lze vhodně použít některé karbydy jako formovací látky

Tabulka 4.4

Přepečet hodnot p_{CO}/p_{CO_2} na p_{CO}^2/p_{CO_2} při součtu parciálních tlaků

$$P = p_{CO} + p_{CO_2} = 1 \text{ atm.}$$

p_{CO}/p_{CO_2}	p_{CO}^2/p_{CO_2}	$\log p_{CO}^2/p_{CO_2}$	p_{CO}/p_{CO_2}	p_{CO}^2/p_{CO_2}	$\log p_{CO}^2/p_{CO_2}$
0,4	0,114	0,957	-1	9	0,908
0,5	0,225	0,352	-1	10	0,559
0,8	0,355	0,550	-1	12	1,045
1,0	0,5	0,699	-1	14	1,115
1,2	0,654	0,816	-1	16	1,177
1,4	0,816	0,912	-1	18	1,232
1,6	0,985	0,993	-1	20	1,279
1,8	1,155	0,962		30	1,462
2,0	1,333	0,925		40	1,591
2,5	1,785	0,252		50	1,690
3,0	2,25	0,352		75	1,869
3,5	2,72	0,436		100	1,996
4,0	3,2	0,505		200	2,299
4,5	3,69	0,567		300	2,476
5	4,167	0,620		400	2,601
6	5,145	0,711		600	2,777
7	6,125	0,787		800	2,903
8	7,115	0,852		1000	2,996

nebo přísady do formovacího materiálu, je nutno vyjádřit jejich stabilitu uhlíkovým potenciálem atmosféry, se kterou budou za daných teplotních a tlakových podmínek v rovnováze.

Analogicky rovnici 4.3 pro Fe_3C můžeme obecně pro karbidy uvažovat chemickou rovnici



/4.26/

která určuje rozpouštění uhlíku v prvku Me a vznik a rozklad karbidu.

Volnou entalpii karbidových reakcí vyjádříme obecně rovnici

$$1/n \Delta G_3^{\circ} = -4,575 \cdot T + \log \frac{s_{\text{Me}_m \text{ C}_n}}{s_{\text{C}} \cdot s_{\text{Me}}^{1/n}}$$

/4.27/

Pokud bude možno karbid $\text{Me}_m \text{ C}_n$ i prvek Me považovat za čisté kondensované fáze /t.j. jejich aktivity budou rovny 1/, přejde rovnice 4.27 ve tvar

$$1/n \Delta G_3^{\circ} = +4,575 \cdot T + \log s_{\text{C}}$$

/4.28/

Za srovnání rovnic 4.28 a 4.7 vyplývá, že při určování teplotní závislosti uhlíkového potenciálu pro reakci karbidu je možno postupovat obdobně jako pro cementit /viz. rovn. 4.8 až 4.15/, pouze s tím rozdílem, že v rovnici 4.14 budou konstanty A'' a C''

$$\log \frac{P_{\text{CO}}^2}{P_{\text{CO}_2}} = \frac{A''}{T} + C''$$

/4.29/

Konstanty A'' a C'' se určí z rovnice

$$A'' = \frac{\frac{A_3}{n} + A_2}{4,575} \quad C'' = \frac{C_3 + C_2}{4,575}$$

/4.30/a,b

A_3 , C_3 a A_2 , C_2 jsou konstanty pro určení ΔG_3° a ΔG_2° z rovnic 4.12 /viz. tab. 4.1/.

Z tohoto odvození je patrné, že i rovnovážné podmínky pro stabilitu karbidů v atmosféře /CO + CO₂/ je možno vyjádřit přímkovou závislostí

$$\log \frac{P_{\text{CO}}^2}{P_{\text{CO}_2}} = f \left(\frac{1}{T} \right). \text{ Vypočtené hodnoty uhlíkových potenciálů } p_{\text{CO}}^2 / P_{\text{CO}_2}$$

při různých teplotách rozsahu stability některých karbidů uvádí tabulka 4.5, graficky jsou vyneseny v diagramu na obr. 4.1.

Vypočtené hodnoty uhlíkových potenciálů pro karbidy

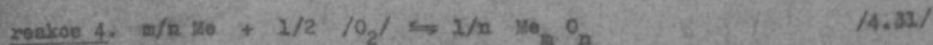
Reakce	$\Delta G_{23}^{\circ} = \Delta G_2^{\circ} + \frac{1}{n} \Delta G_3^{\circ}$	Teplotní rozsah / °K /
$3 Fe + C \rightleftharpoons Fe_3C$	$\Delta G_{23}^{\circ} = - 33730 + 35,05 \cdot T$ $\Delta G_{23}^{\circ} = - 37770 + 38,67 \cdot T$ $\Delta G_{23}^{\circ} = - 49984 + 45,42 \cdot T$	463 - 1183 1183 - 1808 1808 - 2000
$Si + C \rightleftharpoons SiC$	$\Delta G_{23}^{\circ} = - 53270 + 42,91 \cdot T$ $\Delta G_{23}^{\circ} = - 64510 + 49,58 \cdot T$	298 - 1683 1683 - 3000
$1/2 Ca + C \rightleftharpoons 1/2 CaC_2$	$\Delta G_{23}^{\circ} = - 47350 + 37,85 \cdot T$ $\Delta G_{23}^{\circ} = - 65590 + 48,23 \cdot T$	1123 - 1765 1765 - 2500
$23/6 Cr + C \rightleftharpoons 1/6 Cr_{23}C_6$	$\Delta G_{23}^{\circ} = - 56880 + 39,71 \cdot T$	298 - 2171
$Ti + C \rightleftharpoons TiC$	$\Delta G_{23}^{\circ} = - 85100 + 44,41 \cdot T$	1155 - 1940
$4 B + C \rightleftharpoons B_4C$	$\Delta G_{23}^{\circ} = - 55813 + 45,16 \cdot T$	1173 - 2300
$CO \rightleftharpoons C + CO_2$	$\Delta G_2^{\circ} = - 40500 + 41,25 \cdot T$	298 - 2500

Tabulka 4.5

+ C ⁺	Hodnoty $\frac{P}{P_{CO_2}} / P_{CO_2}$ pre teploty:						
	°C	500	900	110	1410	1492	1535
	°K	773	1173	1183	1683	1765	1808
10 ³ T		12,91	8,53	8,46	5,94	5,66	5,53
7,66120		$1,33 \cdot 10^2$		27,18			
8,45180						7684	
9,92725							14 680
9,37925			0,284		289		
10,83725							2604,6
8,27333			0,282				
10,54221					256,6		992
8,67980			$1,18 \cdot 10^2$				136,8
9,70700			$6,85 \cdot 10^7$				$8,26 \cdot 10^2$
9,87100			0,296				2819,5
9,01640			29,05				22 750

4.2.2.5 Stabilita kysličníků v atmosferách /CO + CO₂/.

Průběh chemických reakcí okysličování kovů a disociace kysličníků je možno obecně vyjádřit rovnicí



a volnou entalpií kysličníků v závislosti na teplotě reakce

$$l/n \Delta G_4^{\circ} = -4,575 + T \cdot \log \frac{p_{Me_{m/n}^n}}{1/2 p_{O_2}} \quad /4.32/$$

Pro případ, kdy prvek Me i jeho kysličník Me_{m/n}ⁿ budou kondensovanými čistými fázemi s aktivitami rovnými 1, přejde rovnice 4.32 ve tvar

$$l/n \Delta G_4^{\circ} = +4,575 + T \cdot \log \frac{p_{O_2}}{p_{Me}}^{1/2} \quad /4.33/$$

kde p_{O₂} je disociační tlak kysličníku.

Rovnovážné podmínky okysličování kovů v atmosferách CO + CO₂ je možno určit z



ježíž teplotní závislost volné entalpie je dána vztahem

$$1/2 \Delta G_5^{\circ} = -4,575 + T \cdot \log \frac{p_{O_2}^{1/2} \cdot p_{CO}}{p_{CO_2}^{1/2}} \quad /4.35/$$

Dosadíme-li do této rovnice za p_{O₂} disociační tlak kysličníku z rovnice 4.33

$$1/2 \Delta G_5^{\circ} = -4,575 + T \left(\log \frac{p_{CO}}{p_{CO_2}} + \frac{l/n \Delta G_4^{\circ}}{4,575 \cdot T} \right) \quad /4.36/$$

a upravíme na tvar

$$\log \frac{p_{CO}}{p_{CO_2}} = - \frac{l/n \Delta G_4^{\circ} + 1/2 \Delta G_5^{\circ}}{4,575 \cdot T} \quad /4.37/$$

získáme rovnici pro určení rovnovážných podmínek stability libovolného kysličníku /dáno hodnotou ΔG₄[°]/, t.j. složení atmosféry /CO + CO₂/ při teplotě T /°K/.

Po vyjádření volných entaplií obvyklým způsobem /dle rovn. 4.12, konstanty dle tab. 4.1/

$$\log \frac{p_{CO}}{p_{CO_2}} = - \frac{\frac{1}{n} (A_4 + C_4 T) + 1/2 (A_5 + C_5 T)}{4,575 \cdot T} =$$

$$= - \frac{\left(\frac{A_4}{n} + \frac{A_5}{2} \right) + \left(\frac{C_4}{n} + \frac{C_5}{2} \right) \cdot T}{4,575 \cdot T} \quad /4.38/$$

docházíme úpravou k rovnici

$$\log \frac{p_{CO}}{p_{CO_2}} = - \frac{A'''}{T} - C''' \quad /4.39/$$

kde A''' a C''' jsou konstanty určené z rovnice

$$A''' = \frac{\frac{A_4}{n} + \frac{A_5}{2}}{4,575} ; \quad C''' = \frac{\frac{C_4}{n} + \frac{C_5}{2}}{4,575} \quad /4.40/a,b$$

Konstanty A_5 a C_5 platí pro reakci 5. v širokém teplotním rozsahu od 298 do 2500°K , ale konstanty A_4 a C_4 vždy jen v určitých užších oblastech, omezených význačnými fázovými přeměnami kovu nebo kyslíku /viz.tab.4.1/.

Rovnice 4.39 představuje pro každý teplotní rozsah přímkovou závislost logaritmu kyslíkového potenciálu (vyjádřeného poměrem p_{CO}/p_{CO_2}) na teplotě $T/{}^{\circ}\text{K}$ v souřadnicích $\log p_{CO}/p_{CO_2} - \frac{1}{T}$.

Parciálními tlaky p_{CO} a p_{CO_2} můžeme vyjádřit jak uhlikový potenciál $/\frac{p_{CO}}{p_{CO_2}}^2$ / tak i kyslíkový potenciál $/\frac{p_{CO}}{p_{CO_2}}$ / a určit jejich vzájemnou

vazbu a kombinace [48]. Na tomto poznatku je založena aplikace diagramu na obr. 4.1 pro určení rovnovážných poměrů pro okysličování kovů v atmosférách $\text{CO}-\text{CO}_2$. Vzájemná vazba obou potenciálů je vyjádřena v diagramu dvojí stupnice na svislé ose diagramu - k rovnoměrně vynesené logaritmické stupnici pro uhlikový potenciál $\frac{p_{CO}}{p_{CO_2}}$ je přiřazena nerovnoměrně vynesená

logaritmická stupnice pro kyslíkový potenciál $\frac{p_{CO}}{p_{CO_2}^2}$ tak, aby odpovídala vztahu 4.23 pro součet parciálních tlaků $/p_{CO} + p_{CO_2}/ = P = 1 \text{ atm.}, \text{ t.j.}$

$$\frac{P_{CO}}{P_{CO_2}} = \frac{1}{2} \left(\frac{P_{CO}}{P_{CO_2}} \right)^2 \pm \sqrt{\frac{1}{4} \left(\frac{P_{CO}}{P_{CO_2}} \right)^2 + \frac{P_{CO}}{P_{CO_2}}} \quad /4.41/$$

Napak přechod z kyslíkového potenciálu na uhlíkový je podle rovnice 4.24 pro $T = 1$ atm dán vztahem

$$\frac{P_{CO}}{P_{CO_2}} = \frac{\left(\frac{P_{CO}}{P_{CO_2}} \right)^2}{1 + \frac{P_{CO}}{P_{CO_2}}} \quad /4.42/$$

Vypočtené hodnoty podle těchto vztahů jsou pro některé poměry P_{CO}/P_{CO_2} uvedeny v tab. 4.4.

Diagram na obr. 4.1 je konstruován zejména pro studium reakcí karbidů a slitin Fe-Fe₃C v souřadnicích $\log \frac{P_{CO}}{P_{CO_2}} - \frac{1}{T}$. Pro možnost zakreslení

kysličníkových reakcí vyžaduje však diagram jednoduchou úpravu. Tato úprava spočívá v přímém grafickém přepočtu poměru $\frac{P_{CO}}{P_{CO_2}}$ na $\frac{P_{CO}}{P_{CO_2}}$ a napak, čili

v přispůsobení pořadnice pro $\log \frac{P_{CO}}{P_{CO_2}}$ ve smyslu rovnice 4.41 a 4.42.

Rovnovášné podmínky kysličníkových reakcí lze tedy vynést též jako přímky v závislosti na $1/T$, avšak v upravených souřadnicích.

Vypočtené hodnoty závislosti $\log \frac{P_{CO}}{P_{CO_2}} = f / \frac{1}{T}$ pro některé běžné

kysličníky železa a mangani, které vznikají okysličováním těchto prvků za přítomnosti SiO₂, Al₂O₃ a Cr₂O₃ jsou souborně uvedeny v tab. 4.6 a graficky zachyceny v obr. 4.1.

V této podobě představuje diagram na obr. 4.1 v podstatě obdobu rovno-válcového diagramu Fe-Fe₃C, jak ukazuje též označení charakteristických bodů diagramu analogicky mezinárodním označením. Ve shodě s Gibbsovy fázovými pravidlem jsou poměry při rovnováze tří fází /eutektoidu, eutektikálu a peritektikálu/ vyznačeny v diagramu vždy jediným nonvariantním bodem a poměry při rovnováze dvou fází / α - γ , γ - δ , γ -tavenina, δ -tavenina, γ -cementit/ křivkami s jedním stupněm volnosti /buď teplotou nebo složením/. Oblasti stability jediné fáze / α , γ , δ , tavenina/ jsou dány plochami se dvěma stupni volnosti - teplotou a složením.

Vypočtené hodnoty kyslíkových potenciálů pro kysličníky

Reakce	$\Delta G_{45}^{\circ} = \frac{1}{n} \Delta G_4^{\circ} + \frac{1}{2} \Delta G_5^{\circ}$	Teplotní rozsah / °K /
$Fe + 1/2 (O_2) \rightleftharpoons FeO$	$\Delta G_{45}^{\circ} = + 5450 - 5,80 \cdot T$ $\Delta G_{45}^{\circ} = + 15530 - 11,89 \cdot T$ $\Delta G_{45}^{\circ} = + 11880 - 9,92 \cdot T$	843 - 1542 1642 - 1808 1808 - 2000
$Fe + 1/2 (O_2) + 1/2 SiO_2 \rightleftharpoons 1/2 (2FeO, SiO_2)$	$\Delta G_{45}^{\circ} = + 1160 - 4,65 \cdot T$ $\Delta G_{45}^{\circ} = + 7160 - 8,65 \cdot T$	900 - 1478 1478 - 1508
$Fe + 1/2 (O_2) + Al_2O_3 \rightleftharpoons FeO, Al_2O_3$	$\Delta G_{45}^{\circ} = - 7500 + 0,15 \cdot T$	1100 - 1400
$Fe + 1/2 (O_2) + Cr_2O_3 \rightleftharpoons FeO, Cr_2O_3$	$\Delta G_{45}^{\circ} = + 1700 - 8,65 \cdot T$	1173 - 1700
$1/2 Si + 1/2 (O_2) \rightleftharpoons 1/2 SiO_2$	$\Delta G_{45}^{\circ} = - 36650 + 0,90 \cdot T$ $\Delta G_{45}^{\circ} = - 41285 + 3,65 \cdot T$	298 - 1700 1700 - 2000
$Mn + 1/2 (O_2) \rightleftharpoons MnO$	$\Delta G_{45}^{\circ} = - 24450 - 3,44 \cdot T$ $\Delta G_{45}^{\circ} = - 27900 - 1,13 \cdot T$	298 - 1500 1500 - 2051
$Mn + 1/2 (O_2) + SiO_2 \rightleftharpoons MnO, SiO_2$	$\Delta G_{45}^{\circ} = - 27700 - 2,05 \cdot T$	298 - 1500

Tabulka 4.6

Hodnoty p_{CO}/p_{CO_2} pro teploty:

827	900	1127	1205	1227	1235	1427	1535	1727
1100	1173	1400	1478	1500	1508	1700	1808	2000
9,1	8,53	7,15	6,77	6,67	6,63	5,88	5,53	5,0
	1,787				1642 °K 3,485		5,265	7,41
	6,31		6,995		7,129			
28,68		13,75						
	37,49					47,01		
	$4292 \cdot 10^3$					$32,4 \cdot 10^3$		$5,18 \cdot 10^3$
	$203 \cdot 10^3$			$20,5 \cdot 10^3$				$1,98 \cdot 10^3$
	$467 \cdot 10^3$			$30,5 \cdot 10^3$				

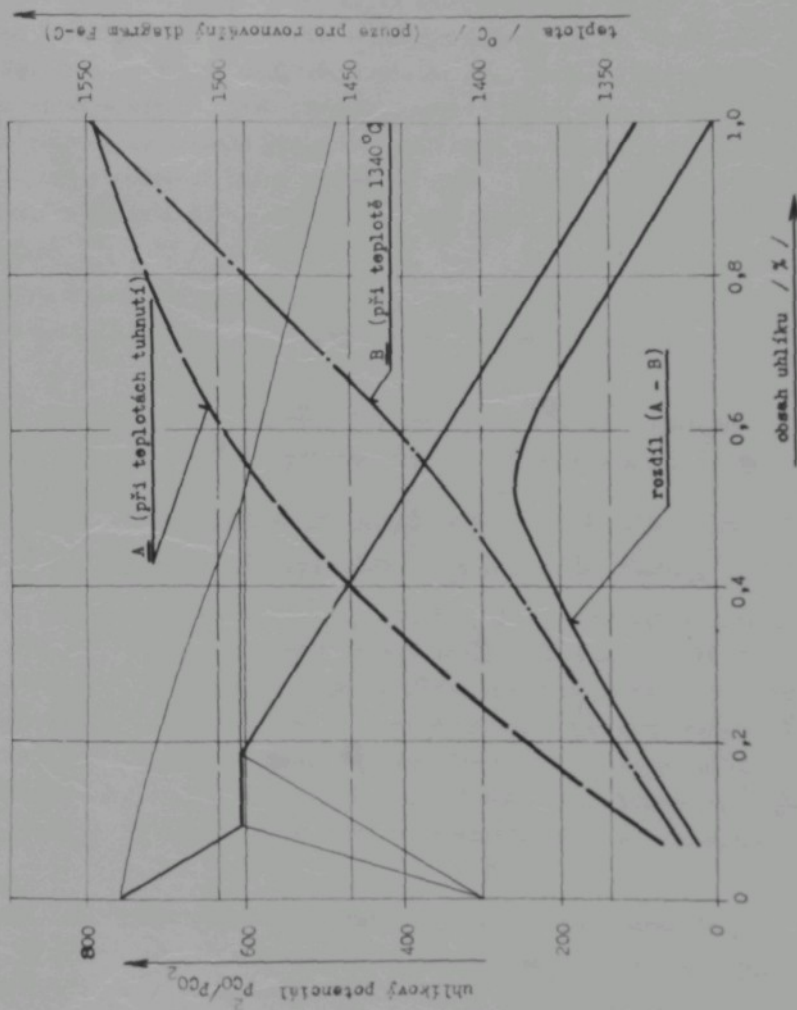
4.3. Závěry vyplývající z termodynamického rozboru podle diagramu na obr. 4.1.

Hlavní přednosti a současně i účelem diagramu na obr. 4.1 je hlavně to, že umožnuje sledovat změny rovnovážných poměrů pro odhličování, resp. nauhlíčování ocelových odlitků v závislosti na teplotě spojité v celém potřebném teplotním rozsahu, včetně velmi vysokých teplot při tuhnutí a krátko po tuhnutí. Mimo to diagram umožnuje postihnout za stálých podmínek i vliv všech rozhodujících materiálových i technologických parametrů, t.j. obsahu uhlíku i ostatních prvků v oceli, teploty reakce, složení atmosféry, tlakových poměrů, složení formovacího materiálu, nečistot ve formě s nauhlíčujících přísad.

4.3.1 Vliv obsahu uhlíku ve slitinách Fe-Fe₃C je patrný již ze základní koncepce diagramu na obr. 4.1. Rovnovážné poměry pro stabilitu slitiny Fe-Fe₃C s libovolným obsahem uhlíku v ocelích jsou za dané teploty $T / ^\circ K$ určeny uhlíkovým potenciálem p_{CO}^2 / p_{CO_2} , z kterého lze stanovit při daném srovnání parciálních tlaků $p_{CO} + p_{CO_2}$ poměr p_{CO} / p_{CO_2} a tudíž i složení atmosféry. Pokud skutečný uhlíkový potenciál atmosféry je za daných podmínek menší než rovnovážný nastává odhličování povrchu oceli a naopak pokud je uhlíkový potenciál atmosféry větší než rovnovážný, dochází k nauhlíčování povrchu.

Vliv obsahu uhlíku ve slitinách Fe-Fe₃C, t.j. prakticky i v uhlíkových ocelích, se projevuje na rovnovážných podmínkách pro stabilitu Fe₃C v ocelích dosti výrazně. Z diagramu je patrno, že s rostoucím obsahem uhlíku rovnovážný uhlíkový potenciál p_{CO}^2 / p_{CO_2} při libovolné teplotě prudce stoupá, a to v rozmezí 0,1 - 1,0 % C o více než 1 řád /viz. též obr. 4.2 - křivka B pro konst. teplotu 1340°C/.

Vyjadříme-li rovnovážné uhlíkové potenciály při teplotách tuhnutí jednotlivých slitin Fe-Fe₃C, projeví se sice nepatrně menší rozdíly hodnot uhlíkových potenciálů /viz. obr. 4.2 - křivka A/, vynikne však nerovnorána závislost na obsahu uhlíku - poměrně prudký vzestup hodnot uhlíkového potenciálu v rozmezí 0,1 - 0,5 % C. V obr. 4.2 je současně uvedena křivka rozdílu hodnot A-B, která ukazuje, že relativně budou největší tendenze pro výskyt odhličování odlitků u slitin s 0,5 - 0,6 % C, resp. u slitin s obsahem uhlíku v rozmezí 0,4 - 0,65 % C, t.j. pravdě u většiny odličovaných konstrukčních uhlíkových ocelí.



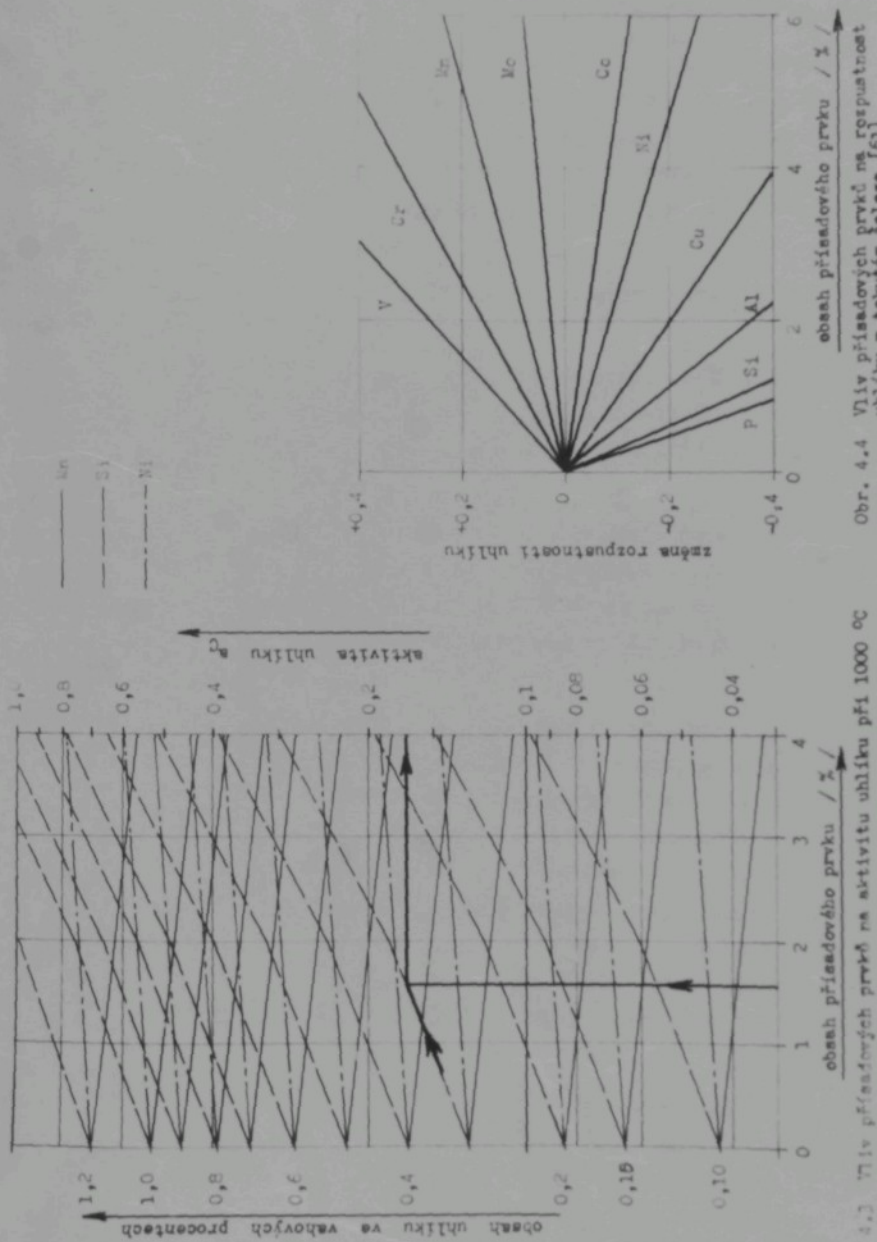
Tuto akutečnost je možno vysvětlit tím, že uhlíkové oceli s 0,5 - 0,6 % C tuhnu při podstatně vyšší teplotě než oceli výšeuhličené a při stejné rychlosti chladnutí jsou tedy vystaveny delší dobu působení atmosféry zejména při vyšších teplotách /viz. rovnovážný diagram zakreslený na obr. 4.2/. Přesněji lze tyto poměry vyjádřit superposicí dvou současně působících ne-příznivých vlivů - nejen vysoké teploty tuhnutí slitin, ale též vysokého uhlíkového potenciálu nutného pro rovnováhu. Ačkoliv křivka rozdílu A-B /obr. 4.2/ nemá v podstatě žádný fyzikální význam, dobré charakterisuje oba vlivy - teplotu tuhnutí i uhlíkový potenciál - v tom smyslu, že u slitin s cca 0,5 % C

- a/ je teplota tuhnutí ještě značně vysoká /1440 až 1490°C/ - pro oceli s 1% C je teplota konce tuhnutí cca 1340 až 1350°C - tedy cca o 100 až 150°C nižší/
- b/ uhlíkový potenciál nabývá už vysokých hodnot /ne příliš rozdílných ve srovnání s ocelemi s 0,8 % C při teplotách o cca 80 - 100°C nižších/.

4.3.2 Vliv slitinových i doprovodných prvků v ocelích je možno dobrě sledovat v jejich působení na aktivitu uhlíku a_C ve slitinách Fe- Fe_3C .

Vliv různých prvků na aktivitu a_C v ocelích je poměrně dobrě prostudován pro taveniny ocelí, t.j. pro podmínky ocelářských pochodů [51, 52, 56], avšak pro oceli v tuhému stavu se dosud ~~můžeme~~ spokojit pouze s několika ojedinělými údaji [49, 58, 60], a to nikoliv pro celý teplotní rozsah až k teplotám tuhnutí. Vzhledem k tomu, že výsledky studia vlivu prvků na aktivitu uhlíku v tuhých ocelích nejsou dosud úplné, nelze konkrétně stanovit příslušné teplotní závislosti a je nutno se spokojit pouze s naznačením tendencí.

Značný význam vlivu ostatních prvků v ocelích je možno kvalitativně i kvantitativně ukázat na příkladu oduhličování různých ocelí při teplotě 1000°C. K určení vlivu Si, Mn a Ni na aktivitu uhlíku při této teplotě byly použity údaje podle LITTLEWOODA [58] a SMITHA [49]. Jejich výsledky byly autorem sestaveny do grafu uvedeného na obr. 4.3, který je v příslušném mřížku formou nomogramu též součástí diagramu na obr. 4.1. Na svíslou osu připojeného nomogramu je nanесена na prvě straně v logaritmickém mřížku aktivita uhlíku a_C ve slitinách $\text{Fe}-\text{Fe}_3\text{C}$ a na levé straně obsah uhlíku ve vahových procentech. Na vodorovnou osu je nanесено procentuelní množství příslušových prvků /Si, Mn, Ni/. Použití nomogramu nejlépe osvětlí příklad:



Obr. 4.4 Vliv různých pravců na aktivitu uhlíku při 1000 °C
vlni v tvaru všeobecných procent na aktivitu uhlíku při 1000 °C

Obr. 4.4 Vliv píííadových pravců na rozpuštěnost
uhlíku v teplotě 1000 °C [61]

Rovnovážný uhlíkový potenciál $\frac{P_{CO}}{P_{CO_2}}$ slitiny Fe-C s 0,5 % /vah/ C při $1000^{\circ}C$ má hodnotu 23 při aktivitě uhlíku $a_C = 0,215$. Za přítomnosti 0,8 % Si v této slitině se zvýší aktivita uhlíku na hodnotu $a_C = 0,24$, což se projeví i zvýšením uhlíkového potenciálu na hodnotu 28. Z toho plyne, že slitina Fe-C s 0,5 % C a 0,8 % Si se vzhledem ke zvýšení rovnovážného uhlíkového ^{potenciálu} a tudiž i vzhledem k podmírkám odůhličování jeví vůči atmosféře $CO + CO_2$ jako slitina výše uhličená s 0,55 % C.

Obdobně, avšak méně intenzivně, působí na zvyšování aktivity uhlíku i nikl /viz. obr. 4.1. a 4.3/.

Z obr. 4.1. a 4.3 je patrné, že naopak opačně - ve smyslu snižování aktivity uhlíku - působí velmi intenzivně mangan, t.j. slitiny Fe-C s přimazami mangany se vůči atmosféře $CO-CO_2$ chovají jako slitiny s nižším obsahem uhlíku.

O vlivu Si, Ni a Mn při jiných teplotách nelze podle dostupných pramenů uvést konkrétní hodnoty, je však možno oprávněně tvrdit, že tendence tohoto vlivu budou platit velmi pravděpodobně v celém rozsahu stabilitu austenitu, a to i co do absolutních hodnot výsledné aktivity uhlíku [49, 51, 55, 60].

Vliv dalších prvků, např. P, S, Al, Co, Cr, Mo, W, V a pod., které bývají nejčastějšími doprovodnými nebo legujícími prvky v uhlíkových nebo slitinových ocelích, lze posoudit pouze podle předpokládaných tendencí analogicky známým vlivům na jejich působení v taveninách při ocelářských pochodech a v austenitu při tepelném zpracování ocelí. RICHARDSON [51] vyslovuje obecné pravidlo v tom smyslu, že silně karbidotvorné prvky - např. Cr, V, Ti, Zr - budou maximálně snižovat aktivitu uhlíku a naopak Ni a Co, které tvoří pouze nestabilní karbydy, budou mít při malých obsazích velmi nepatrný vliv /viz. obr. 4.3 - vliv Ni/ a při větších obsazích budou mít tendenci aktivity zvyšovat.

Tyto tendenze dobře ilustruje obr. 4.4 podle BURYIEVA [61], který naznačuje vliv různých prvků na rozpustnost uhlíku v roztaveném železu; čím umožňuje a podporuje přísadový prvek větší rozpustnost uhlíku v železe, tím prakticky více snižuje jeho aktivitu a naopak.

Z hlediska řádového snížení rovnovážného uhlíkového potenciálu k zábraně nebo k snížení odůhličení povrchu ocelových odliteků vyplývá, že bude výhodné odlivat především slitinové oceli legované zejména karbidotvornými prvky - např. Mn, Cr.

4.3.3 Jedním z nejvýrazněji působících parametrů je teplota reakce:

v souvislosti s teplotou reakce je však nutno tyto úvahy rozšířit i na ty parametry, které skutečné teploty reakce určují. Protože teplota odlitků, t.j. i teplota reakcí, se s časem mění bude nutné zahrnout současně i úvahy o rychlosti chladnutí odlitků a celkový režim chladnutí forem a odlitků.

Jak bylo již uvedeno, probíhá oduhlíčování prakticky jen v určitém teplotním intervalu - od teplot tuhnutí až do $700 - 600^{\circ}\text{C}$. Výsledná hĺbkou oduhlíčení bude tedy závislá nejen na teplotě reakce, která pro danou ocel určuje rovnovážný uhlíkový potenciál, ale také na době, po kterou bude ocel vystavena atmosférou s menším uhlíkovým potenciálem. Nejvyšších hodnot dosahuje uhlíkový potenciál při teplotách od 1100 až 1200°C výše a proto také oblast těchto nejvyšších teplot při chladnutí odlitků je z hlediska oduhlíčování velmi nebezpečná. Dobu setrvání odlitků při těchto nejvyšších teplotách je nutno tedy maximálně zkrátit.

Zvýšení rychlosti chladnutí v oblasti nejvyšších teplot krátce po ztuhnutí odlitků lze realizovat několika technologickými opatřeními - např. snížením lític teploty taveniny, snížením předeřívací teploty forem, brázkým vyjmáním odlitků z výplňové směsi po ztuhnutí, umělým rychlým ohlazením forem, odléváním samonosných skořepin a pod.

Bez ohledu na způsob rychlejšího ohlazení ovlivňuje teplotu reakce na povrchu odlitků také průřez odlitků, konstrukce celé vtokové soustavy s odlitky a dále t.zv. "stupeň zaplnění formy kovem" /poměr váhy odlitého kovu k celkové váze formy včetně kovu/. Stupeň zaplnění formy kovem umožnuje posoudit zvýšení teploty formy po odlití a dále i dobu chladnutí formy i odlitku. Tento poměr je však pro posouzení ochlazovacího činníku formy pouze hrubou informativní hodnotou, protože nezahrnuje současně velmi důležitý činitel rozložení kovové hmoty ve formě /vliv ústředního vtokového kílu, umístění odlitků na vtokové soustavě a pod./.

4.3.4 Složení atmosféry na litéi keramické formy a ve vnitřním prostoru formovacího rámu má na celý děj oduhlíčování ocelových odlitků a okysličování jejich povrchu rozhodující vliv.

Rovnovážné reakční podmínky pro oduhlíčování jsou pro každý druh oceli za dané teploty vyjádřeny určitým uhlíkovým potenciálem $P_{\text{CO}}^2 / P_{\text{CO}_2}$. Složení atmosféry, které bude vyjadřovat tyto rovnovážné podmínky můžeme při daném součtu parciálních tlaků $P_{\text{CO}} + P_{\text{CO}_2} = P / \text{atm}$ určit z rovnice 4.23.

Z této rovnice vyplývá, že při konstantním uhlíkovém potenciálu $\frac{P_{CO}}{P_{CO_2}}$ se bude se zvyšováním veličiny P výsledný poměr P_{CO}/P_{CO_2} snižovat a naopak. Z této skutečnosti lze odvodit důležitý praktický závěr v tom smyslu, že každé snižování součtu parciálních tlaků $P_{CO} + P_{CO_2} = P$, např. snižováním celkového tlaku atmosféry nebo použitím inertních plynů /N₂, Ar, He a pod./ či vodíku, se projeví intenzivnějším oduhlíčkováním odlitků. Naopak každé zvyšování tlaku teoreticky přispívá vždy ke zvýšení uhlíkového potenciálu P_{CO}/P_{CO_2} , t.j. k jeho přiblížení k hodnotám rovnovážným a tudíž ke zpomalení nebo zastavení oduhlíčovacích reakcí.

Tato známá skutečnost je podstatou celé řady metalurgických reakcí probíhajících ve vakuu nebo v inertních atmosferách a v případě tvářených ocelí v tuhému stavu byla dostatečně prokázána PENNINGTONEM [62].

Pro konkrétní podmínky výroby ocelových odliteků přesnými litím na vzduchu uvedeme idealizovaný příklad:

Hodnota rovnovážného uhlíkového potenciálu $\frac{P_{CO}}{P_{CO_2}}$ pro běžné odlévání konstrukční uhlíkové oceli /0,3 až 0,7 % C/ se pohybuje při teplotách v okamžiku stuhnutí v mezech 350 až 700 /viz. diagram na obr. 4.1/. Při součtu parciálních tlaků $P_{CO} + P_{CO_2} = P = 1 \text{ atm}$ a za předpokladu, že atmosféra obsahuje pouze CO a CO₂ nabývá poměr jejich parciálních tlaků P_{CO}/P_{CO_2} hodnot prakticky velmi málo odlišných od uhlíkového potenciálu, t.j. hodnot v mezech 350 až 700. Tyto hodnoty P_{CO}/P_{CO_2} jsou pro praktické zvládnutí ve formě nebo v provozním chladičím zařízení příliš vysoké už za těchto ideálních podmínek.

Za předpokladu, že před odléváním měla atmosféra formy stejné složení jako vzduch, t.j. 79 % N₂ a 21 % O₂, budou rovnovážné poměry ještě méně příznivé. Sloučí-li se 1 mol kyslíku /ze vzduchu/ téměř úplně na 2 moly CO, pak bude poměr N₂/CO jiný než byl poměr N₂/O₂ ve vzduchu - za předpokladu, že se nezmění celkový tlak /1 atm/ bude složení nové atmosféry cca 65 % N₂ a 35 % CO /objemově/.

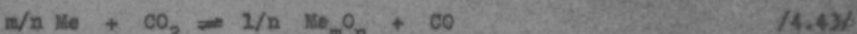
Za těchto podmínek bude potom $P_{CO}/P_{CO_2} = P = \text{cca } 0,35 \text{ atm}$, z čehož plyne /viz. obr. 4.1/, že pro dosažení rovnovážného uhlíkového potenciálu 350 až 700 bude nutno zvýšit poměr P_{CO}/P_{CO_2} na hodnoty 1000 až 2000.

Tento vysoký poměr P_{CO}/P_{CO_2} představuje obsahy CO₂ ve směsi v mezech 0,0347 až 0,0173 % CO₂ /obj. /.

Realisovat tyto podmínky v prostoru otevřeného rámu formy a při neustálém volném přístupu vzduchu ke skeřepině je zcela vyloučeno. Velmi obtížné dosažitelné budou tyto podmínky také v prostoru provozních chladících komor nebo tunelů.

Tyto výsledky plně potvrzují již dříve autorem [42] vyslovený názor, že vyřešení účinné sábrany oduhlíkování povrchu odlitků spočívá ve vyřešení takových technologických parametrů a předpokladů, které budou vytvářet vhodné reakční podmínky na lici nebo ve stěně keramické formy, t.j. přímo v místě reakce s nikoliv v okolí keramické formy.

Mnohem přísnivější poměry nastávají při stanovení a zajištění rovnovážných podmínek pro okysličování ocelových odlitků, resp., pro okysličování železa v atmosférách CO + CO₂. Jak ukazuje rovnice 4.37 jsou tyto rovnovážné podmínky určeny kyslíkovým potenciálem P_{CO}/P_{CO₂}. Protože ve výsledné rovnici pro okysličování kovů v atmosférách CO + CO₂ /součet rovnice 4.31 a 4.32/



je na obou stranách rovnice stejný počet molů plynných látek, nebude složení atmosféry CO + CO₂ dané kyslíkovým potenciálem závislé na celkovém tlaku P_{CO} + P_{CO₂}.

Hodnoty rovnovážného kyslíkového potenciálu P_{CO}/P_{CO₂} pro železo jsou v celém teplotním rozsahu od teplot stuhnutí až po normální teploty poměrně nízké a tudíž celkem snadno realisovatelné. Tak na př. pro teploty v okamžiku tuhnutí oceli stačí zajistit k dosažení rovnováhy poměr P_{CO}/P_{CO₂} = 5,27, což i v podmírkách přítomnosti dusíku ze vzduchu představuje složení atmosféry cca 3,3 % CO₂ a 17,7 % CO /objemové/, sbytek N₂.

Vzhledem k tomu, že však oceli obsahuje řadu dalších doprovodných a případových prvků, z nichž většina má značně vyšší afinitu ke kyslíku než železo, probíhá na povrchu odlitků selektivní oxydace a vzniká okraj zcela jiného složení než by odpovídalo složení základního kovového materiálu. Dochází tak k současné oxydaci všech těchto prvků i železa a ke tvoření buď směsi jednoduchých nebo častěji komplexních kyslíčníků. Zebranit této oxydaci při velmi vysokých teplotách krátce po stuhnutí odlitků je opět obtížnější. Jak ukazuje diagram na obr.4.1, ve kterém jsou zakresleny teplotní závislosti rovnovážných poměrů pro stabilitu sloučenin FeO·SiO₂, FeO·Al₂O₃, FeO·Cr₂O₃, MnO, SiO₂, MnO·SiO₂, nabývají kyslíkové potenciály pro rovnováhu těchto sloučenin v atmosférách CO + CO₂ značně vysokých hodnot.

Přestože při menších obsazích doprovodných a přísladových prvků v ocelích budou vlivem jejich nízkých aktivit v železe i hodnoty kyslíkového potenciálu pro oxydaci Si, Mn a Cr ve slitinách se železem nižší, neklesnou bezpečně hodnoty kyslíkového potenciálu pro vznik neokysličených odlitrků pod hodnoty odpovídající komplexním kysličníkům, t.j. pod $p_{CO}/p_{CO_2} = 50$ až 100.

Autorův odhad těchto vysokých hodnot kyslíkového potenciálu je založen na tom, že při vysokých teplotách při plnění forem a během tuhnutí vznikají příznivé podmínky i pro vytváření komplexních kysličníků typu $MnO \cdot SiO_2$; vznikají reakce MnO z povrchu oceli s SiO_2 z formy a další oxydaci se tvoří i komplexní kysličníky složené z FeO , MnO a SiO_2 , jejichž teplotní závislost kyslíkového potenciálu lze předpokládat právě při uvedených hodnotách /v dostupné literatuře nebyly přesné hodnoty uvedeny/.

I tyto podmínky, relativně příznivější než pro zábranu oduhlíčení, je dosud obtížné realizovat jednoduchým způsobem při normálním způsobu odlévání v otevřeném rámu, jsou však dosažitelné za předpokladu odlévání forem a ochlazování odlitrků v atmosferách, které se svým složením blíží poměrům při cementaci ocelí v plynech. Tímto způsobem lze pravděpodobně vysvětlit též úspěšné KRIEROVY zkoušky [5], při kterých dosáhl lesklého povrchu odlitrků /nezabránil však oduhlíčení - viz.kap.3.2/, i výsledky našich zkoušek [74].

4.3.5 V reálných podmínkách zasypané keramické skořepiny přicházejí pro reakce kovu s formou v úvahu ještě další činitelé:

- a/ základní materiál keramické skořepiny
- b/ nečistoty a příměsi na lící a ve stěně keramické skořepiny
- c/ nečistoty ve výplňové směsi
- d/ materiál kovového rámu

Tito činitelé mají prakticky mnogo společného a jejich event. působení lze zařadit principiálně do dvou skupin reakcí:

- a/ reakce atmosféry formy s méně stabilními kysličníky přítomnými ve skořepině /nečistoty/, výplňové směsi nebo na stěnách rámu formy
- b/ případné reakce slitin Fe- Fe_3O_4 s formovacími materiály /hlavně SiO_2 /.

Reakce atmosféry formy s méně stabilními kysličníky lze jednoduše kvantitativně i kvantitativně znázornit v diagramu na obr. 4.1. Reakce spočívají v tom, že méně stabilní kysličníky - zejména FeO jakožto uvelnění okraj nebo spálené či snažně zokujené zbytky oceli - se redukují v atmosferě s vyšším kyslíkovým potenciálem p_{CO}/p_{CO_2} a jsou stálým zdrojem kyslíku, resp. CO_2 pro atmosféru ve formě. Tímto způsobem se snižuje nejen kyslíkový ale i uhlikový potenciál atmosféry a může proto snadněji docházet k oduhlíčování

povrchu odlitků. Konkrétně jsou tyto poměry patrné ze srovnání polohy přímek znázorňujících rovnovážné podmínky pro redukci FeO



/4.44/

a pro rozklad Fe_3C v ocelích /s různým obsahem uhlíku/



/4.45/

Rovnovážné podmínky pro obě reakce jsou pro vysoké teploty značně rozdílné, jak plyne z příkladu pro uhlíkovou ocel s 0,5 % C při teplotě 900 a 1400 °C
 $/p_{\text{CO}} + p_{\text{CO}_2} = 1 \text{ atm} /$ - viz obr. 4.1 :

900 °C /1173 °K/			1400 °C /1673 °K/		
rozklad Fe_3C		redukce FeO	rozklad Fe_3C		redukce FeO
$p_{\text{CO}}^2/p_{\text{CO}_2}$	$p_{\text{CO}}/p_{\text{CO}_2}$	$p_{\text{CO}}/p_{\text{CO}_2}$	$p_{\text{CO}}^2/p_{\text{CO}_2}$	$p_{\text{CO}}/p_{\text{CO}_2}$	$p_{\text{CO}}/p_{\text{CO}_2}$
9,3	10,2	1,8	423	424	3,7

Značný rozdíl v rovnovážných kyslíkových potenciálech pro obě reakce při vyšších teplotách způsobuje to, že na výsledné složení atmosféry ve formě budou působit i malá množství FeO ve formě. Lze tak vysvětlit i působení zokujeného kovového rámu formy, který sám leží v poměrně značné vzdálenosti od odliktu a jeho působení by se mohlo zdát zvláště méně podstatné. Působení okují ve výplňové směsi i na stěnách kovových rámu bylo experimentálně potvrzeno též KAZANNOVEM [14] a GORJUNOVEM [20].

Obdobně je nutno předpokládat te, že za vhodných podmínek se může redukovat i okuj na povrchu odliktu a vytvořit uvnitř skořepiny oduhlíšující atmosféru.

Při redukčních reakcích se chovají ve smyslu oduhlíčování poněkud přiměřeněji komplexní kysličníky, např. FeO , SiO_2 nebo složitější komplexní kysličníky za přítomnosti MnO , které mohou vzniknout v průběhu tuhnutí a chladnutí odliktu na lící formy. Tyto kysličníky vznikající jako taveniny, mají i při nižších teplotách v tuhému stavu poměrně malý reakční povrch (ve srovnání s FeO) a současně s ohledem na jejich vyšší chemickou stabilitu (viz. obr. 4.1) nezpůsobí pravděpodobně příliš intensivní uvolňování kyslíku (viz. kap. 4.3.4.).

Velmi rozdílné názory má řada autorů na reakce druhého typu /ad b./, t.j. na event. reakce slitin Fe-Fe₂C s formovacím materiálem, jmennovitě SiO₂. Velmi správně hodnotí poměry KEIFER [5] v tom smyslu, že reakce rozkladu SiO₂ uhlíkem z oceli nemůže při normálních podmínkách a teplotách odlévání a tuhnutí oceli probíhat, neuvažuje však tu skutečnost, že stabilita kysličníku v redukční atmosféře nebo ve styku s redukovadlem značně klesá za přítomnosti rozpouštědla jeho složek [39].

Podle rovnovážných poměrů pro stabilitu kysličníků je reakce SiO₂ s uhlíkem v oceli i s čistým uhlíkem možná pouze za značně vyšších teplot než přichází v úvahu při odlévání oceli. Avšak pro nerovnovážný stav, t.j. za současného rozpouštění zplodin reakce v oceli, můstavají poměry jiné podle množství rozpouštěného Si a O₂ v oceli, takže jsou prakticky možné i reakce oceli s formovacím materiálem typu SiO₂ i při normálních podmínkách odlévání a chladnutí forem.

Podmínky pro reakce SiO₂ s atmosférou CO + CO₂ můžeme obecně určit z rovnice 4.37, tak že hodnotu ΔG_4° dosadíme změnu volné entalpie rozkladu kysličníku pro nerovnovážný stav ΔG_4 /t.j. při rozpouštění reakčních zplodin/

$$\frac{1}{n} \Delta G_4 = \frac{1}{n} \Delta G_4^{\circ} + RT \cdot \ln \left(\frac{a_{Me_mO_n}^{1/n}}{a_{O_2}^{1/2} \cdot a_{Me}^{m/n}} \right) \quad /4.46/$$

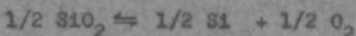
odkud za předpokladu, že kysličník Me_mO_n je čistá kondensovaná fáze $/a_{Me_mO_n} = 1/$

$$\begin{aligned} \frac{1}{n} \Delta G_4 &= \frac{1}{n} \Delta G_4^{\circ} - RT \cdot \ln \left(a_{O_2}^{1/2} \cdot a_{Me}^{m/n} \right) = \\ &= \frac{1}{n} \Delta G_4^{\circ} - 4,575 \cdot T \cdot \log a_{O_2}^{1/2} + \log a_{Me}^{m/n} / \end{aligned} \quad /4.47/$$

Ocel můžeme považovat za nekonečně zředěný reztek, pro který lze aktivity rozpouštěných látek nahradit molárními zlomky N_{Me} a N_{O₂}. Po dosazení těchto veličin dostáváme konečný výraz pro změnu volné entalpie ΔG_4 pro nerovnovážný stav

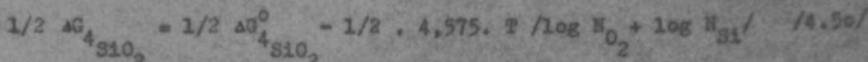
$$\frac{1}{n} \Delta G_4 = \frac{1}{n} \Delta G_4^{\circ} - 4,575 \cdot T \cdot 1/2 \cdot \log N_{O_2} - 4,575 \cdot T \cdot m/n \cdot \log N_{Me} \quad /4.48/$$

V konkrétních podmínkách rozkladu SiO_2



/4.49/

bude mít rovnice 4.48 po úpravě tvar



a výraz pro určení kyslíkového potenciálu analogicky rovnici 4.37

$$\log \frac{P_{\text{CO}}}{P_{\text{CO}_2}} = \frac{-\frac{1}{2} \Delta G_{\text{Si}}^{\circ} - \frac{1}{2} \Delta G_{\text{O}_2}^{\circ} + \frac{1}{2} \cdot 4,575 \cdot T / \log N_{\text{Si}} + \log N_{\text{O}_2}}{4,575 \cdot T} \quad /4.51/$$

Tuto závislost můžeme opět analogicky rovn. 4.39 vyjádřit přímkou
v souřadnicích $\log P_{\text{CO}} / P_{\text{CO}_2} - \frac{1}{T}$.

Vypočtené hodnoty kyslíkového potenciálu pro reakce za podmínek rozpuštění Si a O_2 v oceli jsou pro několik typických případů uvedeny v tab. 4.7 a graficky zazyceny v diagramu na obr. 4.1.

Podle uvedených výsledků lze konstatovat, že ve styku reálných slitin Fe-Fe₃O₄, t.j. ocelí, které obsahují většinou alespoň malé množství Si (0,3 - 0,5 % Si) vznikají podmínky pro rozklad SiO_2 atmosférou formy až při vysokých teplotách a při značně vysokých kyslíkových potenciálech - řádově stovkách. Tyto podmínky se při normálním lití pravděpodobně nedají dosáhnout v okamžiku krátké po odlití a během dalšího chladnutí odlitku se podmínky pro vznik reakce ještě zlepší. Z diagramu na obr. 4.1 je patrné, že pro teploty cca 1500°C nastává pro taveniny s 0,4 % C a 0,5 % Si právě rovnováha SiO_2 s atmosférou při $P_{\text{CO}} + P_{\text{CO}_2} = 1 \text{ atm}$.

Na základě těchto výpočtů a jejich grafického znázornění lze říci, že

a/ Pokud bude ocel obsahovat pouze velmi malý obsah Si (např. neuklidněná), bude možné rozpouštění Si - jakožto produktu rozkladu SiO_2 uhlikem - a bude tedy možné i uvolňování kyslíku pro oduhlíkovací a okysličovací reakce nejen ve styku SiO_2 s taveninou, ale teoreticky též s tuhou fází v rozsahu teplot 1050°C až k teplotám tavení. Prakticky však za normálních podmínek k reakcím v tuhém stavu pro nedokonalý styk obou reagujících látek docházet nebude a bude zabráneno i rozpouštění Si v oceli.

b/ Pokud však bude již sama ocel obsahovat zvýšené množství Si (0,3 až 0,5, event. 0,7 % Si), pak v tuhém stavu k reakcím prakticky nebude docházet a u tavenin až při značně vyšších teplotách. Vzhledem k tomu,

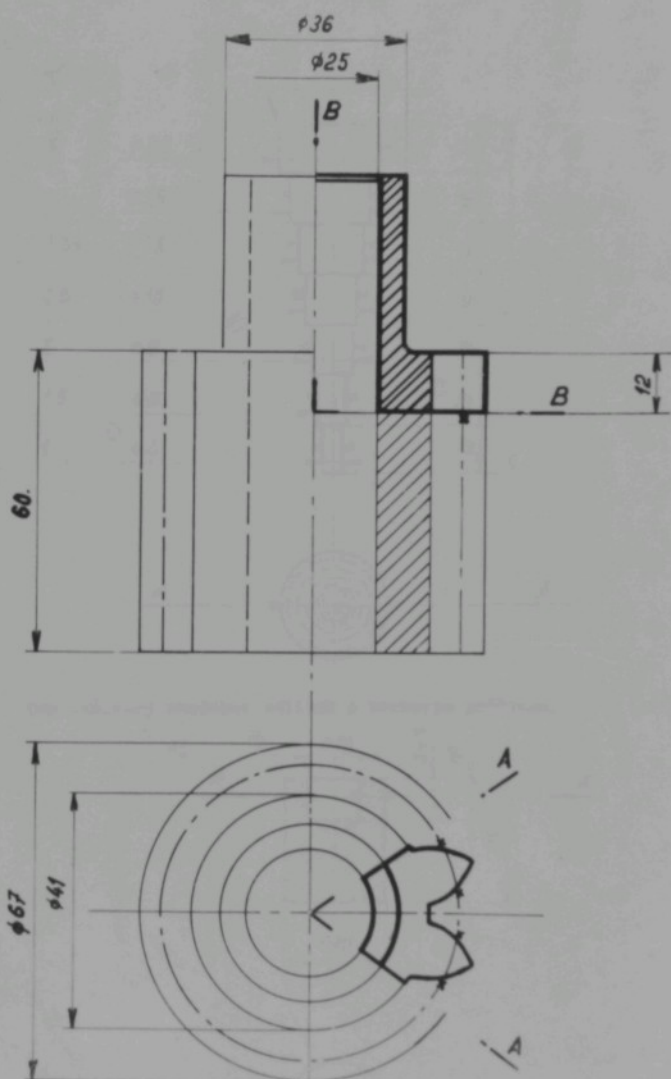
Vypočtené hodnoty kyslíkových potenciálů pro reakce atmosféry s fó

Rozpuštěný prvek	Koncentrace % vsh.	Melářní zlomek prvku v Fe N_i	$\log N_i$	$\frac{1}{2} 4,575 \cdot T \cdot (\log N_{Si} + \log N_{O_2})$
Si	0,01	2,0 $\cdot 10^{-4}$	- 3,699	- 17,05 . T
	0,01	1,74 $\cdot 10^{-4}$	- 3,76	
O_2	0,025	5,0 $\cdot 10^{-4}$	- 3,30	- 15,23 . T
	0,025	4,35 $\cdot 10^{-4}$	- 3,36	
Si	0,05	1,0 $\cdot 10^{-3}$	- 3,000	- 13,73 . T
	0,05	8,7 $\cdot 10^{-4}$	- 3,057	
O_2	0,1	1,98 $\cdot 10^{-3}$	- 2,702	- 12,48 . T
	0,1	1,73 $\cdot 10^{-3}$	- 2,76	
Si	0,3	6,55 $\cdot 10^{-3}$	- 2,184	- 11,305 . T
	0,1	1,73 $\cdot 10^{-3}$	- 2,76	
O_2	0,5	9,96 $\cdot 10^{-3}$	- 2,00173	- 10,885 . T
	0,1	1,73 $\cdot 10^{-3}$	- 2,76	
Al	0,01	2,07 $\cdot 10^{-4}$	- 3,684	$\frac{2}{3} 4,575 \cdot T \cdot \log N_{Al} + \frac{1}{2} 4,575 \cdot T \cdot \log$ - 19,85 . T
	0,01	1,74 $\cdot 10^{-4}$	- 3,76	

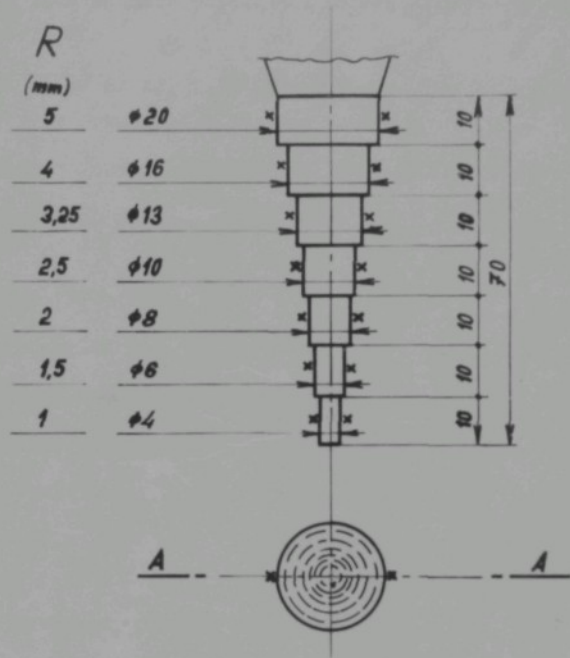
za podmínek rozpouštění reakčních zplodin v oceli.

Tabulka 4.7

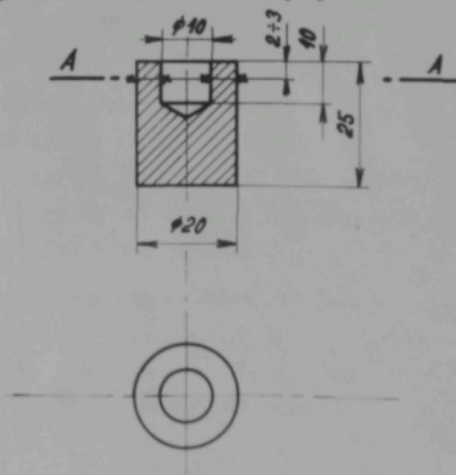
$\text{CO}_2 + \frac{1}{2}\Delta G_5^{\circ}$	$\log\left(\frac{P_{\text{CO}}}{P_{\text{CO}_2}}\right) = -\frac{A^{\text{us}}}{T} - C^{\text{us}}$	Hodnoty $P_{\text{CO}}/P_{\text{CO}_2}$ při teplotách:	
		1427 °C	1727 °C
		1700 °K	2000 °K
		$10^4/T = 5,88$	$10^4/T = 5,0$
+ 20,70 . T	$\log() = + \frac{9024}{T} - 4,52460$	6,07	1,23
+ 18,88 . T	$\log() = + \frac{9024}{T} - 4,12680$	15,2	2,43
+ 17,38 . T	$\log() = + \frac{9024}{T} - 3,79890$	32,3	5,2
+ 16,13 . T	$\log() = + \frac{9024}{T} - 3,52567$	60,6	9,69
+ 14,955 . T	$\log() = + \frac{9024}{T} - 3,26892$	109,5	17,5
+ 14,535 . T	$\log() = + \frac{9024}{T} - 3,177$	135,3	21,6
+ 21,25 . T	$\log() = + \frac{13388}{T} - 4,64480$	1125	112



Obr. 5.1 Zkušební odlitek tvaru ozubeného kola



Obr. 5.2 Odstupňovaný skušební odlitek s kruhovým průřezem



Obr. 5.3 Válcový skušební vzorek kruhového průřezu s dutinou

Hodnocení hloubky odhličení na uvedených vzorech /v místech označených křížky X v obr. 5.1., 5.2. a 5.3/ se provádělo ve smyslu ČSN 420496 [41] metalograficky po naleptání nitalem. Obraz struktury byl promítán na matnici mikroskopu, kde byla hloubka odhličení přímo změřena měřítkem v příslušném zvětšení /160 x/.

- Při zkouškách ad a/ až e/, t.j. odléváním vzorků do připravených keramických forem, byly informativně sledovány tyto vlivy na hloubku odhličení:
- 1/ vliv obsahu uhlíku v oceli /ČSN 12010, 12040, 12050, 12060, 19191/ [73 - 75]
 - 2/ vliv obsahu legujících prvků /ČSN 13181, 17021 - AK 1, slitina VZG 6a/ [73 - 75]
 - 3/ vliv licí teploty [73 - 75]
 - 4/ vliv teploty předehřátí forem [73 - 75]
 - 5/ vliv rychlosti ochlazování odlitků [74,75]
 - 6/ vliv nauhličujícího prostředku ve výplňové směsi [74]
 - 7/ vliv průřezu a tvaru odlitku [73,74]
 - 8/ vliv druhu materiálu keramické formy /SiO₂, Al₂O₃, SiC; pojivo ethylsilikát, vodní sklo, hliná, živec a pod./[74]
 - 9/ vliv struktury skořepiny na lící formy [75]

Při zkouškách ad d/, t.j. při vysokofrekvenčním tavení vzorků tvarově shodných s budoucím odlitkem, v otevřených keramických formách s dutinou téhož tvaru, byly sledovány tyto vlivy [75]:

- 1/ vliv obsahu uhlíku a legujících prvků /hlavně Mn/
- 2/ vliv doby styku roztaveného kovu s formou
- 3/ vliv rychlosti ochlazování odlitků /ochlazování v peci, na vzduchu a ve vodě/
- 4/ vliv omezení přístupu vzduchu v dutině odlitku /Ø 10 mm, obr. 5.3/
- 5/ vliv struktury skořepiny na lící formy /skořepiny/

Zkoušky odléváním do připravených zasypaných keramických skořepin jsou pouhou reprodukcí obvyklého slévárenského postupu za určitých přesněji stanovených podmínek. Jejich účelem bylo informativně zjistit a ověřit některé literárně známé zákonitosti a tendenze, zejména pak ověřit vhodnost experimentální metodiky.

Zkoušky vysokofrekvenčním tavením vzorků v keramické formě jsou jistou obdobou zkoušek reakce kovu s formou v souvislosti se vznikem připešenin, případně chemických reakcí s materiélem formy. Jejich účelem bylo hlavně

ověření těch literárních údajů, které za hlavní důvod oduhlíčování ocelových odlitků považují chemické reakce odlitku s materiélem formy.

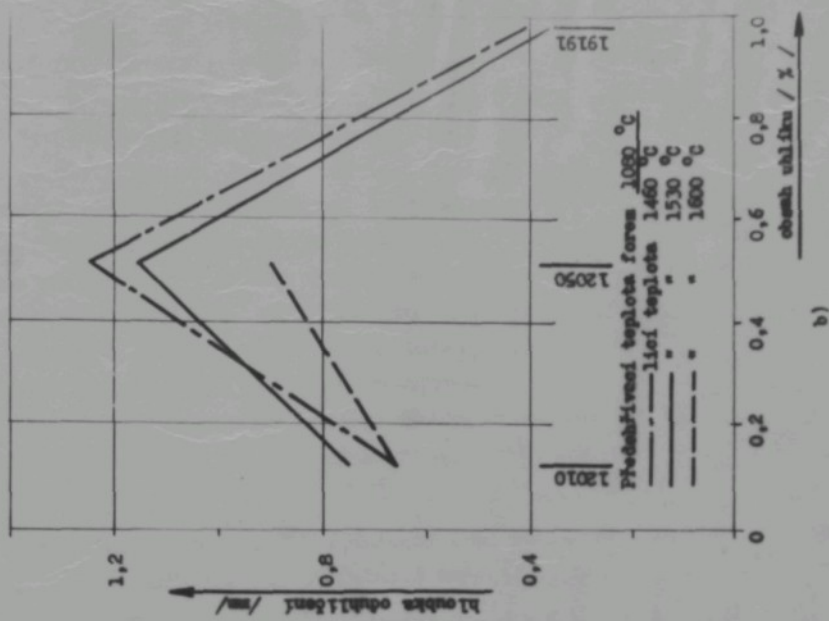
Nejsávažnější výsledky vlastních informativních zkoušek jsou graficky naznačeny na obr. 5.4 a,b; 5.5 a 5.6 - zkoušky odléváním na obr. 5.7.a,b,c - zkoušky vysokofrekvenčním tavením.

Výsledky zkoušek odléváním vzorků

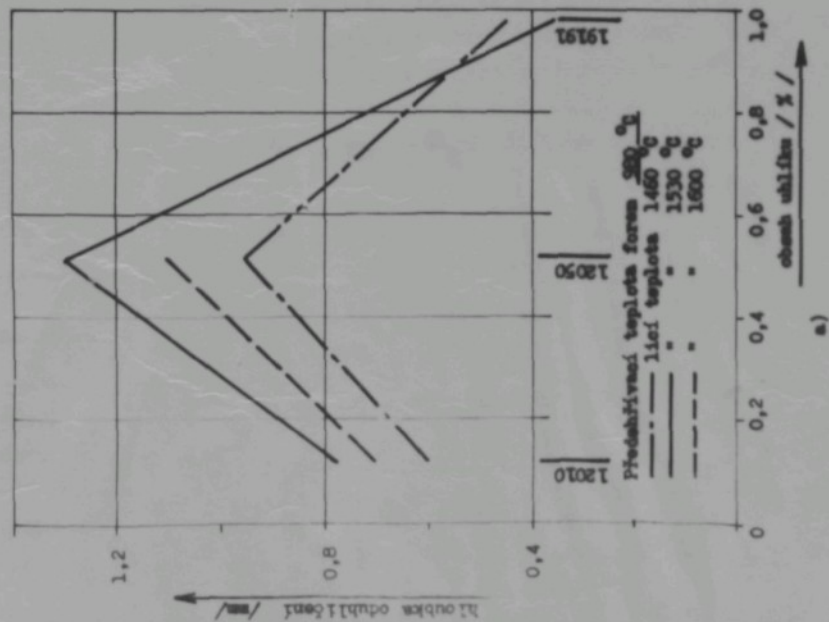
Z obr. 5.4 je patrný vliv obsahu uhlíku, představující teploty form a lící teploty kovu na houbku oduhlíčení. Ze tří zkoušených ocelí /12celi, 12celi, 19191/ vykazuje ocel s obsahem 0,5 % C maximální houbku oduhlíčení, což plně souhlasí s literárními prameny, i vlastními teoretickými úvahami, viz. kap. 4.3.1. Dosti pronikavě působí na výsledné oduhlíčení i lící teplota, a to v přímé vazbě s představující teplotou formy. Tak např. při představující teplotě formy 980°C stoupá houbka oduhlíčení v pořadí lících teplot 1460 , 1600 a 1530°C , avšak při vyšší teplotě představující v pořadí 1600 , 1530 a 1460°C . Tento jev spočívá bezpechyby v tom, že při vyšších teplotách lících a vyšších teplotách představujících dochází k ohřátí keramických skořepin i výplňové směsi v jejich okolí na vyšší teploty při následujícím mnohem pomalejším chlazení; proto je i okysličování již oduhlíčené povrchové vrstvy mnohem intenzivnější a projevuje se při měření houbky oduhlíčení za normální teploty tedy menší výslednou houbkou oduhlíčené vrstvy. Nejcitlivější na tyto vlivy je zejména ocel se středním obsahem C /s 0,52 % C/.

Tato víc méně paradoxní situace - snižování výsledné houbky oduhlíčení se zvážstající lící teplotou je dána metodou hodnocení houbky oduhlíčení ve smyslu ČSN 420496 [41]. Po zchladnutí odlitku a jeho čísťení se odstranuje současně i vzniklá okraj, takže mikroskopicky zjištěná výsledná houbka oduhlíčení není vlastně původně skutečně vytvořená /absolutní/houbka oduhlíčení, ale jistá relativní houbka oduhlíčení, která vzniká jako výsledek rozdílných rychlostí dvou dějů postupujících za sebou - oduhlíčování a okysličování již oduhlíčené vrstvy oceli.

Obr. 5.5 a 5.6 zachycují výsledky zkoušek oduhlíčení na odstupňovaných vzdorech kruhového průřezu, při kterých byl sledován vliv průřezu odlitku, vliv rychlosti chlazování vzorku /samonosní a zasypaná skořepina/ a vliv druhu keramické formy. Tyto výsledky byly získány při odlévání uhlíkové oceli s 0,38 % C /obr. 5.5/ a oceli s 0,78 % C /obr. 5.6/. Průřez odlitku je v obou obrázcích zachycen hodnotou poměrné tloušťky odlitku /R - viz. obr. 5.2/ v rozmezí od 1,0 do 5,0. Druh materiálu zkoušených skořepin je patrný z tab. 5.1.



Obr. 5.4



a)

Z výsledků zkoušek dle obr. 5.5 a 5.6 vyplývá, že ve většině zkoušených případů /s výjimkou normální SiO_2 skořepiny a korundové skořepiny u oslí s o,38 % C - viz. obr. 5.5/ vykazuje samonosná skořepina menší hleubku oduhlíčení, pravděpodobně vlivem podstatně rychlejšího ochlazování. Ze všech případů je jasné patrné, že se vznášející poměrnou tloušťkou odlitku, t.j. při klestající rychlosti ochlazování, se hleubka oduhlíčení vrstvy zvětšuje. Mimo obvyklé projevy při srovnávání různých zkoušených materiálů keramických forem lze vyčlenit výsledky zkoušek se skořepinami na bázi korundu a SiC . Poměrně více rozptýlené výsledky zkoušek s korundovou skořepinou způsobuje pravděpodobně různý stupeň spečení keramické hmoty /žihá se až na 1100°C / a z toho vyplývající i rozdíl v průdělosti skořepiny. Velmi zajímavý je výsledek prakticky neoduhlíčených vzorků ze samonosných skořepin SiC , který značně kontrastuje s oduhlíčenými vzorky z téže skořepiny odlité jako zasypané.

Informativní skoušky dále ukázaly i na spolehlivě působící přídavek nauhlíčujícího prostředku do výplňové směsi [74].

Pro ověření některých literárních údajů byl vyzkoušen i vliv struktury skořepiny na lici formy tak, že byly srovnány za jinak stejných podmínek odlité skořepiny normální /na bázi SiO_2 / se skořepinami z téhož materiálu, avšak s 1. obalem vytvořeným pouze pojivem /hydrolyz.ethylsilikátem/ a moučkou SiO_2 /bez zasypaní pískem SiO_2 . Účelem bylo ověřit význam přítomnosti většího podílu velmi jemného SiO_2 z vypáleného gelu a moučky za rozhraní odlitku a formy, u něhož se dá císlkovat podstatně větší reaktivní schopnost.

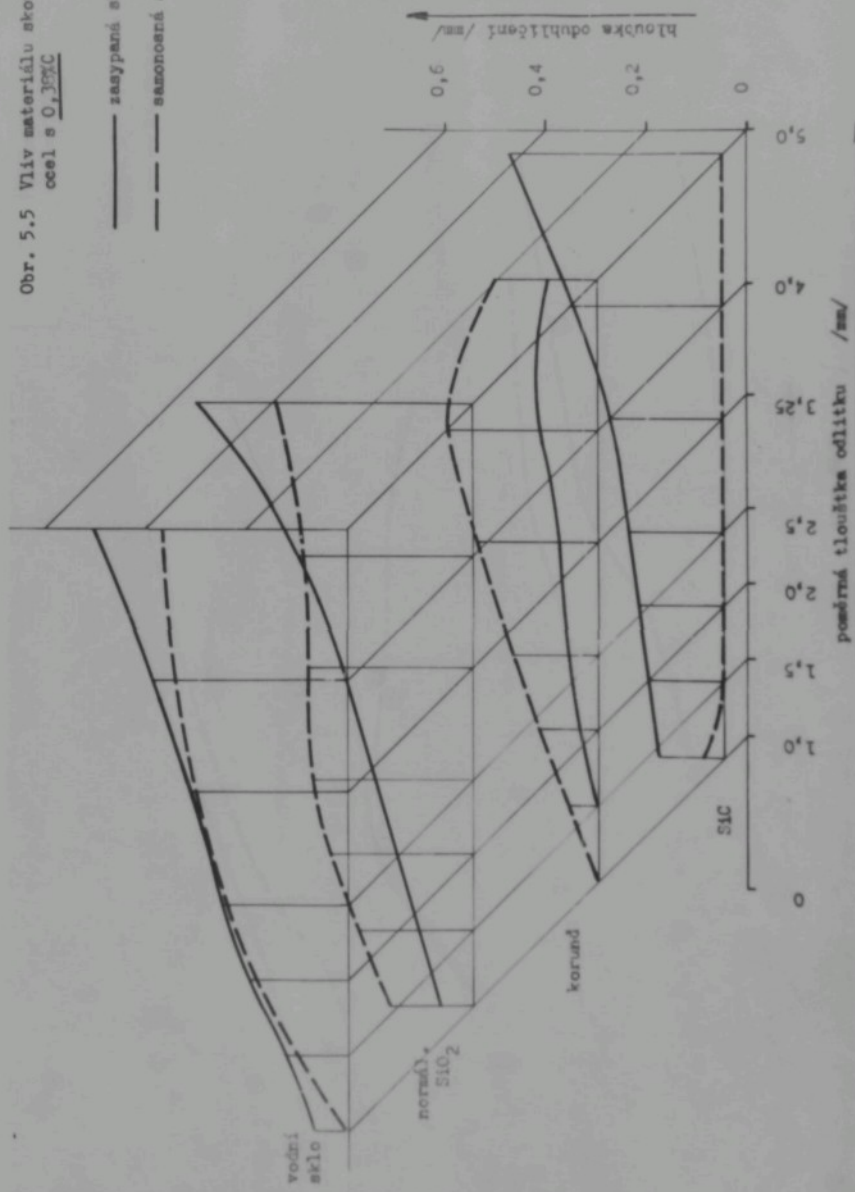
Tabulka 5.1

Drah skořepiny	Struktura skořepiny / pojivo/záhybový písek /				
	1. obal	2. obal	3. obal	4. obal	5. obal
normální	hydrolysovaný ethylsilikát + SiO_2 moučka SiO_2	—			
vodní sklo	hydrolyz.ethylsil. + SiO_2 moučka SiO_2	hydrolyz.ethylsil. + SiO_2 moučka SiO_2	hydrolyz.ethylsil. + SiO_2 moučka SiO_2	hydrolyz. vodní sklo + SiO_2 moučka SiO_2	SiO_2
SiC	hydr.ethylsil. + SiC mouč. SiC	hydr.ethylsil. + SiO_2 moučka SiO_2	hydr.ethylsil. + SiO_2 moučka SiO_2	hydr.ethylsil. + SiO_2 moučka SiO_2	SiO_2
korund	hlinitá pojiva / viz. [74] /				
	Al_2O_3	Al_2O_3	Al_2O_3	Al_2O_3	—

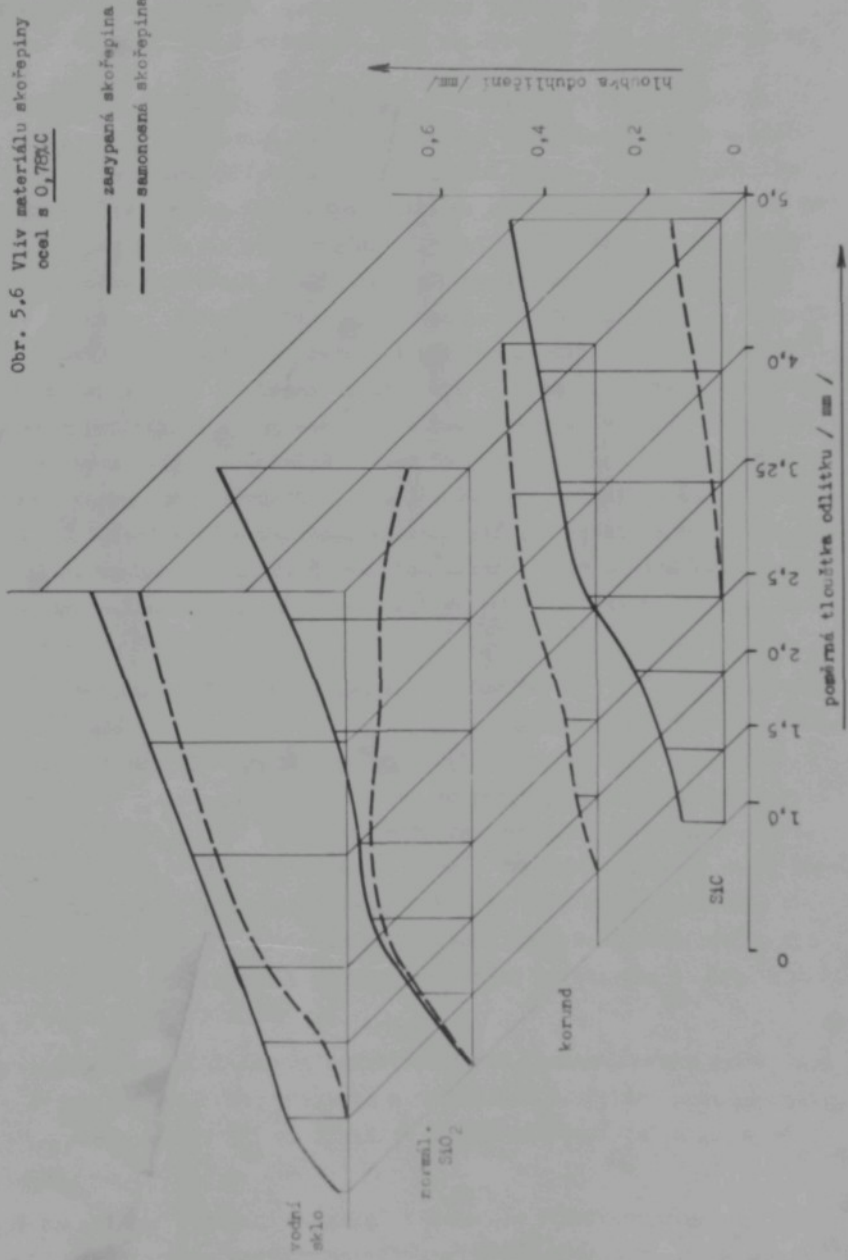
Obr. 5.5 Vliv materiálu skořepiny
ocel s 0,35% C

— zasypaná skořepina

— samonosná skořepina



Obr. 5,6 Vliv materiálu skořepiny
cca 0,73°C

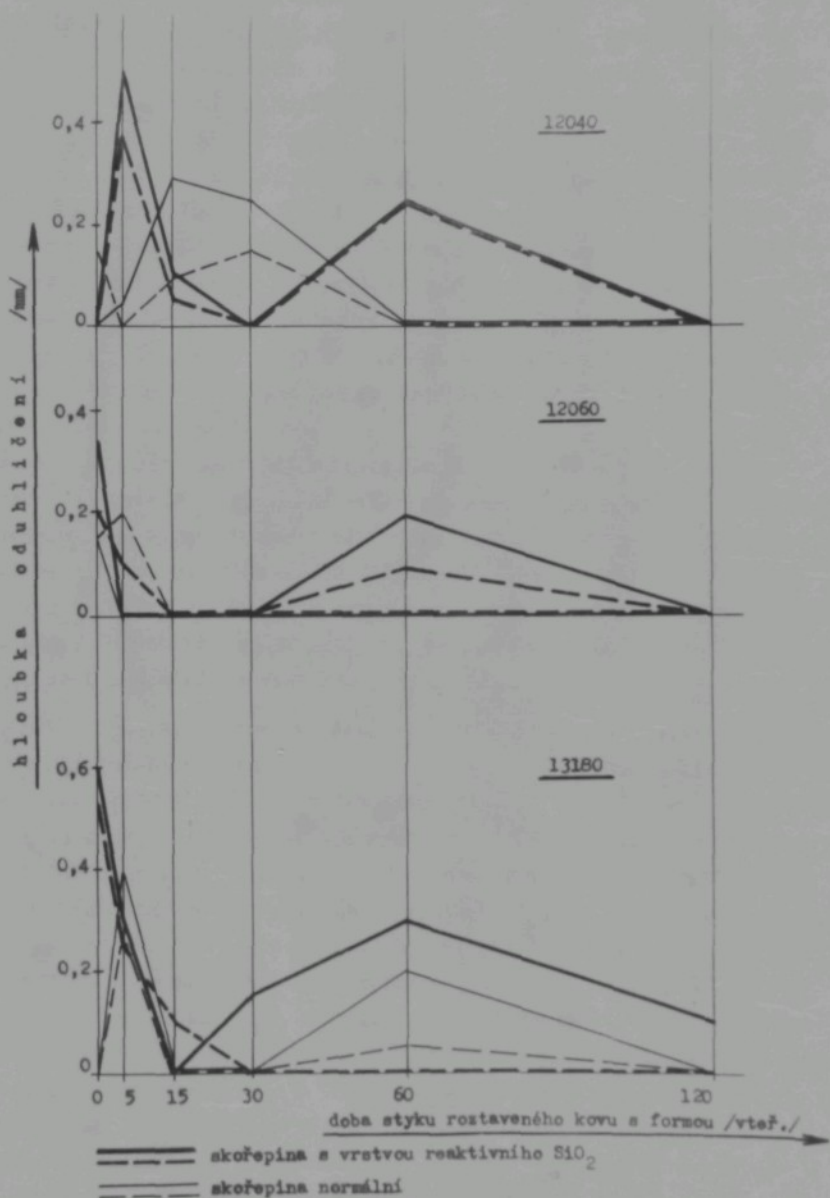


/dále označen názvem "reaktivní SiO_2 "/ s materiélem odlitku, zejména uhlíkem.
novelky rodu
 Zkoušky odleváním ukázaly v hloubce oduhlícení ve srovnání s oduhlícením
 odlitků s normálních skořepin; jsou však patrné tendenze spíše k větší
 hloubce oduhlícení u forem s větším obsahem reaktivního SiO_2 na lící formy.

Výsledky zkoušek vysokofrekvenčního tavení v keramických skořepinách /viz.
 obr. 5.7 a,b,c/ [75] provedené se třemi ocelmi /ČSN 12e40, 12e60 a 1318e/
 ukazují na vliv omezeného přístupu vzduchu k lící formy /v dutině odlitku/
 a celá jednoslučň u všech zkoušených ocelí na vliv struktury skořepiny na
 lící formy. Vzorky skořepin pro tyto zkoušky byly připraveny obdobně jako
 pro uvedené zkoušky odleváním - t.j. byly připraveny skořepiny normálním
 postupem /4 obaly s pojivem na basi hydrolysovaného ethylsilikátu a zásypem
 křemenným pískem/ a skořepiny se zvýšeným obsahem reaktivního SiO_2 na lící
 formy /1. obal bez zásypu/. U všech zkoušek byl do vytavené a vypálené sko-
 řepiny začlen při normální teplotě vzorek oceli tvarově shodný s budoucím
 odlitkem, roztaven vysokofrekvenčně /během 50 až 75 vteřin/ a dále udržován
 různou dobu v roztaveném stavu /0,5, 15, 30, 60 a 120 vteřin/ - čas počítán
 od okamžiku roztavení celého vzorku/. Po stuhnutí byla většina vzorků ochla-
 zována volně na vzduchu /rychlosť cca $1500^\circ\text{C}/\text{hod}/$, část ochlazována ve vodě
 a část pomalu ochlazována v peci /začleny do peci vyhřáté na teplotu 900°C ,
 rychlosť $50 - 100^\circ\text{C}/\text{hod}.$

Obr.5.7 zahrnuje výsledky zkoušek u tří různých ocelí, kdy ochlazování
 vzorků po stuhnutí se dělo normálně na vzduchu. Čárkovány čarami jsou uva-
 deny naměřené hleubky oduhlícení v dutině odlitku /s omezeným přístupem
 vzduchu/, plnými čarami hleubky oduhlícení na vnitřním povrchu odlitku. Prů-
 běh čar v závislosti na době působení roztavené oceli na keramickou skoře-
 pinu ukazuje na většině čar dvě maxima - první, velmi výrazné při velmi krátk-
 ých dobách působení se vyskytuje vše, druhé, obvykle až při době působení
 cca 60 min., a to zejména u skořepin se zvýšeným množstvím reaktivního SiO_2 .
 Z hodnot naměřeného oduhlícení i průběhu uvedených závislostí na době půso-
 bení lze vyvodit tyto dílčí závěry:

- a/ U vzorků se zvýšeným množstvím reaktivního SiO_2 hodnoty maxim oduhlícení
 bývají až o 50 % vyšší než u vzorků s normálních skořepin; prvního maxima
 oduhlícení se dosahuje již po kratších dobách působení než u skořepin
 normálních.
- b/ Hleubka oduhlícení v dutině odlitku /s omezeným přístupem vzduchu/ bývá
 spravidla menší než na vnitřním povrchu, přestože rychlosť ochlazování
 v dutině odlitku bude bezpochyby menší.



Čárkované čáry - povrch dutiny odlitku; plné - vnější povrch odlitku

Obr. 5.7 Výsledky zkoušek vysokofrekvenčním tavením oceli ve skořepině

c/ Ze vzhledu taveniny při vlastních skouškách tavením i ze vzhledu povrchu ztuhlých odlitků lze jednoznačně usuzovat na vznik více či méně bouflivé - pravděpodobně uhlíkové reakce s materiélem formy - již od doby působení od 20 až 30 vteřin u vzorků se zvýšeným množstvím reaktivního SiO_2 na lici skořepiny a za týchž podmínek i u normální skořepiny při tavení oceli ČSN 13180, která je legována cca 1 % Mn. Tyto výsledky bezpechyby vysvětlují i vznik většího oduhlíčení - druhého maxima - po době působení cca 60 vteřin. U čisté uhlíkových ocelí při tavení v normální skořepině tyto jevy nenastávaly. Opětný pokles relativní hlebky oduhlíčení po působení 120 vteřin lze pravděpodobně vysvětlit opět ohřevem skořepiny na vyšší teploty, pomalejším ohlašováním a delším setrváním celé soustavy odlitek - forma na vyšších teplotách; tím je bezpechyby dáno intenzivnější oxysilicování již oduhlíčené vrstvy.

Tyto výsledky plně souhlasí s teoretickými úvahami o vzniku uhlíkové reakce - viz.kap.4.3.5 - která může přicházet v úvahu pouze při vyšších teplotách, což bylo při vysokofrekvenčním tavení při delších časech splněno, zejména ve styku oceli s formou. Ze srovnání průběhu těchto reakcí v normální skořepině a skořepině s reaktivním SiO_2 je dále vidět, že i při vysokých teplotách byly pro tuto reakci splněny podmínky teprve při zvýšení množství reaktivního SiO_2 na lici formy.

d/ Ojediněle u některých zkoušek byla na povrchu odlitku nalezena sklovitá vrstva připomínající podle barvy železem značně nasycenou kyselou struskou. Tento jev nastával zejména v tom případě, že vzorek /včetně skořepiny/ byl ochlazován ve vodě, a to bez pozorovatelného rozdílu jak při použití normálních skořepin, tak i skořepin se zvýšeným množstvím reaktivního SiO_2 na lici skořepiny. Tyto sklovité sloučeniny objevovaly se ovšem pouze po tavení delším než 30 vteřin. Jde bezpechyby o vznik komplexních silikátů na rozhraní odlitku a skořepiny, které po delší době setrvání na vysokých teplotách se vytvářejí ve větším množství, při teplotách roztavené oceli a při jejím tuhnutí jsou tekuté a vytvoří posléze souvislou vrstvu na povrchu odlitku. Z těchto informativních výsledků nelze vyloučit jednoznačné závěry o souvislosti vzniku sklovité vrstvy na povrchu odlitku se vznikem oduhlíčování, protože část vzorků při naších zkouškách nevykázala pod sklovitou vrstvou oduhlíčení, avšak část ano.

Současně se zkouškami vysokofrekvenčním tavením ocelí ČSN 12040, 12060 a 13180 v keramické skořepině [75] /normální i se zvýšeným množstvím reaktivního SiO_2 na lici skořepiny/ byly pro srovnání prováděny zkoušky odlévání

týchž materiálu [75] a odlitky ochlazovány třemi rychlosťmi - po odlití mimo výplňovou směs na vzduchu /rychlosť chlazení cca $180 - 200^{\circ}\text{C}/\text{hod}.$, ve formě v zásypu výplňové směsi $/100^{\circ}\text{C}/\text{hod}$ / a ve formě založené do peci předehřáté na $900^{\circ}\text{C} / 50^{\circ}\text{C}/\text{hod}.$. Z výsledků těchto informativních měření lze říci, že při odlévání do normálních skořepin se prokázaly již dříve posnané tendenze příznivého vlivu nižší lieč teploty taveniny i nižší předehřívací teploty forem na snížení relativní hloubky oduhlíčení. Znovu byl potvrzen výrazný vliv uhlíku v tom smyslu, že ocel s $0,58 \% \text{ C}$ /ČSN 12e6e/ měla při chlazení odlitků ve výplňové směsi největší hloubku oduhlíčení, ale ocel ČSN 1318e / $0,54 \% \text{ C}, 1,1 \% \text{ Mn}$ / vlivem zvýšeného obsahu mangani pouze poloviční. Téměř stejného oduhlíčení jako u oceli ČSN 12e6e bylo dosaženo i u oceli s $0,4 \% \text{ C}$ /ČSN 12e4e/.

Tyto výsledky velmi dobře potvrzují i výsledky předchozích teoretických výpočtů a úvah /viz. kap. 4.3.1, 4.3.2 a obr. 4.2/.

Při odlévání do skořepin se zvýšeným množstvím reaktivního SiO_2 se za jinak stejných podmínek odlévání a chlazení podstatně zvýšilo oduhlíčení u manganové oceli 1318e ~ cca na dvojnásobek ve srovnání se skořepinou normální. U uhlíkových ocelí se hloubka oduhlíčení ve srovnání s normální skořepinou prakticky nesměnila. Tento výsledek - nápadně shodný s výskytom druhých maxim při zkouškách tavení v normálních skořepinách /viz. obr. 5.7 a,b,c/ - potvrzuje správnost výše uvedených závěrů o možnostech vzniku reakce oceli s formovacím materiélem, zejména s reaktivním SiO_2 za přítomnosti mangani, jehož kysličník umožňuje snadnější rozpuštění SiO_2 v ekuji a současně též snižuje výrazně teplotu tuhnutí komplexních kysličníků na rozhraní odlitku a formy, čili prodlužuje tak dobu možného průběhu reakce [64].

Souhrnně lze podle výsledků všech informativních zkoušek vyslovit tyto čítké závěry k problematice oduhlíčování ocelových odliteků vyrobených odléváním do keramických forem metodou vytavitevního modelu:

- a/ Oduhlíčování probíhá nejintensivněji u ocelí se středním obsahem uhlíku /okolo $0,5 \% \text{ C}$.
- b/ Vliv legujících prvků nelze z informativních zkoušek přímo potvrdit. Mn /v oceli ČSN 1318e/ s vyjímkou zkoušek odlévaním [70] nezaspůsobil žádnou výraznou odchylku od obvyklých hodnot oduhlíčení, pouze v případě zkoušek tavením ve skořepině zvýšil oduhlíčení u vzorků po 60 minutách a dál u vzorků odlévaných při lití do skořepin se zvýšeným množstvím reaktivního SiO_2 , a té pravděpodobně vlivem své reakce s SiO_2 . Vliv Cr ,

Na B. V., které jsou přítomny ve zkoušených slitinách 17e21 /AK 1/ a VZÚ 60 ve větších množstvích, se neprojevil přímo na odhličení sákladní hmoty těchto slitin, ale na způsobu rozložení karbidových eutektik. Podle tepelných poměrů ve formě při lití a tuhnutí se vyleučile karbideové eutektikum ve vzdálených oblastech od povrchu odlitku s největší pravděpodobností vlivem odměšování v krystalech. U karbidů tohoto charakteru nelze předpokládat jejich rozklad na povrchu odlitku přítomnosti v nevhodné atmosféře formy.

- c/ Se zvyšováním licí teploty taveniny se zpočátku zvětšuje i relativní hloubka odhličení, dosahuje při jisté hodnotě přehřátí maxima a s dalším přehříváním taveniny relativní hloubka odhličení opět klesá. Licí teplota, při níž se dosahuje maxima odhličení není pravděpodobně vůči teplotě likvidu daná oceli konstantní a má tendenci se snižovat se zvyšující se teplotou předehřátí forem, čili souvisí s celou tepelnou bilancí odlité formy. Pokles relativního odhličení při vysokých licích teplotách, zejména při jejich kombinaci s vysokými předehřívscími teplotami forem, nelze považovat za jev příznivý, protože dochází pouze k relativnímu zmenšení hloubky odhličení intenzivnějším okysličováním již odhličené vrstvy.
- d/ Zvýšení rychlosti ochlazování odlitků se projevuje bez vyjimky příznivě na snížení hloubky odhličení, nejvíce při extrémně rychlých podmínkách ochlazování vzorků, např. z teplet solisu vodou.
- e/ Pásobení mnišíčujícího prostředku ve výplňové směsi formy lze hodnotit jako způsob, kterým lze scela odhličení zabránit - alespoň u zkoušených uhlikových ocelí a uvedených tvarů a velikostí zkoušebních vzorků.
- f/ Zkoušky na odlitcích s odstupňovanými průměry ukazují jednoznačně, že se vztuštajícím průměrem odlitku, t.j. s pomalejším chladnutím jednotlivých partií odlitků, výrazná hloubka odhličení. Vliv omesného přístupu vzduchu do dutiny odlitku stěnové formy se projevuje spíš poklesem hloubky odhličení; tento vliv však nelze dobře zobecnit, protože bude závislý zejména na celkové konstrukci odlitku /tvaru, velikosti, členitosti a pod./.
- g/ Ze zkoušených materiálů keramické formy velmi příznivé výsledky ukázala skořepina s prvním obalem na basi SiC /v obalové směsi i zásypu/, a to pouze za podmínek rychlého ochlazení /zkoušky byly odlévány do samonosných skořepin/.

h/ Zvýšení množství reaktivního SiO_2 na lící skořepiny působí spíše ne-příznivě, t.j. má tendenci zvyšovat hloubku oduhličení. V případě delší doby styku skořepiny s taveninou nebo za přítomnosti většího množství mangani v oceli je možno předpokládat i vznik nepříznivé uhlíkové reakce.

j/ Při obvyklých lících teplotách /u vzorků odlévaných/ a při krátkých dobách působení taveniny na skořepinu /při zkouškách tavením ve skořepině/ se neukázal na vzorech z těchto uhlíkových ocelí výrazný rozdíl v hloubce oduhličení mezi normální skořepinou a skořepinou se zvýšeným obsahem reaktivního SiO_2 . Proto se v souhlasu s teoretickými úvahami dá oprávněně předpokládat, že rozhodujícím zdrojem kyslíku pro oduhlíčování odlitků z uhlíkových a nízkolegovaných ocelí není chemický rozložený keramický materiál skořepiny, ale převážně kyslík z ovzduší nebo atmosféry formy.

K problému metodiky zkoušek je možno podle výsledků informativních akoušek i vlastních skúšeností při přípravě a hodnocení vzorků vyslovit tyto sávěry:

a/ Za nejvhodnější skúšební vzorek lze označit odstupňovaný vzorek, protože ve srovnání s ostatními použitými vzorky má výhodu v získání většího počtu naměřených hodnot z jednoho vzorku, a to v poměrně širokém intervalu poměrných tloušťek odlitků /R od 1 do 5/. Při studiu oduhlíčování odlitků je zejména tato přednost velmi cenná, dokonce nezbytná. Nevhodnou uspořádání vzorků dle obr. 5.2 je to, že dílyk jednotlivých vzdlosových částí jsou vzhledem k průměru krátké a nevystihují dostatečně podmínky ochlazování odlitků v závislosti na poměrné tloušťce odlitku R. Přesto však tento odlitek nelze s ohledem na celkovou velikost formy vytvořit podstatně delší. Další nevhodnou vzorku s kruhovým průřezem /dle obr. 5.2/ je jejich obtížné rozřezávání v rovině osy; proto byl pro další zkoušky zvolen odstupňovaný vzorek s průřezem obdélníkovým.

b/ Ostatní odlitky ze seriové výroby /např. dle obr. 5.1/ i válcový odlitek s dutinou /dle obr. 5.3/ umožňují získání pouze omezeného počtu měřených hodnot a navíc vnitřejší do měření a výsledků i své charakteristické tvarové vlivy.

c/ Odlitky získané vysokofrekvenčním tavením vzorků v keramické skořepině vykazují všechny nedostatky uvedené ad b/ a navíc trpí výsledky zkoušek i značnou nestálostí a nepřirozenými podmínkami, protože při intenzivním indukčním ohřevu nelze dobré zajistit definovanou teplotu kovu. Zejména na vnějším obvodu válcového vzorku, t.j. na styku kovu s formou

je velmi obtížné dodržet konstantní, definovanou teplotu taveniny. Mimo to lze též těžko zvládhnout i některé další parametry /např. teplotu předehřátí forem, rychlosť chladnutí, nauhličující prostředky a pod./.

5.2. Metodika systematických zkoušek.

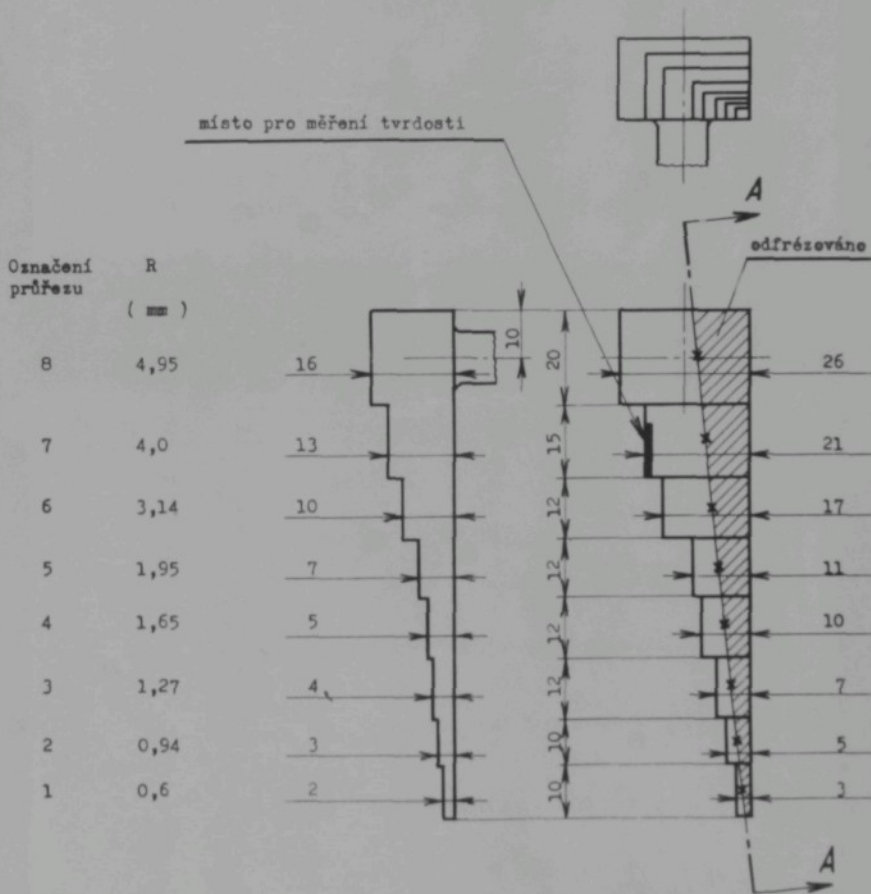
Poled skúšeností z předchozích informativních zkoušek byl pro další systematické zkoušky navržen a použit opět odstupňovaný skúšební vzorek, avšak pro usnadnění mechanického opracování odlitků a přípravu metalografických vzorků s přívesem obdélníkovým. Obr.5.8. ukazuje tvar a velikost skúšebního vzorku včetně posměrných flouštek odlitku /R/ na jednotlivých stupních. Tento typ vzorku je určen výhradně pro zkoušky odlišování.

Umožnění skúšebního vzorku-odlitku na vtokové soustavě bylo při všech systematických zkouškách stejné - viz. obr.5.9. Toto opatření umožnilo zajistit při všech provedených zkouškách obdobné tepelné poměry v soustavě odlitek-keramická skořepina a současně postihnout i vliv konstrukce a velikosti formy /keramická skořepina, výplňová směs, kovový rám/. Z tohoto důvodu je možno i výsledky zkoušek provedených při stejném tepelném režimu chladnutí forem dobře srovnávat.

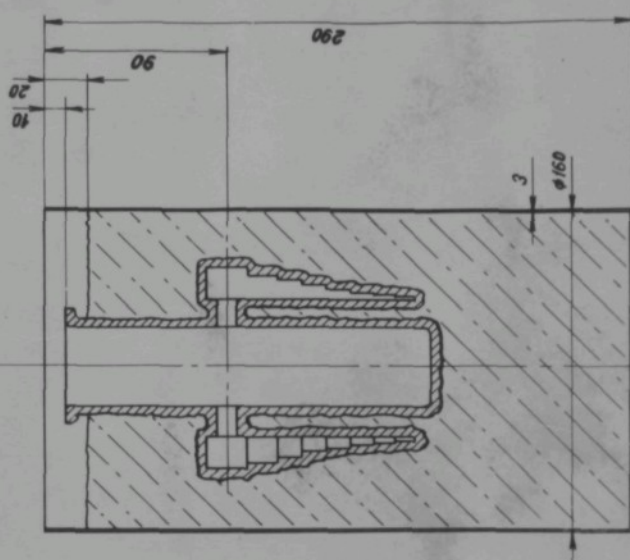
Zkúšební keramické skořepiny byly vyrobny obalovým způsobem, a to jak obvyklým postupem z materiálů na basi SiO_2 /hydrolysovaný ethylsilikát, klecenná moučka EP a písek T23/, tak i několika zvláštními postupy s případným použitím jiných materiálů.

Znělek zaformování keramických skořepin byl těž ve všech případech stejný, pouze s tím rozdílem, že u zkoušek odlitych v n.p. ZČR Uherský Brod [77,78] byl používán kovový rám litý z oceli AKC o průměru $\varnothing 170$ mm a výšce 300 mm, zatím co u ostatních zkoušek odlitych na VŠST byly použity z provozních důvodů /světlé rozměry žihadlic pecí/ rámy svařované z 3 mm plechu AKVS o průměru 160 mm a výšce 290 mm. Způsob zaformování keramických skořepin ukazuje obr. 5.1a.

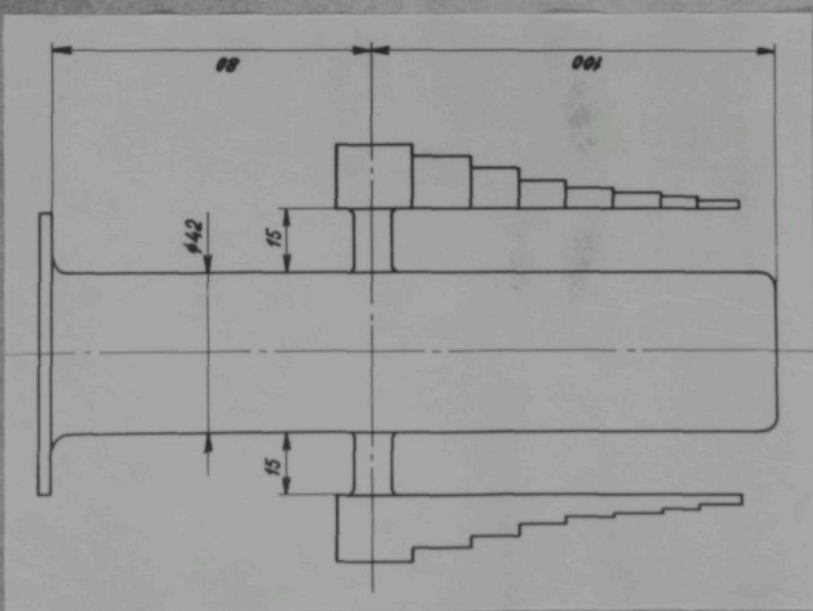
Jako výplňová směs byl používán při většině zkoušek v ZČR Uherský Brod křemičitý písek z normálního provozu, který podle námi provedených zkoušek obsahoval cca 2 % /váhová-/ kovových zbytků oceli či okuje a dále neurčité množství více než méně rozmísených zbytků keramiky. Sítový rozbor / $a_{0,63} - 0,75$ mm - 39,3 %; $a_{0,75} - 0,8$ mm - 6,7 % a $a_{0,8} - 1$ mm - 54 %/ střední velikost hrana 0,75 mm/ ukazuje, že jde o jasné až střední druh výplňové směsi. Podle skúšeností z těchto zkoušek byl nadležit na VŠST používán hrubý pramý křemičitý



Obr. 5,8 Odstupňováný skúšební odlitek s obdélníkovým průřezem



Obr. 5.10 Způsob naformování korunických skořepin



Obr. 5.9 Uspořádání skulčebních odlitek na vrckové soustavě

písek /velikost zrna 2 - 6 mm/ bez zbytků oceli, okuje a zbytků keramiky.

Syrové keramické skořepiny /vyvařeny ve vodě, usušeny při normální teplotě minimálně 24 hodin/ byly uvedeným spůsobem zaformovány a před odlitím vypáleny. Režim vynaložení byl opět ve všech případech stejný. Formy byly vkládány do peci při teplotě 600°C , načež po vyrovnání teplot v peci /30-45 min/ byly ohřívány až na teplotu $900 - 920^{\circ}\text{C}$ /rychlosť cca $150^{\circ}\text{C}/\text{hod}/$ a při této teplotě žáhány coa 2 až 2,5 hod. Většina forem byla odlévána při této předehřívací teplotě, pouze některé formy při nižší /např. $600^{\circ}\text{C}/$. Pokud byly formy odlévány při nižších teplotách než 900°C , byly na vhodné předehřívací teploty ochlazeny v peci, t.j. rychlosť cca $50 - 80^{\circ}\text{C}/\text{hod}$.

Odlévaná ocel se tavila v indukčních středofrekvenčních pecích s kyselou vyzdívkou / v ZŠR - kelímek o obsahu 40 kg, na VŠT kelímek o obsahu 18 kg oceli/ a byla normálně desoxydována ferosilicitem, feromanganem a hliníkem. V ZŠR Uherský Brod byly formy odlévány z pánev, na VŠT přímo z laboratorní pece, a to vždy sada 6 forem /váha celé vsázký cca 13-14 kg/. Lící teplota byla kontrolována optickým pyrometrem; v této práci dále uvedené hodnoty jsou již korigovány.

Formy po odlití chladly na studeném pískovém loži na klidném vzduchu při normální teplotě, a to buď až na normální teplotu /po dobu cca 12-15 hod./ nebo byly pro zjištění vlivu zrychleného chlazení některé odlitky /včetně vtokové soustavy v naporušených skořepinových formách/ ještě žává vyjmány po kratší době 6 min, 15 min., 30 min., atd/ z rámu a výplňové směsi a ochlazovány opět na klidném vzduchu.

Po vychladnutí podle předem stanoveného režimu byly vzorky sbaveny klepnáním keramické skořepiny a hodnocen vizuálně vzhled povrchu vtokového kílu a zkoušebních odlitků, vzhled povrchu keramické skořepiny na lící vtoku a zkoušebních odlitků a hodnocena snadnost odstranění keramiky z odlitku.

Hloubka oduhlíčení se vyhodnocovala na odstupňovaném vzorku metalograficky na řezu, označeném na obr. 5.8 A-A; řez zkoušebním odlitkem, t.j. studované ploše metalografického výbrusu, prochází přibližně středem "výšek" na jednotlivých stupních vzorku. Hloubka oduhlíčení byla měřena po obou stranách vzorku, přičemž měření na t.zv. "rovné" straně - přivrácené ke vtokovému kílu - byla považována pouze za kontrolní a nejsou v této zprávě uváděna. Podle vlastních měření je hloubka oduhlíčení na každém 10 až 12 mm dlouhém stupni stálá v rozmezí ± 3 mm kolem středu podélné hrany /viz. obr. 5.11/.

Na přechodu každého stupně ke stupni o větší či menší tloušťce jsou poměry odhličení zkráceny změnou průřezu - při přechodu k menší tloušťce hloubky odhličení pribývá a v koutu přechodu k větší tloušťce hloubky odhličení peněkud ubývá.

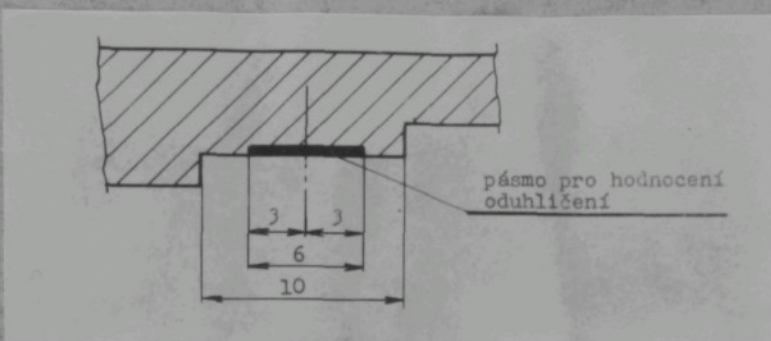
Přestože délky jednotlivých stupní jsou vůči průřezu poměrně malé vzhledem k fyzikálnímu významu a definici poměrné tloušťky odlitku Δ , vyštihují i za uvedených poměrů celkem dobře rozdíly dané průřezem. Hloubka odhličení je ve středním pásmu každého stupně v dostatečné míře konstantní /viz. obr. 5.11/ a umožňuje spolehlivé měření metalografickým způsobem.

Vtokoví soustava a umístění zkusebních odlitek dle obr. 5.9 bylo zámořně navrženo tak, aby se podmínky chladnutí odlitků co nejvíce blížily obvyklým podmínkám provozním. Také celkovou délku odstupňovaného odlitku /103 mm/ je nutno považovat za maximální pro dané velikosti forem, protože v případě větší délky by mohly být hlavně tenké průřezy ovlivněny již snažně rozdílnou polohou těchto míst ve formě.

Vlastní vyhodnocení hloubky odhličení se provádělo obdobně jako při informativních zkouškách ve smyslu normy ČSN 420496, t.j. měřením hloubky celkového odhličení /částečné + úplné/ a hloubky úplného odhličení na metalografických vzorcích naleptaných nízalem. Podle ČSN 420496 je úplné odhličení vrstva na povrchu odlitku tvořená pouze feritem. Částečné odhličení je vrstva tvořená feritem a perlitem částečně ochuzeném o uhlík; vyskytuje-li se oblast úplného odhličení, je oblast částečného odhličení přechodnou oblastí od struktury feritu k základní struktuře kovu [4].

Způsob měření hloubky odhličení podle ČSN je ovšem zaměřen na kontrolu hloubky odhličení hotových výrobků a zahrnuje proto pouze odhličení výsledné bez úvahy té části odhličené vrstvy, která se event. zokujila a byla jako okraj s výrobkem odstraněna. V tom smyslu je tedy měření dle ČSN, které bylo převzato jako metoda i v této práci, měřením relativní hloubky odhličení, protože skutečnou absolutní hloubku odhličení, která by vyjádřovala hloubku celé odhličené vrstvy bez okujení, na odlitcích fakticky ani nepřímo měřit nemůžeme. Nelze totiž analogicky korozním zkouškám [9] určit přesné tloušťku okuju a z toho množství zoxydovaného kovu - u odlitků okraj často zcela nebo z části odpadne nebo ulpí na formě. Příklad určování hloubky odhličené vrstvy na vlastních odlitcích znázorňuje obr. 5.12.

Ve srovnání s praxí a metodikou informativních zkoušek se způsob zpracování zkoušek systematických ukázal po všech stránkách výhodnější a umožnil mnohem přesnöji definovat zkusební podmínky. Při některých zkouškách bylo



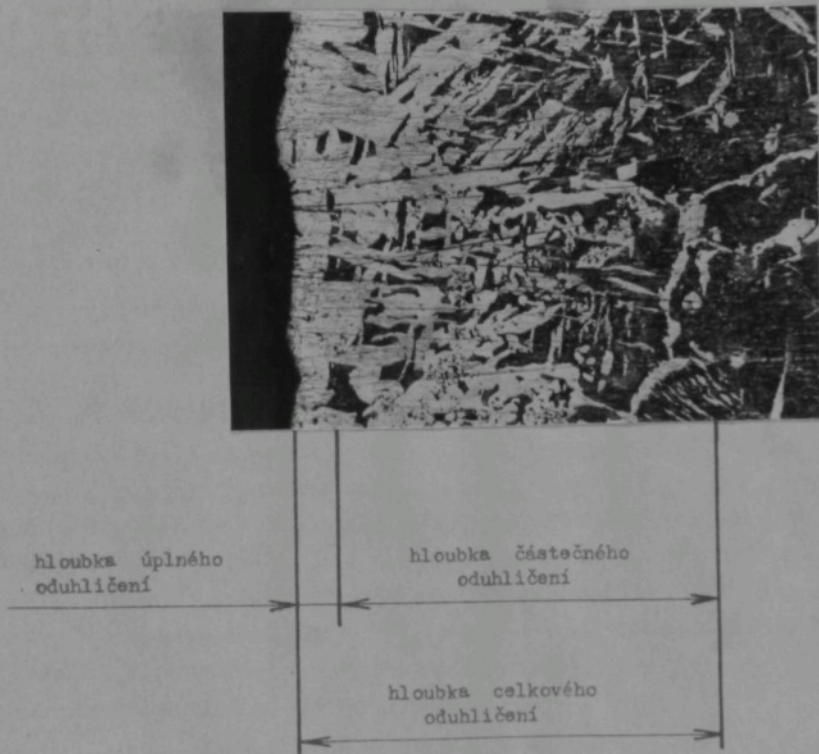
Obr. 5.11

také výhodně využito té možnosti, že každý zkoušební vzorek na téže vtokové soustavě mohl být opatřen jiným druhem keramiky; celá soustava keramické skořepiny byla odlišta potom najednou a tuhla i ohlídla za přesně stejných podmínek. Význam tohoto opatření tkví v tom, že případné rozdíly v hloubce odůhličení na obou vzercích přímo ukazovaly na vliv obou zkoušených keramických materiálů nebo způsobu přípravy skořepiny. Výhodou tohoto způsobu přípravy skořepin bylo získání dvojnásobného množství vzorků z jedné tavy, a to většině kontrolních a srovnávacích odlitků.

5.3. Přehled studovaných parametrů ovlivňujících odůhličení přesných ocelových odlitků a výsledky vlastních zkoušek.

V průběhu systematických zkoušek byly studovány téměř všechny dílečitější vlivy různých činitelů a parametrů výroby přesných ocelových odlitků – literárně popsáné nebo odvozené na základě teoretického rozboru /kap.4/ – vždy za stejných tepelných poměrů v soustavě odlitek-forma a při použití oceli téhož základního složení.

Jak bylo již ukažáno dříve – v obdobných případech výzkumů v oboru odlévání do pískových forem – bývají právě neúplně definované nebo rozdílné podmínky zkoušek jedním z hlavních zdrojů případných rozdílů ve výsledcích a sporů o skutečné tendenze nebo zákonitosti. Proto pro systematické zkoušky byla zásadně používána jedna standardní soustava formy /viz. obr. 5.10/ /keram. skořepina, výplňová směs a rám/, která se pinila standardním množstvím taveniny /1,6 – 1,7 kg oceli/. Pro většinu zkoušek s výjimkou studia vlivu



Obr. 5.12 Způsob hodnocení odůhličení podle ČSN 420496

teploty taveniny a předehřívací teploty forem, byly i tyto teploty při všech zkouškách konstantní.

Z výsledků informativních zkoušek /viz. obr. 5.4.a,b,/ i teoretického rozboru vyplynulo, že nejcitlivějším materiálem pro posuzování různých vlivů na oduhlíčování bude uhlíková ocel se středním obsahem uhlíku cca 0,5 - 0,6 % C /kap. 4.3.1/. Aby byl vyloučen event. vliv primární krystalisace δ - železa u ocelí s obsahem ^{uhlíku} menším než 0,5 % C, bylo rozhodnuto použít pro zkoušky materiál s vyšším obsahem uhlíku, t.j. s 0,6 % C. V souhlasu se stávající praxí v tuzemských slévárnách přesného lití, byly vzhledem k náročnosti těchto zkoušek přetavovány tvářené polotovary z oceli ČSN 12e60. Veškeré výsledky dále uvedené se nikdy týkají také pouze této materiálové skupiny, t.j. uhlíkových ocelí se středním obsahem uhlíku, které bývají nejčastěji pro strojírenské účely řádány.

Popis a výsledky vlastních zkoušek uspořádajmě pro lepší pohled jako výsledky literárního průzkumu ve smyslu tab. 3.1. a kapitoly 3.1.

5.3.1 Vliv složení materiálu odlitku

Pro studium vlivu složení materiálu odlitku byly pro zkoušky použity pouze normálně vyrobené keramické formy /hydrolysovaný ethylsilikát + křemenná moučka PP, křemičitý písek T2B/, připravě pro lití normálním způsobem a předehřáté na teplotu 900°C . Líaf teplota taveniny byla konstantní 1600°C /bez rozdílu složení/, protože při této teplotě se dosahuje /dle kap. 5.3.4/ maximálního relativního oduhlíčení. Byly tedy jak z hlediska obsahu uhlíku, tak i parametrů lití zvoleny nejnepříznivější podmínky, resp. takové podmínky, aby vzniklo maximální relativní oduhlíčení.

Z nejčastěji používaných přísladových prvků byl při zkouškách studován vliv Si, Mn a Cr. Studium vlivu Si a Mn bylo zařazeno záměrně proto, že jde o běžné doprovodné prvky v ocelích a pouze ve větších obsazích jsou posuzovány jako prvky přísladové. Současně tím měl být ověřen i rozdílný vliv obou prvků na aktivitu uhlíku v oceli a tudíž i vliv na oduhlíčování odlitků ve stejném smyslu, jak je popisován pro ohřev ocelí tvářených [43].

Z karbidotvorných prvků byl vybrán dale pouze Cr, který bývá jednou z nejčastějších příslad nízko- a středně-legovaných ocelí, zatímco ostatní karbidotvorné prvky /W, Mo, V/ bývají spíše součástí výšě-legovaných nástrojových ocelí. Vliv Ni nebo Co nebyl úmyslně sledován, protože již z jejich vlastností /prvky nekarbidotvorné/ lze usuzovat na případný zhoršující vliv

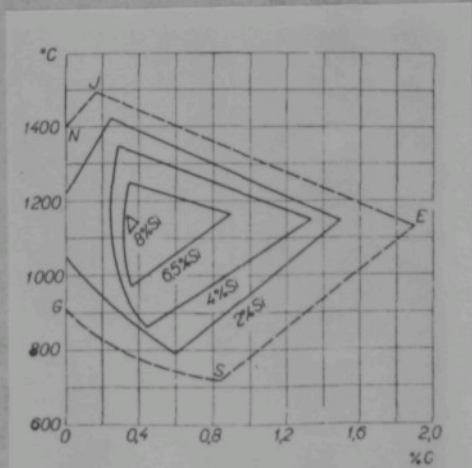
na odhličování /srovnej s obr. 4.3/.

Přísebení křemíku v oceli v rozsahu od 0,35 do 2,05 % Si je patrné z obr. 5.13. V rozsahu používaných složení v obvyklých konstrukčních ocelích pro odlitky, kde bývá deprovodným prvkem v množství od 0,25 do 0,5 % Si /vyjímáno do 0,7 % Si/, nevykazuje Si na hloubku odhličení prakticky žádny vliv, a to až do obsahu 0,9 - 1,0 % Si. Tento závěr plně souhlasí se známým vlivem Si na aktivitu uhlíku, t.j. bud prakticky odhličení neovlivňuje, nebo může zvýšením aktivity uhlíku spíše odhličení zvyšovat [52]. Zdánlivě protichůdná tendence, kterou ukazuje obr. 5.13 v rozsahu 1 - 2,05 % Si tkví pravděpodobně ve vlastní mětodice metalografického hodnocení, protože posuvem eutektoidního bodu S v rovnovážném diagramu Fe-C-Si doleva při vyšších obsazích křemíku se výrazně změní strukturální poměry u odlévané oceli a zkreslí výsledky hodnocení obsahu uhlíku. Jak ukazuje obr. 5.14, posune se bod S při obsahu 2 % Si v oceli k hodnotě 0,6 % C [13], což znamená, že již při tomto obsahu uhlíku budeme nacházet ve struktuře pouze perlit.

Vzhledem k tomu, že odhličování povrchu oceli je důjď difusní, lze zdánlivý pokles odhličení v oblasti od 1 do 2,05 % Si principiálně vysvětlit, bude však nutno tento výklad přesněji ověřit chemickou mikroanalysou.

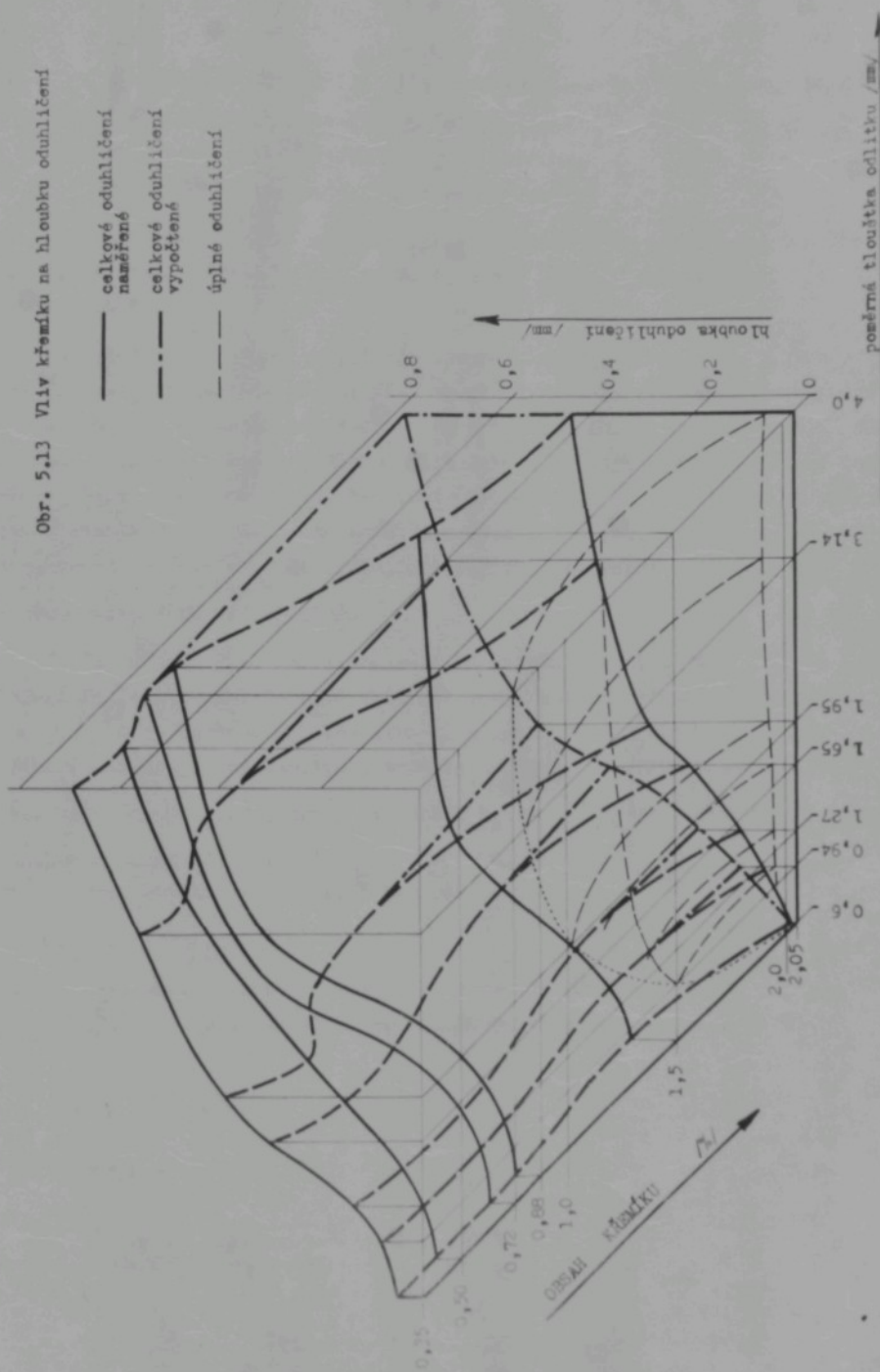
Závislost koncentrace uhlíku na vzdálenosti od povrchu odlitku směrem dovnitř, můžeme vyjádřit v obecné kriteriální podobě rovnicí [65]

$$\frac{C_s - C}{C_s - C_0} = \frac{2}{\pi} \cdot e^{-\left(\frac{x}{2Vdt}\right)^2} \quad /5.1/$$



Obr. 5.14

Obr. 5.13 Vliv křemíku na tloušťku odůhlíčení



kde C - koncentrace difundující látky ve vzdálenosti x od povrchu za dobu t
 C_0 - výchozí koncentrace difundující látky
 C_s - koncentrace difundující látky na povrchu
 D - difusní koeficient uhlíku v oceli $/\text{cm}^2/\text{s}/$

Pro zkoušenou ocel s $0,6\% \text{C}$ a za předpokladu, že na povrchu odlitku bude právě čistý ferit, bude $C_s = 0$, $C_0 = 0,6\% \text{C}$ a C bude nabývat hodnot od 0 do $0,6\% \text{C}$.

Závislost podle rovnice 5.1. je graficky naznačena na obr. 5.15 v uvedené kriteriální podobě - obě veličiny na osách jsou bezrozměrné. Pro výklad našeho prohlížení sjednodušíme výraz $\frac{x}{\sqrt{D_s t}}$ v tom smyslu, že pro srovnávání odchilení odlitků, které chladly stejnou dobu a stejným režimem, budeme používat dobu t za konstantní. Za tohoto předpokladu se však bude pro různé D /podle obsahu Si/ měnit měřítko na vodorovné ose, avšak hodnota poměrné koncentrace $\frac{C_s - C}{C_s - C_0}$, odpovídající určitému numerickým hodnotám $\frac{x}{\sqrt{D_s t}}$ bude ve všech případech vždy stejná.

Uvažujme nyní ocel obvyklého složení /např. $= 0,35\% \text{Si}/$, u které bude difusní koeficient uhlíku D_1 , a ocel s $2\% \text{Si}$, kterým se sníží difusní koeficient uhlíku na hodnotu D_2 . Jestliže bude koeficient D_1 jednotkový $/D_1 = 1/$ a doba $t = \text{konst.}$, pak numerické hodnoty $\frac{x}{\sqrt{D_1 t}}$ představují současné i měřítka vzdálenosti x od povrchu /stupnice k_1 , $x = \frac{x}{\sqrt{D_1 t}}$ /. V případě oceli s vyšším obsahem Si, u které je koef. $D_2 < D_1$, v poměru $\frac{D_1}{D_2} = a > 1$, bude pro stejnou hodnotu poměrné koncentrace

$$\frac{x_2}{\sqrt{D_2 t}} = \frac{x_1}{\sqrt{D_1 t}} \rightarrow x_1 \neq x_2 \quad /5.2/$$

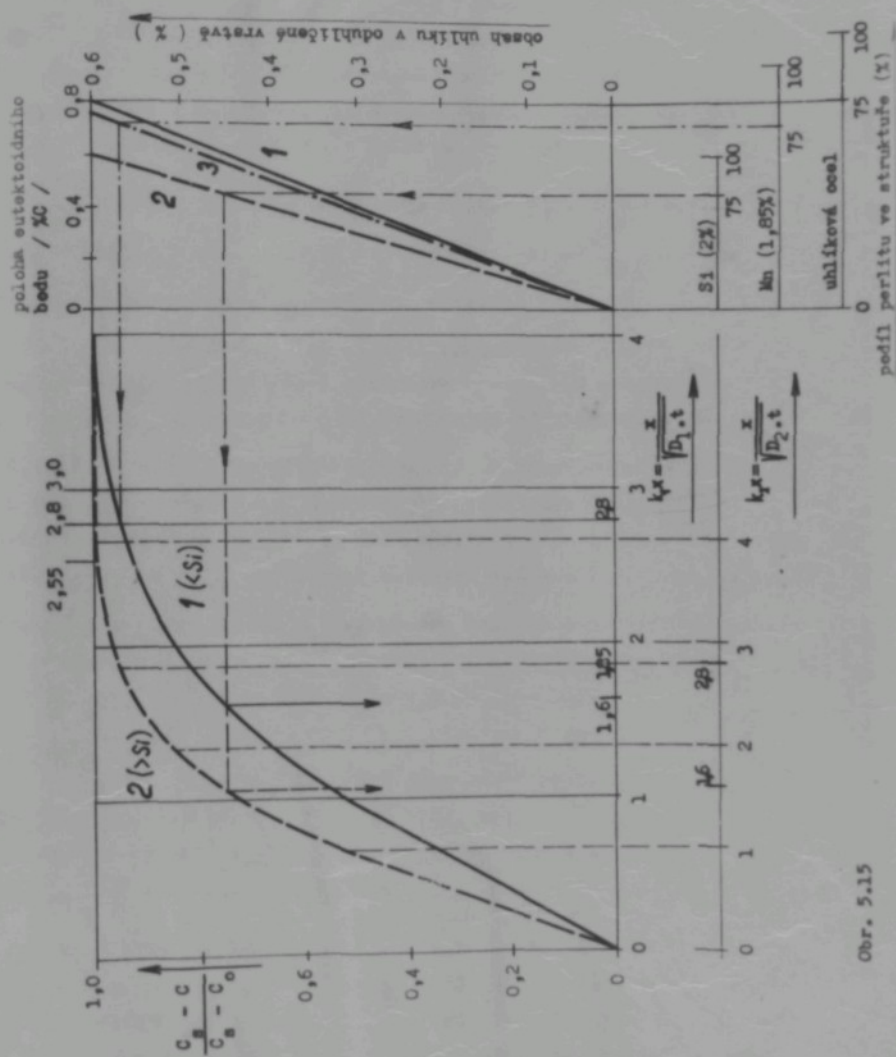
Peklud budeme chtít zachovat měřítko vzdálenosti x /stupnice k_1 , $x/$, pak musíme změnit měřítko veličiny $\frac{x}{\sqrt{D_2 t}}$. Na rovnici 5.2 dosadíme za D_2

$$\frac{x}{\sqrt{D_2 t}} = \frac{x}{\sqrt{D_1 \cdot a t}} \neq \frac{x}{\sqrt{D_1 t}} \quad /5.3/$$

a vypočteme posr̄ obou hodnot

$$\frac{\frac{x}{\sqrt{D_1 t}}}{\frac{x}{\sqrt{D_2 t}}} = \frac{x \cdot \sqrt{D_2 t}}{x \cdot \sqrt{D_1 t}} = \frac{\sqrt{D_2}}{\sqrt{D_1}} = \frac{1}{\sqrt{a}} = \frac{k_1}{k_2} \rightarrow \frac{k_2}{k_1} = \sqrt{a} \quad /5.4/$$

Zachováme-li kriteriální vyjádření závislosti obsahu uhlíku na vzdálenosti x od povrchu při stejné době difuze t , pak se v grafickém vyjádření budou polohy křivsk měnit pouze v závislosti na hodnotách difusního koeficientu,



Pro náš případ jsou schematicky (D_1/D_2 nemí známo numericky) zachyceny poměry pro D_1 a D_2 na obr. 5.15, ze kterého vyplývá, že s klesající hodnotou difusního koeficientu D klesá hloubka odhlišení.

V případě křemíku, který posouvá eutektoidní bod k menším obsahům uhlíku, bude se však při metalografickém posuzování obsahu uhlíku předchozí objektivní fyzikální působení sníženého difusního koeficientu dále zdánlivě zesilovat. Tuto skutečnost osvětuje obr. 5.15, kde v jeho pravé části je na svislou osu vyznačeno měřítko obsahu uhlíku pro ocel s výchozím základním složením 0,6 % C. V případě oceli s nižším obsahem Si /křivka 1/ se s tímto obsahem stotožňuje dobré hodnota $\frac{X}{\sqrt{D_t \cdot t}} = 4$ /odpovídá jí

$$\frac{C_s - C}{C_s - C_0} = 0,9953 /, \text{ avšak v praxi se obvykle posuzuje za hranici pro určení hloubky odhlišení /nebo naopak pro posouzení hloubky cementované vrstvy/}$$

$$\text{hodnota } \frac{C_s - C}{C_s - C_0} = 0,93 - 0,96, \text{ což odpovídá hodnotám } \frac{X}{\sqrt{D_t \cdot t}} \text{ v rozmezí}$$

2,55 až 3. Vzhledem k tomu, že měřítko hodnot $\frac{X}{\sqrt{D_t \cdot t}}$ pro případ oceli 1 /s nižším obsahem Si/ souhlasí numericky s měřítkem pro vzdálenost k_{x_1} , budeme uvažovat, že pro tuto ocel je hloubka odhlišení a tedy i $\frac{X}{\sqrt{D_1 \cdot t}}$ cca 2,8. Pro ocel 2 /s vyšším obsahem Si/, u které má eutektoidní bod obsah 0,6 % C a představuje tudíž strukturálně ocel eutektoidního složení, bude závislost koncentrace uhlíku na vzdálenosti x dáná křivkou 2 s měřítkem hodnot $\frac{X}{\sqrt{D_2 \cdot t}}$. U této oceli však hodnota $\frac{X}{\sqrt{D_2 \cdot t}} = 2,8$, jakožto hranice odhlišení, bude odpovídat v našem schématu hodnotě cca 1,85 na osu vzdáleností k_x . Z toho vyplývá, že se tedy vlivem zmenšení difusního koeficientu zmenšila i hloubka odhlišení z hodnoty $x_1 = 2,8$ na $x_2 = 1,85$.

Budeme-li však u obou ocelí posuzovat obsah uhlíku metalograficky, t.j. v obou případech hranici odhlišení jako místo se 75 % perlitu /jak odpovídá počítačům v soustavě Fe-Fe₃C pro 0,6 % C/, pak v případě oceli 1 reprezentuje tato hodnota skutečně 0,6 % C, ale v případě oceli 2 pouze 0,45 % C /viz. obr. 5.15/, což odpovídá koncentraci $\frac{C_s - C}{C_s - C_0} = 0,75$ a $\frac{X}{\sqrt{D_2 \cdot t}} = 1,6$.

Protože hodnoty $\frac{X}{\sqrt{D_t \cdot t}}$ v našem schématu jsou měřítkem vzdáleností x od povrchu, můžeme přímo v kriteriálních hodnotách srovnávat různé hodnoty a určovat z nich poměry vzdáleností k_x . Jestliže tedy skutečnou hranici odhlišení je hodnota $\frac{X}{\sqrt{D_2 \cdot t}} = 2,8$ /a to i pro analytická určení obsahu C/ a zdánlivou hranici podle metalografického určení hodnota $\frac{X}{\sqrt{D_2 \cdot t}} = 1,6$, pak je nutno metalograficky naměřené /zdánlivé/ hloubky odhlišení /uváděné v obr. 5.13/

vynásobit poměrem 2,8/1,6, t.j. hodnotou 1,75.

Tyto přeypočtené hodnoty jsou pro ocel s 2,05 % Si zakresleny /čárhovanou čárou/ v obr. 5.13a dobře navazují na hlebky oduhlíčení u ocelí s nižšími obsahy Si, kde se vliv posuvu eutektoidního bodu významně neprojevuje. Z diagramů je současně vidět, že křivky pro ocel s 0,88 a 2,05 % Si jsou nápadně shodné tvarově i co do absolutních hodnot, z čehož by vyplývalo, že Si na oduhlíčování v celém zkoušeném rozsahu prakticky nepůsobí. Tento závěr není v rozporu se skutečností, že výsledné oduhlíčení bude za jinak stejných teplotních a časových podmínek dánno dvěma protichůdně působícími tendencemi při zvyšování obsahu křemíku v oceli:

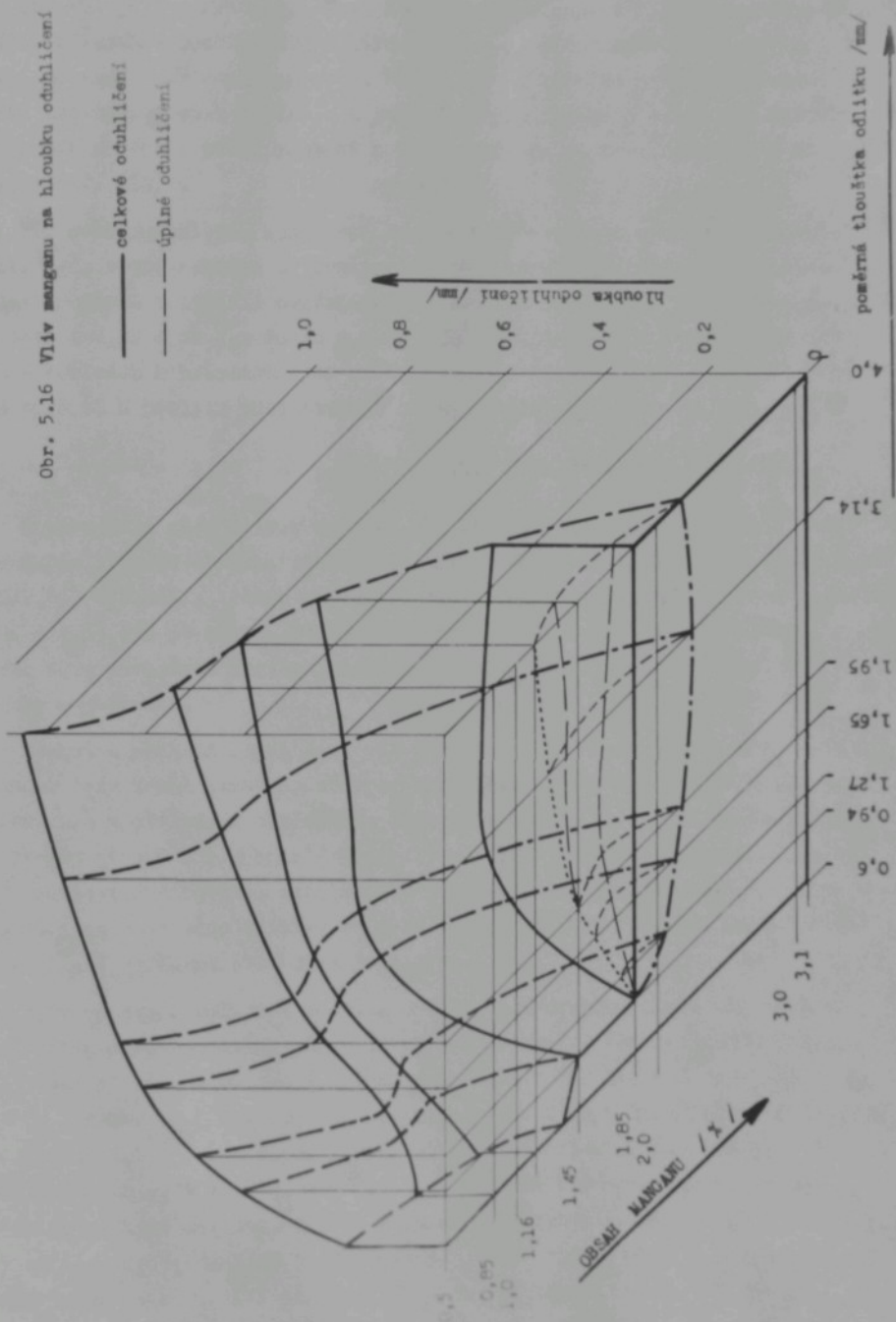
- Zvyšováním aktivity uhlíku, které působí ve smyslu zvětšování hlebky oduhlíčení a určuje vliv Si na průběh chemických reakcí.
- Snižováním difusního koeficientu, který působí naopak ve smyslu zmenšování oduhlíčení a určuje vliv Si na fyzikální děje, které ovlivňují průběh reakcí chemických. Snižování difusního koeficientu uhlíku, t.j. intenzivnější brzdění jeho migrace k povrchu odlitku se projevuje též růstem hlebky úplného oduhlíčení při vyšších obsazích Si /viz. obr. 5.13/.

Tyto teoretické úvahy je však nutno ověřit jednak chemickou mikroanalýsou, jednak přesnějším výpočtem na základě reálných hodnot difusních koeficientů, hodnot obsahu uhlíku eutektoidního bodu a hodnot aktivit uhlíku při různých obsazích křemíku v rozsahu 0 až 2 % Si.

Z tohoto idealizovaného schématu, ve kterém se výběc neuvažovala změna teploty a doby je vidět značná slečitost řešení problému nejen z hlediska rovnovášených poměrů, ale zejména z hlediska kinetiky reakcí. U odlitků jsou pak navíc tyto poměry dále stíženy ještě změnou teploty v závislosti na čase, a to rozdílně v různých průřezech a tvarech odlitků.

Mangan sledován v rozsahu 0,5 - 3,1 % Mn/, který se chová v oceli již jako prvek karbidotvorný a snižuje aktivitu uhlíku v oceli /viz. obr. 4.3/, vykazuje právě při obvyklých obsazích v litých ocelích /ed 0,5 do 1,5 %/ nápadný pokles hlebky oduhlíčení /viz. obr. 5.16/. Přídavky většího množství mangantu, zejména v případech přesného lití velmi tenkých průřezů nejsou vhodné, protože značně hrubná struktura odlitku, materiál se stává krášdím, při zvýšení rychlosti chlazení odlitků se začíná tvořit struktura bainitická a na povrchu odlitku dokonce martensitická. Z toho vyplývá i více nebo méně zhoršená obrobitelnost takových odlitků. Za maximální obsah Mn lze proto považovat obsahy kolem 1,0 - 1,2 % Mn u uhlíkových nebo nízkolegovanych ocelí pro přesné lití.

Obr. 5.16 Vliv mangani na tloušťku odhlížení



Obdobně jako u křemíku, můžeme i u mangani sledovat vliv změny aktivity uhlíku, difusního koeficientu uhlíku i posuv eutektoidního bodu, avšak v posledních jiné kombinaci tendencí. Na rozdíl od křemíku mangan aktivitu uhlíku zmenšuje, avšak shodně - i když v jiných poměrech - snižuje difusní koeficient uhlíku a mírně posouvá eutektoidní bod doleva /při 2,5 % Mn na cca 0,72 % Cr/ [13].

Při metalografickém hodnocení musíme tedy uvažovat pro určení hloubek oduhlíčení, které nebudou ovlivněny vzhledem struktury, tyto poměry: Analogicky poměrům u křemíku uvažujeme jako hranici oduhlíčení hodnotu $\frac{C}{C_{s-C}} = 2,8$. Pro ocel s 1,85 % Mn /uvedenou v obr. 5.16/ odhadněme posuv eutektoidního bodu - vzhledem k hodnotám výše uvedeným podle JAREŠE [13] - na cca 0,75 % Cr, čímž bude 75 % perlitu představovat obsah uhlíku cca 0,57 % Cr, t.j.

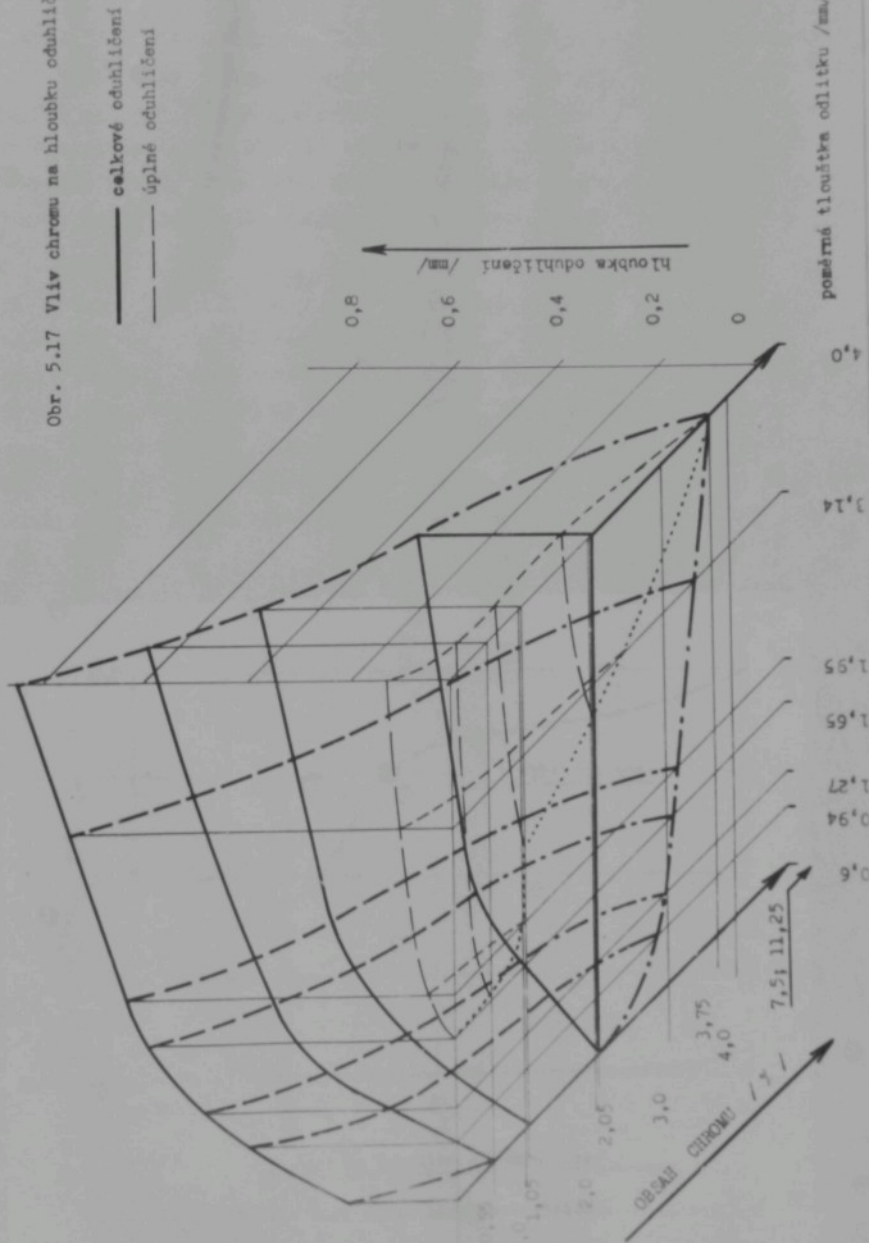
$$\frac{C_s - C}{C_s - C_0} = 0,94 \quad \text{a} \quad \frac{X}{X_{D_3-T}} = 2,65 \quad /viz. \text{obr. 5.15, přímka 3/}$$

Z porovnání obou hodnot vyplývá, že vlivem posuvu eutektoidního bodu bude nutno přepočítat metalograficky naměřené hodnoty vynásobením číslem $1,64 /2,8/2,65 = 1,041/$; tento násobitel však představuje rozdíl v obou hodnotách pouze o 4 %, což je chyba, kterou lze zahrnout do celkové chyby měření. Proto můžeme také považovat naměřené hodnoty v obr. 5.16 za hodnoty relativní hloubky oduhlíčení.

Významné snížení oduhlíčení při zvyšujícím se obsahu mangani v oceli je možno tedy zejména jednoznačně vysvětlit nejen příznivým snížením aktivity uhlíku, ale i příznivým snížením difusního koeficientu uhlíku. Na rozdíl od křemíku působí oba významní činitelé v jednom směru a vzájemně se podporují. Snižování difusního koeficientu uhlíku, t.j. intenzivnější brzdění jeho migrace k povrchu odlitku se projevuje i na růstu hloubky úplného oduhlíčení při zvýšeném obsahu Mn /viz. obr. 5.16/.

Vliv chromu/sledován v rozsahu 0 - 11,25 % Cr/ je ve své podstatě obdobný vlivu mangani, avšak působení chromu je značně intenzivnější vlivem jeho větší afinity k uhlíku a mnohem intenzivnějšího brzdění difuze uhlíku [13]. /Viz. obr. 5.17/. V rozsahu obvyklých obsahů Cr v konstrukčních ocelích, t.j. cca do 2,0 % Cr, snižuje prudce hloubku oduhlíčení, při obsahu 2 % přibližně o 60 - 70 %. Zvětšováním obsahu chromu nad obvyklou mazanou vznikají potíže se vznikem martensitu nebo bainitu ve struktuře odlitků hlavně v tenkých průřezech, což značně stěžuje jejich další spracování. I podle našich výsledků lze za maximálně použitelný obsah volit cca 1,0 až 2 % Cr, kdy v celém průřezu odlitku vzniká ještě velmi jemná perlitická struktura. U obsahů

Obr. 5.17 Vliv chromu na tloušťku odhlížení



Cr 3,75; 7,5 a 11,25 % nebylo již možno ze vzhledu struktury oduhlíčení vyhodnotit.

Mimo tyto zkoušky působení jednotlivých prvků na průběh oduhlíčevání oceli s 0,6 % C bylo ověřeno těž jedno z možných praktických využití slitinových prvků v kombinaci. Podle výsledků zkoušek s různým obsahem Mn a Cr bylo zvoleno takové složení oceli, které odpovídalo optimálním vlastnostem uvedených prvků, avšak tak, aby při obvyklém chlazení odlitků ve formách nedocházelo ještě ke vzniku rozpadových struktur austenitu:

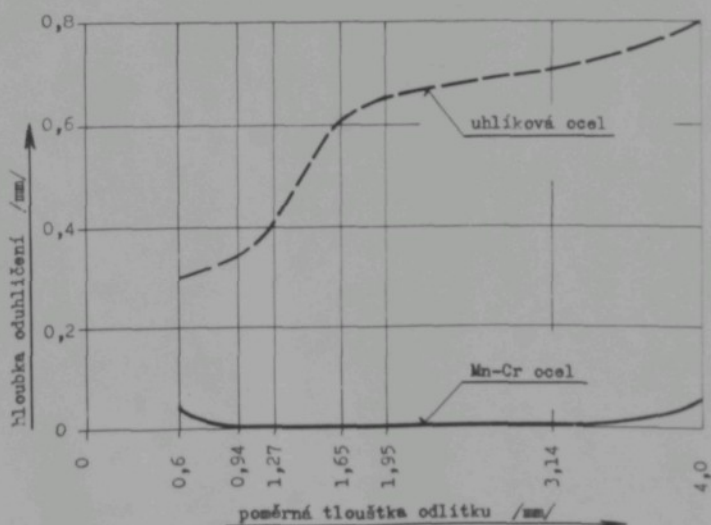
$$C = 0,6 \%$$

$$Mn = 1,2 - 1,4 \%$$

$$Si = 0,5 - 0,7 \%$$

$$Cr = 1,0 - 1,2 \%$$

Tato ocel byla za podmínek obvyklých při předcházejících zkouškách odlita do normálních SiO_2 forem /předehráti forem 900°C, licí teplota 1600°C, deba chladnutí 15 hod. ve formě na teplotu 20°C/. Výsledky naměřené hlebky oduhlíčení jsou uvedeny na obr. 5.18, na němž je vidět, že pouhým legováním, t.j. odléváním ocelí nízkolegovaných místo ocelí uhlikové s týmž obsahem uhliku /0,6 % C/, bylo dosaženo velmi dobrého úspěchu v zábraně oduhlíčení.



Obr. 5.18 Vliv 1,2% Mn a 1,0% Cr na hlebku oduhlíčení oceli s 0,6 % C

V případě, že byly skořepiny s odlitky z téže oceli chlazený rychleji /doba setrvání skořepiny ve formě 6 min a 15 min. po odlití, potom ochlazovány volně na vzduchu/, došlo k přeměně austenitu na martensit a bainit, podstatnému zvýšení tvrdosti a snížení obrobitevnosti. Hloubku oduhlištění nebylo možno opět ze vzhledu struktury vyhodnotit.

5.3.2 Vliv materiálu formy.

Pod pojmem "materiálu formy" byly ve smyslu předcházejících kapitol studovány v případě odlévání metodou vytavitevního modelu celkem 3 různé druhy materiálu - keramická skořepina, výplňová směs a kovový rám.

Podle současného stavu technologie v zahraničí a zejména v tuzemsku se studium výplňové směsi zaměřilo pouze na sypkou výplňovou směs a její možné obměny.

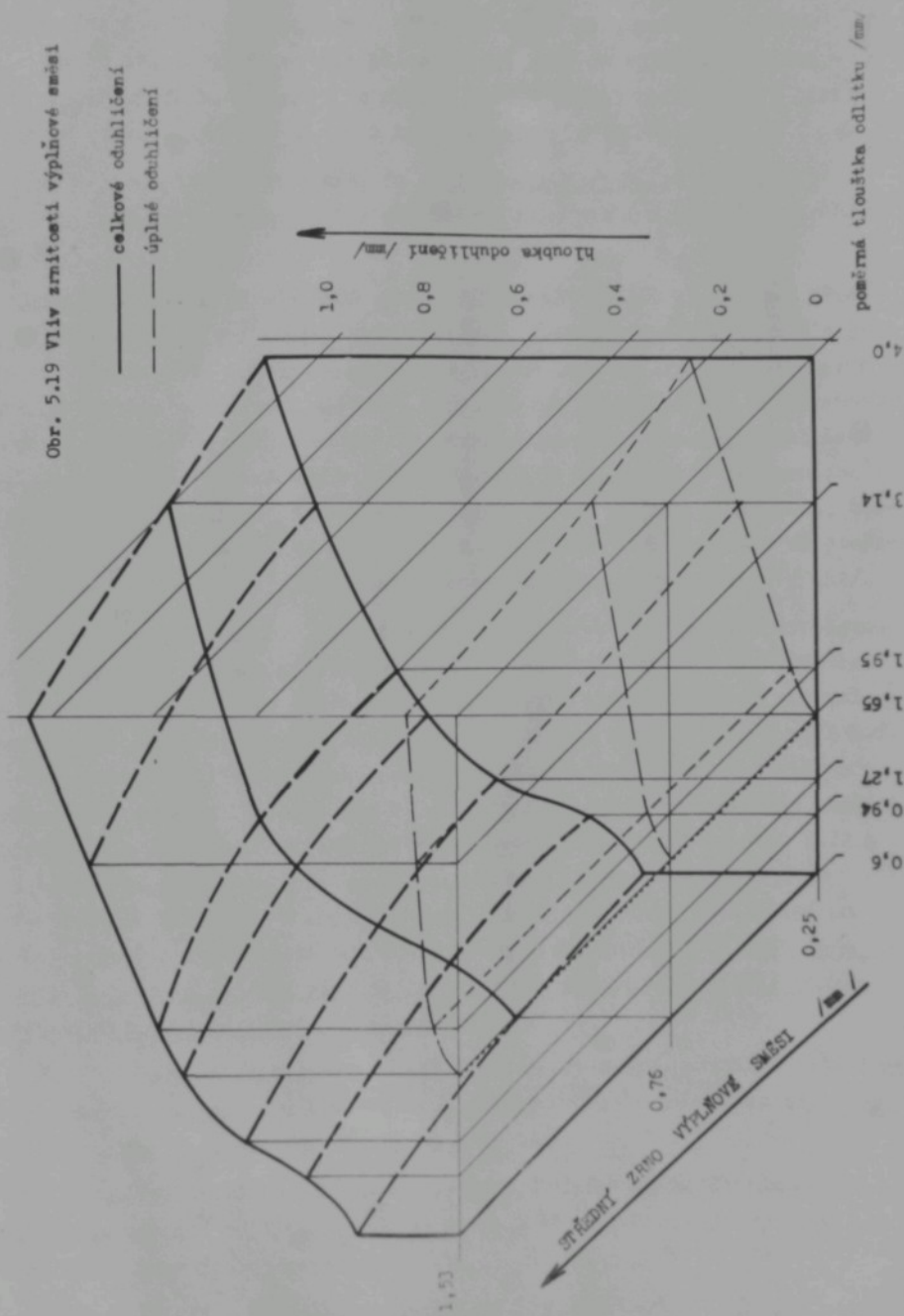
Většina dosavadních prací v oboru oduhličování přesních odlitků se snaží právě úpravou výplňové směsi vytvořit podmínky k odstranění oduhličování, např. přídavky namhličujících prostředků a pod. Velmi sporé jsou však konkrétní údaje o charakteru a složení výplňových směsí, i o jejich působení na chladnoucí odlitky. Ve skutečnosti se v provozech obvykle věnuje výplňové směsi minimální pozornost, přestože její úlohu podle našich výsledků nelze podeškovat.

Studium se zaměřilo na 3 problémy, resp. vlivy tří různých faktorů - vliv zrnitosti výplňové směsi, vliv množství okuje a množství cement.prášku ve výplňové směsi.

Zrnitost výplňové směsi /vyjádřená střední velikostí zrna/ peněkud ovlivňuje výslednou hloubku oduhlištění. Obr. 5.19 ukazuje, že s rostoucí velikostí zrna se relativní oduhlištění zmenšuje, z čehož vyplývá, že by měla být prakticky používána velmi hrubá výplňová směs. Důvodem pro tento jev je pravděpodobně větší ventilační schopnost formy a většími velikostmi zrn a tudíž rychlejší ochlazování odlitků.

Množství okuje a množství cement.prášku ve výplňové směsi. Oba vlivy byly studovány ve dvou alternativních: základním materiálem výplňové směsi byl jídací nový písek a jednak písek použitý v provozu/podle vlastních měření obsahoval 2 % volné železné okuje a zokujených ocelových zbytků/.

Při přídavku cementačního prášku do základního materiálu výplňové směsi /nové i použité/ nenacházíme zvlášt podstatný rozdíl mezi oběma materiály ani při přídavku 3 nebo 6 % cementačního prášku. Avšak již při přídavku 9 % a vyšším je možno pozorovat výraznou změnu. U nového píska se zcela zamezí

Obr. 5.19 Vliv zrnitosti výplňce na
celkové odhlížení

oduhličování i u tlustých průřezů odliatků, zatím co u použitého písku nelze tohoto stavu dosáhnout ani při přídavku 15 % cementačního prášku - viz. obr. 5.20 a 5.21. U použitého prášku se bezpechyby spotřebovává část uhlíku na redukci přítomné okuje a kompenzaci jejich zpědin CO_2 .

Obecně je možno konstatovat, že přídavkem 9 % /vah./ cementačního prášku do nové výplňové směsi lze oduhličení zabránit i u tlustých průřezů odliatků.

Přídavkem okuje do výplňové směsi /každá směs zvlášť připravena přidáním ovládajícího množství okuje/ byla sledována otázka v jakém množství a jak se projeví vliv této nežádoucí příměsi v čistém novém písku a v písku použitém /s 2 % okuje a kovových zbytků/. Tento rozdíl je značný jak co do absolutní hodnoty oduhličení tak i co do charakteru závislosti hloubky oduhličení na přídavku okuje. Obě závislosti /obr. 5.22 a 5.23/ vymzuji při menších přídavcích okuje maximum oduhličení a posléze ihned minimum oduhličení, které je vystřídáno jeho mírným vzestupem. Zejména při přídavku okuje do použité směsi se již malými přídavky dosahuje ostrého maxima oduhličení /5.22/.

Porovnáním absolutních hodnot oduhličení u vzorků s použitou výplňovou směsí a u vzorků s novou výplňovou směsí, kde ke každému obsahu připočteme 2 % /okuje v základním použitém písku/ zjištujeme značné rozdíly; u použitého písku jsou hodnoty oduhličení zpravidla značně větší. Tento rozdíl tkví pravděpodobně v dalších vlivech, např. v přítomnosti silikátů v použitém písku, které se obvyklým vyprášením v kyselině nerozložily a nastvořily součást uvedených 2 % okují a kovových zbytků. Ze srovnání diagramů na obr. 5.22 a 5.23 je patrné, že závislost hloubky oduhličení na obsahu okuje v nové výplňové směsi /až do 20 % okuje/ je analogická závislosti oduhličení na obsahu okuje v použité směsi oce do 10 % okuje. To znamená, že případným přídavkem okuje v použité výplňové směsi v provozu se poměry mění mnohem více než u čisté /nové/ výplňové směsi.

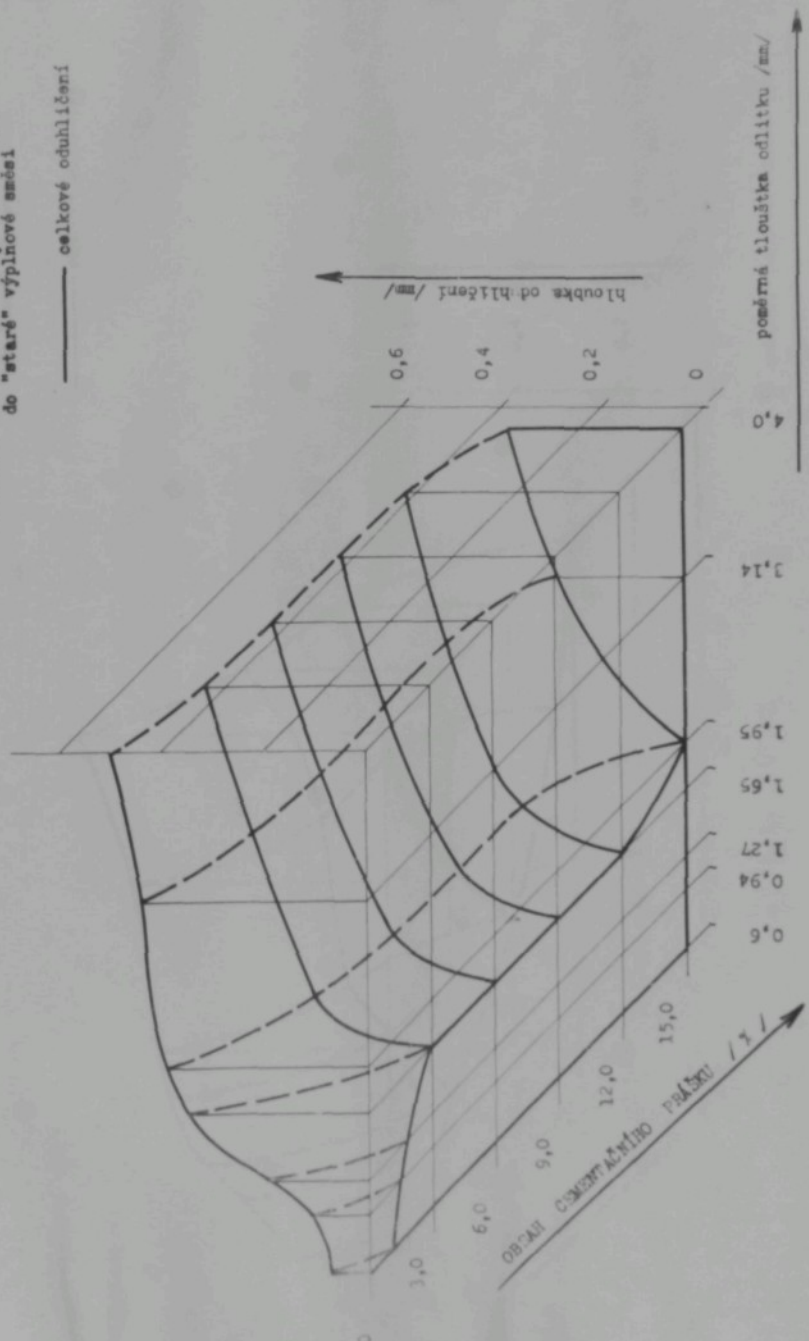
Tato skutečnost je bezpechyby též důvodem pro značně rozdílné literární údaje o velikosti přídavku cementačního prášku do výplňové směsi: předpisy z různých pramenů doporučují obsahy od 3 do 15 %.

Z těchto poznatků vyplývá velmi výhodný praktický závěr, že alespoň po několikerém použití výplňové směsi je nutno z ní odstranit zbytky kovů a okuje, např. magnetickou separací.

S vlivem okují a zokujených zbytků oceli ve výplňové směsi úzce souvisí i vliv materiálu kovového rámu. Vlastní zkoušky ukázaly, že vedle vlivu velikosti rámu, která určuje m.j. těž množství výplňové směsi a celkovou tepelnou kapacitu formy, hraje nemalou úlohu sám materiál rámu. Do nedávna

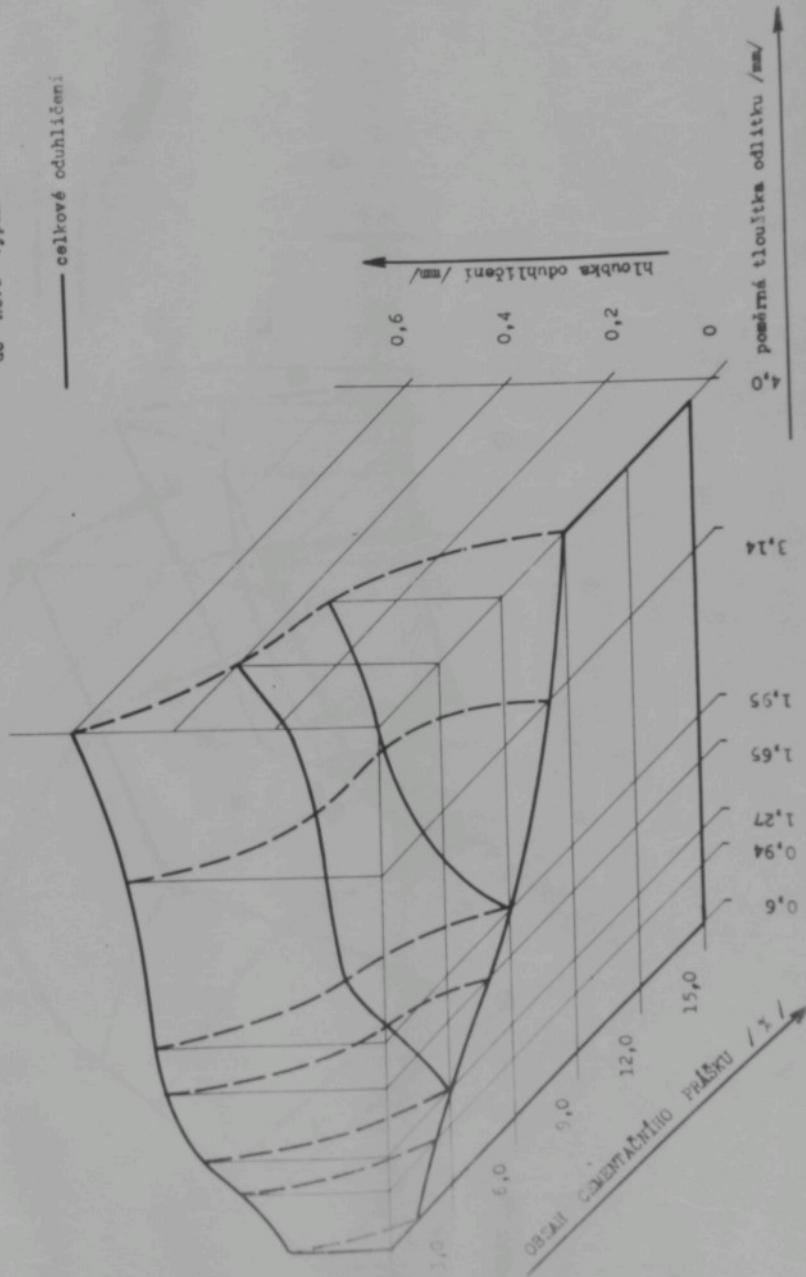
Obr. 5.20 Vliv příslušky cementařského průšku
do "staré" výplňové směsi

celkové odhlížení

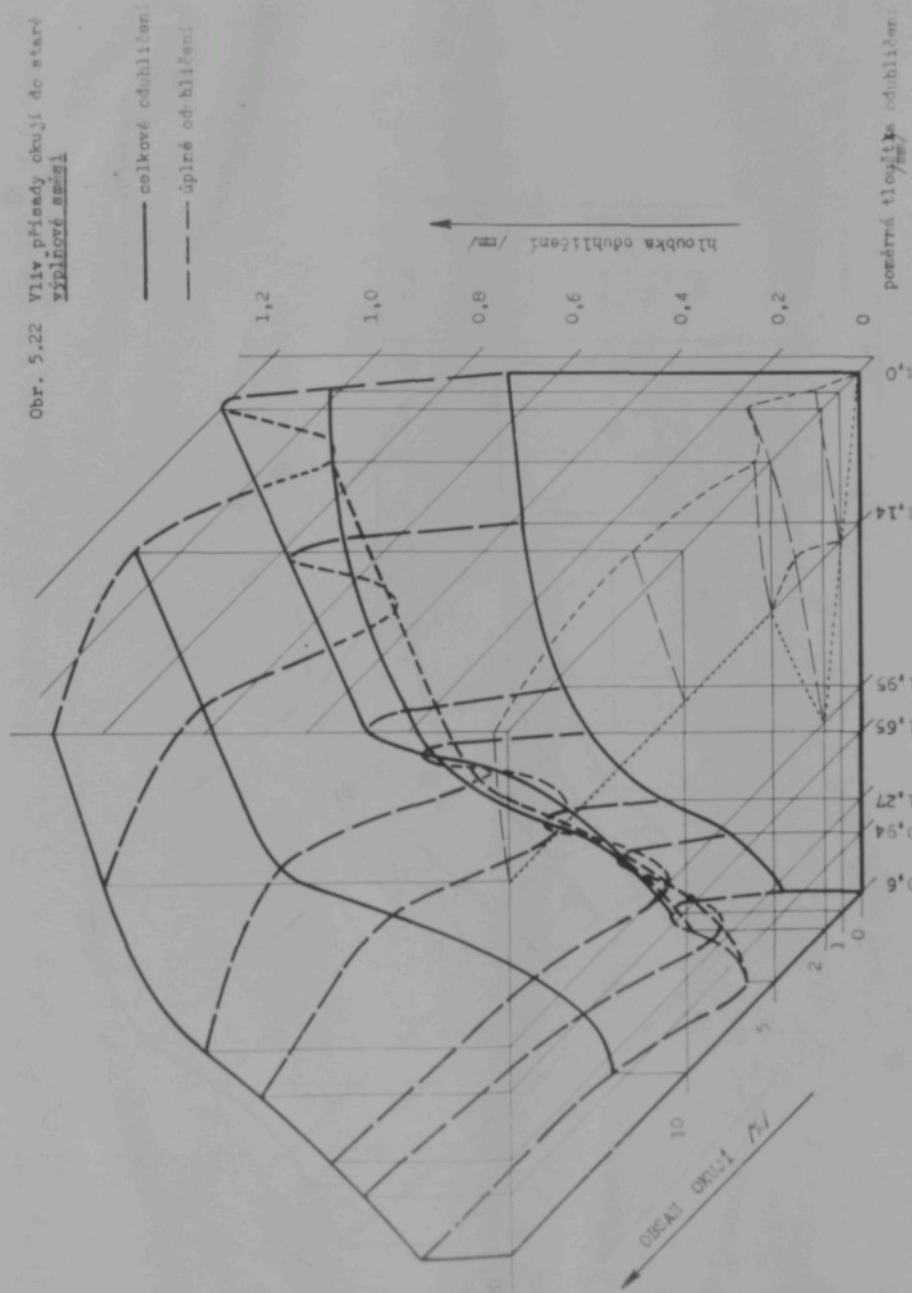


Obr. 5.21 Vliv přísmědy cementačního prášku do "nové" výplňové směsi

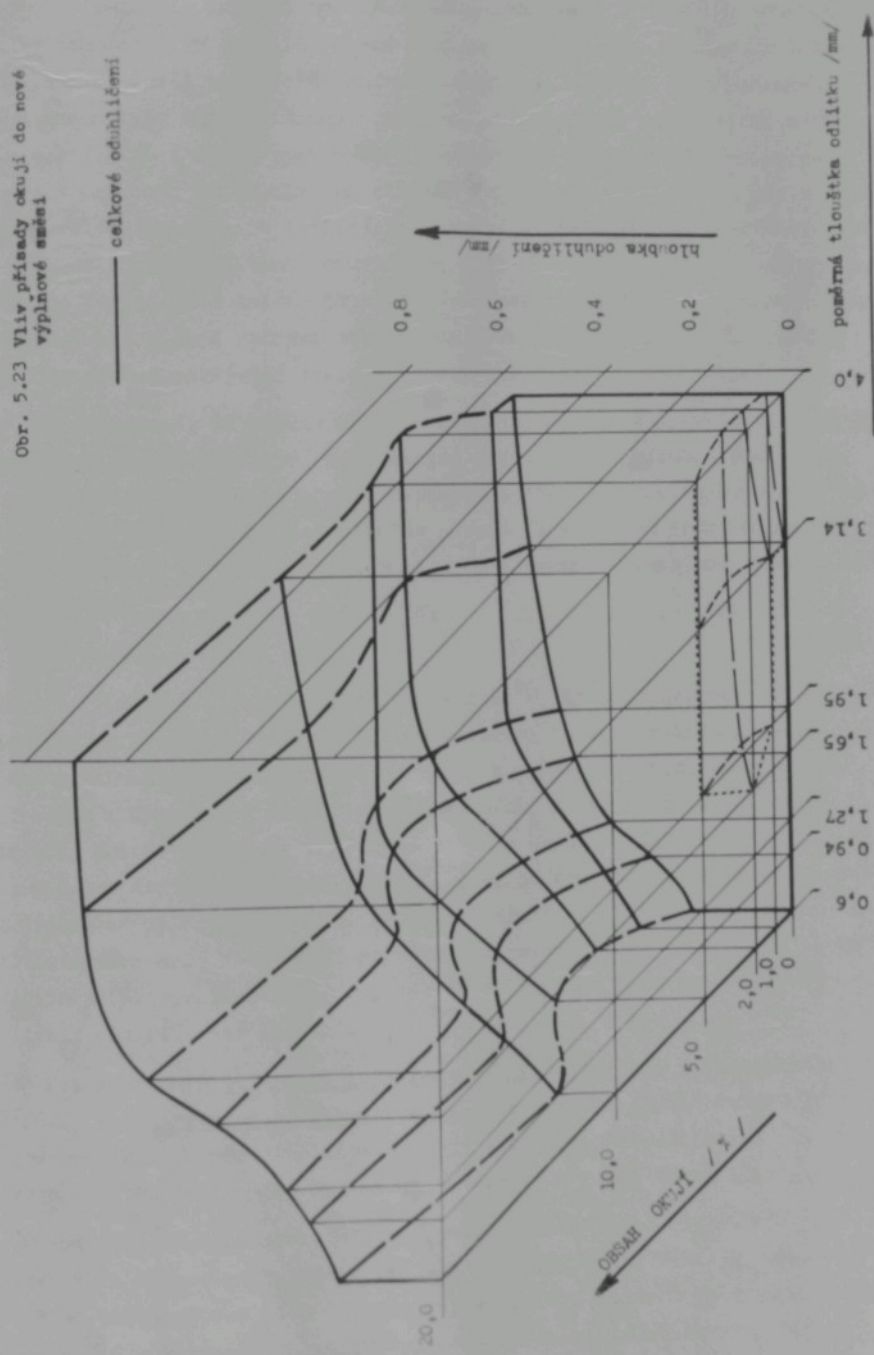
celkové odvlhljení:



Obr. 5.22 Vliv příslušady okulií do staré výplinové směsi



Obr. 5.23 Vliv přísladky okruží do nové výplňové směsi



většina tuzemských provozů používala rámy svařované z plechů z obvyklých uhlíkových ocelí, v dnešní době se však pracuje obvykle s rámy litými ze žárupevné oceli typu Poldi AKC /ČSN 422952/. Důvodem pro tyto změny v provozech byly sice většinou pouze ekonomické úvahy vyplývající z malé životnosti rámů z uhlíkových ocelí, současně však bylo přímo vykonáno i opatření pro snížení oduhlíčení odlitků /viz. obr. 5.24/. Rámy z oceli AKC při obvyklých provozních teplotách vykazují nejen zvýšenou životnost tím, že se na nich vytváří tenká souvislá a dobře lpící vrstva stabilní okuje, která je chrání před dalším okysličováním, ale vzhledem ke stabilitě okuje nedochází ani k její redukci atmosférou formy. Naopak rámy z uhlíkových ocelí se rychle pokrývají vrstvou okuje, která snadno odpryskává.

Je přirozené, že obecně má vliv okují ve výplňové směsi a vliv značně zkoujených rámů z uhlíkové oceli stejný charakter na hloubku oduhlíčení a současně též stejnou podstatu. Mechanismus tohoto působení si lze představit tak, že železná okuj jakéhokoliv původu /z výplňové směsi i z rámu/ je stálým vydatným zárojem kyslíku v atmosféře formy. Rovnovážné podmínky pro redukci okuje

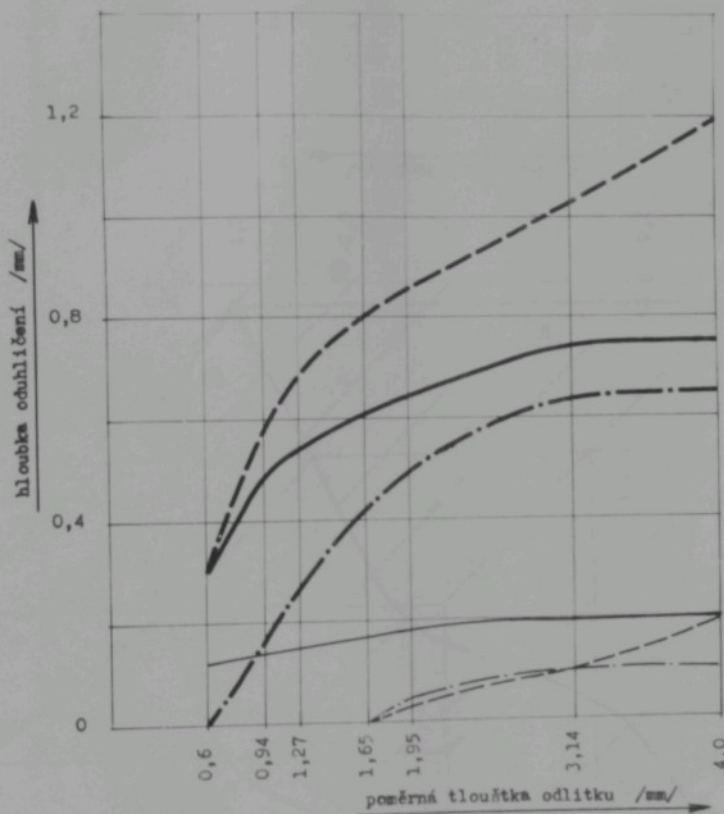


/5.5/

nastávají totiž v rozmezí teplot 900 - 1500°C již při poměrech CO/CO₂ v mezech cca od 1,9 do 3,9, resp. 5,0 /při tavící teplotě železa/, avšak rovnovážné podmínky pro rozklad karbidu Fe₃C, t.j. oduhlíčování oceli - např. s obsahem uhlíku 0,5 % C, při poměrech CO/CO₂ v mezech od 10 do 600 - viz. obr. 4.1. Z toho plyne, že v případě většího množství FeO ve vnitřním prostoru formy dochází k neustálému smíšování poměru CO/CO₂ atmosféry formy až na úroveň odpovídající redukci FeO a vytvářejí se příznivé poměry pro oduhlíčování reakce. Pokud okuj na vnitřním povrchu rámu je tvořena převážně stabilnějšími kysličníky chromu, pak její případná redukce nemůže výrazně ovlivnit oduhlíčování odlitků.

Při studiu vlivu materiálu keramické skořepiny byl nejprve sledován případný vliv prodyšnosti keramické formy a způsobu jejího ovlivnění jako díkem, zda kyslík pro oduhlíčovací reakce na povrchu odlitků má původ přímo v keramické formě či mimo ni, ať už v atmosféře formy či okolním ovzduší.

Použitím různých zrnitostí zásypového křemičitého písku, byly vytvořeny skořepiny a různou prodyšností /od 0,48 do 0,62 mm/. Výsledky zkoušek odléváním do těchto forem však ukázaly, že v rozsahu možných provozních změn prodyšnosti u keramických forem vyrobených normálním obalovým způsobem nelze dosáhnout znatelného rozdílu v hloubce oduhlíčení v celém rozsahu tlouštěk



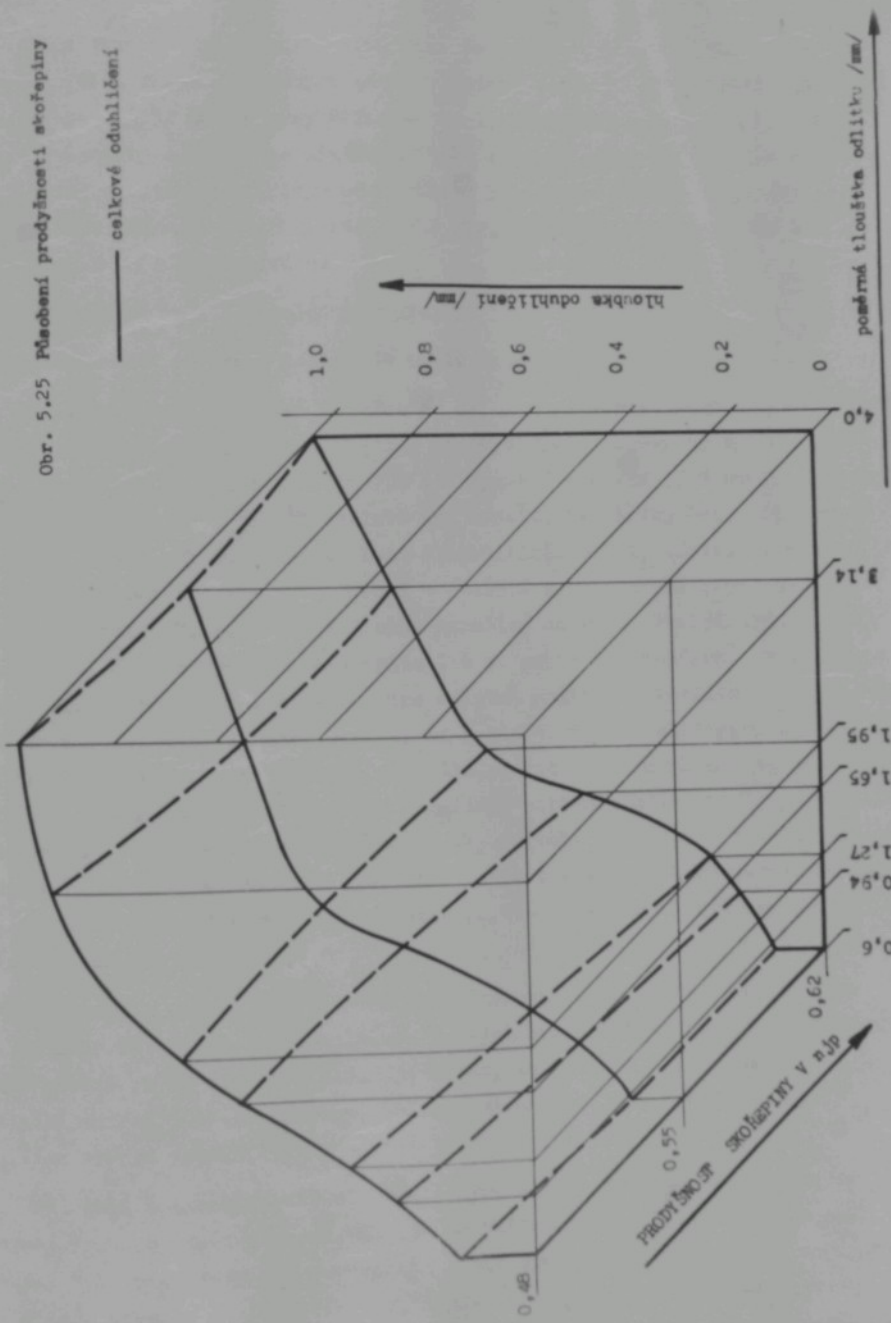
Obr. 5.24 Vliv velikosti a materiálu kovového rámu

- — — rám z uhlíkové oceli ⌀ 210 mm, svařovaný
- — — rám z oceli AKC ⌀ 210 mm, litý
- — — rám z oceli AKC ⌀ 170 mm, litý

Tlustými čárkami vyznačeno odhličení celkové, tenkými úplně.

Obr. 5,25 Přesobení prodloužení strojního

celkové odchylky



odlitků /viz. obr. 5.25/.

Další studium bylo zaměřeno na vytvoření takových skořepin, které by měly být velmi malou prodyšnost nebo v období odlévání prodyšnost normální a krátko po odlití by se pory forem uzavřely vhodnou lehkotající látkou. Účelem tohoto opatření měla být mechanická zábrana přístupu vzduchu a atmosféry formy s nízkým uhlíkovým potenciálem k odliku stěnové skořepiny. Účinek lehkotajících látek /tavidlo VUS 152, sklo, kyselina boritá/ byl zkoušen ve dvou alternativách:

a/ jako součást 2. a 3. obalu skořepiny

b/ jako ochranná vrstva v posledním obalu skořepiny.

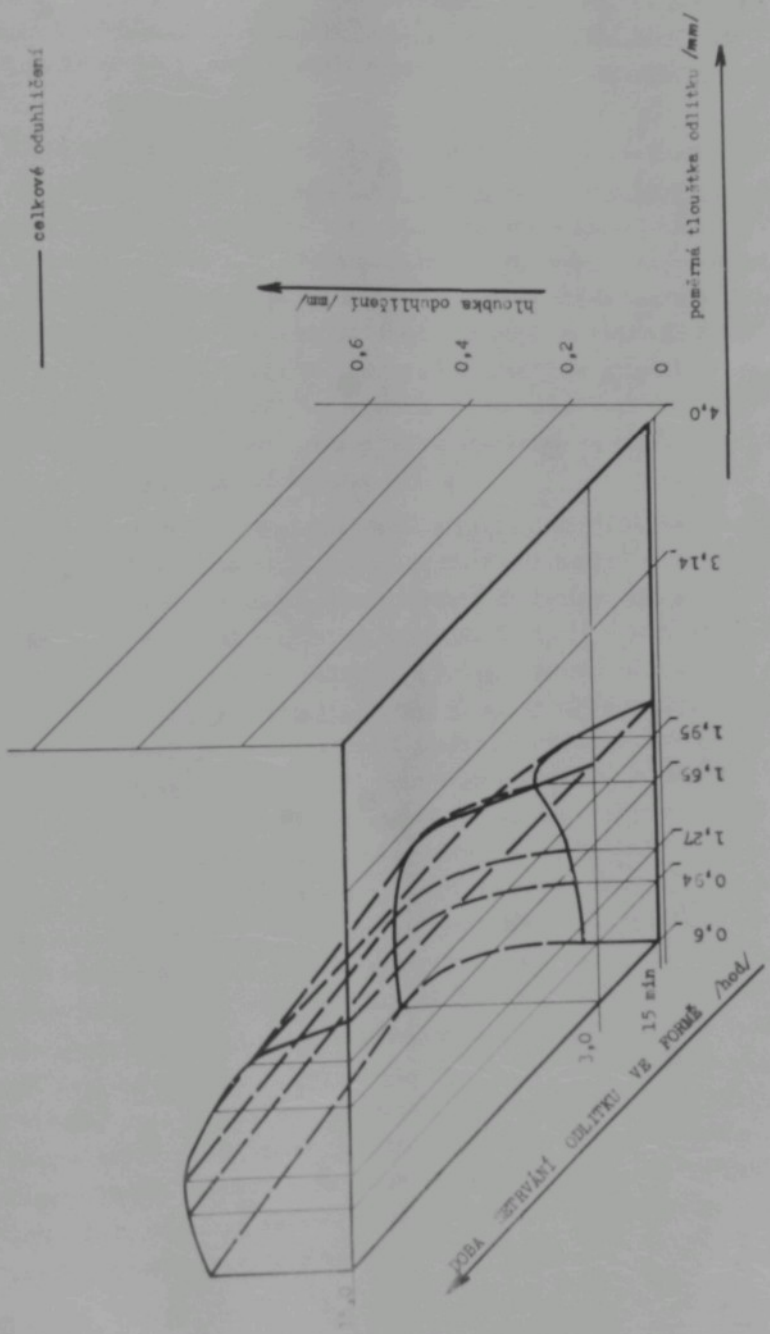
Za velmi cenný výsledek zkoušek ad a/ lze považovat naměřené závislosti hloubky odlehličení dle obr. 5.26, kdy při vytváření skořepiny byl úmyslně 2. a 3. obal připraven z tavidla VUS 152 /směrné složení 55 % SiO₂, 30 % MnO, 15 % CaO/, které se taví při teplotě cca 1000°C. Skořepiny byly připraveny tak, že 1. obal byl normální na basi ethylsilikát + SiO₂ písek, 2. obal ethylsilikát + zásyp VUS 152, 3. obal - obalevá směs z vazné kapaliny a VUS 152, zásyp VUS 152, 4. a 5. obal opět normální na basi ethylsilikát + SiO₂ písek. Účelem bylo vytvořit skořepinu již ve stěně neprodyšné, avšak až po odlití formy, kdy teplem z tuhnoucího odliku roztavené tavidlo zaplní všechny pory formy. Výsledek zkoušek ukázal, že k zaplnění pórů skořepiny a získání skořepiny ze stejné neprodyšné skutečně došlo, avšak pouze u tlustších průřezů odliků, zatímco u průřezů tenčích nikoliv; vlivem menšího množství uvolněného tepla a tudíž nižší teploty skořepiny nedošlo ve styku s menšími průřezy odliků k dokonalému roztavení tavidla. Došlo tak ke zdánlivě paradoxní situaci, že totiž jsou více odlehličeny tenké partie a napak tlusté partie odlitu odlehličeny nejsou.

Porevnání účinku tavidla VUS 152 v keramické skořepině při různých dobách setrvání skořepiny s odlikem ve výplňové směsi od okamžiku ukončení lití /hlavně po 15 min. a 3 hod./ je vidět, že tavidlo krátko po odlití částečně chrání i tenké průřezы, avšak postupně se jeho účinek v těchto partiích ztrácí /obr. 5.26/.

Při menším množství tavidla VUS 152 ve skořepině např. pouze při vytvoření druhého obalu zásypem VUS 152 se vliv tavidla neprojevil. Obdobné zkoušky byly provedeny i s rozrceným /láhvovým/ sklem, dešlo však ke značné deformacii prvního obalu skořepiny, takže nebyly získány celistvé odliky vhodné pro metalografické vyhodnocování.

Obr. 5.26 Vliv přídavku tavidla VUSt152 do 2. a 3. obalu skořepiny

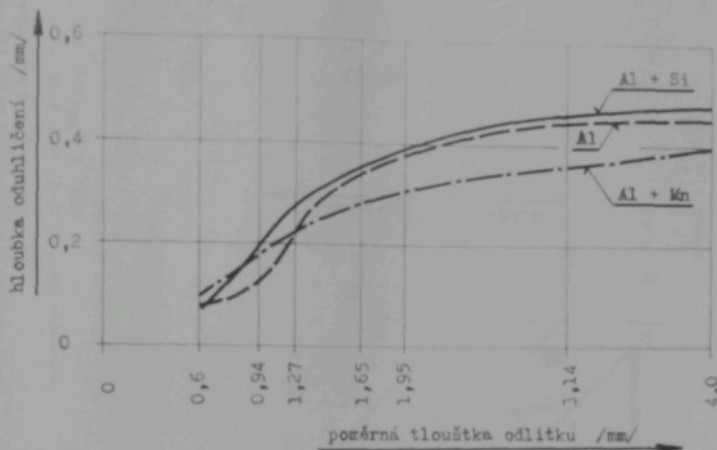
celkové odutíšení



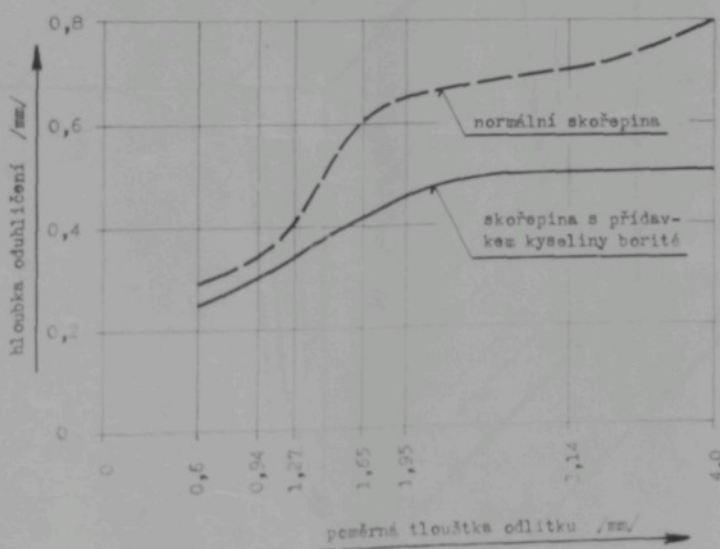
Výsledky zkoušek s tavidlem VUS 152 dále plně potvrzují ten názor na mechanismus odhličení, který za zdroj kvality považuje okolí keramické skořepiny, t.j. atmosféru formy i okolí ovsduší a nikoliv keramický materiál skořepiny.

Tento názor na mechanismus odhličení a způsoby k jeho odstranění byl potvrzen i zkouškami odlévání do skořepin s ochranou vrstvou lehkotajících látek v posledním obalu - konkrétně při zkouškách, kdy poslední obal byl vytvořen tak, že do obalové směsi bylo přidáno 5 % /na váhu obalové směsi/ kyseliny borité. Rozdíl v hloubce odhličení vzorků odlitých bez a s touto ochrannou vrstvou za přesně stejných podmínek /na stejném vtokovém kúlu/ ukazuje obr. 5.27. Opět je vidět, že jako v předcházejícím případě se největší vliv ochrany projevil u přířezů větších a méně u přířezů menších, i když celkově ochranu kyselinou boritou nelze považovat za příliš účinnou, alespoň ne do té míry, jak uvádí ŠAGEJEV [25].

Ve smyslu některých literárních pramenů a podle dřívějších našich předpokladů [4c] nejúčinnějšími metodami v boji proti odhličování jsou ty, které se snaží zajistit vhodné podmínky nikoliv v okolí skořepiny, ale přímo v místě reakce, t.j. v dutině skořepiny, na jejím lici, či v její stěně - v bezprostřední blízkosti povrchu odlitku. K ověření tohoto názoru byly provedeny zkoušky s přídavkem nauhlíčující látky němco do prvních obalů skořepiny. Jedním z možných způsobů je sice přidávání grafitu do obalové směsi nebo sycení skořepiny tvrdými vosky, použili jsme však přídavku 2 % vah. /na váhu obalové směsi/ fenolformaldehydové syntetické pryskyřice /OB tmelu/. Taktéž připravená obalová směs byla použita pro vytvoření 2. a 3. obalu /zálepový písek křemičitý T25/. Přestože výsledky ukazují na velmi příznivý vliv tohoto přídavku do obalové směsi, zejména při rychlém vyjmutí odlitku /včasně skořepiny/ z výplňové směsi po 15 min. /viz. obr. 5.28/, neukázala se příprava skořepiny tímto postupem provozně použitelná. Vlivem zásadité reakce OB tmelu dochází za dobu několika málo hodin k rychlé gelaci obalové směsi v zásobníku; při obalování dochází dokonce ke gelaci již po několika vteřinách po vyjmutí namočeného stromečku ze zásobníku. Vzhledem k příznivému konečnému výsledku zkoušek s těmito skořepinami je nutno vyskoušet vhodnou formu sycení skořepin uhlikatou látkou, např. alkoholickým roztokem OB tmelu nebo jinou organickou látkou tak, aby bylo dosaženo ve skořepině stejného obsahu uhliku po vypálení, t.j. cca 0,78 % C jako tomu bylo u zkoušených skořepin.



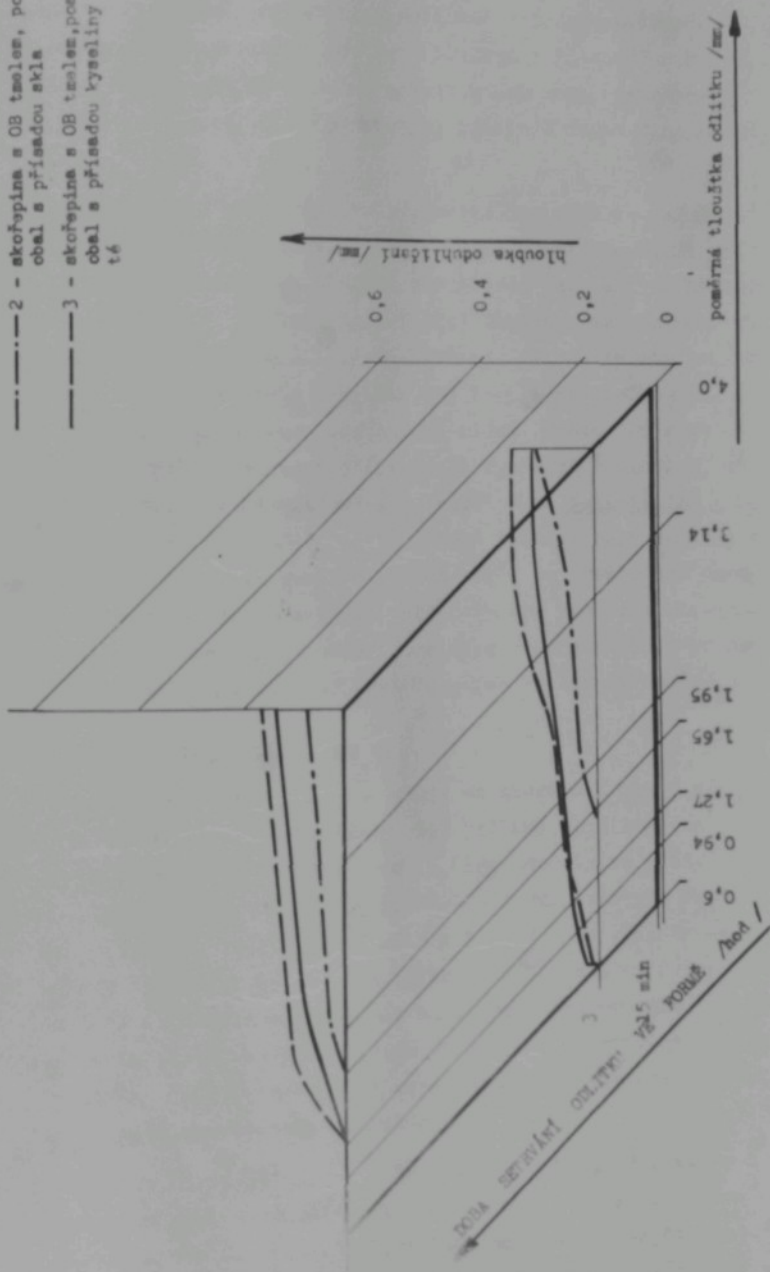
Obr. 5.29 Vliv způsobu desoxydace na hloubku oduhličení



Obr. 5.27 Vliv přidávku kyseliny borité do posledního obalu skořepiny

Obr. 5.28 Vliv příslušky OB tmelu do skořepiny

- 1 - normální skořepina = OB tmel
- 2 - skořepina = OB tmel, posledně obal s přísluškou skla
- 3 - skořepina = OB tmel, poslední obal s přísluškou kyseliny boritě



5.3.3 Vliv přípravy taveniny.

Vliv způsobu desoxydace na výsledné oduhličení odlitků vyrobených jinak za stejných podmínek je v měsících obvykle prováděné desoxydace zanedbatelný v případě, že konečná desoxydace se provádí hliníkem v páni. Přoněkud menší oduhličení vykázal dle vlastních zkoušek způsob kombinované desoxydace feromanganem a hliníkem /obr. 5.29/ a to bezprochyby přímým účinkem mangani /srovnej s kap. 5.3.1/.

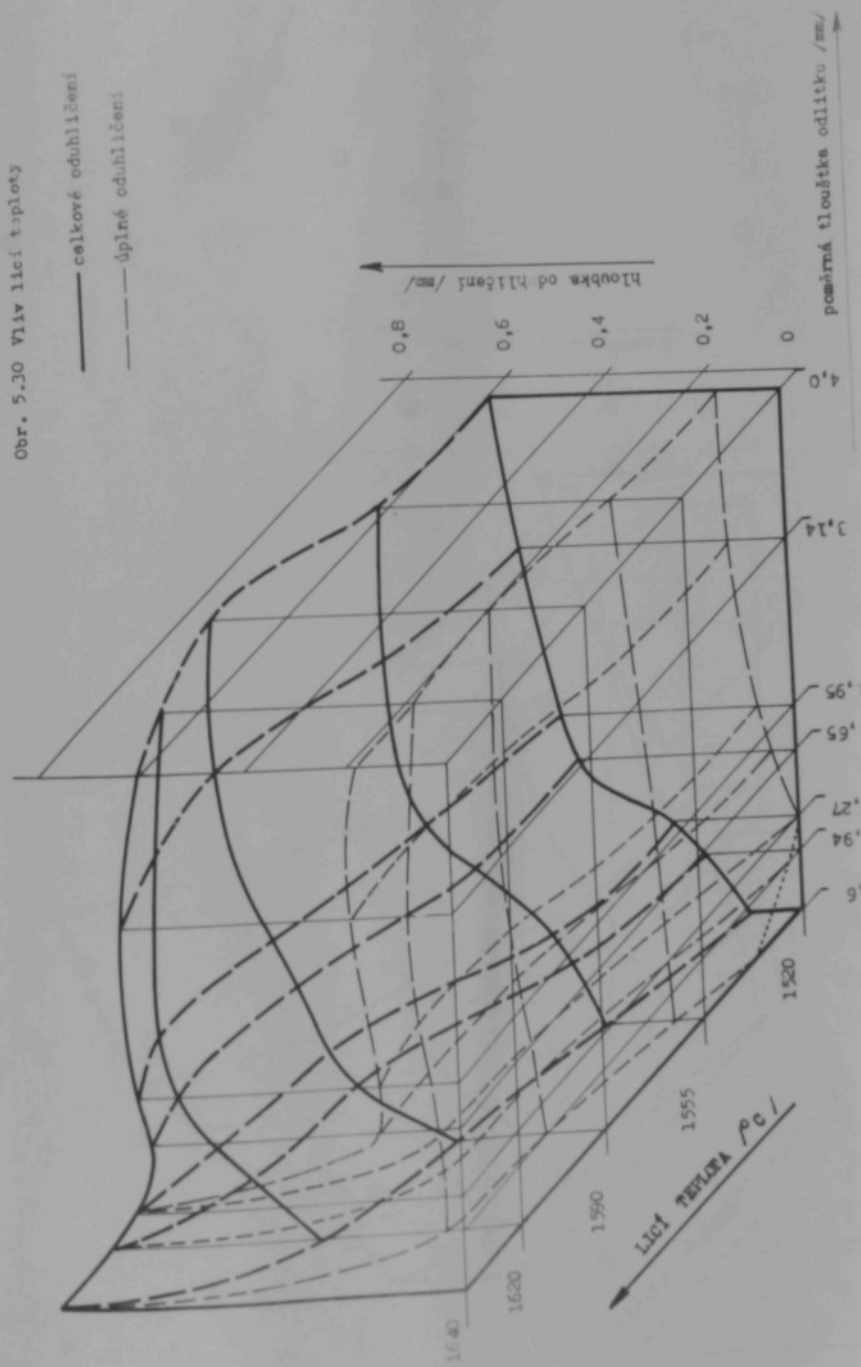
Vliv lítí teploty nemí mimořádně velký, nelze jej však ve smyslu některých literárních pramenů zcela zanedbat. I systematickými skouškami /viz. obr. 5.30/ se v podstatě prokázala obecná závislost, jako u zkoušek informačních /viz. obr. 5.4 a,b,/. Se vzrůstající lítí teplotou se postupně ve všech průřezech odlitků tloušťka oduhličení zvětšuje až do teploty cca $100 - 130^{\circ}\text{C}$ nad likvidem / u oceli 1206°C likvidus cca 1460°C / a posléze při dalším zvyšování lítí teploty opět tloušťka oduhličení klesá. Tento jev souvisí pravděpodobně s rostoucí dobou setrvání odlitku při vysokých teplotách, kdy dochází k velmi intenzivnímu okysličování a tudíž pouze relativnímu poklesu tloušťky oduhličení. Ze známých zákonitostí o době tuhnutí odlitků [6] vyplývá, že při odlévání přehřáté oceli o 100 až 130°C se prodlužuje doba tuhnutí o 50 až 65 % ve srovnání s ocelí odlévanou při teplotách likvidu. Teplem vysoko přehřáté taveniny se dále forma ohřeje na nevhodně vysokou teplotu a doba chladnutí odlitku v oblasti vysokých teplot se značně prodlouží.

5.3.4 Příprava keramických form k lití.

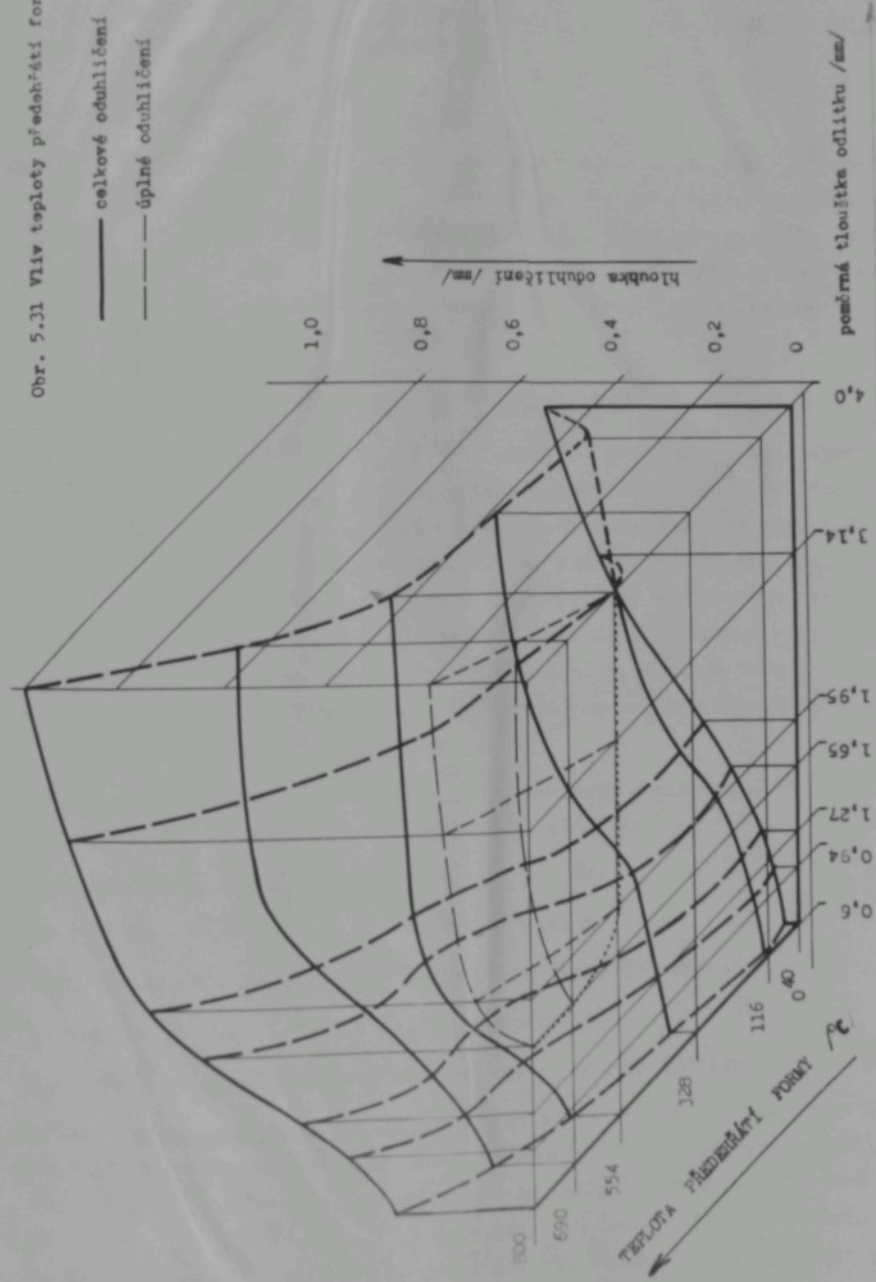
Zkoušky v tomto oboru byly zaměřeny pouze na sledování vlivu předehřívací teploty form. Z tohoto důvodu byly formy vždy pečlivě vypáleny /na 900°C / a odlévány za jinak stejných podmínek /obr. 5.31/. Rozdíly ve výsledcích není možno příčitat žádnému jinému vlivu, např. zbytky vosků, vlhkost ve formě a pod., protože s výjimkou vzorku odlévaného při 40°C byly všechny ostatní ochlazeny na žíhací teploty v peci a pak bezprostředně odlity. Pouze forma odlévaná při teplotě 40°C byla ochlazována mimo pec až na normální teplotu, čímž si je možno vysvětlit i mírně zvětšené oduhličení ve srovnání s formou odlévanou při teplotě 116°C . Projevil se bezprochyby vliv mírného navlhčení celé formy, což způsobilo zvětšené oduhličení.

Z výsledku na obr. 5.31 je patrný i prakticky použitelný měřír v tom smyslu, že k výraznému poklesu oduhličení dochází s klesající teplotou předehřátí formy do $550 - 500^{\circ}\text{C}$. Při dalším snižování teploty předehřátí formy se dá dosáhnout již jen nepatrného zlepšení, při čemž využití žíhacích pecí je podstatně horší. Nižších předehřívacích teplot skořepiny než 573°C se nedá rovněž použít vzhledem k pěskrystalizaci křemene a s tím spojeným nebez-

Obr. 5.30 Vliv líticího plasty



Obr. 5.31 Vliv teploty předehřátí formy



pečím praskání forem na basi SiO_2 . Pro praxi má tedy i z hlediska oduhlíkování odliatků velký význam odlévat formy předehráté pouze na takovou teplotu, kterou tato technologie ještě prakticky připouští z hlediska praskání forem a dokonalého zaběhnutí, t.j. minimálně 600°C .

5.3.5 Vliv způsobu odlévání forem.

Při systematických zkouškách nebyl ověřován žádný z literárně popsaných způsobů /viz.kap. 3.1.5/, protože navrhované způsoby jsou buď provozně nákladné nebo méně vhodné z hlediska hygieny a bezpečnosti práce; podle našeho mínění nejsou podstatnou, provozně únosnou metodou k zabránění oduhlíčování. Výsledky vlastních zkoušek jsou založeny pouze na obvyklých způsobech odlévání buď přímo z peci nebo z pánve.

5.3.6 Vliv rychlosti ochlazování a atmosféry formy.

Podle výsledků zkoušek se vlivy obou činitelů projevily velmi výrazně, a to právě v úské závislosti. Tato souvislost byla zdůrazněna již při theoretickém rozboru /kap.4/ a je dobře patrná z diagramu na obr. 4.1. Máme-li zabránit oduhlíčovacím reakcím, musíme buď zvyšovat koncentraci produktů reakce, t.j. zejména obsah CO - tedy vytvářet atmosféry s vysokým uhlíkovým potenciálem-nebo alespoň zkracovat dobu průběhu reakcí v nevhodných podmínkách na minimum. Jak bude dále ukázáno, je poměrně výhodné zvolit vhodný kompromis mezi poměrně vysokým uhlíkovým potenciálem atmosféry a do-statečně vysokou rychlosťí ochlazování.

Během systematických zkoušek byl vliv rychlosti ochlazování odliatků zkoušen za různých podmínek, a to současně se studiem:

- a/ vlivu znečištění výplňové směsi okujemi,
- b/ vlivu omezení přístupu vzduchu do formy "víčky",
- c/ vlivu omezení přístupu vzduchu a atmosféry formy do skořepiny,
- d/ vlivu přísady nauhlíčujících látek do skořepiny,
- e/ vlivu přídavků karbidů na zvýšení uhlíkového potenciálu atmosféry ve skořepině.

Různá rychlosť ochlazování odliatků byla při vlastních zkouškách realizována takovým způsobem, který by byl plně použitelný i v provozní praxi, t.j. odléváním forem jako sasypaných skořepin, které byly po určité době po odlití /6, 10, 15, 30 min., 1, 2, 5 a 15 hod./ vyjímány neporušené spolu s odliaty z výplňové směsi a ochlazovány dále na volném klidném vzduchu při normální teplotě. Při zkouškách se tedy měnila pouze t.zv. "doba setrvání odliatků /včetně skořepin/ ve formě".

a) Vliv rychlosti ochlazování za současného působení nečistot /zbytků kovu s okuje/ ve výplňové směsi.

Zkoušky byly provedeny při dvou různých složeních výplňové směsi, a to při zasypání výplňovou směsí již použitou - "starou" s 2 % okuje a zokutjených kovových zbytků /ZRR Uherský Brod/ - viz. obr. 5.32 - a při zasypání novou /ještě nepoužitou/ výplňovou směsí s hrubým zrnem /na VŠT v Liberci/ - viz. obr. 5.33. Obojí zkoušky byly provedeny za jinak prakticky stejných podmínek /ocel ČSN 12060, lící teplota 1600°C , předehřívací teplota forem 900°C .

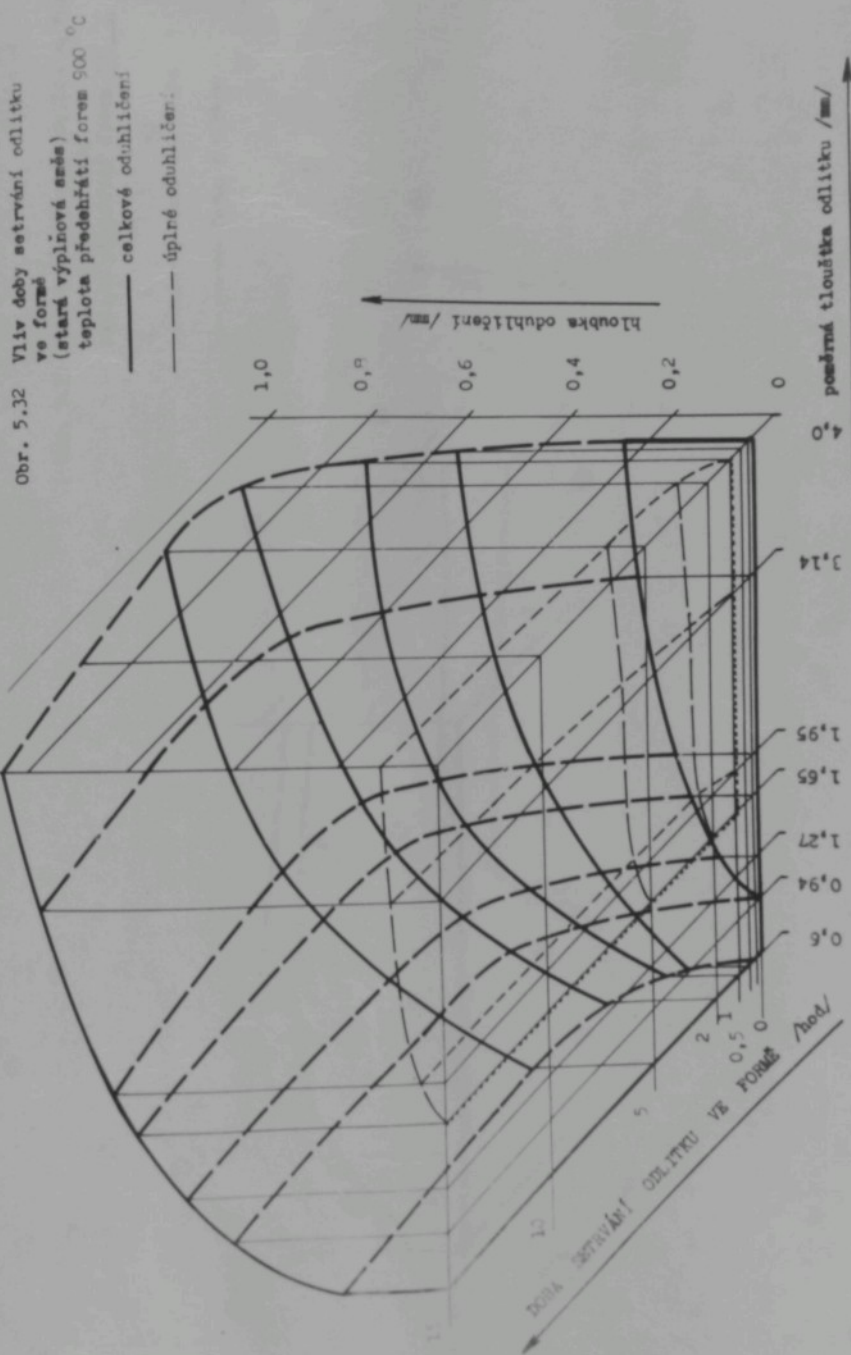
Velmi výrazně se projevil vliv různého režimu ochlazování odlitek, zejména při zkouškách se "starou" použitou výplňovou směsí /obr. 5.32/. Během zkoušek se měnila pouze doba setrvání odlitku /včetně skořepiny/ ve formě. Ve všech případech byl odlitek po vyjmutí z formy dále ochlazován spolu se skořepinou na volném klidném vzduchu při normální teplotě. Doba setrvání odlitku ve formě byla upravena v tomto pořadí 10 min., 30 min., 1, 2, 5 a 15 hodin. Po 15 hodinách měl odlitek s formou již normální teplotu. Výsledky těchto zkoušek ukazují na velmi prudký vzestup hloubky oduhlíčení s rostoucí dobou setrvání odlitku ve formě, t.j. s rostoucí dobou setrvání odlitku na vyšších teplotách, kdy dochází k intensivnějšímu oduhlíčování. Naopak cca po 2 - 3 hodinách se již hloubka oduhlíčení prakticky nemění, protože forma i odlitek po této době dosahuje teploty cca $500 - 400^{\circ}\text{C}$, kdy k oduhlíčování již nedochází. Z obr. 5.32 vyplývá, že prakticky velmi výhodné je vyjímání odlitků z forem po době 10 až 30 minut po odlití, kdy teplota odlitků není již tak vysoká pro manipulaci a dosáhne se při tom žádaného efektu - výrazného snížení oduhlíčení.

Obr. 5.32 a 5.33 ve vzájemném srovnání ukazují nejen významný vliv brzkého vyjímání odlitků z forem /z výplňové směsi/, ale též již dříve zmíněny /kap. 5.3.2/ vliv čistoty výplňové směsi.

Podebně je možno srovnat i výsledky zkoušek s novou výplňovou směsí ve formách předehřátých na 900°C /obr. 5.33/ a výsledky obdobných zkoušek odléváním do forem předehřátých pouze na teplotu 600°C /obr. 5.34/. Opět se bez ohledu na zvýšenou rychlosť ochlazování vlivem brzkého vyjímání odlitků z forem projevil již dříve pozorovaný příznivý vliv snížení předehřívací teploty forem na zmenšení hloubky oduhlíčení /viz. kap. 5.3.4 a srovnaj s obr. 5.3.1/.

b) Vliv rychlosti ochlazování za současného omezení přístupu vzduchu do formy "víšky".

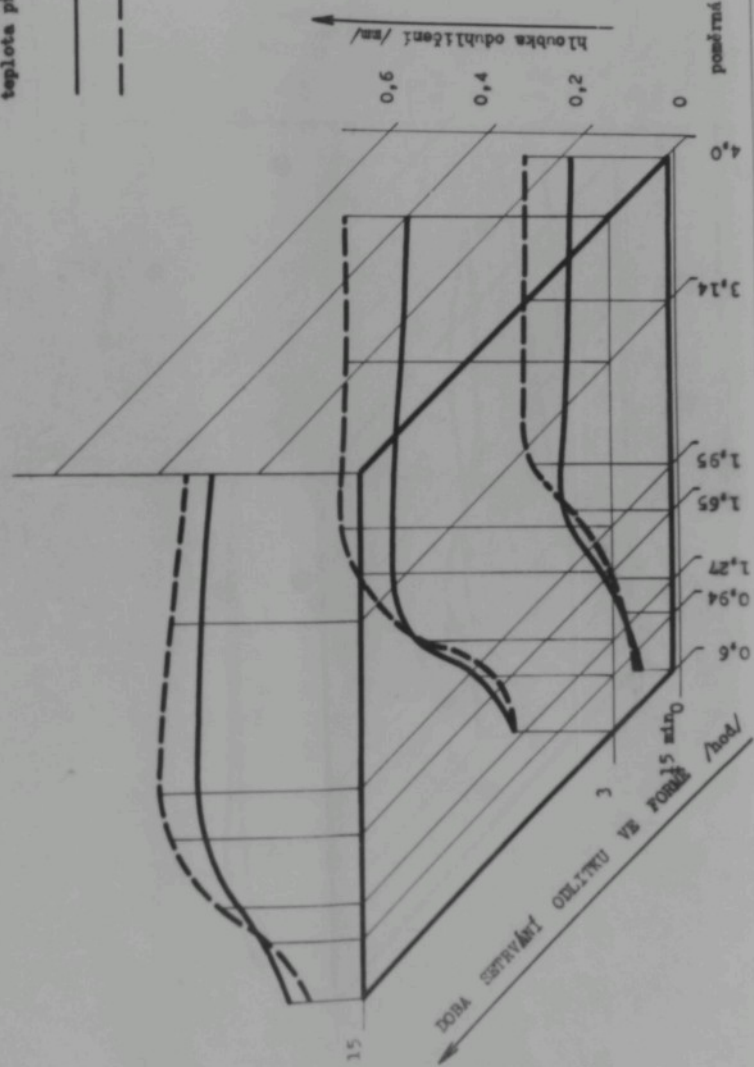
Při těchto zkouškách byly formy ihned po odlití uzavřeny plechovými víškami /z nerez oceli/ a za těchto podmínek byly odlitky chlazený různě dlouhou



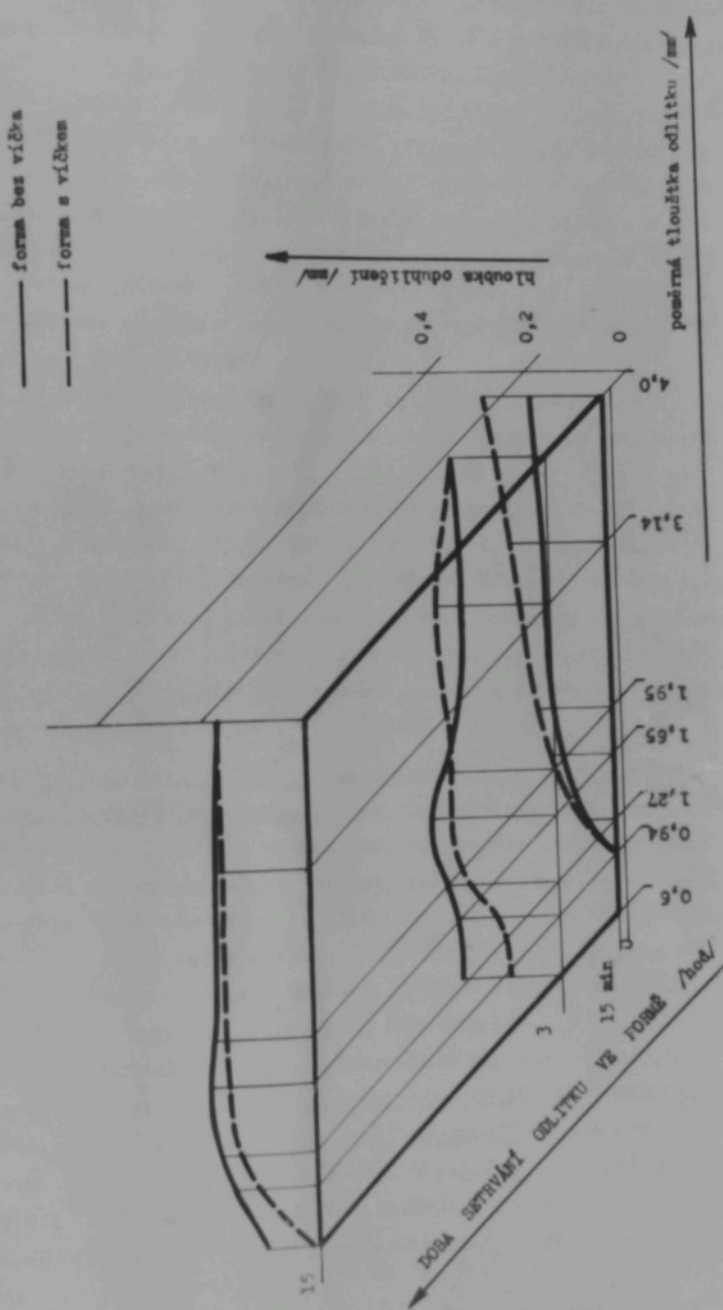
Obr. 5.33 Vliv doby zzewání odlitku ve formě
 (nová výplňová směs)
 teplota předehřátí formy 900°C

— forma bez význa

- - - forma s významem



Obr. 5.34 Vliv doby sestřívání odlitku ve
formě (nové výplňová směs)
teplota předcházející formy 500°C



dobu ve formě /15 min, 3 hod., 15 hod./. Tímto opatřením bylo sledováno omezení přístupu vzduchu do formy a současně se mělo zabránit i intensivnějšímu proudění a výměně vzduchu ve formě. Z výsledků zkoušek s "víčky" při teplotách předehřátí forem 900°C /obr. 5.33/ a 600°C /obr. 5.34/ po srovnání s výsledky zkoušek provedených za přesně stejných podmínek bez víček /oboje zkoušky s novou výplňovou směsí/ vyplývá, že uzavřením forem se značně zpomalilo chladnutí odlitků i forem, což mělo zejména u středních a větších tlučtek odlitků za následek dokonce zvětšení hloubky oduhličení. Použití "víček" přineslo však jisté zlepšení pouze při zkouškách s nižší předehřívací teplotou formy / 600°C / a při delších dobách setrvání odlitků ve formě /viz.obr. 5.34/.

S ohledem na oduhličování se tedy "víčka" ukázala jako méně vhodná, avšak získané odlitky byly méně zokujeny a keramická skořepina se dala z odlitků velmi dobře distraňovat.

Při použití víček byla tedy mechanicky oddělena atmosféra formy /uvnitř kovového rámu/ od ovzduší. Z výsledků je však vidět, že tento způsob zábrany oduhličení není příliš vhodný, protože ve formě se nastaví samovolně pouze takové podmínky, které více nebo méně zabranují oxysličování, avšak nemohou zabránit oduhličování. Navíc se zmenšila i rychlosť ochlazování odlitků tím, že při zábraně proudění vnější atmosféry do formy nedochází k ochlazování povrchu skořepin proudícími plyny.

c) Vliv rychlosti ochlazování za současného omezení přístupu vzduchu a atmosféry formy do skořepiny ochrannými nepropustnými vrstvami.

Zkoušky za těchto podmínek jsou jistou obdobou zkoušek předcházejících. Avšak při použití ochranných nepropustných vrstev /roztažením lehcatajících látek/ v některém obalu skořepiny se předpokládalo jako výhodnější uzavření menšího prostoru a tudíž rychlejší dosažení vyšších koncentrací CO v atmosféře v blízkosti odlitku a současně i účast ovzduší při rychlejším chlazení povrchu skořepin v otevřeném rámu formy.

Příznivé důsledky a oprávněnost těchto předpokladů ukazují jak výsledky zkoušek ke snížení prodyšnosti případou tavidla VUS 152 /viz.obr. 5.26/, tak i výsledky zkoušek s případou 5 % kyseliny borité do posledního obalu normální skořepiny /viz.obr.5.27/. Při obou zkouškách byla však zdrojem uhlíku pro vznik CO v uzavřeném prostoru skořepiny prakticky pouze ocel /sbytkový obsah uhlíku ve skořepině je obvykle malý - pohybuje se v mezích $0,1 - 0,2 \%$.

Účinek uvedené ochranné nepropustné vrstvy na skořepině tkví v čistě mechanickém oddělení atmosféry skořepiny od atmosféry formy - tedy ve vytvoření nepropustné "bariéry" v širším slova smyslu, t.j. nikoliv přímo

na odlitku. Je výhodné, aby ochranná vrstva na vnějším povrchu skořepiny se stala pro plyny nepropustnou zejména až po zaplnění formy kovem, a to tak, že teplem uvolněným při tuhnutí a chladnutí odlitku se roztaží lehce-tající látky přidané do posledního vnějšího obalu keramické skořepiny a zaplní její pory. Z toho důvodu lze doporučit pro vytvoření ochranných vrstev právě ty látky, které se taví až nad vypalovací teplotu keramických forem /křemenných/, t.j. nad teplotu cca 900°C .

Výhodou použití ochranných vrstev z lehce-tajících látok je i to, že skořepiny ani po vychladnutí obvykle nevykazují trhliny, skořepina je pevnější, což však nijak neztěžuje mechanické odstraňování skořepiny. Další výhodou tohoto způsobu je i možnost kompenzovat nevhodný vliv přítomných okuji a zokujených kovových zbytků ve výplnové směsi nebo použití rámu z nevhodného materiálu /srovnej s kap. 5.3.2/.

a/ Vliv rychlosti ochlazování za současné přítomnosti nauhličujících látok ve skořepině.

Jak bylo již uvedeno v kap. 5.3.2, má přísada nauhličujících látok ve skořepině /při vlastních zkouškách použít OB-tmel do 2. a 3. obalu/ velmi příznivý vliv na zábranu oduhlíčení, zejména při rychlejším chlazení odlitků - viz. obr. 5.28. Tak např. při obsahu uhlíku ve skořepině cca 0,78 % C bylo zcela zabráněno oduhlíčení při chladnutí odlitků 15 min. ve formě a po vyjmutí z formy na vzduchu, avšak při pomalejším ochlazování /3 a 15 hodin/ menší oduhlíčení vzniklo.

Pedestatně lepších výsledků v celém rozsahu zkoušených tloušťek odlitků R lze dosáhnout kombinací příznivého účinku nauhličujících látok ve skořepině, t.j. účinku "vnějšího" zdroje uhlíku pro vytvoření atmosféry bohaté na CO, a příznivého účinku oddělení atmosféry skořepiny od atmosféry formy ochrannou nepropustnou vrstvou. V tomto případě se může koncentrace CO ve skořepině zvyšovat rychleji než v případě skořepiny bez ochranné vrstvy, protože CO se nerozptyluje do formy a atmosféra formy naopak "nerozřeďuje" atmosféru skořepiny.

Důkazem tohoto tvrzení jsou výsledky zkoušek se skořepinami s přísadou OB-tmelu /srovnej s kap. 5.3.2/ ve 2. a 3. obalu skořepiny, kdy poslední obal byl vytvořen s přídavkem mletého skla /75 g skla na 100 g křemenné moučky a 100 g vazné kapaliny/. Z obr. 5.28 je vidět, že při použití skla se oduhlíčování změnilo i při poměrně pomalém ochlazování odlitků /doba zatravání odlitků ve formě 3 a 15 hodin/ a při rychlejším chlazení nevzniklo oduhlíčení vůbec.

Naopak přísada kyseliny borité /5 % na váhu obalové směsi/ do posledního obalu měla za následek mírné zvýšení oduhlíčení ve srovnání se vzorkem bez této ochranné vrstvy - obr. 5.28.

/ Vliv rychlosti ochlazování za současné přítomnosti karbidů ve skořepině.
 V předcházejícím odstavci ad d/ byl uveden význam příslušnosti nauhličujícího prostředku - OBtmelu - do skořepiny jako zdroje uhlíku, pro vytvoření vhodné redukční nebo nauhličující atmosféry $\text{CO} + \text{CO}_2$ s vysokým uhlíkovým potenciálem. Srovnáním polohy čar pro reakci spalování uhlíku a pro reakci rozkladu cementitu v ocelích /viz. obr. 4.1/ docházíme k závěru, že při použití uhlíku /jako grafitu, koksu, spálených organických látek/ může u středně uhlíčených ocelí docházet snadno i k nauhličování, protože uhlíkový potenciál atmosféry vznikající při reakci s čistým uhlíkem je podstatně vyšší než uhlíkový potenciál pro stabilitu cementitu v těchto ocelích. Aby k tomuto jevu nedocházelo, byl hledán takový zdroj atmosféry s vysokým uhlíkovým potenciálem, která by zaručovala jen ochranu před oduhlíčováním a mohla ocel nauhličovat.

Jak bylo ukázáno již v kap. 4.2.2.4 při rozboru stability karbidů v atmosférách $\text{CO} + \text{CO}_2$ /viz. též obr. 4.1/ existuje celá řada karbidů /např. B_4C , SiC a CaC_2 / stabilnějších než čistý Fe_3C , avšak podmínky jejich stability se příliš neliší od podmínek pro stabilitu Fe_3C v ocelích, zejména při menších obsazích uhlíku. Tak např. při teplotě tuhnutí oceli s cca 0,5 % C /cca 1450°C / jsou rovnovážné podmínky pro stabilitu Fe_3C v oceli téměř zcela totožné s rovnovážnými podmínkami pro stabilitu SiC nebo B_4C . S klecující teplotou však rovnovážný poměr $P_{\text{CO}}^2 / P_{\text{CO}_2}$ pro karbidy SiC a B_4C klecuje poněkud rychleji než pro Fe_3C v ocelích.

Tohoto jevu bylo využito při zkouškách se skořepinami, které obsahovaly ve 2. a 3. obalu a posléze i v 1. obalu SiC , a to jako součást obalové směsi i jako zásypový písek. Účelem těchto zkoušek bylo potvrzení myšlenky, zda by bylo možno využít rozkladu karbidů při vysokých teplotách - zejména vyšších než cca 1100°C - k vytvoření atmosféry s vysokým uhlíkovým potenciálem přímo ve skořepině. Z obr. 4.1. vyplývá jasný předpoklad, že karbidy se budou rozkládat v atmosférách s nízkým uhlíkovým potenciálem do té doby, pokud nebude dosaženo uhlíkového potenciálu blízkého rovnovážnému pro jejich stabilitu. Tímto opatřením lze zajistit přímo ve skořepině za vyšších teplot poměrně vysoký uhlíkový potenciál, definovaný výběrem karbida. SiC byl vybrán pro uvedené zkoušky proto, že vzhledem ke B_4C je snadněji dosažitelný a neriskládá se vodou jako CaC_2 . Byla tedy uvažována současně i realisovatelnost výsledků zkoušek ve slévárnách.

Výsledky prvních zkoušek, které zahrnovaly vliv různého množství SiC ve skořepině /ve 2. a 3. obalu jak v obalové směsi, tak i jako zásyp/ ukázaly, že oduhlíčení se ve srovnání se skořepinou normální zmenšilo o 40 až 50 %,

a to téměř bez ohledu na množství SiC /obr. 5.35/. Poněkud vyšší hodnoty hloubky odůhličení ukázaly i zkoušky týchž skořepin, jestliže po odlití byly formovací rámy přikryty víčkem pro zamezení proudění vzduchu do formy - viz. obr. 5.36. Vliv uzavření víčky se tedy projevil stejně jako při zkouškách s normálními skořepinami /kap. 5.3.6, obr. 5.33/. Všechny tyto odlitky chladly pomalu ve formě až na normální teplotu 15 hod. /předehřívací teplota formou 900°C/.

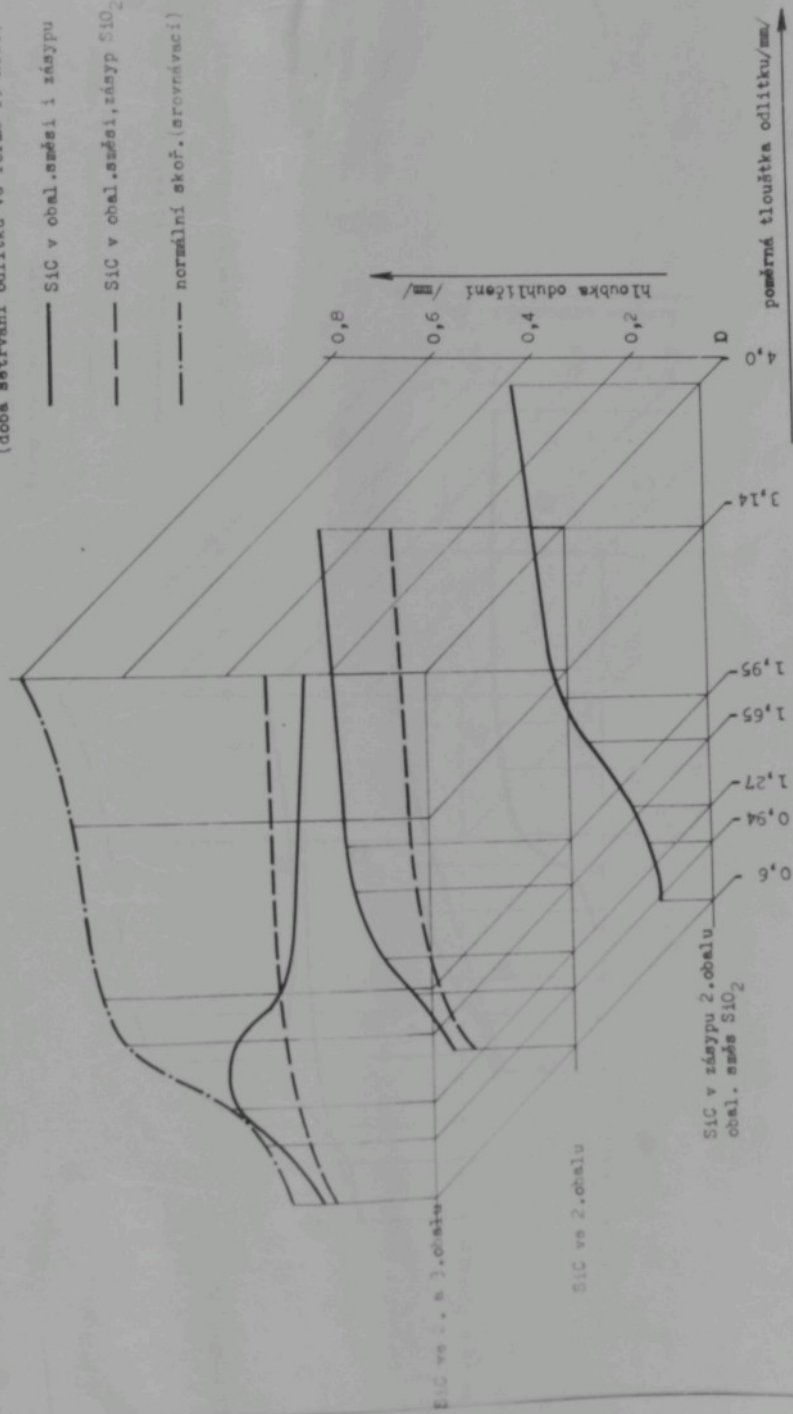
Výsledky této série zkoušek se skořepinami SiC ukázaly na to, že SiC jakožto zdroj atmosféry s vysokým uhlíkovým potenciálem účinkuje pouze za vysokých teplot, t.j. v předpokládaném rozmezí cca 1100°C až teplota tuhnutí, avšak při nižších teplotách může působit opačně. /Viz. obr. 4.1/. Vzhledem k výsledku jedné serie informativních zkoušek, kdy přídavek SiC do skořepiny zabránil zcela odůhličení u samonosné skořepiny a výběc se neprojevil u skořepiny zasypané, která chladla pomalu /viz. obr. 5.5. a 5.6/, bylo rozhodnuto ověřit současný vliv zvýšené rychlosti chladnutí u skořepin s SiC ve 2. a 3. obalu. Tyto zkoušky jednoznačně prokázaly výhovující účinek SiC pouze při vysokých teplotách, t.j. v době, kdy odlitek chladl se skořepinou ve formě /po dobu 15 a 30 min./ a potom byl rychleji ochlazen, zatímco u odlitku, který chladil pomaleji ve formě až na normální teplotu bylo odůhličení větší /obr. 5.37/.

Na základě těchto výsledků bylo rozhodnuto ověřit vliv SiC ve skořepině při rychlejším chlazení odlitků a při současném použití ochranných vrstev z lehkotajících látek v posledním obalu /obdobně jako u zkoušek s OB-tmelem viz. odstavec ad d/. Při těchto zkouškách byl však SiC přidán buď do 1. obalu nebo do 1. a 2. obalu; jako lehkotající látka bylo použito sklo jako příslušadlo do posledního obalu.

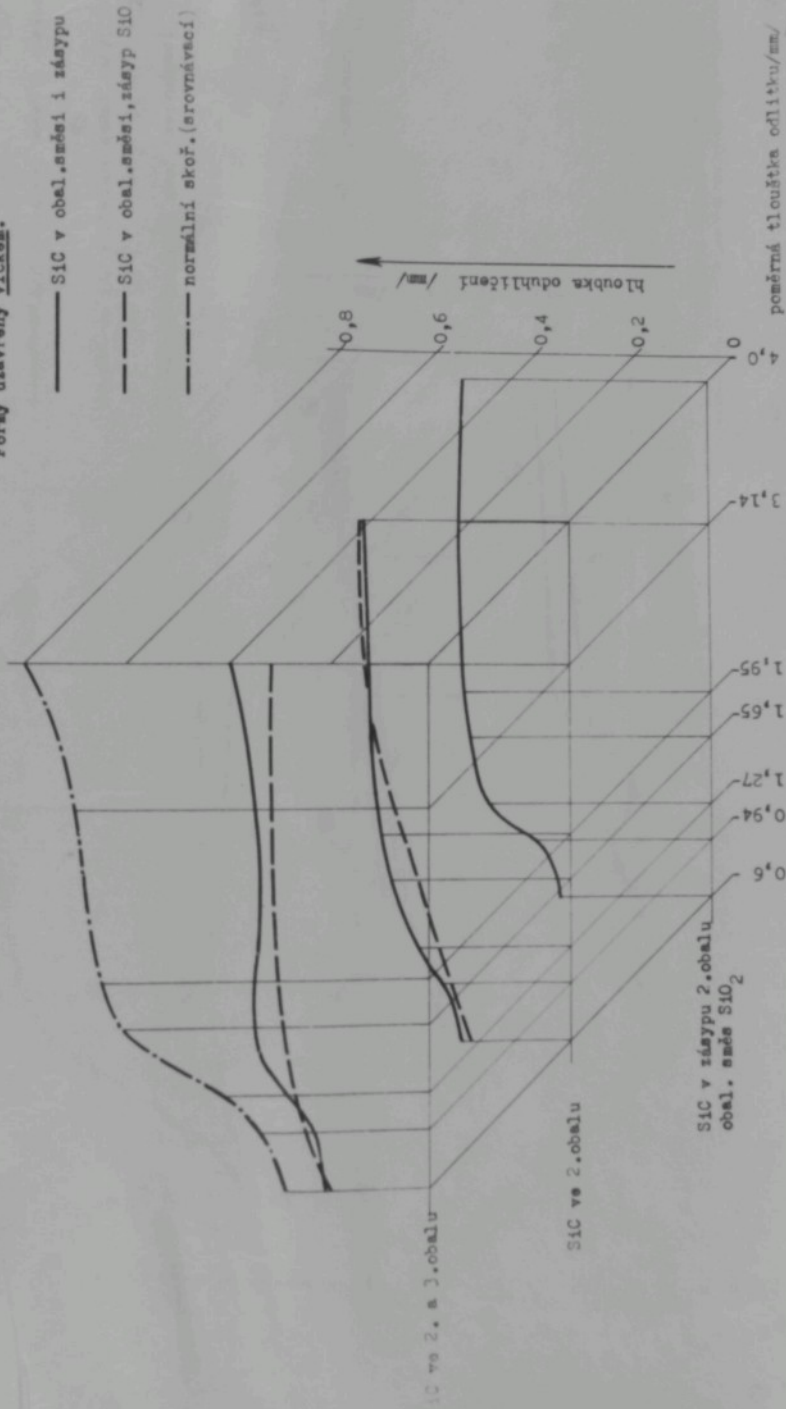
Výsledky dvou sérií zkoušek s SiC při různé rychlosti chlazení odlitků - různé době setrvání odlitků ve formě /6, 15, 30 min. a 15 hod./ - ukazují obr. 5.38. Nejpříznivější podmínky chlazení byly prokázány u odlitku ochlazovaného ve formě 15 min. - hloubka odůhličení se zmenšila až o 80 % a u odlitku ochlazovaného ve formě 6 min, kdy hloubka odůhličení se zmenšila u celého vzorku o 90 % ve srovnání s výsledky zkoušek za normálních podmínek. V obou případech se tedy snížilo odůhličení odlitků na hodnoty, které jsou menší než obvyklé přídavky na obrábění, většně přídavků na broušení ploch tepelně spracovaných.

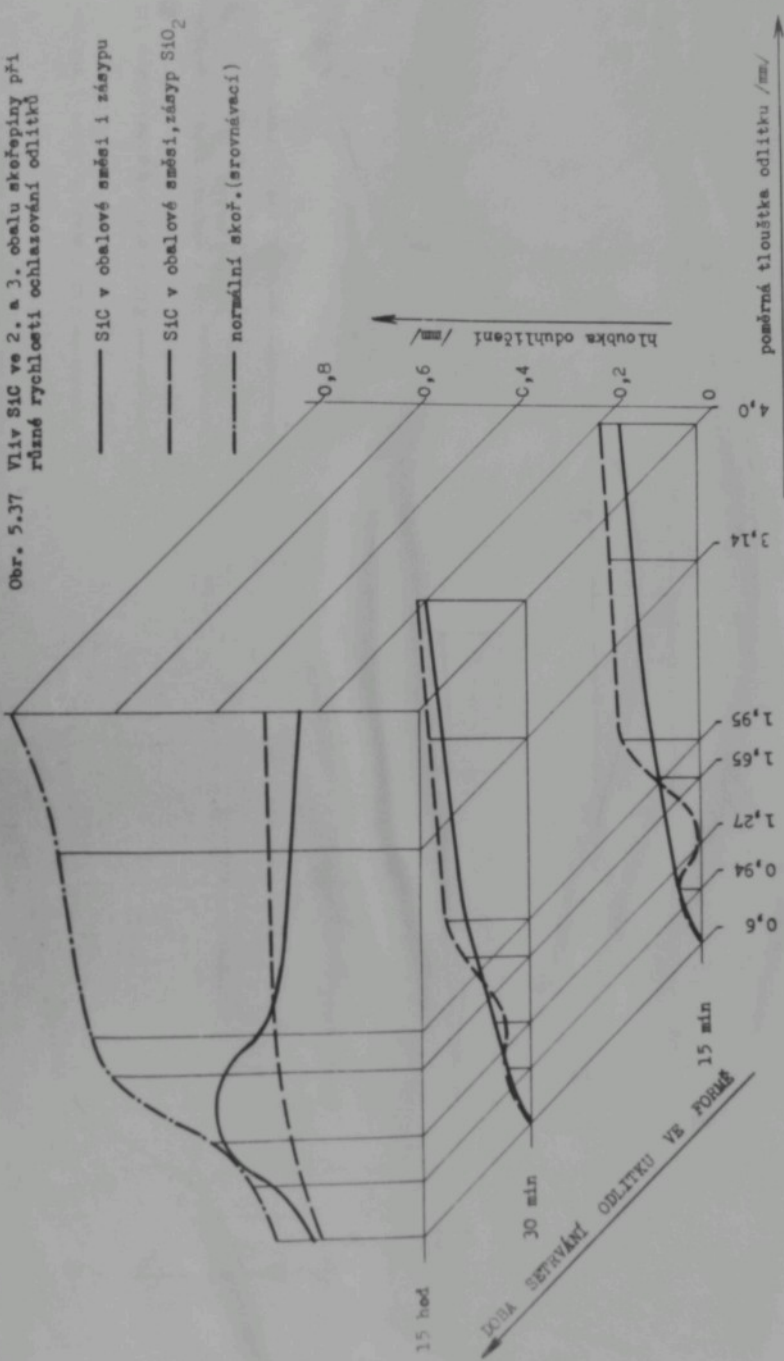
Princip zábrany odůhličování přísadou karbidů do skořepiny v kombinaci s vytvořením ochranných nepropustných vrstev a zvýšenou rychlostí chladnutí je předmětem patentní přihlášky autora [81]. Schema uspořádání formy a skořepiny ukazuje obr. 5.39.

Obr. 5.35 Vliv různého množství SiC ve skořepině
(doba sotrvání odlitku ve formě 15 hod.)

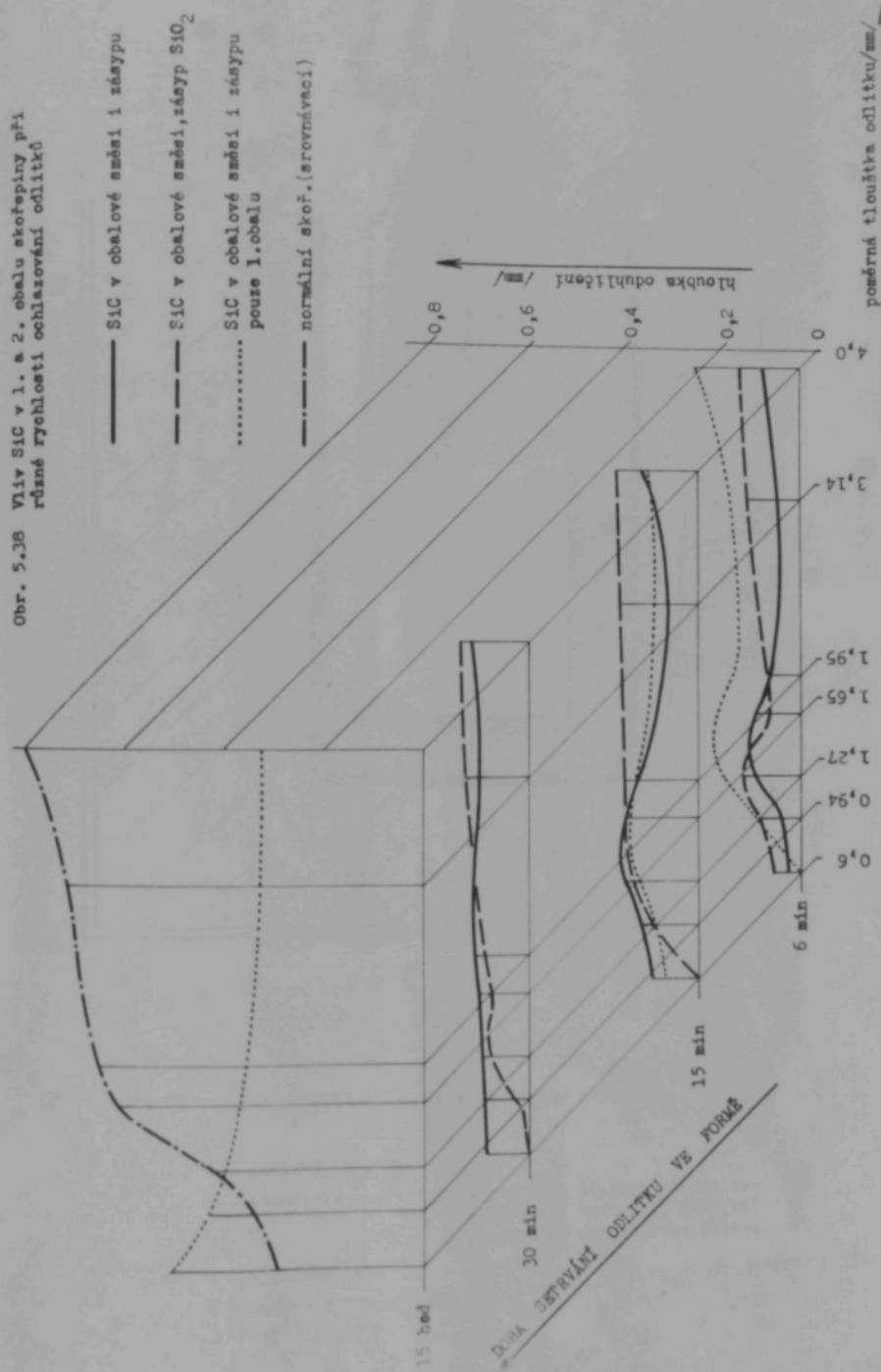


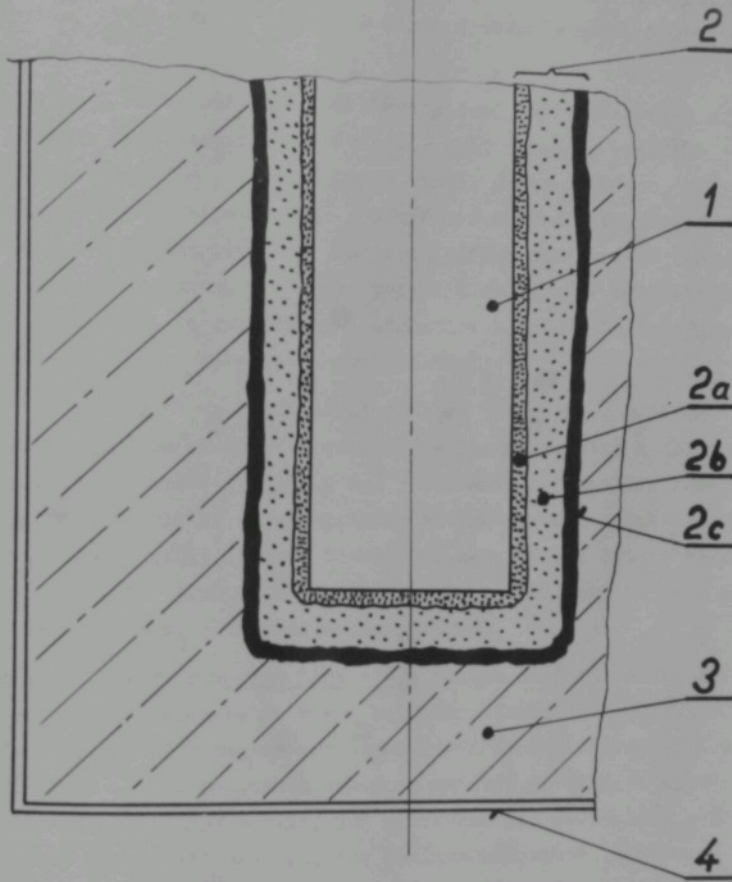
Obr. 5.36 Vliv různého množství SiC ve skořepině
(deba setrvání odlitku ve formě 15 hod.)
Forgy usuvány vliškou.





Obř. 5,28 Vliv SiC v 1. a 2. obalu skořepiny při různé rychlosti ochlazování odlitku





Obr. 5.39 Schéma uspořádání formy a skořepiny podle [81]

1 - ocelový odlitek

2 - keramická skořepina a)vrstva s přídavkem karbidu
b)normální keramický materiál
c)ochranná nepropustná vrstva

3 - výplňová směs

4 - kovový formovací rám

5.3.7 Konstrukce odlitků a formy.

V tomto sboru byly systematickými zkouškami ověřován pouze vliv polohy odlitku ve formě, a to jak na běžných odlitech, tak i na vlastních zkušebních vzorcích, které byly připojeny k licím soustavám místo některých běžných odlitků.

U odlitku A /ze sortimentu ZŘ Uheršský Brod/ bylo sledováno odhličení na dvou místech a do diagramu na obr. 5.40 byly vyneseny průměrné hodnoty odpovídajících míst 1 a 2. Z obrázku je vidět, že odhličování odlitků po výše formy je značně nerovnoměrné a maxima se dosahuje těsně pod středem formy. V horní polovině převládá vliv rychlejšího ochlazování vzduchem, který do otevřené formy vstupuje, a v dolní polovině formy vliv rychlejšího odvodu tepla podložkou formy a bezpochyby i atmosféra s nižším obsahem kyslíku z ovzduší, která nepůsobí tak intenzivní odhličování.

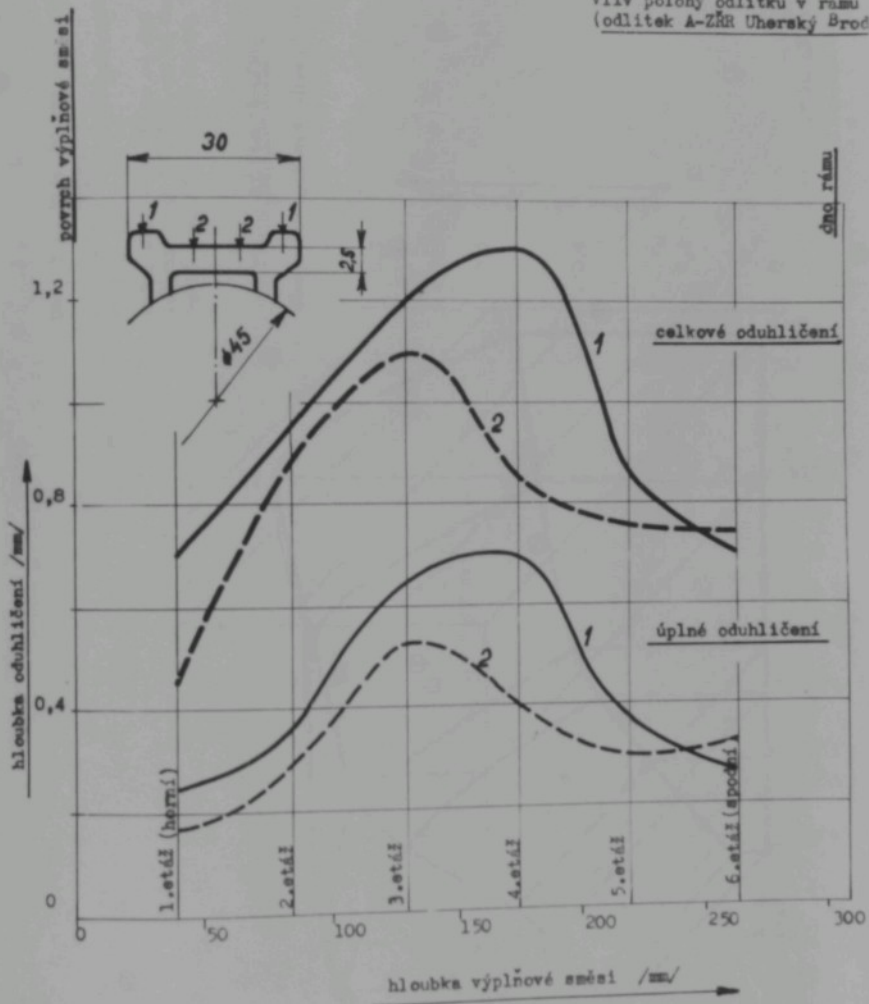
Obdobný charakter má i závislost na obr. 5.41, která zachycuje závislost polohy odstupňovaného zkušebního vzorku / v horní, střední a dolní etáži/ na vtokové soustavě běžného odlitku B /ze sortimentu ZŘ Uheršský Brod/. Je zajímavé, že polohy odlitku jsou ovlivněny hlavně střední a tlustší průřezu odlitku ve střední etáži, kde je odhličení největší. I tyto výsledky potvrzují již dříve uvedený předpoklad o různém způsobu chlazení horní a spodní poloviny formy, event. složení atmosféry formy.

Avšak ani poměry v rovině téže etáže nejsou ideální při nejobvyklejší konstrukci vtokové soustavy ve tvaru svislého stromečku s odlitky umístěnými po obvodě. Vzhledem k tomu, že pro co nejvyšší využití taveniny a získání maximální produktivity je snahou sléváren umístit na vtokové soustavě maximální počet odlitků, nejsou často ani skořepiny pro jednotlivé odlitky od sebe odděleny a splývají mezi sebou v jedinou kompaktní keramickou hmotu. Tím se značně změní tepelné pole jednotlivých odlitků, nebo jejich částí a tuhnutí i chladnutí odlitků už nelze posuzovat jednoduše podle jejich poměrných tloušťek stěn.

Podebné poměry nastávají i v těch částech odlitků, do kterých ústí zářsy a které se nacházejí v blízkosti mohutných vtokových kílu. Vlastní tepelné pole jednotlivých odlitků dané jejich poměrnými tloušťkami je v takových místech zcela zanedbatelné vzhledem k tepelnému poli vtokového kílu. Výsledkem takové situace je potom pokles hloubky odhličení v závislosti příslušného průřezu odlitku od povrchu kílu, a to i v prismatických částech odlitků. Dokladem toho je např. obr. 5.42, který znázorňuje tyto poměry na jednoduchém malém odlitku /ze sortimentu ZŘ Uheršský Brod/. Pod grafem odhli-

Obr. 5.40

Vliv polohy odlitku v rámu
(odlítok A-ZRR Uherský Brod)



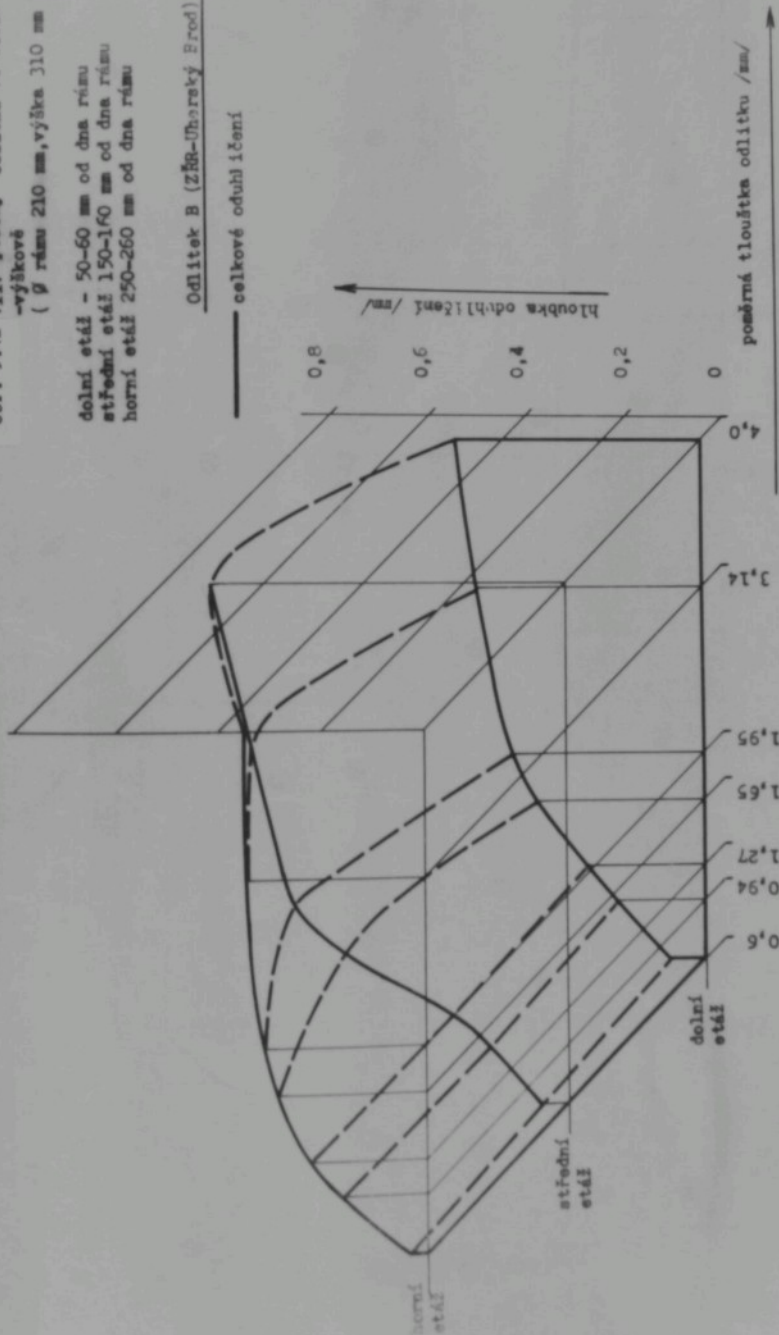
Obr. 5.41 Vliv polohy odlitku ve formě
výškové

(\varnothing rám 210 mm, výška 310 mm)

- dolní stál - 50-60 mm od dna rámu
- střední stál 150-160 mm od dna rámu
- horní stál 250-260 mm od dna rámu

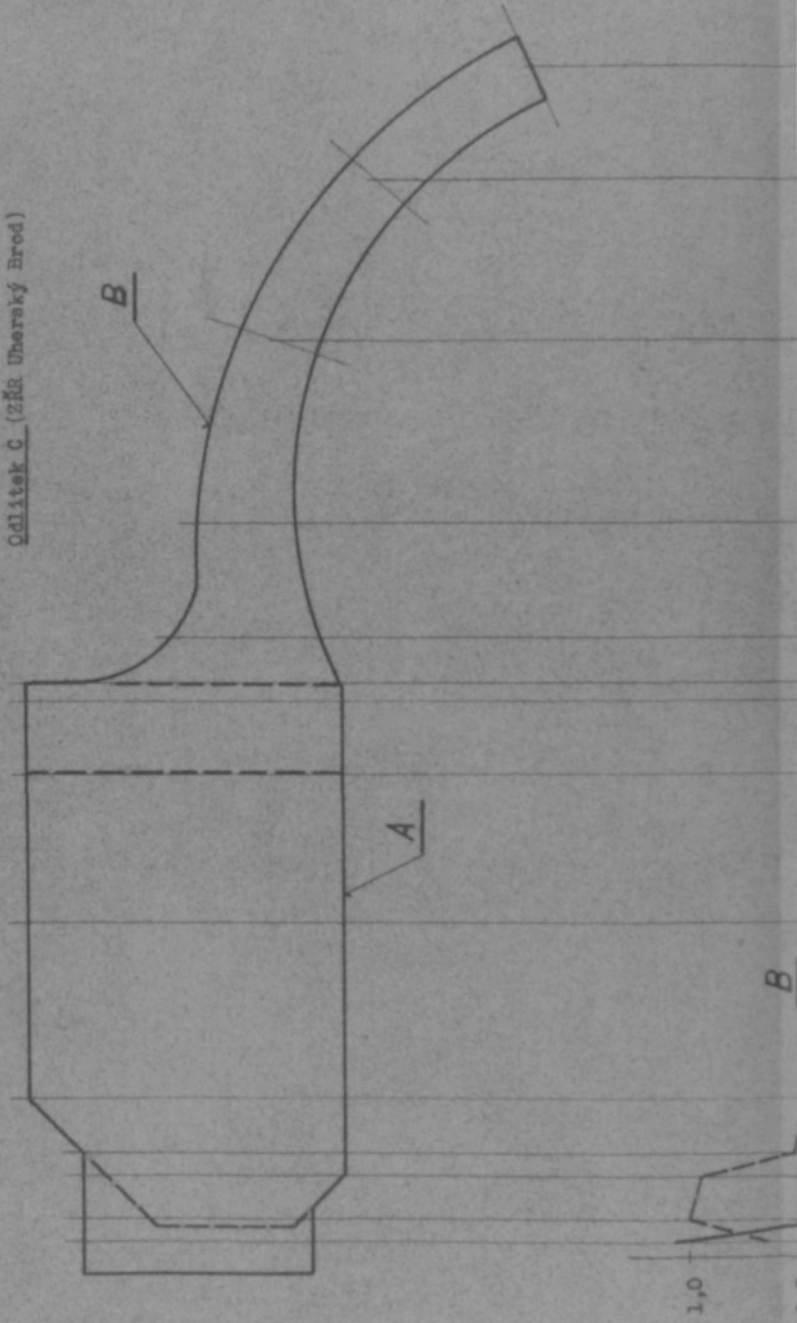
Oditek B (Zkratky Brod)

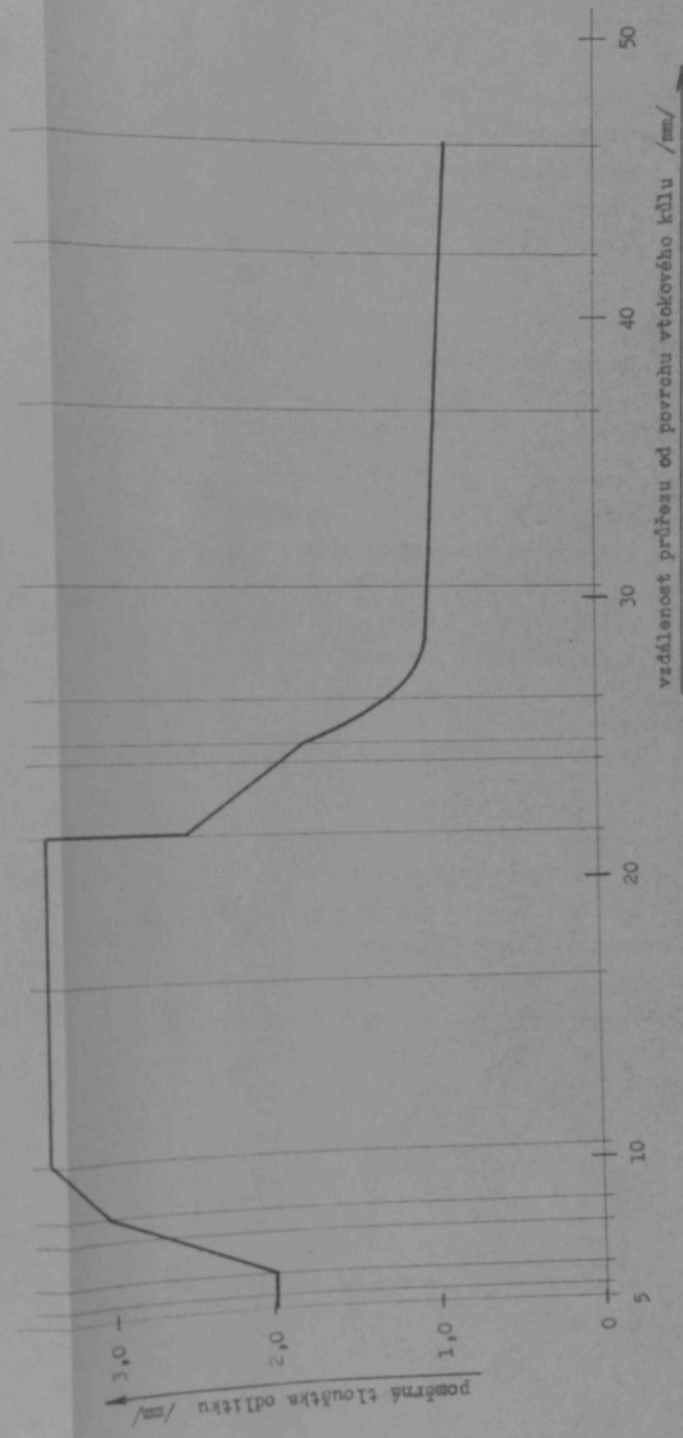
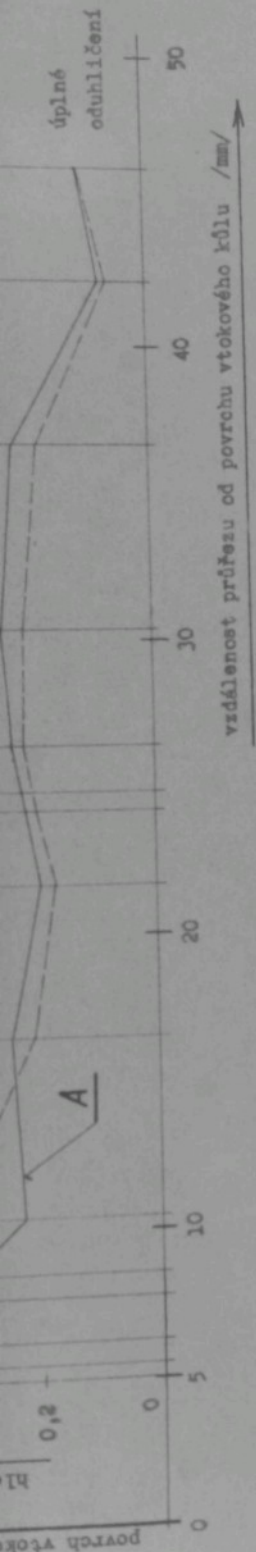
celkové odutí i klení



Obř. 5.42 Vliv tepelného pole vtokového kruhu
na hloubku odhlížení.

Odlitek C (ZMK Uherský Brod)





čení je současně vyznačena i poměrná tloušťka odlitku v různých proměňovacích průřezech. Přestože v místě přechodu do tenké zahnuté části odlitku klesá na 2/3 původní velikost, hloubka odhličení nevykazuje v této části žádnou výraznější změnu a postupně pomalu klesá ve směru radiálního gradientu tepelného pole vtokového kúlu. Je nesporné, že k této situaci přispělo i umístění a vliv sousedních odlitků.

Z uvedených zkoušek plyne pro současnou praxi ten důležitý závěr, že ty části odlitku, u kterých bude nutné snížit hloubku odhličení na minimum by měly být při stávající technologii umístěny co nejdále od vtokového kúlu, pokud to dovolí jejich tvar ve smyslu obecných slévárenských zásad pro vtokování s nálitkování odlitků.

Pro dosažení lepších poměrů při chladnutí odlitků tedy bude značně záležet na velikosti a rozměrech vtokové soustavy každého strmečku vzhledem k velikosti a počtu odlitků na této soustavě. Přestože nelze upírat progresivní charakter různých druhů standardisace a typisace v oboru vtokových soustav, není z uvedených důvodů nejvýhodnější zavedení jedné velikosti vtokové soustavy pro všechny druhy a velikosti odlitků.

5.4. Vliv studovaných parametrů na výslednou strukturu odlitků a jejich tvrdost, event. obrubitelnost.

V předešlých kapitolách jsme posuzovali vliv jednotlivých parametrů pouze z hlediska jejich působení na mechanismus a kinetiku odhličovacích nebo okysličovacích reakcí atmosféry skořepiny, formy nebo skelí s povrchem ocelového odlitku. Jako jeden z velmi výrazně působících parametrů se ukázala zejména rychlosť ochlazování odlitků a dále i chemické složení odliévané oceli; právě při kombinaci současného působení zvýšené rychlosti chladnutí a některého dalšího parametru, včetně změněného složení oceli, bylo v několika případech dosaženo velmi dobrých výsledků ve smyslu zábrany nebo omezení odhličení.

Zvýšená rychlosť ochlazování se projevuje nejen přímo při různých způsobech chlazení odlitků ve formách i mimo ně, ale také jako důsledek vlivu některých parametrů - např. rychlosť chlazení odlitků nebo jejich části lze ovlivnit materiálem formy, licí teplotou taveniny a předehřívací teplotou formy, konstrukcí formy a konstrukcí vtokové soustavy a odlitku a pod.

Rychlosť ochlazování odlitků a form spolu s určitým chemickým složením oceli neovlivňuje však pouze průběh reakcí odhličování a okysličování povrchu

odlitků při vysokých teplotách, ale i průběh dějů při překrystalisacích ocelí při rozpadu austenitu při teplotách A_3 a nižších, t.j. při teplotách, kdy reakce odumírování probíhají méně intenzivně nebo už neprobíhají vůbec. Právě v této teplotní oblasti působí rychlosť chlazení ocelových odlitků o daném chemickém složení na vytvoření výsledného charakteru sekundární struktury odlitku v celém průřezu a tedy i výsledných vlastností odlitku ve stavu po odlití - zejména pak na vlastnosti pevnostní, houževnatost, tvrdost a event. i obrobiteľnost.

5.4.1 Rychlosť chlazení zkoušebních vzorků

Zkoušky a měření rychlosti chlazení zkoušebních vzorků měly převážně informativní charakter a byly provedeny na zkoušebních odlitech podle obr. 5.9 v obvyklém uspořádání formy dle obr. 5.1c, a to opět za podmínek, které vystihují standartní podmínky /viz.kap.5.2 a 5.3/. Měření byla provedena celkem na 6 formách a ukázala pouze velmi malé vzájemné rozdíly, takže hodnoty dále uvedené a zpracované ve výpočtech a grafech dobre vystihují teplotní podmínky provedených zkoušek.

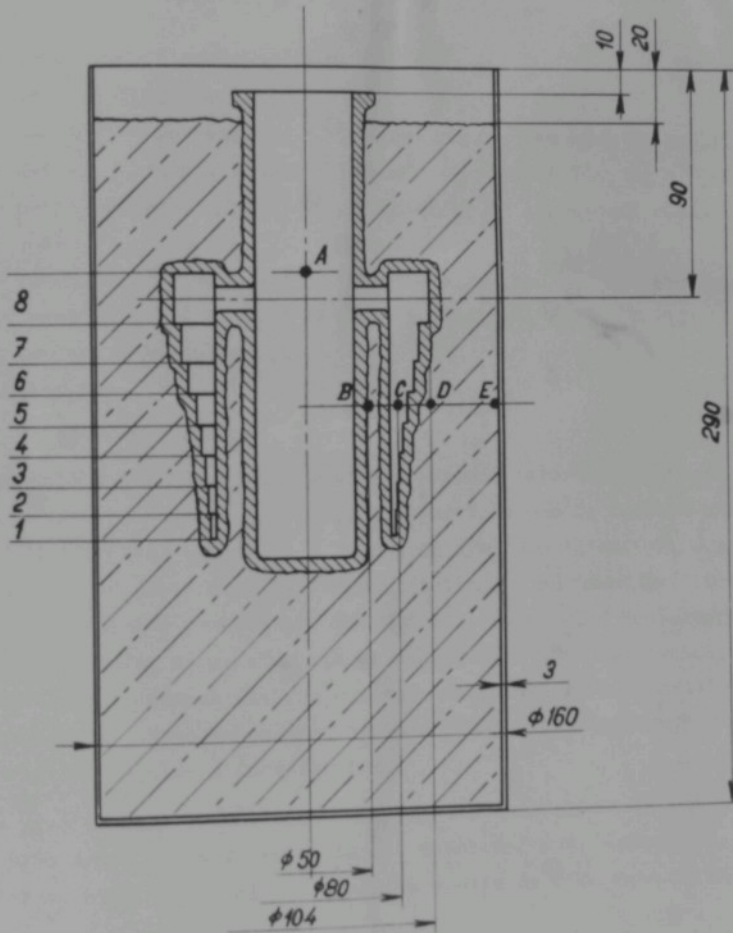
Schema a poloha měřených míst ve formě a jejich označení ukazuje obr. 5.43, přesnější určení měřených hodnot tab. 5.2.

Tab.č. 5.2

	měřená veličina	poloha čidla
A	tuhnutí a chladnutí oceli	v ose vtokového kálu /Ø 42 mm/
B	teplota povrchu skořepiny	ve styku se skořepinou /Ø 50 mm/
D	teplota výplňové směsi ve vrstvě	ve styku s výpln. směsí /Ø 104 mm/
E	teplota výplňové směsi u rámu	ve styku s výpln. směsí /Ø 150 mm/

Křívka tuhnutí a chladnutí oceli /místo A/ byla měřena termočlánkem PtRh-Pt v ochranné trubce z křemenného skla, v ostatních místech B, D a E byla teplota měřena termočlánkem chromel-alumini bez ochrany. Veškeré naměřené hodnoty byly registrovány zapisovačem v intervalech po 20 vteřinách až 1 minutě. Chladnutí bylo sledováno vždy až do dosažení normální teploty jak u odlitků, které chladly ve formě, tak i u odlitků, které byly během chladnutí z formy vyjmuty a ochlazovány dále na volném větrání.

Experimentálně byla sledována v první řadě doba tuhnutí uhlíkové oceli s 0,58 % C /0,73 % Mn, 0,27 % Si/ v zasypané skořepině a bylo zjištěno, že v vtokovém kálu končí krystalisace při teplotě 1390°C za 5 minut po odlití.



Obr. 5.43 Schéma měření teplot v formě a odlitku

Tento výsledek získaný měřením byl ověřován též výpočtem podle vzorce NECHENDZIHO [63]

$$Z_T = R^2 \cdot \frac{\pi}{4} \cdot \frac{L^2 \cdot \gamma_M^2}{(t_S - t_F)^2 \cdot b_F^2} \cdot \left[1 + 2 \cdot \frac{C_M}{L} \cdot \frac{1}{t_L - t_S} \right] \quad /5.6/$$

kde Z_T - doba tuhnutí odlitku /hod/

R - poměrná tloušťka odlitku /m/

L - latentní krystalisační teplo /kcal/kg/ - pro ocel 65 kcal/kg [63]

γ_M - hustota kovu při ztuhnutí /kg/m³/ - pro ocel 7500 kg/m³ [67]

C_M - měrné teplo kovu při ztuhnutí /kcal/kg·°C/ - pro ocel 0,165 kcal/kg °C [67]

b_F - koeficient tepelné difuze formy (kcal/m² · hod · °C)^{1/2} - pro keramickou formu SiO₂ při teplotě 860 °C = 30 kcal/m² · hod · °C^{1/2} [19]

t_L - teplota likvidu /°C/

t_S - teplota solidu /°C/

t_F - teplota formy /°C/

který obsahuje i opravný koeficient pro zahrnutí intervalu ztuhnutí slitiny.

Výpočtem bylo zjištěno, že při teplotě formy $t_F = 860^\circ\text{C}$, teplotě likvidu $t_L = 1455^\circ\text{C}$ a teplotě solidu $t_S = 1390^\circ\text{C}$ má být doba ztuhnutí $Z_T = 0,106$ hod., t.j. 6,36 min. Ve srovnání s výsledkem zjištěným experimentálně je výsledek výpočtu velmi blízký, protože při ztuhnutí odlitku v chladnoucí zasypané skořepině, kdy do formy má přístup vzduch ochlazující přímo skořepinu, nejsou zajištěny všechny předpoklady pro uvedené analytické řešení, zejména není forma homogenním nekovovým poloprostorem s konstantní teplotou a mění se také koeficient tepelné difuze formy b_F .

Pro výpočet doby ztuhnutí jednotlivých odstupňovaných částí zkoušebního odlitku byla proto vzata v úvahu nikoliv vypočtená doba ztuhnutí Z_T , ale skutečně naměřená, t.j. 5 min. Z obecného vzorce po dobu ztuhnutí odlitku

$$Z_T = \frac{R^2}{K_T^2} \quad /5.7/$$

byl určen koeficient ztuhnutí K_T /m/hod^{1/2}/, který lze považovat pro dané teplotní podmínky a pro danou ocel a materiál formy za hodnotu konstantní.

Pro válec o průměru $d_V = 42$ mm je $R = 0,0105$ m a pro dobu ztuhnutí 5 min. /0,0833 hod/ nabývá koeficient ztuhnutí hodnoty $K_T = 0,0366$ m/hod^{1/2}, t.j. $K_T^2 = 0,00132$ m²/hod. Doba ztuhnutí jednotlivých částí zkoušebního odlitku /1-8/ jež byla určena ze vzorce

$$z_m = \frac{R^2}{0,00132} / \text{hod/}$$

/5.8/

je uvedena v tab. 5.3. Z tabulky je patrno, že zkušební odlitek tuhne poměrně velmi rychle, zejména v nejtenších průřezech, kdy tuhnutí trvá řádově vteřiny a celý zkušební odlitek v části 1 až 8 ztuhne během 67 vteřin.

Chladnutí odlitků ve formě bylo opět zjištováno jednak experimentálně /měřeny body A, B, D a E/ a jednak analyticky - zčásti počtařsky a zčásti graficky. Analytické řešení je však prakticky možné pouze ve stavu regulární fáze, t.j. prakticky pouze za podmízky, kdy teplotní pole není již závislé na počátečním stavu, nenastávají zákonité nebo nahodilé změny teplotních poměrů chladnoucího tělesa /např. též překrystalisace/ a teplota prostředí je konstantní [63, 69]. Za těchto předpokladů nabývá zákon změny teplotního pole v závislosti na čase podoby logaritmické závislosti

$$\ln \left(\frac{t_x - t_p}{t_{CH} - t_p} \right) = - \frac{1}{R} \cdot \frac{\alpha}{c_m \cdot \gamma_m} \cdot z_{CH} \quad /5.9/$$

kde z_{CH} - doba chladnutí /hod./ z teploty počátku chladnutí na libovolnou teplotu t_x při konstantní teplotě prostředí t_p

α - koeficient přestupu tepla z chladnoucího tělesa do okolního prostředí /konvekcí a sáláním/

Rovnici 5.9. upravíme na tvar

$$\ln /t_x - t_p/ = - \frac{1}{R} \cdot \frac{\alpha}{c_m \cdot \gamma_m} \cdot z_{CH} + \ln /t_{CH} - t_p/ \quad /5.10/$$

který představuje v semilogaritmických souřadnicích

$$\ln /t_x - t_p/ = z_{CH} \text{ přímka.}$$

Při chladnutí ocelových odlitků odlivaných do zasypaných skořepin musíme však za různých poměrů chladnutí uvažovat i různou teplotu prostředí:

a/ při chladnutí odlitků v období, kdy teplo uvolněné odlitkem se téměř zcela akumuluje ve stěně formy a teplota její vnější stěny se výrazně nemění, se uvažuje teplota formy t_p

b/ při chladnutí odlitků mimo formu /po vyjmutí odlitku z výplňové směsi/ je teplotou prostředí teplota okolního ovzduší, t.j. normální teplota 20°C .

Průběh chladnutí jednotlivých částí odstupňovaného zkušebního vzorku /místech 1 - 8/ byl proto stanoven za ideálních poměrů podle změřeného průběhu chladnutí kúlu. Výchozími hodnotami pro výpočet v oblasti regulární

fáze byly ~~vezeny~~ hodnoty pro vtokový kůl - válec o $\varnothing 42$ mm /R = 0,0105 m/

$$z_{CH_1} = 1 \text{ min} / 6 \text{ min. po odlití} / - \text{teplota } t_1 = 1312^\circ\text{C}$$

$$z_{CH_2} = 11 \text{ min} / 16 \text{ min. po odlití} / - \text{teplota } t_2 = 1045^\circ\text{C}$$

při teplotě počátku chladnutí $t_{CH} = t_s = 1390^\circ\text{C}$ a teplotě prostředí

$$t_p = t_F = 860^\circ\text{C}.$$

Po dosazení těchto hodnot do rovnice 5.10 dostaneme pro $R = 0,0105 \text{ m}$ /vtokový kůl/v oblasti regulární fáze rovnici

$$\ln /t_x - 860/ = - 1,0126 \cdot z_{CH} + 1,155 \quad /5.11/$$

a pro libovolné R

$$\ln /t_x - 860/ = - \frac{1,0126 \cdot 0,0105}{R} \cdot z_{CH} + 1,155 \quad /5.12/$$

Z tohoto výrazu můžeme potom určit rovnici pro výpočet doby chladnutí kteréhokoliv průřezu odlitku /určeného R/ na libovolnou teplotu t_x při teplotě formy $t_p = 860^\circ\text{C}$.

$$z_{CH} = \frac{1,155 - \ln /t_x - 860/}{0,0105} \cdot R \quad /\text{hod.}/ \quad /5.13/$$

Vypočtené hodnoty z_{CH} pro jednotlivé části zkoušebního vzorku jsou pro teploty $t_x = 1000^\circ\text{C}$ a $t_x = 861^\circ\text{C}$ uvedeny v tabulce 5.3 a to jednak jako hodnoty pouze doby chladnutí z_{CH} a jednak jako celkové doby tuhnutí a chladnutí

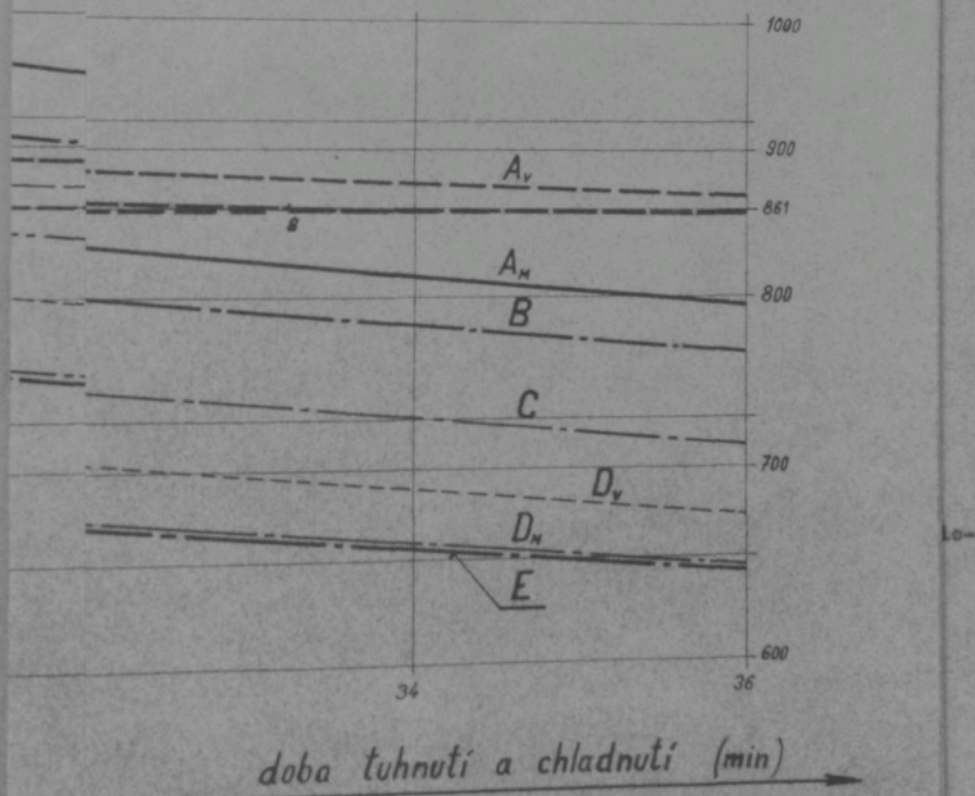
$$z_{celk.} = z_T + z_{CH} \quad /5.14/$$

Graficky jsou uvedeny naměřené i vypočtené hodnoty na obr. 5.44. V tomto grafu se však vypočtené ani naměřené hodnoty nejeví jako přímky, protože diagram pro další použití je sestrojen v souřadnicích $\log /t_x - 20/ - z_{CH}$ a nikoliv v souřadnicích $\log /t_x - 860/ - z_{CH}$, jak by odpovídalo rovnici 5.12. Tvar křivek chladnutí 1 až 8 byl však sestrojen graficky podle diagramu v souřadnicích $\log /t_x - 860/ - z_{CH}$, kde je tato závislost přímková.

Souřadnice $\log /t_x - 20/ - z_{CH}$ byly zvoleny proto, že nejen umožňují názorněji vystihnout charakter křivek ochlazování a dovolují zakreslit i teploty nižší než 861°C , ale hlavně proto, že závislosti ochlazování odliků vzduchem / 20°C / po jejich vyjmutí z formy se budou jevit v oblasti regulární fáze jako přímky. Podobně se bude jako přímková závislost jevit i ochlazování formy /většině odliku/ od doby, kdy dojde ve formě téměř k vyrovnání teplotních

Vypočtené doby tuhnutí a chladnutí jednotlivých průzorů žádoucích odlítotí
(chladnutí ve formě , $t_p = 860^{\circ}\text{C}$)

Oznámení průřezu	1	2	3	4	5	6	7	8	A
R \times 10 ³	0,6	0,94	1,27	1,65	1,95	3,14	4,0	4,95	10,5
R ² \times 10 ⁶	0,36	0,881	1,62	2,72	3,0	9,89	16,0	24,5	110,25
Celková doba tuhnutí	hod.	0,000278	0,000677	0,00123	0,00206	0,00288	0,0075	0,0121	0,0185
Z _T	min.	0,017	0,04	0,075	0,124	0,173	0,45	0,73	1,11
n _a	1,02	2,4	4,5	7,45	10,4	27	44	67	100
Doba chladnutí na	hod.	0,0126	0,0196	0,0277	0,036	0,041	0,066	0,084	0,104
teplofy 1000°C	min.	0,77	1,18	1,63	2,16	2,46	3,96	5,05	6,23
Z _{GII} $\times 1000$	s.	46	71	98	130	148	238	303	374
Celková doba tuhnutí	min.	0,787	1,22	1,705	2,284	2,633	4,41	5,78	7,34
a chladnutí na 1000°C	s.	47	73,4	102,5	137,45	158,4	265	347	441
Z _{celk} $\times 1000$									10,4
Doba chladnutí na	hod.	0,0651	0,103	0,138	0,179	0,212	0,341	0,434	0,539
teplofy 861°C	min.	3,906	6,18	8,3	10,72	12,7	20,45	26	32,3
Z _{GII} $\times 861$	s.	234	371	496	644	762	1227	1560	1940
Celková doba tuhnutí	min.	3,91	6,22	8,34	10,05	12,9	20,90	26,7	33,41
a chladnutí na 861°C	s.	235	373	500	651	772	1254	1664	2007
Z _{celk} $\times 861$									73,5



gradientů na rozhraní mezi odlitkem a formou a forma bude dále chladnout jako více-méně homogenní těleso, což přiblíží jednoznačně v úvahu pod teplotami přeměny oceli, v našem případě již prakticky od doby 19 - 20 min. po odlití /viz. obr. 5.44 - čáry A, B, D, E/ a v případě odlitku vyjmutého za 6 minut po odlití z formy již od 14 min.

V diagramu na obr. 5.44 jsou mimo uvedené závislosti zakresleny ještě příběhy teplot ve výplňové směsi v blízkosti kovového rámu /křivka B/, ve výplňové směsi na válcové ploše o $\varnothing 104$ mm /křivka D_X/, která leží ve stejné vzdálenosti od středu kúlu jako nejvzdálenější plošky zkusebního odlitku v části S proti vtoku /viz. obr. 5.43/, dále průběh teploty vnějšího povrchu skořepiny na kúlu /křivka B/. Vzhledem k tomu, že mezi skořepinou kúlu /místo B/ a kovovým rámem /místo E/ je pouze výplňová směs stejnáho složení, byl pro podmínky vedení tepla válcovou stěnou vypočtem stanoven teoretický průběh teplot na válcové ploše o $\varnothing 80$ mm /křivka C/-zasahuje právě nejtěsnější části zkusebního odlitku/ a kontrolně i na ploše o $\varnothing 104$ mm /křivka D_Y/.

Příslušné teploty ve stěně /vrstvě/ výplňové směsi byly pro jednotlivé časové úseky vypočteny ze vzorce pro průtok tepla válcovou stěnou [69]

$$t_x = t_B - \frac{t_B - t_E}{\ln \frac{d_X}{d_B}} \cdot \frac{\ln \frac{d_X}{d_E}}{\ln \frac{d_E}{d_B}} \quad /5.15/$$

kde t_x - hledaná teplota na válcové ploše d_X

t_B , t_E - teploty na největším d_E a nejmenším d_B průměru válcové stěny

Uvedený rozbor tepelných poměrů v zasypaných keramických skořepinách nti odlévání oceli do žhavých keramických skořepin, lze považovat vzhledem k poměrně malému množství naměřených hodnot a více-méně idealizovanému analytickému řešení - ve skutečných podmírkách nejsou splněny všechny nutné fyzikální předpoklady výpočtu - pouze za informativní, umožňuje však vysvětlit a zdůvodnit řadu dříve vyslovených závěrů.

Pouze z hlediska tepelných poměrů ve zkusebních formách rozbor ukazuje, že:

a) řasový úsek tuhnutí jednotlivých průřezů odlitků - zejména průřezů do poměrně tloušťky odlitků $R < 0,002$ m - je poměrně velmi krátký /řádově vteřiny až desítky vteřin/, zatímco doba tuhnutí vtokového kúlu je několika-násobně delší a jeho průměr je tedy vůči odlitku neúměrně velký.

- b/ Časové úseky chladnutí jednotlivých průřezů odlitků jsou vzhledem k li-
neární závislosti doby chladnutí Z_{CH} na poměrné tloušťce odlitku R vzá-
jemně vyrovnanější. Tento jev při chladnutí je však z hlediska zábrany
oduhličování méně příznivý, protože se vzdálenějším R se prodlužuje téměř
lineárně i celková doba tuhnutí a chladnutí $Z_{celk.}$, po kterou je vystaven
 povrch tuhnuocího a chladnoucího odlitku vysokým tepletám /viz.tab. 5.3
 pro teploty 1000 a $861^{\circ}\text{C}/.$
- c/ Doby chladnutí tenkých průřezů /malá R/ se budou ve skutečnosti prodlu-
žovat ve srovnání s dobami vypočtenými, a to vlivem působení tepelného
pole mohutného vtokového kúlu tak, že teplota odlitků bude klesat bez-
pochyby v teplotním rozmezí daném křivkami C a D_M. Výsledkem toho budou
opět delší exposice povrchu odlitků vůči atmosféře při vyšších teplotách,
zejména u velmi malých průřezů.
- d/ Během chladnutí se mění vliv proudění vnějšího vzduchu do formy charakter
tepelného pole vtokového kúlu i odlitků a nelze proto předpokládat ochla-
zování odlitků pouhým vedením tepla výplňovou směsí formy /srovnej průběh
křivky podle hodnot vypočtených D_V a hodnot skutečně naměřených D_M/.
- e/ Příznivě se projevuje vyjmoutí odlitku z výplňové směsi krátce po ztuhnutí,
např. po 6 min. po odlití, protože se tak zajistí prudký pokles teplot
vtokového kúlu a přirozeně i jednotlivých průřezů odlitků a skráti se tak
podstatně doba, po kterou se stýká povrch odlitku s atmosférou při vysokých teplotách. Z obr. 5.44 je vidět, že při chladnutí odlitků ve formě
se dosáhne ochlazení kúlu na teploty 723°C za 44 min po odlití, ale při
rychlejším chlazení odlitků na vzduchu po vyjmoutí skořepiny z formy
/za 6 min. po odlití/ se dochází ke stejným poměrům již za 10 min. po
odlití. Podebně se projeví vyjmoutí žhaveného odlitku z formy po době 10 až
30 minut po odlití, i když s postupným klesajícím vlivem na zvýšení rychlos-
ti chladnutí při vysokých teplotách a tedy i na zmenšení oduhličení. Po
delších dobách setrvání odlitků ve formě je už význam rychlejšího chlazení
na vzduchu poměrně menší, zejména u malých průřezů, jak potvrzuji též
výsledky vlastních zkoušek /obr. 5.32/.

Ve smyslu těchto dílčích sávérů a podle výsledků měření i výpočtů lze
určit hodnoty středních rychlostí chladnutí v několika teplotních intervalech
pro odlitky chladnoucí ve formě a pro odlitky chladnoucí od 6. minuty po odlití
na volném vzduchu.

Pro chladnutí jednotlivých částí odstupňovaného odlitku ve formě byly
určeny rychlosti chladnutí v intervalech $1390 - 1000^{\circ}\text{C}$ a $1000 - 861^{\circ}\text{C}$

z vypočtených hodnot dle tab. 5.3 - experimentálně ověřenou hodnotou jsou však pouze rychlosti chladnutí vtokového kúlu A - viz tab. 5.4. V této tabulce jsou pro každý teplotní interval vyznačeny jak hodnoty vypočtené, tak i hodnoty naměřené nebo hodnoty určené z diagramu na obr. 5.44.

V případě odlistků ochlazovaných ve formě až k normální teplotě můžeme ve smyslu obr. 5.44 rozdělit celé teplotní pásmo chladnutí na 4 intervaly:

a/ V intervalu 1390 až 1000°C je možno oprávněně předpokládat "skutečné" rychlosti chladnutí téměř stejné jako jsou hodnoty vypočtené, protože v tak krátkém časovém intervalu se nemůže ještě výrazně projevit vliv kúlu.

b/ V intervalu 1000 až 861°C dochází k překrývání tepelného pole odlistků tepelným polem vtoku a proto hodnoty rychlosti chladnutí vypočtené bez úvahy působení vtoku nebudou u menších průřezů /1 až 5/ tak vysoké jak bylo vypočteno a současně větší průřezy /7,8/ budou chladnout pravděpodobně kratší dobu vlivem rychlejšího ochlazování skořepin vnějším vzduchem ve formě, podobně jako kúl/A/.

c/ V intervalu 860 až 600°C , kdy forma chladne téměř jako homogenní těleso, budou odlistky bez rozdílu průřezu ochlazovány téměř stejnou rychlosí cca $6^{\circ}\text{C}/\text{min}$, což je rychlosť poměrně malá.

d/ V intervalu 600 - 450°C budou nadále poměry obdobné jako u předchozího intervalu, avšak s tím rozdílem, že rychlosť ochlazení dále poklesne až na hodnotu $4,0^{\circ}\text{C}/\text{min}$.

Značně rozdílné poměry budou nastávat u odlistků, které budou po vyjmutí z výplňové směsi ochlazovány spolu se skořepinou na volném vzdutí. V tab. 5.4 je uveden příklad, kdy odlistek byl vyjmut z výplňové směsi po 6 min. po odlistení /viz. též obr. 5.44/ k křivka A₆/ . Pro zábramu odhlišení je velmi výhodná vysoká rychlosť ohlažení při vysokých teplotách / 1312 - 840°C /, která bude u tenčích průřezů ještě vyšší než rychlosť ohlažení vtoku / $230^{\circ}\text{C}/\text{min}$. Obdobné poměry nastanou i při míšení teplotách / 840 - 600°C - rychlosť ohlažení vtoku $34^{\circ}\text{C}/\text{min}$ a 600 - 400°C - rychlosť $12,5^{\circ}\text{C}/\text{min}$ /. Určení rychlosti chladnutí jednotlivých průřezů 1 - 8 zkušebního odlistku nelze ani přibližně provést jednoduchým výpočtem, protože skořepina na odlistku tvoří vlastně izolační vrstvu, která je stejně tlustá na všech částech odlistku a tedy rychlosť chladnutí jednotlivých průřezů 1 až 8 už nebude úměrná pouze poměrné tloušťce odlistku, ale hlavně podmínkám přestupu tepla keramickou skořepinou do vzdutí.

Střední rychlosť chladnutí ($^{\circ}\text{C}/\text{min}$) jednotlivých průfazů strukturních odlišek

Způsob chlazení	Interval teploty ($^{\circ}\text{C}$)	Oznámení průřezu $R = 10^{-3}$ (m)	1	2	3	4	5	6	7	8	A
1390 - 1000	výpočet skutečn.	510	330	240	180	150	98	78	53,2	29,4	29,4
1000 - 861	výpočet skutečn.	45	25,2	21	16,3	13,7	8,6	6,7	5,4	2,5	2,5
861 - 600	výpočet skutečn.			$\sim 3 \pm 9$			$\sim 8,8$	$\sim 10,0$	$\sim 10,0$	12,5	12,5
600 - 400	výpočet skutečn.				$\sim 6,2$				6,2		
1212 - 840	výpočet skutečn.					$\sim 4,0$				4,0	
840 - 600	výpočet skutečn.						$R = 2,5$ mm			2,0	
600 - 400	výpočet skutečn.										

Po 6 min. po odlištění ochlazováno vlnou
ve formě oblibovaného valného
vzduchového

Pozn.: Experimentální získané výsledky jsou vyznačeny černým (první) a

Značný vliv skořepiny na rychlosť chladnutí je patrný ze srovnání hodnot rychlosť chladnutí zmērených na vtoku se skořepinou /viz.tab.5.4 - hodnoty 34 a $12,5^{\circ}\text{C}/\text{min}$ / s hodnotami rychlosť chlazení ocelových tyčí /bez skořepiny/ téhož válcového průřezu z teplot 850°C na klidném vzduchu /hodnoty 54 a $27^{\circ}\text{C}/\text{min}$. Současně jsou v tabulce též uvedeny rychlosť chladnutí pro ocelový válec bez skořepiny o $\varnothing 10 \text{ mm}$ / $R = 0,0025 \text{ m}$ / [82] = podle těchto reálných hodnot ochlazování ocelových polotovarů známých z tepelného zpracování ocelí [82] a podle vlastních naměřených rychlosť chladnutí je možno závodově odhadnout rychlosť chlazení pro případ vyjímání odlitků z formy po 6 min. po odlítí takto:

interval teplot	R	rychlosť chladnutí
$840 - 600^{\circ}\text{C}$	$0,0006 - 0,0105 \text{ m}$	$500 / 400 / \text{až } 34^{\circ}\text{C}/\text{min}$
$600 - 400^{\circ}\text{C}$		$300 / 200 / \text{až } 12,5^{\circ}\text{C}/\text{min}$

Tyto rychlosť chladnutí jsou podstatně větší než rychlosť chladnutí odlitků, které chladíncu ve formě až na normální teplotu a projevily se též výrazně při překrystalisacích austenitu u některých ocelí se zvýšenými obsahy Mn a Cr /viz.kap. 5.3.1 a 5.4.2/.

Jedním z nejjávážnějších výsledků rozboru tepelných poměrů forem při přesném lití metodou vytavitevního modelu je též kvantitativní vyjádření nepříznivého vlivu mohutného vtokového kůlu na tepelné pole formy a způsob chladnutí odlitků ve stejném smyslu, jak bylo ukázáno již v kapitole 5.3.7. V našem případě by se např. celkové tepelné poměry ve formě značně zlepšily, kdyby se doba tuhnutí vtoku skrátila přibližně na polovinu, t.j. na 150 vteřin volbou průměru vtokového kúlu $\varnothing 30 \text{ mm}$ /přesně $\varnothing 29,6 \text{ mm}$, $R = 0,0075 \text{ m}$. Tímto opatřením by nedošlo k podstatnému zpomalení plnění formy a vtok by dle mohl plnit funkci nálitku; bylo by však možno vyjmout odlitky z forem již po 4 min. po odlítí a v neposlední řadě by došlo i k lepšemu využití kovu /objem vtokového kúlu by se zmenšil na polovinu/.

Provozní realizaci zrychlěného chlazení odlitků jejich vyjímáním z výplňové směsi za poměrně krátkou dobu několika minut po odlítí je nutno řešit v každém případě vhodnou mechanizací tak, aby nedošlo k mechanickému poškození žhavých odlitků při vyklepávání z rámu. Bude pravděpodobně výhodné využít odlévání skořepin do výplňové směsi, kterou bude možno načeřit při vkládání a vyjmání skořepiny jako fluidní vrstvu. Tímto způsobem dojde k minimálním možným deformacím a mechanickému poškození odlitků ve žhavém stavu

a přitom nebude problém zajistit poměrně velmi přesně dobu zatravání odlitků ve formě a tuto dobu též libovolně měnit.

Při "odlévání skořepin ve fluidní vrstvě" nebude možno zajistit hrubou výplňovou směs /srovnej kap. 5.3.2/, protože vlastní podstatou fluidní vrstvy vyžaduje menší velikost zrn. Přestože tedy skořepiny budou tuhnout a chladnout ve výplňové směsi s menší přirozenou ventilací výplňové směsi, bude mít tento postup nesporné výhody při vkládání a vyjímání skořepin. Rychlejší ochlazování odlitých skořepin by však bylo proveditelné též proháněním vzduchu výplňovou směsí, ovšem při nižším tlaku než je třeba k jejímu nařízení. Pak by se velmi výhodně uplatnily právě nepropustné ochranné vrstvy /kap. 5.3.6/.

5.4.2 Výsledná struktura skušebních odlitků ve stavu po odlití.

Vzhledem k tomu, že hlavním cílem práce bylo studium podmínek oduhlíčení povrchu přesných ocelových odlitků, byla sledována převážně struktura povrchové vrstvy odlitků a její houbka. Jak bylo již uvedeno v kap. 5.2, byla vyhodnocována houbka úplného oduhlíčení a houbka celkového oduhlíčení metalograficky.

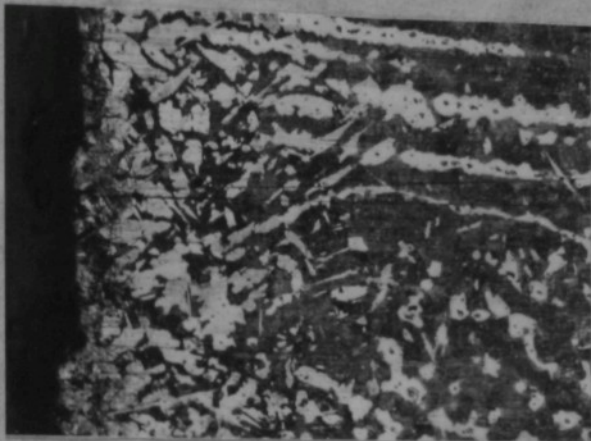
Charakter struktury povrchové vrstvy ocelových odlitků z uhlíkové oceli /c,6 % C/ byl při většině zkoušených parametrů prakticky stejný a odpovídal obr. 5.12; rozdílná byla vždy pouze houbka oduhlíčené vrstvy a ve většině případů se úplné oduhlíčení vůbec nevyskytlo. Podstatné změny charakteru struktury se projevily pouze v případě ~~zvýšení~~ rychlosti chladnutí v teplotním intervalu překrystalisace oceli pod teplotou A_3 - zejména u ocelí nízkolegovaných.

Charakter struktury středních částí ocelových odlitků byl ovlivněn v menším počtu případů, hlavně při zvýšeném obsahu legujících prvků.

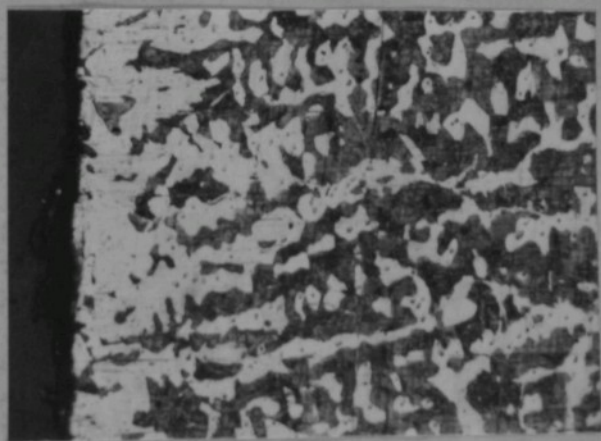
5.4.2.1 Charakter struktury skušebních odlitků při jejich pomalém ochlazování ve formách až na normální teplotu.

U skušebních vzorků se zvýšeným obsahem křemíku feritové útvary v oduhlíčené vrstvě zvýrazňují dendritickou strukturu kovu a podle svého rozložení bezpochyby značně souvisejí s primární krystalizací kovu. Tento charakter si zachovává i struktura středních částí odlitků /obr. 5.45/.

Naproti tomu struktura u vzorků se zvýšenými obsahy mangani nebo chromu je méně orientována, avšak při vyšších obsazích /u Mn vzorek s 3,1 % - bezpochyby již od 2 až 2,5 % a u Cr vzorky s 3,75; 7,5 a 11,75 % Cr/ se začíná

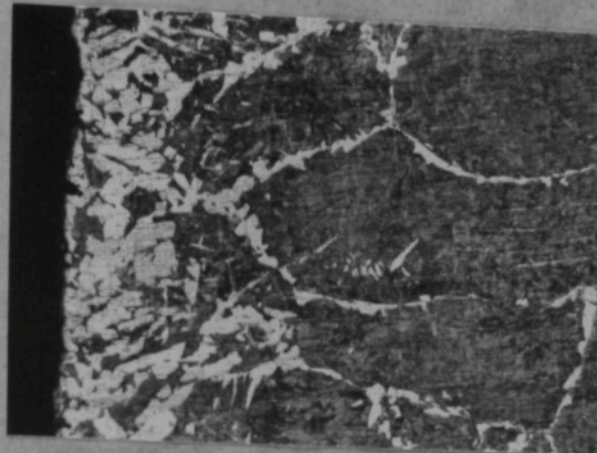


a/ 0,72 % Si

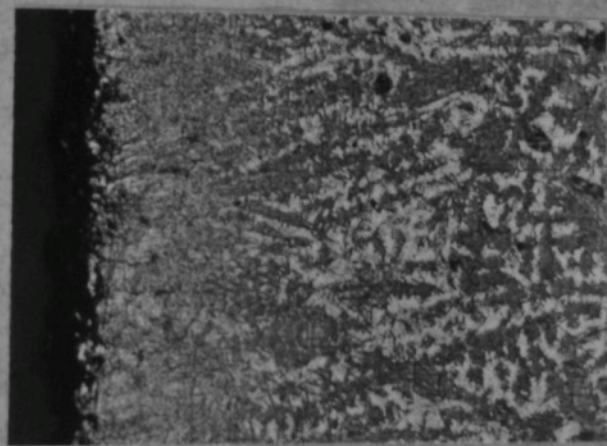


b/ 2,05 % Si

Obr. 5.45 Charakter struktury oduhlíčené vrstvy v závislosti
na obsahu křemíku.
/ světlo 100x , nital /



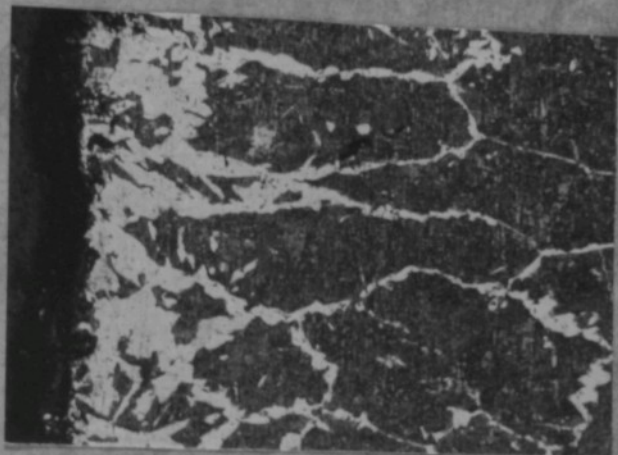
a/ 1,16 % Mn



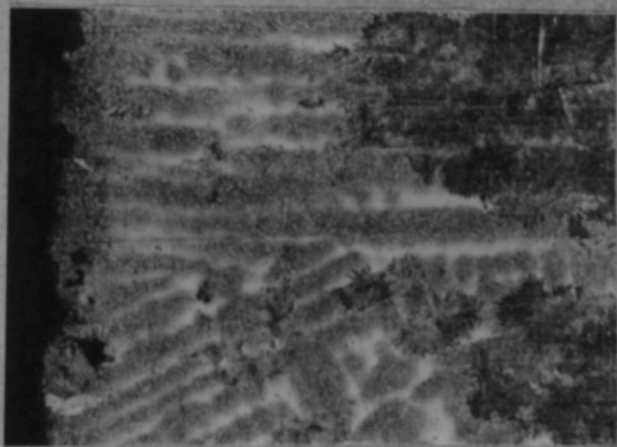
b/ 3,10 % Mn

Obr. 5.46 Charakter struktury oduhlíčené vrstvy v závislosti na obsahu mangani.

/ zvětšení 100x , nital /



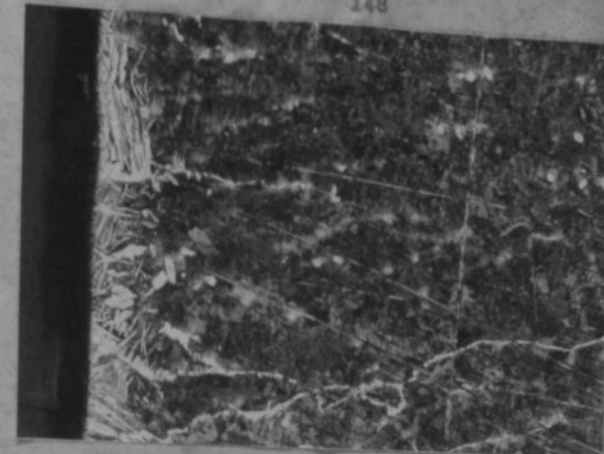
a/ 1,05 % Cr



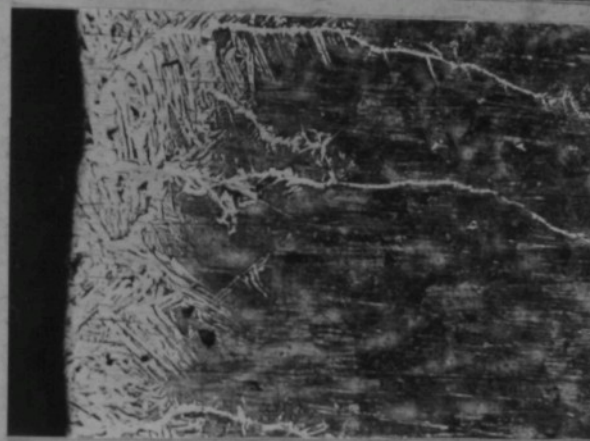
b/ 3,75 % Cr

Obr. 5.47 Charakter struktury oduhlíkované vrstvy v závislosti na obsahu chromu.

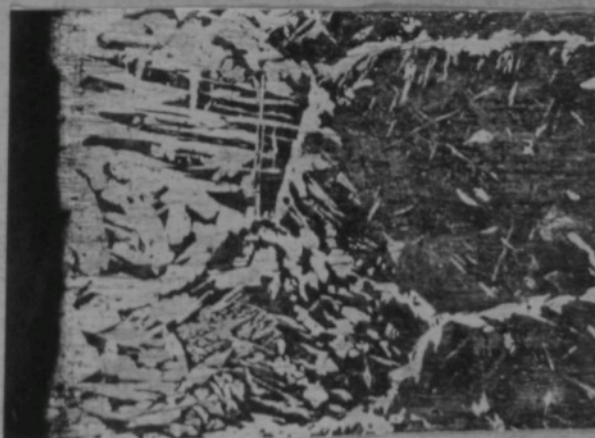
/ zvětšení 100x , mital /



a/ samonosná
skořepina

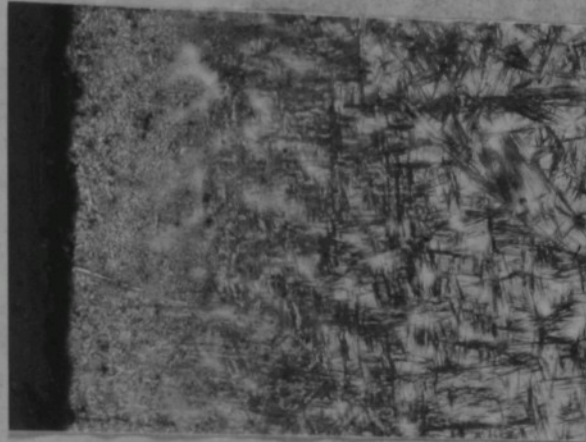


b/ doba setrvání
ve formě 30 min



c/ doba setrvání
ve formě 2 hod

Obr. 5.48 Charakter struktury oduhlíčené vrstvy uhlíkové oceli
/ 0,53 % C / v závislosti na rychlosti chlazení.
/ zvětšení 100x , mital /



a/ rychlé chlazení odlitků se skeřepinou vzduchem
/ doba zatržení ve formě 6 min po odlití /



b/ pomalé chlazení odlitků ve formě / 15 hod /

Obr. 5.49 Charakter struktury oduhlíděné vrstvy Cr-Mn oceli
/ 1 % Cr ; 1,2 % Mn / v závislosti na rychlosti chlazení.
/ zvětšení 100x , nital /

nejprve objevovat pouze v povrchové vrstvě a postupně až v celém průřezu odlitků struktura rozpadových struktur austenitu - bainitu, případně i martensitu (obr. 5.46 a 5.47).

V případech vyššího obsahu Mn a Cr nestačila malá rychlosť chlazení odlitků ve formě - /cca 6 °C/min - viz.kap. 5.4.1/ k překrystalisaci austenitu na perlit nebo jemný perlit, protože změnou složení došlo ke značnějšímu posuvu S - křivsk k větším časům [82].

5.4.2.2 Charakter struktury zkoušebních odlitků při zvýšené rychlosti chlazení.

Při zvýšené rychlosti chlazení - vyjímáním ztuhlých odlitků z forem krátce po odlití a jejich ochlazování včetně skořepin na klidném vzduchu - se projevily tyto hlavní změny struktury:

- a/ U odlitků z uhlíkových ocelí /0,5 až 0,6 % C/ vznikala v celé oduhličené vrstvě Widmanstättenova struktura ještě při době setrvání odlitku ve formě 30 min. Při delších časech setrvání ve formě pouze místně. Obdobně vznikala Widmanstättenova struktura i v oduhličené vrstvě odlitku ze samonosné skořepiny /obr. 5.48/.
- b/ U odlitku z legované oceli /0,6 % C, 1,2 % Mn, 1 % Cr a 0,7 % Si - viz. kap. 5.3.1, obr. 5.18/ došlo při rychlejším chlazení odlitků /doba setrvání ve formě 6 a 15 min/ ke vzniku bainiticko-martensitické struktury téměř v celém zkoušebním odlitku. Při pomalém chladnutí ve forech se však zabránilo nejen oduhličení, ale byla získána i feriticko-perlitická struktura ve všech průřezech /obr. 5.49/.

5.4.3 Výsledná tvrdost zkoušebních odlitků.

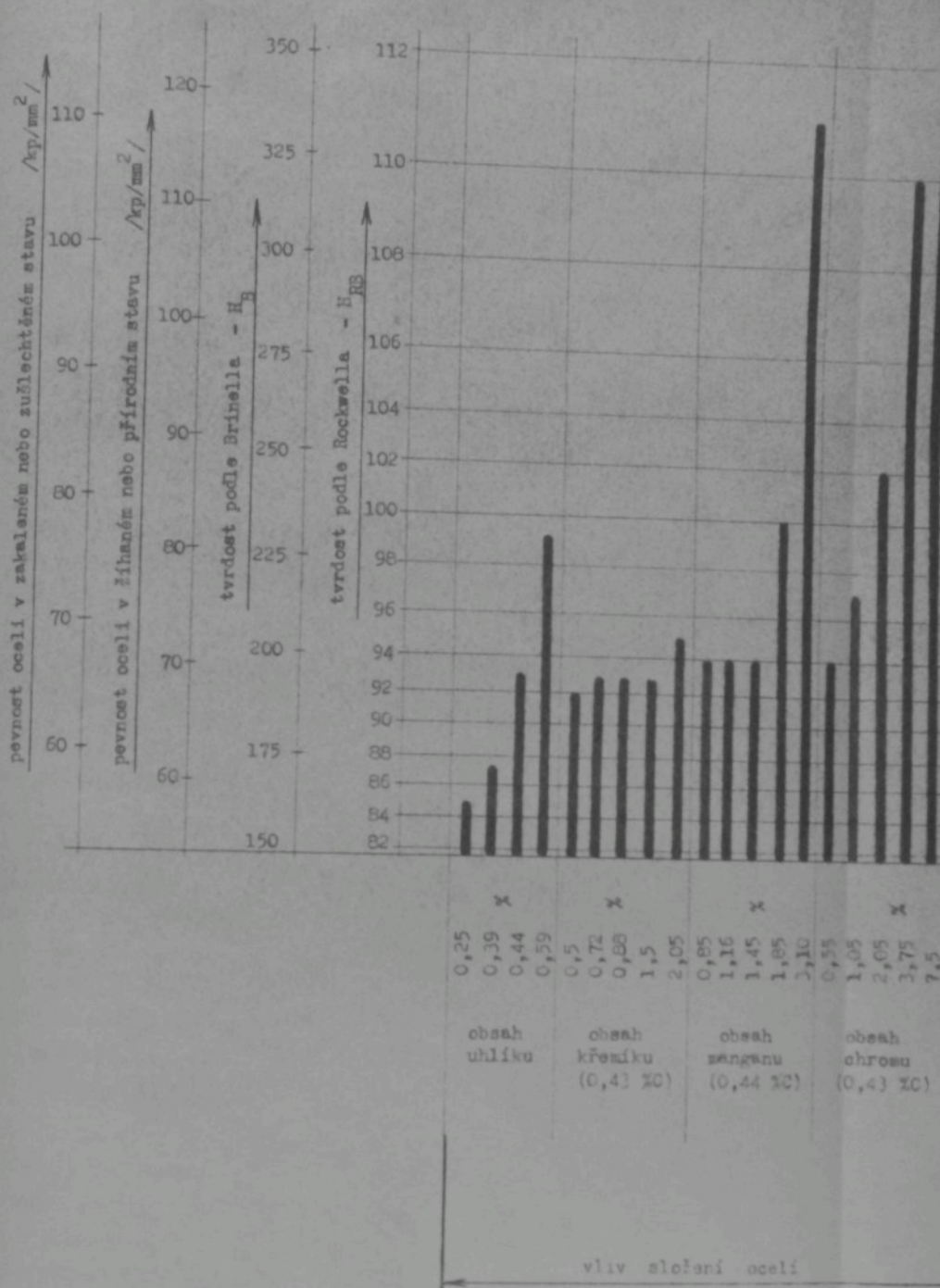
Tvrdost zkoušebních odlitků byla sledována u všech odlitků vždy v jednom místě 1 mm pod povrchem odlitku, a to na ploše rovnoběžné s plochou metalografického výbrusu na průřezu I /viz.obr. 5.8/, protože tento průřez /ve smyslu kap. 5.4.1/ bude méně náhylný k výraznému ovlivnění struktury vlivem teplotního pole vtokového kálu než průřez tenké. Tvrdost v tomto průřezu bude tedy obrážet vliv různých parametrů na výslednou strukturu a vlastnosti, zejména ve vztahu ke své hodnotě R_{B} , a to jak při chladnutí odlitku ve formě, tak i na vzduchu.

Veškeré hodnoty tvrdosti byly měřeny metodou Rockwelleovou /kuličkou H_R , protože tato metoda se ukázala v našich podmínkách jako výhodnější nejen pro svoji rychlosť, ale také pro menší náročnost na kvalitu povrchu měřené plochy ve srovnání s metodou Brinellovou /# kuličky 1 mm/. Tvrdost byla měřena

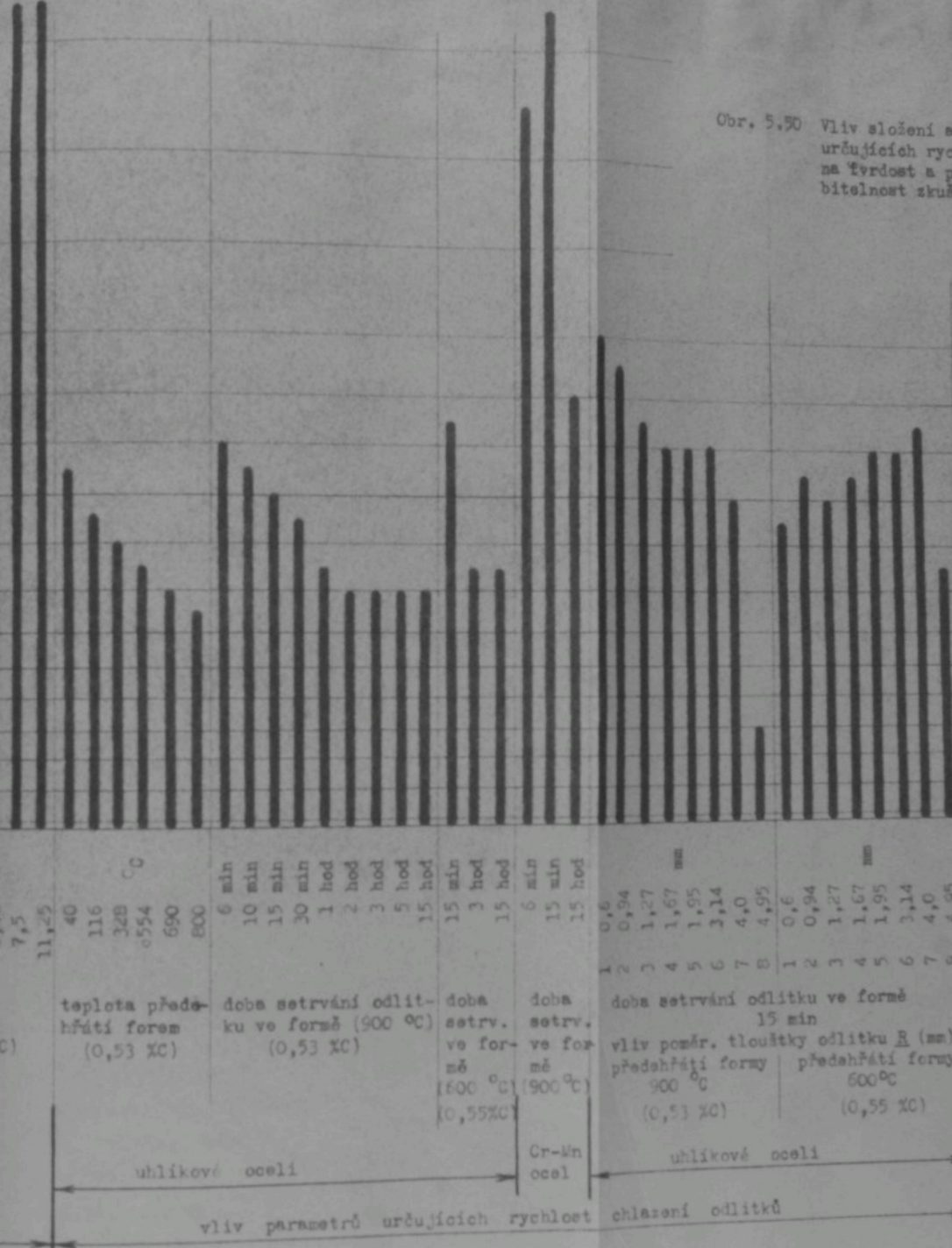
na obroušené ploše 13×12 mm ve třech místech. Střední hodnoty naměřených tvrdostí jsou graficky vyznačeny pro různé podmínky odlévání a složení materiálu na obr. 5.5c. Na svislé osě tohoto diagramu je HR_B vynesena v ne- rovnoměrné stupnici tak, aby z ní přepracovaná hodnota tvrdosti HB měla rovno- měrně stoupající tendenci. Teprve teto uspořádání ukazuje skutečné relace v tvrdosti vzorků a event. relace pevnosti v tahu σ_{Pt} .

Hodnoty tvrdosti naměřené na průřezu I u odlitků ochlazovávaných ve formách až na normální teplotu opravňují k těmto závěrům:

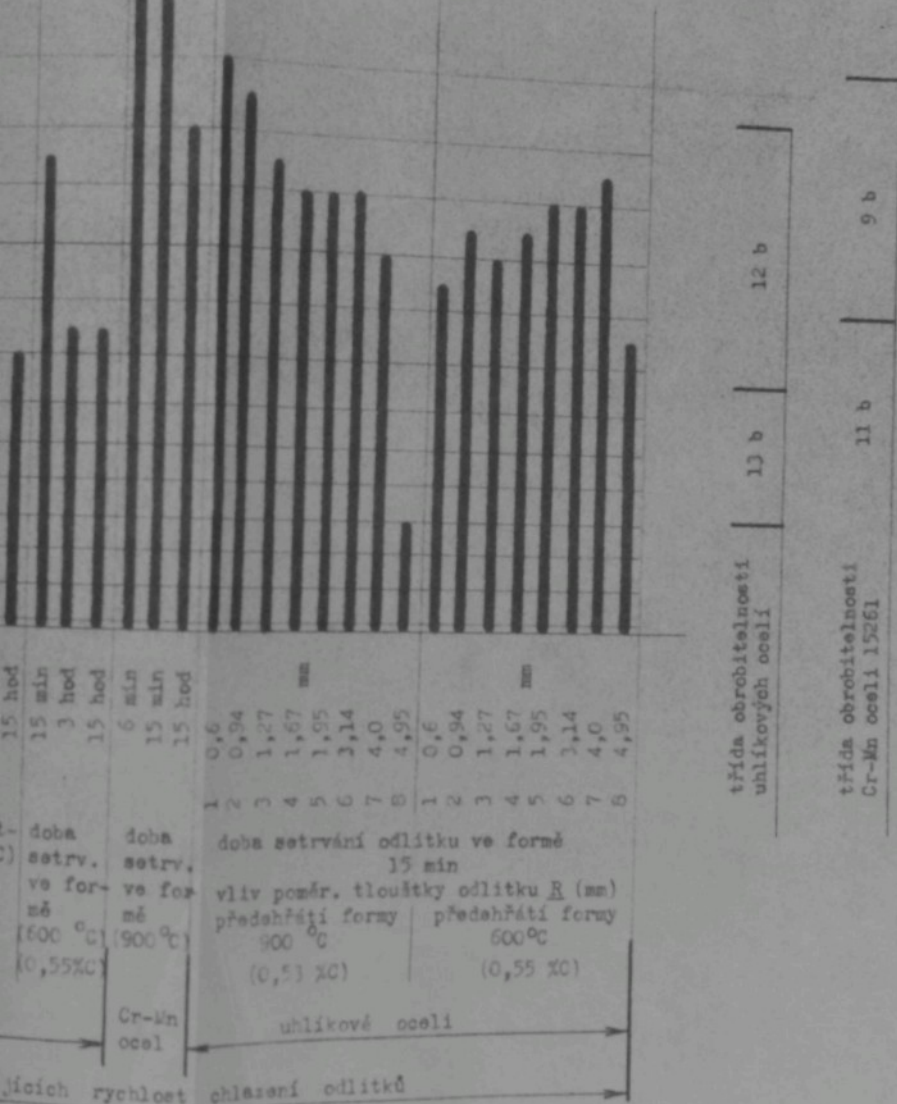
- a/ Vliv jednotlivých prvků v oceli, t.j. uhlíku, křemíku, mangani a chromu se projevil v obvyklých mezích, t.j. v rozsahu nejčastěji užívaných obsa- hů v konstrukčních ocelích /Si do 0,5 až 1,0 %, Mn a Cr do 2 %/ se zvýšila tvrdost úměrně jejich množství v oceli. Uhlík vykazuje při nižších obsa- zích legujících prvků největší vliv na výslednou tvrdost odlitků. Při vyšších obsazích Mn a Cr došlo z části k přeměně austenitu na martensit a bainit, což se projevilo zvýšením tvrdosti /srovnej s kap. 5.4.2.1/.
- b/ Vlivem klesající teploty předeřítí forem stoupá rychlosť chlazení odlitků a mírně vzrůstá i tvrdost u uhlíkové oceli však nedochází k přeměně na bainit nebo martensit.
- c/ Vlivem rychlejšího chlazení odlitků se skořepinami vzdudem po jejich vy- jmutí z forem za dobu 2 hod. až 6 min. /po odlití/, zvyšuje se tvrdost úměrně zvýšené rychlosti chlazení. Při chladnutí odlitků ve formách po dobu 2 hod. a delší /s následujícím chlazením vzdudem/ se tvrdost již nemění, protože přeměna austenitu je již ukončena před vyjmáním odlitků z forem /srovnej s obr. 5.44/. U odlitků z forem předeřítých před odlé- váním na nižší teploty než 900°C , se projeví zvýšení rychlosti chlazení odlitků poněkud výraznějším vzestupem tvrdosti. U odlitků z Mn-Cr ocelí, ochlazovávaných na vzdudem po době setrvání ve formě 6 a 15 min., vykazuje v souvislosti se vznikem bainiticko-martensitické struktury i tvrdost vysoké hodnoty. Tyto poměry odpovídají témař poměrům při tepelném spraco- vání oceli ČSN 15261, která má přibližně stejné složení [82].
- d/ Vliv různé rychlosti chlazení jednotlivých průřezů odlitků, charakteriso- vaných poměrnou tloušťkou odlitku R, ukazuje více méně pravidelný vzrast tvrdosti s klesajícím R při ochlazování odlitků na vzdudem po 15 min. po odlití do forem předeřítých původně na 900°C . Jestliže však výchozí teplota forem před odléváním byla pouze 600°C , jsou poměry zdánlivě neusporelávané, protože průřez I, který je témař největší, vykazuje nejvyšší tvrdost.



Obr. 5.50 Vliv složení a určujících rychlostí na tvrdost a pevnitelnost zkoušek



Obr. 5,50 Vliv složení a různých parametrů určujících rychlosť chlazení odlitků na tvrdost a pevnost, příp. obrobitelnost zkoušebních odliteků.



Vysvětlíme nejprve poměry v případě forem předehřátých na 500°C . Podle obr. 5.44 mají průřezy 1,2,3,4 a 5 po dobu 15 minut po odlítí téměř stejnou teplotu cca 830 až 860°C , což je teplota vhodná právě ke kalení této oceli. Jestliže odlitek při těchto teplotách začne spolu se skořepinou chladit vzduchem, bude rychlosť chlazení nejtenšího průřezu největší. Navíc v prvních okamžicích po vyjmnutí odlitků z forem, klesá velmi rychle teplota vlivem neusporádaného tepelného stavu a projeví se tedy největším vztuštěm tvrdosti u tenkého průřezu. Naopak průřez 8 bude chladnout z teploty vyšších a přes teploty přeměny bude už procházet bezpochyby ve stavu regulérní fáze poměrně pomalu.

U forem předehřátých původně na teploty 600°C dojde analogicky obr. 5.44 k rychlému chlazení odlitku po ztuhanutí, avšak teploty v jednotlivých průřezech se budou v tomto případě bližit teplotě 600°C , která už leží pod teplotami přeměny oceli. Podle výsledků naměřené tvrdosti se dá tedy předpokládat, že za tohoto stavu po 15 min. po odlítí měly průřezy 1,2,3, a 4 teplotu buď v intervalu teplot přeměny nebo nižší - proto se zvýšení rychlosti chlazení vzduchem neprojevilo - a průřezy 5,6 a 7 teplotu právě těsně nad A_3 , čili prudké zvýšení rychlosti chlazení vyvolalo zvýšení tvrdosti. Také průřez 8 jeví známky poněkud rychlejšího přechodu přes teploty přeměny.

Výsledky tvrdosti zkusebních vzorků posloužily jednak pro kontrolu závěrů o rychlosti chlazení zkusebních vzorků /kap. 5.4.1/, jednak pro posouzení provozní použitelnosti v tom smyslu, že je možno volit pouze takovou rychlosť chlazení, aby výsledný odlitek byl ve stavu po odlítí - bez žádání - schopen případného třískového obrábění. Tyto podmínky splňují téměř všechny vzorky z uhlíkové oceli s $0,5$ - $0,6\%$ C, protože i při nejvyšších rychlosťech chlazení změní se jejich obrobitelnost pouze o 1 třídu /z třídy 12 b na 12 b/ do pevnosti cca 90 kp/mm^2 / 269 HB / . V případě použití oceli Cr-Mn dojde však k výraznějšímu poklesu obrobitelnosti - až na třídu 11 b, kdy zvýšená pevností 110 kp/mm^2 / 331 HB / až na třídu 9 b, což je již pro obvyklé způsoby obrábění zcela neúnosné.

Pro Cr-Mn oceli z toho vyplývá důležitý závěr, že jejich aplikace by nevyžadovala prakticky žádnou úpravu stávajícího technologického postupu ve slévárnách, protože oduhlíčování lze zabránit již za obvyklých podmínek odlehání a chlazení forem a odlitků, dokonce bez ochranných vrstev na skořepině. Tato skutečnost dává dobré předpoklady pro další slibný vývoj těchto materiálů nejen z hlediska zábrany oduhlíčení, ale též z hlediska zlepšení pevnostních vlastností odlitků.

6. DISKUSE VÍSLEDKŮ VLASTNÍCH ZKOUŠEK A MOŽNOSTÍ JEJICH PRAKTICKÉHO VYUŽITÍ.

Výsledky teoretického rozboru podstaty oduhlíčovacích reakcí a výsledky vlastních experimentů provedených převážně k jejich ověření opravňují ve srovnání s dosavadními literárními údaji a zkouškami jiných autorů k několika dílčím závěrům, které můžeme ve smyslu kapitol 3,4 a 5 rozdělit na dvě základní skupiny:

- a/ základní principy reakcí a tendence vlivu jednotlivých faktorů
- b/ metody boje proti oduhlíčování přesných ocelových odlitků

6.1. Základní principy reakcí a tendence vlivu jednotlivých faktorů.

Vlastními zkouškami byl plně potvrzen názor řady literárních pramenů na podstatu oduhlíčování přesných ocelových odlitků jakožto jednoho druhu reakcí formy s kovem. Jedná se převážně o okysličování a oduhlíčování vzduchem kyslíkem nebo atmosférami s nízkým uhlíkovým potenciálem. Případné reakce uhlíkových nebo nízkolegovaných konstrukčních ocelí s obvyklým keramickým materiálem skořepin / SiO_2 / nepřicházejí při běžných parametrech odlévání za normálního tlaku v úvahu /kap. 4.3.5/ a nelze tedy kyslík jakožto produkt takových reakcí považovat za hlavní zdroj kyslíku pro okysličování a oduhlíčování.

O obou těchto zcela zásadních skutečnostech přesvědčuje zejména výsledek zkoušky s tavidlem VUS 152 ve skořepině /kap. 5.3+2 - obr. 5.26/, kdy bylo pouze mechanickou zábranou přístupu oxysličující atmosféry zcela zabránilo oduhlíčování právě u nejlustších průřezů, které tuhnou a chladnou nej pomaleji a tedy delší dobu setrvávají při vyšších teplotách. Současně bylo ovšem prokázáno, že vyjímečně mohou nastávat přímo i reakce ocelí /vázaného uhlíku/ s křemennou skořepinou za předpokladu vysokých licích teplot a delší doby setrvání oceli v tekutém stavu /větší průřezy/, pokud bude ocel obsahovat malé nebo velmi malé obsahy křemíku a pokud skořepina bude na povrchu tvořena větším množstvím reaktivního SiO_2 /z gelu/.

Na výslednou hloubku oduhlíčení má vliv složení oceli, a to jak obsah uhlíku, tak i doprovodných i legujících prvků. Na rozdíl od literárních pramenů [5 - 9] se vlastními zkouškami i teoretickým rozborom /kap. 4.3.1 - obr. 4.2/ prokázalo, že u ocelových odlitků hloubka oduhlíčování vlivem obsahu uhlíku nejprve stoupá až do obsahu cca 0,5 % C; při dalším zvyšování obsahu uhlíku však oduhlíčování opět klesá.

Rozdílné názory literatury lze vysvětlit poměrně jednoduše tím, že autoři [6 - 9] vyslovili názor na zvětšování hloubky oduhlíčení se stoupajícím

obsahem uhlíku zcela oprávněně a nikoliv v rozporu se skutečností, protože jejich výzkumy se týkaly ohřevu tvářených ocelí. Pro tyto podmínky je možno uvedený literární názor [6 - 9] potvrdit i podle diagramu na obr. 4.1. tím, že pro ohřev libovolné uhlíkové oceli až do obsahu uhlíku 1,4 % C na kteroukoliv teplotu až do 1300°C platí závěry autorů [6 - 9]. Do těchto širokých hranic je tedy možno zařadit témař všechny případy ohřevu obvyklých ocelí jak pro tepelné zpracování tak i pro tváření za tepla.

V případě odlitků, které tuhnou z chladnou z vyšších teplot, začne se však projevovat nejen vliv obsahu uhlíku - a to zcela stejně jako u ocelí tvářených, ale i další vliv snižující se teploty tuhnutí s rostoucím obsahem uhlíku, čímž se zmenšuje teplotní interval chladnutí odlitků - zkrátí se především doba chladnutí za velmi vysokých teplot, kdy rovnovážné uhlíkové potenciály dosahují hodnot blízkých lecc /viz. obr. 4.1/. Pravděpodobným opomenutím vlivu snižování teplot tuhnutí nebo méně kritickým převzetím literárních údajů z oboru ohřevu ocelí lze vysvětlit i tvrzení KEPERA [5], který je vyslovil v souvislosti s oduhlíčováním odlitků.

Vliv obsahu dalších prvků v oceli - Si, Mn, Cr, Ni a pod. - se řídí jejich vlivem na aktivitu uhlíku v oceli a současně i na difuzní rychlosť uhlíku, zejména v austenitu. Obecně lze konstatovat, že Mn, Cr a další karbidotvorné prvky svou přítomností v oceli výrazně snižují hloubku oduhlíčení, zatím co Si, Ni a další nekarbidotvorné prvky bud na hloubku oduhlíčení nepůsobí nebo se dá předpokládat spíše zvětšení hloubky oduhlíčení. I v případě vlivu různých doprovodných a legujících prvků je nutno zdůraznit literárně dosud nepopsané komplexní stanovisko při posuzování celého děje oduhlíčování - jednak z hlediska průběhu a podmínek pro chemickou reakci rozkladu Fe_3C , t.j. vlivu prvků na aktivitu uhlíku, a jednak i z hlediska podmínek pro difusi uhlíku do místa reakce, t.j. vlivu prvků na difusní koeficient uhlíku v oceli /kap. 5.3.1/.

Z hlediska materiálu formy se projevují vlivy všech součástí formy, t.j. keramické skořepiny, výplňové směsi i kovového rámu.

Vlastními zkouškami nebyl potvrzen KEPEREM [5] přeceněný význam prodyšnosti keramické skořepiny, vyrobené obvyklými postupy. Příznivě se projevil pouze extrémní případ, kdy byla během tuhnutí a chladnutí vytvořena skořepina zcela neprodyšná /2 obaly z tavidla VUS 152/ nebo téměř neprodyšná přísladnou skelného prachu nebo kyseliny borité do obalové směsi posledního obalu. ŠAGEJEVEM [25] doporučený přídavek kyseliny borité do obalové směsi se neukázal doslova účinný a naopak při zkouškách se skořepinou s přídavkem OB-tmelu se hloubka oduhlíčení zvětšila.

Velmi dobrých výsledků bylo dosaženo přídavkem nauhličujících látok přímo do prvních obalů skořepiny, přestože vyzkoušený způsob přídavku pryskyřice OB-tmel bude pro provozní použití vyžadovat propracování vhodného způsobu nasycování skořepiny vhodnou organickou přísadou. Z tohoto hlediska lze dle vlastních zkoušek příznivě hodnotit i jiné a v podstatě shodné postupy - např. přísadu uhlíku nebo sycení skořepin tvrdými vosky podle ŠAGEJEVA [25] a KONOHOVÁ [11].

Vlastními zkouškami byly získány konkrétnější a kvantitativně srovnatelné údaje o nepříznivém působení okuí a zokujených ocelových sbytků ve výplňové směsi a o působení kovových rámů z uhlíkových ocelí, čímž lze dosavadní literární názory doplnit, zejména zdůrazněním významu soustavného sledování čistoty a úpravy výplňové směsi; to se týká i jejího zrnění - zrno má být co největší.

Velmi výhodným způsobem pro snižování, případně i odstraňování oduhlíčení se jeví přídavek nauhličujících látak do výplňové směsi. Největší vliv má tento přídavek hlavně u čisté výplňové směsi, kdy lze za obvyklých podmínek oduhlíčení zcela zabránit, avšak přídavek do staré a okujemi znečištěné výplňové směsi je méně účinný.

Vliv přípravy taveniny, t.j. způsobu desoxydace a výše licí teploty se ve shodě s literárními prameny ukázal méně výrazný, pokud se příprava taveniny provádí obvyklými postupy a odlévá se materiál s obvyklým menším přehřátím. Na rozdíl od literárních pramenů byl zjištěn pokles relativní hloubky oduhlíčení při velmi vysokých licích teplotách; tento jev je možno vysvětlit neúměrným prodloužením doby tuhnutí a chladnutí odlitků a tím i intensivnějším okysličováním odlitků v oblasti vysokých teplot.

Ve srovnání s dosavadními názory byly vlastními zkouškami zpřesněn význam vlivu snižené předehřívací teploty form /pod 900°C / u keramických skořepin na basi SiO_2 . Bylo zjištěno, že tento faktor působí významně pouze do teplot $550^{\circ}\text{C} - 500^{\circ}\text{C}$, přičemž praktický význam lze přisoudit snížení teploty pouze do 600°C s ohledem na objemové změny SiO_2 - skořepiny při nižších teplotách.

Odlévání form v ochranných atmosférech lze považovat u nás zatím za sotva reálné a technicky obtížně realisovatelné. Také jiné způsoby vytváření redukční atmosféry ve skořepině použitím organických sloučenin /trichlor-ethylen, CCl_4 a pod./ se nejeví technicky výhodně a též méně vhodně z hlediska hygiény a bezpečnosti práce.

Metoda ochlazování odlitků po odlítí v ochranných atmosférách, jak doporučují některé literární prameny je sice vhodná, avšak bezpochyby dosti

nákladná a technicky náročná. Podle výsledků vlastních zkoušek je velmi jediné brzké vyjímání odlitků /spolu se skořepinou/ z výplňové směsi krátce po odlití, nejpozději do 10 až 15 minut, případně 30 minut. Tímto způsobem lze dosáhnout ochlazení odlitků na vhodné teploty během několika desítek minut, zatímco ve formách by chlazení na tytéž teploty trvalo řádově hodiny /kap. 5.4.1/. Za předpokladu individuálního chlazení nebo rovnoměrného intenzivního chlazení skupiny forem lze v tomto směru doporučit i odlévání samo-nosných skořepin.

Podle teoretických úvah a smyslu některých literárních pramenů nelze zodpovědně doporučit ofukování skořepin vlhkým vzduchem nebo vzduchem s parou, protože může nastávat oduhlíčování vodíkem či přímo vodní parou. Zrychlené chlazení odlitků ofukováním suchým vzduchem může být za předpokladu intenzivního chlazení velmi účinné.

Za postatný přínos vlastního teoretického rozboru je nutno považovat stanovení hodnot rovnovážných uhlíkových a kyslíkových potenciálů atmosféry při reakcích oduhlíčování a okysličování ocelí s různým obsahem uhlíku i ostatních prvků, a to až k teplotám tuhnutí i pro taveniny. Způsob jednoduchého grafického řešení umožňuje rychlé a přehledné stanovení rovnovážných podmínek /viz. obr. 4.1/. Význam kvantitativního stanovení rovnovážných potenciálů v závislosti na teplotě vyniká zejména v souvislosti se stanovením rychlosti chladnutí jednotlivých částí odlitků v různých teplotních intervalech od teploty tuhnutí až k teplotám přeměny.

Z termodynamického řešení podmínek pro oduhlíčování a okysličování odlitků vyplývá i další literárně dosud nepopsaný, avšak technicky velmi významný vliv tlaku atmosféry, resp. součtu parciálních tlaků $/CO + CO_2/$ na rovnovážné podmínky při oduhlíčování. Použitím sniženého tlaku vakua či inertní atmosféry se "rozředuje" atmosfera $/CO + CO_2/$ potřebná k zábraně oduhlíčování a proto by bylo naopak vhodné spíše zvýšení celkového tlaku atmosféry nebo alespoň parciálního tlaku CO. Zvýšení celkového tlaku může být přimávivé i pro zábranu reakcí vázaného uhlíku v oceli s keramickým materiálem formy tím, že posune rovnovážné parametry k vyšším teplotám, zatímco při snižování tlaku bude již při obvyklých teplotách při odlévání oceli větší pravděpodobnost projevu uhlíkové reakce.

Kysličovací reakce je možno naopak bezem ^{výhodou} změny atmosféry $/CO + CO_2/$ brzdit až zcela zastavit snižováním tlaku nebo použitím inertních plynů a získat tak odlitky s kovově lesklým povrchem.

Protože k zábraně oduhlíčování u obvyklých uhlíkových a nízkolegovaných ocelí je třeba dosáhnout vysokých hodnot uhlíkového potenciálu atmosféry, nejeví se dosti dobré možné realizovat tyto hodnoty v celém objemu formy, ale výhodněji pouze v objemu skořepiny nebo přímo v místě reakce, t.j. bezprostředně na rozhraní skořepina-odlitek. Tímto opatřením se také do značné míry budou kompenzovat již zmíněné vlivy znečištěné výplňové směsi a kovových rámů, hlavně pak v případech, bude-li atmosfera skořepiny oddělena od skořepiny formy nepropustnou ochrannou vrstvou /kap. 5.3.6/.

Z hlediska zábrany oduhlíčování je nutno řešit velmi odpovědně i konstrukci celé formy a uspořádání vtokové soustavy nejen z hledisek plnění forem kovem, ale také z hledisek tepelných, hlavně významného vlivu tepelného pole vtokového kúlu a jednotlivých odlitek, včetně způsobu umístění odlitků na vtokové soustavě. Na základě vlastních měření a výpočtů nelze považovat za správnou dosavadní praxi, kdy se ve většině případů vytváří vtoková soustava tak, že tepelné pole vtokového kúlu z části nebo zcela překrývá tepelné pole jednotlivých odlitků /kap. 5.4.1/.

6.2. Metody boje proti oduhlíčování přesných ocelových odlitek.

Metody pasivního charakteru, t.j. metody, které vzniklé oduhlíčení dosudatečně napravují, nelze ani z technických, ani z ekonomických důvodů odpovědně doporučit, zvláště při dnešním ne právě příznivém vybavení tuzemských sléváren přesného lití zařízeními pro tepelné zpracování.

Z aktivních metod je možno podle výsledků vlastních zkoušek, skušeností našich sléváren a dosavadních literárních údajů navrhnut několik druhů postupů, které by byly pro obvyklý provoz sléváren přesného lití s ohledem na jejich kapacitu a sortiment technicky i ekonomicky výhodné.

Jedná se o zdůraznění několika materiálových a technologických tendencí, realisovatelných úpravami stávající technologie, avšak pouze pro ty případy, kdy bude technicky nutné vyrábět odlitky s malou hloubkou oduhlíčení nebo bez oduhlíčení vrstvy:

- 1/ odlévat místo uhlíkových konstrukčních ocelí se středním nebo vysokým obsahem uhlíku oceli nízkolegované, hlavně Mn-Cr oceli
- 2/ používat nauhlíčujících prostředků pouze do čisté výplňové směsi, prostě okují a kovových zbytků
- 3/ vytvářet ochranné nepropustné vrstvy v posledním obalu skořepiny k zábránění přístupu ovzduší a atmosféry formy do skořepiny

- 4/ přidávat do stěny skořepiny nauhličující látky nebo látky, které svým rozkladem vytvoří atmosferu o vysokém uhlikovém potenciálu
- 5/ zvýšit rychlosť chlazení odlitků ve všechn průřezech v teplotním rozmezí od teploty tuhnutí až k teplotám přeměny $T \rightarrow \infty$.

Všechny tyto zásadní tendenze jsou vyjádřením vlivu těch teoreticky i experimentálně ověřených parametrů, které nejintensivněji působí na kinetiku oduhlíčování a proto právě jejich cílevědomé řízení - nejlépe při současném uplatnění několika uvedených zásad - může přinést žádaný úspěch. Materiál odlitku, zejména obsah slitinových prvků v ocelích, hraje významnou úlohu v úspěšném boji proti oduhlíčování. Vzhledem ke specifickým poměrům při výrobě přesných ocelových odlitků je nutno podle našich zkoušek volit materiál přesného odlitku mimo jiné i s ohledem na možné oduhlíčování odlitku a možnosti jeho omezení. Toto nové významné hledisko při výběru materiálu odlitku by mělo být respektováno i v připravované normě materiálů pro výrobu přesných odlitků z konstrukčních a nízkolegovacích nástrojových ocelí. Pro výrobu odlitků s minimální hloubkou oduhlíčení lze přednostně doporučit použití nízkolegovacích Mn-Cr-ocelí místo ocelí uhlikových.

Vlastními zkouškami bylo v laboratorním měřítku ověřeno nebo vypracováno několik dálé uvedených technologických opatření, kterými by bylo možno realizovat některé zásady provozné.

U všech dále uvedených výrobních postupů je nutno však respektovat několik obecných záasad a technologických předpokladů pro úspěšné řešení problému oduhlíčování, které vyplývají z výsledků provedených zkoušek:

- a/ Při konstrukci vtokových soustav postupovat tak, aby hlavně vtokový kábel měl rozměry úměrné velikosti a počtu odlitků. Také velikost rámu formy a množství výplňové směsi by mělo být pro dosažení co největšího ochlazovacího efektu úměrné množství odlitého kovu.
- b/ Keramické skořepiny na basi SiO_2 by měly být vyráběny tak, aby zejména první obal obsahoval na lící skořepiny pouze nejnutnější množství reaktivního SiO_2 /z gelu/; účelem obalové směsi je plnit funkci pojiva hrubého zásypového písku, v prvním obalu přesně reprodukovat nejjemnější relief modelu a vytvářet velmi hladký povrch odlitku.
- c/ Při práci se zasypanou skořepinou by měly být používány kovové rámy z vysoko legovacích ocelí nebo dle skúšeností zahraničních alitovaných rámy z uhlikových ocelí.
- d/ Výplňová směs by měla být alespoň občas kontrolovaná na zrnitost, obsah FeO a kovových zbytků; po několikerém použití by měla být zbavena zbytků

- keramiky /kusové či rozdrocené/, přesáta a zbavena okuji a kovových zbytků.
- e/ Formy /skořepina, výplňová směs, rám/ musí být dokonale vypalovány, aby před litím neobsahovaly nespálené nebo nezuhelnatělé organické zbytky vosků a aby byla odstraněna převážná většina vodiku a vodní páry ze skořepiny i celého prostoru kovového rámu.
- f/ Pokud to provozní podmínky dovolí, měly by být formy předehřívány /připraveny k lití/ na nižší teploty, křemenné skořepiny na minimální teplotu 600°C . Volba minimální předehřívací teploty se určí podle technologických nutných parametrů pro získání zdravých, dobře zaběhnutých odlitků a požadované produktivity žlážecích zařízení.
- g/ K odlévání by měla být zásadně používána ocel dobré metalurgicky připravená, zejména dokonale zdesoxydovaná a přehrátná pouze na technologicky nutnou licí teplotu.
- h/ Odlité formy by měly být ochlazovány co nejrychleji, avšak pouze vzduchem s obvyklým obsahem vlhkosti.

Při provedení realisace naznačených zásad technologického charakteru ve slévárnách přesného lití přicházejí v úvahu - hlavně v tuzemských podmínkách - tato doporučená technologická opatření k zábraně nebo omezení odhličování přesných ocelových odlitků:

- a/ Přísada cca 2 % cementačního prášku do nové event. čisté hrubozrnné výplňové směsi. Tato metoda je sice v rozsahu zkoušených podmínek spolehlivá, avšak zejména z hlediska kontroly složení a úpravy výplňové směsi je nevhodná ve slévárenské velkovýrobě a použitelná hlavně pro detaily se zvláštními nároky na nejménší odhličení.
- b/ Zvýšením rychlosti chladnutí odlitků krátce po ztuhnutí má za následek zmenšení tloušťky odhličení jak u uhlíkových, tak hlavně u nízkolegovaných ocelí. Rychlosť chladnutí snížíme buď odléváním sasonosných skořepin nebo vyjímáním odlitků z výplňové směsi krátce po ztuhnutí odlitků za 6 až 15 minut, maximálně 30 minut po odlítí s následujícím ochlazováním na vzduchu.
- c/ Vytvořením nepropustné ochranné vrstvy v posledním obalu skořepiny přidavkem lehcetajících látek - např. mletého skla, nebo kyseliny boritě - se dosudne významného snížení tloušťky odhličené vrstvy i v normálních SiO_2 -skořepinách. Analogicky ostatním postupům lze dosáhnout dalšího zlepšení zvýšením rychlosti chladnutí odlitků krátce po ztuhnutí.

a/ Přísada nauhličující látky přímo do prvních obalů skořepiny - např. grafit, tvrdé vosky, pryskyřice /OB-tmel/ a pod. - bude bezpochyby spolehlivým opatřením; dalšího zlepšení se dosáhne ještě vytvořením nepropustné ochranné vrstvy v posledním obalu přídavkem lehcetajících látek - např. mletého skla. Po odlití je nutno odlitky se skořepinami poměrně rychle ochladit na nižší teploty, např. jejich vyjmutím z výplňové směsi za 10 až 15 minut, maximálně za 30 minut po odlití a ochlazením na vzduchu.

e/ Přísada karbidů - nejlépe SiC-do 1, nebo 1, a 2, obalu skořepiny /do obalové směsi i zásypu/-m současně vytvoření ochranné nepropustné vrstvy v posledním obalu a při zvýšené rychlosti chladnutí odliků - ukázala též spolehlivé výsledky ve smyslu zábrany oduhličování.

Z těchto pěti různých technologických opatření pouze opatření ad a/, d/ a e/ jsou schopna oduhličení zabránit, opatření ad b/ a c/ hloubku oduhličení pouze snižují. Právě opatření ad d/ a e/ jsou v navrhované a laboratorně ověřené podobě příkladem současného využití a usměrnění několika výrazně působících vlivů. Ve všech případech lze kombinovat jednotlivá opatření s vhodněji voleným materiélem nízkolegovaným, je však nutno upravit podmínky chlazení v tepelném oboru přeměny $T_{+}\alpha$ tak, aby nevznikaly nevhodné produkty rozpadu austenitu - martensit nebo bainit.

Realisace uvedených technologických opatření /ad b/ až e/ přináší u některých opatření prakticky zanedbatelné zvýšení stávajících nákladů a to pouze v těchto položkách:

opatření ad b/ Při mechanizovaném vyjmání odliků z forem budou představovat odpisy na zařízení a jeho údržbu /asi 30 % pořizovací ceny/ odhadem 6000,- až 10000,- Kčs/rok.

Ve slévárně s kapacitou 200 t/rok tato položka představuje zvýšení ceny odliků o cca 30 až 50,- Kčs/t

opatření ad c/ Při použití přísady 5 % kyseliny borité /na váhu obalové směsi/ v posledním obalu bude spotřeba kyseliny borité na 1 t odliků cca 3,5 kg, t.j. zvýšení ceny odliků o 52,- Kčs/t.

opatření ad d/ Zahrnuje náklady ad b/, c/ a náklady na nauhličovací prostředky - např. při přídavku 0,7 % grafitu do hmoty skořepiny, bude jeho spotřeba na 1 t odliků 6 kg, t.j. 54,- Kčs/t.

Celkové zvýšení nákladů včetně b/ a c/ tedy představuje 136,- až 156,- Kčs/t.

opatření ad e/ Zahrnuje náklady ad b/, c/ a náklady na SiC. Náklady na SiC budou různé podle použité technologie.

Pro vytvoření jednoho obalu je potřeba podle původního postupu při zkouškách

do obalové směsi	16 kg/t	SiC prachu, t.j.	Bo,- Kčs/t
na zásyp	Bo kg/t	SiC písku, t.j.	400,- Kčs/t
Celkem na 1 obal :	96 kg/t	SiC	t.j. 480,- Kčs/t

V nejnepříznivějším případě použití 2 obalů představuje celkové zvýšení /včetně položek b/ a c/ 1042,- až 1062,- Kčs/t. Vzhledem k tomu, že největší vliv na zábranu oduhlíčení má přítomnost SiC v obalové směsi /obr. 5.38/, bude vhodné zvýšit obsah SiC v tuhé fázi obalové směsi z vyzkoušených 20 % na 50 % /zbytek křemenná moučka/ a zásyp provádět pouze křemenným pískem. Tím by celková spotřeba SiC na 1 t odlitků byla pouze 40 kg/t /při dvou obalech 80 kg/t/, t.j. zvýšily by se náklady o 200 až 400,- Kčs/t a celkové náklady /včetně ad b/ a c/ by vzrostly o 300,- až 500,- Kčs/t.

Ve srovnání s těmito náklady jsou náklady na nápravné nauhlíčování většinou několikanásobně větší. Pro ilustraci uvedme stručně průměrné náklady na cementaci v plynu v tuzemském zamízení Monocarb MOA 20/15 při zpracování obráběných dílců o váze od 0,3 do 20 kg.

<u>Monocarb MOA 20/15</u> /pořizovací cena včetně montáže	228.000,- Kčs/
roční odpisy /18 %/	41.000,- Kčs
roční odpisy GO /11 %/	25.200,- Kčs
roční náklady na údržbu	35.000,- Kčs
elektr.energie /prům. spotř. 70 kWh/hod	
při 8 hod. cement. cyklu/	ročně 10.840,- Kčs
chladičí voda /spotřeba 0,72 m ³ /hod/	ročně 5.700,- Kčs
cementovační kapalina /50 % petrolej +	
50 % ethylalkohol/ → /spotřeba 0,35 l/hod/	ročně 4.580,- Kčs
Provoz cementace celkem	ročně 122.320,- Kčs

<u>Chladící komora</u> /pořizovací cena včetně montáže	120.000,- Kčs/
roční odpisy, odpisy na GO a údržba	ročně 40.000,- Kčs

<u>Mzdy</u> - uvažuje se, že 1 pracovník obsluhuje 2 peci Monocarb	
a 1 chladicí komoru	- mzdy ročně /za 3040 hod./ 24.320,- Kčs

Celkové náklady na cementaci

v 1 peci Monocarb při třísmenném

provozu

186.640,- Kčs

Tyto náklady se projeví v nákladech na vahovou jednotku výrobků podle skutečné délky cementačního cyklu a vahového objemu vsázky. Čím budou součásti menší nebo tvarově složitější, tím se bude váha vsázky snížovat, bude se snižovat využití pece a náklady na vahovou jednotku výrobků porostou. Tabulka 6.1 ukazuje tyto poměry v příkladu 8 hodinového cementačního cyklu.

Tabulka 6.1

Celkové náklady na cementaci - ročně - Kčs	186.640 Kčs		
Cementační cyklus 8 hod počet cyklů ročně při trisměnném provozu	760		
Průměrné náklady v Kčs na 1 cyklus	246		
Váha vsázky (kg)	150	200	250
Průměrný výkon cementace (kg/hod)	18,7	25	31,3
Roční kapacita cementace v jednom zařízení Monocarb (t)	113	152	190
Náklady na cementaci 1 t výrobků (Kčs/t)	1640	1230	985

Podle stávajících zkušeností je možno připravit např. z 0,9 kg těžkých součástí /pístních čepů/ vsázkou o max. váze 228 kg výrobků. Analogicky tomuto případu je však možno prohlásit, že u většiny přesných selenových odlitek bude vzhledem ke tvaru a váze odlitků váha vsázky podstatně nižší a bude se pohybovat nejčastěji kolem 150 kg max. 200 kg - viz.tab. 6.1.

Z tohoto příkladu je vidět, že náklady na nápravné nauhlíčování odlitek v plymu se budou pohybovat pravděpodobně v mezích 1200 až 1700 Kčs/t. Srovnání těchto nákladů s předpokládanými náklady na navržená technologická opatření uvádí tab. 6.2.

Tabulka 6.2

Nápravné nauhličování		cca 1200 - 1700 Kčs/t	
Technologická opatření	Náklady Kčs/t	% z nákladů pro nápravné nauhličování	
b/ zrychlené chlazení odlitků	30 až 50	2,5 až 4,2	
c/ vytvoření ochranných nepropustných vrstev	52	3,0 až 4,3	
d/ nauhličující prostředky do skořepiny, včetně b/ a c/	136 až 156	8,6 až 12	
e/ přídavek SiC do skořepiny včetně b/ a c/	vyzkoušený způsob /zobaly SiC/ upravený způsob	1042 až 1062 300 až 500	63 až 89 18 až 40

Toto srovnání nákladů na nápravné nauhličování s náklady na navržená technologická opatření není však úplné, protože vyloučení nápravného nauhličování přinese dále:

- a/ uvolnění, resp. zmenšení výrobní plochy
- b/ uvolnění, resp. zmenšení meziskladů
- c/ zmenšení nároků na vnitropodnikovou dopravu
- d/ snížení rozpracovanosti a zkrácení výrobního cyklu
- e/ uvolnění případných stávajících kapacit pro cementaci

Výsledky tohoto pouze informativního ekonomického hodnocení ukazují na značný technicko-ekonomický význam navrhovaných opatření, které nebyly ještě dostatečně doceněn, protože náklady na případné nápravné nauhličování bývají skryty v režijních poleškách společně se skutečnými režijními náklady; závěry se též zcela shodují se zkušenostmi americké firmy Hitchiner Co [34], která považuje nauhličování přesných ocelových odlitků za postup dokonce značně dražší než je obvyklá cementace součástí s obroběným povrchem, a to i v tom případě, že se nápravné nauhličování provádí v moderních, automaticky řízených, průběžných cementačních pecích.

7. ZÁVĚRY

Předložená práce se zabývá studiem mechanismu a z části též kinetikou okysličování a především oduhlíčování povrchu přesných ocelových odlitků vyráběných metodou vytavitevního modelu ve žhavých keramických formách.

Tento problém byl řešen obecně teoreticky na základě fyzikálně-chemických zákonitostí a vyústil ve vlastní způsob grafického řešení, které dovoluje zahrnout do výpočtu vliv obsahu uhlíku a doprovodných prvků, přítomnosti okruje, některých karbidů a silikátů, složení a tlaku atmosféry na rovnovážné poměry oduhlíčovacích reakcí u slitin Fe-Fe₃O, a to v závislosti na teplotě. Neprámo dovoluje tento způsob řešení určovat i pravděpodobný vliv některých technologických činitelů na průběh oduhlíčovacích reakcí.

Experimentálně byly ověřovány výsledky a tendenze teoretického řešení studiem celé řady různých parametrů na výslednou hlesubku oduhlíčení odlitků z uhlíkových a nízkolegovaných ocelí s obsahem uhlíku 0,5 až 0,6 % C, u kterých probíhá oduhlíčování nejintensivněji. Byly sledovány hlavně vlivy materiálu formy, materiálu odlitku, přípravy forem pro lití, způsobu a rychlosťi ochlazování, atmosféry formy i skořepiny a konstrukce odlitku i celé formy.

Teoretickým rozborém i experimentálními pracemi byly jednak potvrzeny a rozšířeny některé dřívější literární poznatky, jednak byly získány poznatky a údaje zcela nové; použitím jednotné metodiky, vhodného zkusebního vzorku a t.zv. "standartních podmínek odlévání" bylo možno hodnotit a srovnávat kvantitativně působení různých studovaných vlivů a parametrů na hlesubku oduhlíčení u ocelí se středním obsahem uhlíku a stanovit tak rozhodující a racionální směry v boji proti této vadě.

Podle výsledků práce lze vyslovit několik obecnějších závěrů výzkumného i praktického charakteru:

- a/ při běžných podmínkách odlévání za normálního tlaku nepřichází v úvahu reakce uhlíkových a nízkolegovaných ocelí s materiálem keramických forem na basi SiO₂
- b/ hlavním zdrojem kyslíku pro reakce okysličování a oduhlíčování povrchu ocelových odlitků je vzdušný kyslík nebo atmosféra s nízkými uhlíkovými potenciály
- c/ pro snížení nebo zabránění vzniku oduhlíčené vrstvy je třeba, jednak snížovat rovnovážný uhlíkový potenciál legováním ocelí malými obsahy karbidotvorných prvků, jednak zajistit vysoký uhlíkový potenciál atmosféry v místě

reakce snížením prodyšnosti keramické skořepiny, případně vytvořením nepropustných ochranných vrstev na skořepině a přídavkem nauhlíčujících látek do stěny skořepiny.

d/ vhodným doplňkem opatření ad c/ je zvýšení rychlosti chladnutí odlitků snížením přede hřívací teploty forem a lici teploty taveniny, vyjmáním odlitků z forem krátce po ztuhnutí a vhodnou konstrukcí celé formy, vtokové soustavy i rozmístění odlitků ve formě.

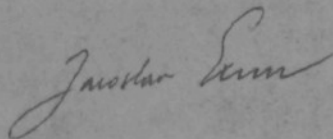
e/ částečného zmenšení hloubky oduhlíčené vrstvy lze dosáhnout již pouhým omezením vlivu těch faktorů, které nejvýrazněji snižují uhlíkový potenciál atmosféry skořepiny a rychlosť chlazení odlitků v oblasti vysokých teplot - neúčelně mohutné vtokové soustavy, neúmerně velké formovací rámy, okrajemi znečištěná a jemnozrná výplňová směs, dokonale nevypálené formy, ochlazování forem ve vlhkém prostředí, v inertních atmosférách nebo za sníženého tlaku, tavenina metalurgicky nedokonale připravená.

Zkouškami bylo laboratorně ověřeno několik technologických opatření k omezení nebo zabránění vzniku oduhlíčené vrstvy, a to jednak úpravou složení odlévaného materiálu, jednak úpravou atmosféry formy i skořepiny za současného zvýšení rychlosti chladnutí. Nejintensivněji a spolehlivě působícím opatřením je vytváření vhodné atmosféry v místě reakce, t.j. maximálně v objemu skořepiny, při současném mechanickém oddělení atmosféry skořepiny od atmosféry formy nebo ovzduší. Opatření, které k vytvoření atmosféry s vysokým uhlíkovým potenciálem využívá rozkladu karbidů přidaných do skořepiny, je předmětem patentní přihlášky autora. Provozní realisace navržených opatření bude vyžadovat podle konkrétních podmínek provozu drobné úpravy v technologickém postupu podle výsledků poleprovozních zkoušek.

Přestože z hlediska dosažených výsledků a návrhů na realisaci některých technologických opatření je podán poměrně široký komplexní pohled na mechanismus oduhlíčování plesných odlitků z ocelí se středním obsahem uhlíku, vyplývají ze řešení některé další závažné problémy, které nebylo možno v rozsahu této práce rozpracovat do příslušné šíře a hloubky. Do první skupiny patří zejména studium tepelného pole formy, mechanismu a rychlosti chladnutí odlitků ve skořepině, a to jak ve formě tak i mimo výplňovou směs, případně chladnutí samonosné skořepiny. Druhou skupinu otázek tvoří vliv podmínek chladnutí odlitků ve skořepině na výslednou strukturu a vlastnosti odlitku po odlítí při odlévání ocelí s různým chemickým složením.

Každá skupina otázek tvoří samostatný výzkumný problém a proto jsou v této práci informativně spracovány oba problémy pouze v konkrétních podmínkách zkoušek tak, aby bylo možno vysvětlit děje související s odůhličením odlitků.

Z uvedeného srovnání nákladů na cementaci obráběných součástí, které slouží jako reálný podklad pro posouzení provozních nákladů na nápravné odůhličování, s náklady na případnou realisaci některého z navržených technologických opatření přesvědčivě ukazují technicko-ekonomické přednosti a společenský význam výroby odlitků s povrchem neodůhličeným již ve stavu po odlití.



V Liberci 30.6.1966

Použitá literatura:

1. GULJAJEV B.B. : Problema vzaimodějstvíja litějnoj formy i otlivki.
= In: Vzaimodějstvíje litějnoj formy i otlivki.
Sborník red. Guljajev B.B. Moskva, Izdatělstvo AN SSSR
1962, str. 7 - 11.
2. PHELPS E.H. : Effect of oxidation after solidification on Casting Surface. = "Modern Castings" 44, 1963, č. 5, s. 574 - 579.
3. PATTERSON W., SCHNEIDER P. : Untersuchungen über die Oberflächenfeingestalt von Gusstücken. - Forschungsberichte des Landes Nordrhein-Westfalen, Nr. 962, Köl - Opladen 1961.
4. ODSTRČIL B., EXNER J. : Reakce taveniny a odlitku s keramickou formou - závěrečná zpráva úkolu F-6-20-4/2, etapa 3. Liberec, VŠST 1965.
5. KEIPER F. : Randsenkohlung bei Feinguss. = "Gießerei" 49, 1962, č. 9, s. 247 - 253.
6. PAŇKOV J.A. : Zaščita ot okyslenija i obzugleroživanija pri nagrevě stalej. - Disert.kandidátská práce. Charkovskij gosudarstvennyj universitet im. Gorkogo, Charkov 1960.
7. GOLOVNĚV I.P. : Naznačenije režimov nagревa dlja stali s učetom tolščiny okaliny, glubiny obzugleroživanija i razměrov zerna.
"Metallověděniye i třmičeskaja obrabotka metallov"
1958, č. 1., s. 49 - 55.
8. MOSKVIČEV G.S. a j. : Okislenije i obzugleroživanije vysokouglerodistych stalej. = In: Korroziya i zaščita stalej. Sborník red. Tomačov N.D., Moskva, Mašgiz 1959, s. 71 - 88.
9. ŽUK S.P., JEREMENKO L.P. : Vlijaniye sodržaniya ugleroda na gasovuju korroziyu uglerodistych stalej v vozduche. = In: Korroziya i zaščita konstrukcionnyh materialov. Sborník statí, red. Tomačov N.D., Moskva, Mašgiz 1961, s. 40 - 52.
10. VLASOV V.I. : Stalnoje litjo v metalličeskije formy. Moskva, Mašgiz 1951.

11. KONOSOV V.M., SIPICYN V.P. : Povyšenije kačestva površnosti otlivok iz teplostojkých stálej v točnom litíje po vyplavljajemym modeljam. = In: Litjo po vyplavljajemym modeljam. Sborník CINTIAM, Moskva 1964, str. 5 - 9.
12. Process developed to improve surface in certain alloys prone to defects. = "Metal Industry" 1962, December 27, č. 26, s. 523 - 525.
13. JAREŠ V. : Metalografie oceli. Praha, ČSAV, 1960.
14. KAZENNOV S.A. : Issledovaniye i razrabotka metodov ulušenija struktury i mehaničeskikh svojstv v otlivkach, izgotovljajemych po vyplavljajemym modeljam. = Disertační kandidátská práce. Moskovskoje vysšeje techničeskoje učilišče im. Baumana, Moskva, 1958.
15. HOUDREMONT E. : Handbuch der Sonderstahlkunde. I. díl. Düsseldorf 1956.
16. ERDMANN - JESNITZER F. a j. : Diffusionskornbildung in Eisenlegierungen. - "Archiv für Eisenhüttenwesen", 24, 1953, č. 5/6, s. 215 - 228.
17. SOKOL I.B. : Obžig i zalivka oboločkovych form izgotovljajemych po vyplavljajemym modeljam. = In: Vzaimodějství litějnoj formy i otlivki. Sborník red. Guljaev B.B. Moskva, Izdatelstvo AN SSSR 1962, s. 326 - 331.
18. TKAČENKO K.M. a j. : Formovočnyje materialy dlja litja po vyplavljajemym modeljam. = "Litějnoje proizvodstvo" 1963, č. 10, s. 1 - 3.
19. LJAŘ-CZIŘ-CZJAN : Vzondjstvíja teplotfizičeskikh svojstv oboločkovych form na mehaničeskije kačestva otlivok pri litju po vyplavljajemym modeljam. Disertační kandidátská práce. Moskovskij institut stali i splavov, Moskva 1963.
20. GORJUNOV I.I. : Defekty otlivok izgotovljajemych po vyplavljajemym modeljam. = In: Ulušenije kačestva stalnych otlivok. Sborník, Moskva, Mašgiz 1958, s. 165 - 177.

21. ŠKLENNIK I.J. a j. : Litje po vyplavljajemym modeljam. Moskva, Mašgiz 1962.
22. EXNER J. : Zpráva o studijní cestě do SSSR. - VŠST Liberec 1965.
23. ŠAPOROV E.P. : Kompenzacija obezugleroživanija. = "Litějnoje proizvodstvo", 1962, č. 6, s. 38.
24. IVANOV V.N. a j. : Okalinoobrazovaniye i obezugleroživanije otlivok, izgotovljajemych litjem po vyplavljajemym modeljam. = "Litějnoje proizvodstvo", 1961, č. 3, s. 19 - 21.
25. ŠAGEJEV Z.A., SIPICYN V.F. : Skorostnoje obrazovanije termostojkikh třešzonnykh obloček ... = In: Litje po vyplavljajemym modeljam. Sborník CINTIAM Moskva 1964, č.9 - 22.
26. MARSCH H. : Verfahren zum Verhindern der Randentkohlung von Gusstückn aus kohlenstoffhaltigen Legierungen. NSR - DAS Nr. 1 117 263 - 18.12.1953 /firma Sulzer AG/.
27. STUPIŠINA O.V. : Obzuglerožennyj sloj v otlivkach. = "Litějnoje proizvodstvo" 1959, č. 5, s. 36 - 38.
28. ODSTRČIL B. : Závěrečná zpráva úkolu F-6-2o-4/2, etapa I. Zkoušky vlastností keramických skořepin - VŠST Liberec 1965.
29. PELLER S. : Randentkohlung ein Beispiel aus der Praxis. * "Giesserei", 49, 1962, č. 15, s. 421 - 422.
30. DOŠKAŘ J. a j. : Přesné lití do keramických forem. Praha, SNTL, 1961.
31. TIHELKA B. : Nápravné nauhličování přesných odlitků. = "Přesné lití" informační správodaj vývojového střediska přesného lití Gottwaldov, 1962, č. 2, s. 50 - 54.
32. BROAD E.M. : Carbon restoration in investment castings. = "Precision Metal Casting" 1961, October, s. 86 - 87.
33. : Trio of furnaces adds carbon to investment castings. * "Iron Age" 190, 1962, October 25, s. 106 - 107.
34. BROAD E.M. : Annealing of carbon and low-alloy steel castings with closer surface control. = "Modern Castings", 44, 1963, č. 5, November, s. 583 - 594.

35. Ústní sdělení - praxe v n.p. Kdyněské strojírny
Kdyně /1965/.
36. EXNER J. : Cestovní zpráva o studijní cestě do Polské lidové republiky - VŠST Liberec 1962.
37. STRAŇÁK J. : Ústní sdělení ze zkušeností závodu Přesné strojírenství Uherský Brod - Uherský Brod 1965.
38. LJASS A.M. : Bystrotverdějučíje formovočnyje směsi. Moskva, Mašinostrojenije 1965.
39. GULJAJEV B.B. a j. : Litje iz tугоплавких металлов. Moskva - Leningrad, Mašinostrojenije 1964.
40. MINOWA S., KATO M. a j. : The reaction between molten steel and refractories - Part V.: The starting temperature between graphite and SiO_2 and Al_2O_3 . = "Rep.Gov., Ind. Research Institute", 10, 1961, March, s. 152 - 155.
41. ČSN 42 0496 - Mikroskopické stanovení hlcubky oduhlíčení ocelových poletovarů a součástí. ČSSR, ŠNÚ Praha květen 1953.
42. EXNER J. : Metody přesného odlévání ve vakuum. VŠST Liberec 1963.
43. VASIN J.P., ČERNOGOROV P.V. : Termodynamičeskij analiz chimičeskich reakcij v litějnoj formě. = "Litějnoje proizvodstvo", 1960, č. 4, s. 25 - 29.
44. ČEČULIN V.A., GAREVSKIJ B.V. : Termodynamičeskij analiz gasovych reakcij v litějnoj formě. = In: Vzaimodějství litějnoj formy i otlivki. Sborník red. Guljajev B.B., Moskva, Izdatelstvo AN SSSR 1962, s. 183 - 189.
45. ČEČULIN V.A. : Chimičeskoje vzaimodějstviye gasov formy so stalju i čugunom. = In: Gazy v litom metalle. Sborník red. Guljajev B.B. Moskva 1964, s. 218 - 222.
46. BLAGOV B.N. : Issledovaniye gasovoy sredy v litějnoj formě ... - Disertační kandidátská práce. Moskovskij institut stali im. J.V. Stalina, Moskva 1960.
47. ŽUK N.P. : Issledovaniya po termodynamike i kinetike korrozionnych processov. - Disertační doktorská práce. Moskovskij chimiko-technologičeskij institut im. Mendělejeva, Moskva 1961.

48. CAMERON D.I., BARRATT K.V. : Combined oxygen carbon potentials for steel. = "Journal of Iron and Steel Institute", 261, 1963, č. 3, s. 217 - 221.
49. SMITH R.P. : Equilibrium of Iron - Carbon - Silicon and Iron - Carbon - Manganese alloys ... = "Journal of the American Ceramic Society", 31, 1948, č. 7, s. 2724 - 2729.
50. SCHBIL E., SCHMIDT T., WUNNING J. : Ermittlung der Gleichgewichte von CO - CO₂ Gemischen mit dem γ -Mischkristall, mit Zementit und mit Graphit. = "Archiv für Eisenhüttenwesen", 32, 1961, č. 4, s. 251 - 260.
51. RICHARDSON F.D. : The thermodynamics of metallurgical carbides and of carbon in iron. = "Journal of Iron and Steel Institute", 175, 1953, September, č. 1, s. 33 - 51.
52. RICHARDSON F.D. : The thermodynamics background of iron and steel making processes. = "Journal of Iron and Steel Institute", I. část 163, 1949, December č. 4, s. 397 - 420, II. část 166, 1950, October, č. 2, s. 137 - 146.
53. RICHARDSON F.D. : The thermodynamics of substances of interest in iron and steel making - II. Compounds between oxides. = "Journal of Iron and Steel Institute" - 166, 1950, s. 213 - 234.
54. KUBASCHEWSKI O., EVANS E.L. : Metallurgical thermochemistry - London 1956 /německý překlad, Berlin 1959/.
55. JESIN O.A., GELD P.V. : Fizicheskaja chimija pirometallurgičeskich processov Sverdlovsk - Metallurgizdat 1962.
56. SAMARIN A.M. : Staleplavilnoje proizvodstvo - spravočnik - Moskva - Metallurgizdat 1964.
57. ELLIOTT J.F., GLEISER M. : Thermochemistry for steelmaking, Reading, London - Addison - Wesley Publishing Corp. 1960.
58. LITTLEWOOD R. : Thermodynamics of the interaction of atmospheres with alloy steels. = "Journal of Iron and Steel Institute", 262, 1964, February, s. 143 - 146.

59. ŽUKOV A.A. : O těrmodinamičeskoj aktivnosti ugleroda v železo-uglerodistych splavach. = "Izvestija AN SSSR, OTN, Metallurgija i toplivo", 1961, č. 6, s. 88 - 94.
60. KUCHEV V.S. : O metodach rasčota aktívnosti ugleroda v suspenšii. = "Žurnal fizičeskoj chimii", 36, 1962, č. 4, s. 849 - 853.
61. BURILEV B.P. : Vlijaniye dobavljajemych elementov na rastvorimost ugleroda v židkom železe. = "Izvestija vyššich učeb. zavedenij - Černaja metallurgina", 1964, č. 3, s. 7 - 15.
62. PENNINGTON W.A. : Thermodynamics in the decarburisation of steel with mill scale. = "Transactions of American Society for Metals". 41, 1949, s. 213 - 258.
63. NECHENDZI J.A. : Přednášky z "kurzu teorie slévárenství" na Leningradském polytechnickém institutu, Leningrad 1965 /dle poznámek Ing. J. Exnera/.
64. MURPHY A.J. : Non-ferrous Foundry Metallurgy. London, Pergamon Press Ltd, 1954.
65. DARKEN L.S., GURRY R.W.: Physical Chemistry of Metals, New York, McGraw-Hill Book Comp. 1953 /ruský překlad Moskva, Metallurgizdat 1960/.
66. HALLA F. : Kristallchemie und Kristalphysik metallischer Werkstoffe. Leipzig, Barth, Verlag 1957.
67. PŘIBYL J. : Tuhnutí a nálitkování odlitků. Praha, SNTL 1954.
68. VEJNIK A.I. : Rasčot otlivki. Moskva, Mašinostrojenije 1964.
69. MICHEJEV M.A. : Základy sdílení tepla. Praha, SNTL 1953.
70. EXNER J. : Reakce kovu s formou při přesném lití - přednáška na 8. zasedání TSSPL - Liberec, prosinec 1962.
71. EXNER J. : Odlevaní a chlazení forem. Sborník přednášek ze semináře o přesném lití - VŠST Liberec, červenec 1964.
72. KOPÍC J. : Studium okysličování a oduhlíčování přesných odlitků - diplomní práce VŠST Liberec 1961, /vedoucí DP Prof. Ing. Bohumil Odstrčil, konsultant Ing. J. Exner/.

73. FREIMAN F. : Výzkum vlastností skořepin, zejména reakcí kovu s formou - diplomová práce VŠST Liberec 1962 /vedoucí DP Prof.Ing.Bohumil Odstrčil, konzultant Ing. J. Exner/.
74. HEJZLAR S. : Výzkum vlastností skořepin, zejména reakcí kovu s formou - diplomová práce VŠST Liberec 1962 /vedoucí DP Prof.Ing.Bohumil Odstrčil, konzultant Ing. J. Exner/.
75. ŠRÁM J. : Výzkum reakce kovu s formou při odlévání ocelových odlitků metodou vytavitevního modelu - diplomová práce VŠST Liberec 1963 /vedoucí DP Prof.Ing.Bohumil Odstrčil, konzultant Ing.J. Exner/.
76. HOLAS A. : Oduhličování přesných ocelových odlitků - semestrální práce VŠST Liberec 1964-1965 - zimní semestr /vedoucí úkolu Ing. J. Exner/.
77. HOLAS A. : Studium okysličování a oduhličování přesných ocelových odlitků - diplomová práce VŠST Liberec 1965 /vedoucí DP Prof.Ing.Bohumil Odstrčil, konzultant Ing.J.Exner/.
78. WILD M. : Studium okysličování a oduhličování přesných ocelových odlitků - diplomová práce VŠST Liberec 1965 /vedoucí DP Prof.Ing.Bohumil Odstrčil, konzultant Ing.J.Exner/.
79. SVÁROVSKÝ J., WÜNSCHOVÁ M.: Studium oduhličování přesných odlitků z ocelí - semestrální práce VŠST Liberec 1965/66 - zimní semestr /vedoucí úkolu Ing. J. Exner/.
80. WÜNSCHOVÁ M. : Studium oduhličování přesných odlitků z ocelí - semestrální práce VŠST Liberec 1965/66 - letní semestr /vedoucí úkolu Ing. J. Exner/.
81. EXNER J. : Způsob zabránění vzniku oduhličení povrchové vrstvy ocelových odlitků - PV 4062-66 z 17.6.1966.
82. KRAUS V. : Atlas diagramů pro sušlechťování konstrukčních ocelí. Praha, SNTL 1964.

u 265